

ACADEMIA REPUBLICII POPULARE ROMÂNE

# BULETIN STIINTIFIC

REVISTA DE STIINȚE BIOLÓGICE, AGRONOMICE, GEOLOGICE  
SI GEOGRAFICE

INV. 98

2003

4

TOMUL V

OCTOMBRIE - DECEMBRIE 1953

ABONAMENTELE SE FAC LA OFICILE POȘTALE  
PRIN FACTORII POȘTALI ȘI DIFUZORII VOLUNTARI  
DIN INTreprinderi ȘI INSTITUȚII

c. 271

Prețul Lei 5

ACADEMIA REPUBLICII POPULARE ROMÂNE

ACADEMIA REPUBLICII POPULARE ROMÂNE

# BULETIN ȘTIINȚIFIC

SECTIUNEA DE ȘTIINȚE BIOLOGICE, AGRONOMICE,  
GEOLOGICE ȘI GEOGRAFICE

Tomul V, Nr. 4

Octombrie-noiembrie-decembrie 1953

## S U M A R

	Pag.
I. BĂNCILĂ și V. CORVIN PAPIU, Japsurile triasice dela Pojorita .....	675
MIRCEA PAUCĂ și NICOLAE COSMOVICI, Moluște fosile din Oligocenul dela Piatra Neamț,.....	695
G. C. GEORGESCU și ST. ORENSCHI, Contribuții la studiul vetriciliozei la Acerinee .....	703
OCTAV COSTACHEL, IRINA KITULESCU și MIRCEA CRÎNGU, In- fluența extractelor de placentă asupra respirației și germinației semin- țelor de fasole .....	745
PETRU M. ȘUSTER, Tachinide (diptere) colectate în Cîmpia Olteniei. Importanța lor sistematică, zoogeografică și practică.....	753
Z. FEIDER, Cîteva larve ale genului <i>Trombicula</i> (Acarieni) și descrierea unui caz de trombicidoză la șopîrla <i>Lacerla agilis</i> .....	775
ELENA ROMAN, Contribuții la cunoașterea faunei de monogenee din R.P.R.	897
E. A. PORĂ, FL. STOICOVICI și I. D. RÖSCĂ, Biologia stavrîdului din Marea Neagră. Asupra morfologiei leucocitelor și a formulei leuco- citare .....	833
ION AL. NICOLESCU, Creșterea și dezvoltarea metisului trăpaș × Nonius comparativ cu Nonius-ul pînă la 2 ani .....	849
I. POPESCU-ZELETIN și R. DISSESCU, Determinarea vîrstei exploata- bilității la pădurile de molid printr-o metodă nouă .....	873

EDITURA ACADEMIEI REPUBLICII POPULARE ROMÂNE

ACADEMIE DE LA REPUBLIQUE POPULAIRE ROUMAINE

АКАДЕМИЯ РУМЫНСКОЙ НАРОДНОЙ РЕСПУБЛИКИ

# BULLETIN SCIENTIFIQUE

SECTION DES SCIENCES BIOLOGIQUES, AGRONOMIQUES,  
GÉOLOGIQUES ET GÉOGRAPHIQUES

Tome V, № 4

Octobre — Novembre — Décembre 1953

## SOMMAIRE

	Page
I. BĂNCILĂ et V. CORVIN PAPIU, Les jaspes triasiques de Pojorita.....	675
MIRCEA PAUCĂ et NICOLAE COSMOVICI, Mollusques fossiles de l'Oligocène de Piatra Neamț .....	695
C. C. GEORGESCU et ST. ORENSCHI, Contributions à l'étude de la verticili- lise des Acéracées .....	703
OCTAV COSTACHEL, IRINA KITULESCU et MIRCEA CRÎNGU, L'in- fluence des extraits de placenta sur la respiration et la germination des graines de haricot. ....	745
P. M. řUSTER, Diptères (Tachinidés) récoltés dans la plaine d'Olténie. Leur importance systématique, zoogéographique et pratique .....	753
Z. FEIDER, Quelques larves du genre <i>Trombicula</i> (Acariens). Description d'un cas de trombidiose du lézard <i>Lacerta agilis</i> .....	775
ELENA ROMAN, Contributions à la connaissance de la faune des monogènes de la République Populaire Roumaine .....	807
E. A. PORA, FL. STOICOVICI et I. D. ROŠCA, La biologie du <i>Trachurus trachurus trachurus</i> de la Mer Noire. Sur la morphologie des leucocy- tes et la formule leucocytaire .....	833
ION AL. NICOLESCU, La croissance et le développement jusqu'à 12 ans du métis trotteur × Nonius par comparaison au Nonius.....	849
I. POPESCU-ZELETIN et R. DISSESCU, Détermination de l'âge de l'exploita- bilité des forêts d'épicéa par une nouvelle méthode .....	873

EDITIONS DE L'ACADEMIE DE LA REPUBLIQUE POPULAIRE ROUMAINE

# НАУЧНЫЙ ВЕСТНИК

ОТДЕЛЕНИЕ БИОЛОГИЧЕСКИХ, АГРОНОМИЧЕСКИХ, ГЕОЛОГИЧЕСКИХ,  
И ГЕОГРАФИЧЕСКИХ НАУК

Том V, № 4

Октябрь — ноябрь — декабрь 1953

## СОДЕРЖАНИЕ

	Стр.
И. БЭНЧИЛЭ и В. КОРВИН ПАПИУ, Триасовые яйца в Пожорите ..... 675	675
М. ПАУКЭ и Н. КОСМОВИЧ, Ископаемые моллюски олигоцена в Пят- ра-Нямц ..... 695	695
К. К. ДЖЕОРДЖЕСКУ и Ш. ОРЕНСКИ, К изучению вертициллоза у Acerinae ..... 703	703
О. КОСТЭКЕЛ, И. КИЦУЛЕСКУ и М. КРЫНГУ, Влияние экстрактов плаценты на дыхание и прорастание семян фасоли ..... 745	745
П. М. ШУСТЕР Яссы, Двукрылье (Tachinidae), собранные на равнинах Олтении, и их значение для систематики, зоогеографии и практики ..... 753	753
З. ФЕЙДЕР, Несколько личинок рода <i>Trombicula</i> (acarina) и описа- ние случая тромбидиоза у ящерицы прыткой ..... 775	775
Е. РОМАН, Материалы к фауне моногенитических сосальщиков рыб в Румынской Народной Республике ..... 807	807
Е. А. ПОРА, Ф. СТОЙКОВИЧ и И. Д. РОШКА, Биология ставриды Черного моря. О морфологии лейкоцитов и лейкоцитарной формуле ..... 833	833
И. А. НИКОЛЕСКУ, Выращивание и развитие до двухлетнего возраста метиса рыбак × иониус по сравнению с иониусом ..... 849	849
И. ПОПЕСКУ-ЗЕЛЕТИН и Р. ДИССЕСКУ, Новый метод в определении оптимального возраста для лесоразработки еловых лесов ..... 873	873

ИЗДАТЕЛЬСТВО АКАДЕМИИ РУМЫНСКОЙ НАРОДНОЙ РЕСПУБЛИКИ

## BULETIN ȘTIINȚIFIC

Tomul V

1953

Nr. 4

**COMITETUL DE REDACTIE:** N. Sălăgeanu, membru corespondent al Academiei R. P. R.—Redactor responsabil; A. Săvulescu, membru corespondent al Academiei R. P. R.; A. Codarcea, membru corespondent al Academiei R. P. R.; Radu Vasile, membru corespondent al Academiei R. P. R.; N. Teodoreanu, membru corespondent al Academiei R. P. R.

## JASPURILE TRIASICE DELA POJORITA

DE

I. BĂNCILĂ și V. CORVIN PAPIU

Comunicare prezentată de G. MURGEANU, membru corespondent al Academiei R. P. R.,  
în ședința din 31 Martie 1953

Nota de față are scopul să dea o caracterizare petrografică a jaspurilor care apar pe flancul de vest al cuvetei Rarăului la Pojorita și de a face unele precizări de ordin stratigrafic și tectonic asupra jaspurilor ce apar în grupa de roci mesozoice de pe cristalul Carpaților Orientali.

Prezența jaspurilor la Pojorita a fost menționată pentru prima dată de K. Paul, în anul 1876, care le atribuie Triasicului superior (11), apoi de V. Uhlig în anul 1907, care le atribuie Triasicului inferior (19). În anul 1934, Th. Kräutner (9) admite vîrstă jurasică superioară (calovian — oxfordiană), vîrstă ce fusese stabilită de E. Jekeliu (8) și E. Vadasz (20) pentru unele jaspuri din Bucegi, Perșani, Hăghimaș și Ghilcoș. În anul 1939, D. Preda și M. Ilie (15) reafirmă vîrstă triasică medie.

În prelungirea nordică a lanțului muntos, în Carpații de nord și în Munții Tatra, jaspurile sunt cotate între alții și de D. Andrusov (1), care le situează în Jurasicul superior.

Stabilirea mai precisă a vîrstei jaspurilor este prin urmare o chestiune neclară și aceasta pentru două motive: lipsa de macrofosile caracteristice și cum vom vedea, apartenența lor de fapt la nivele stratigrafice diferite.

Profilul geologic al cuvetei Rarăului (fig. 1) poate fi urmărit cu oarecare înlesnire în Valea Moldovei, între gura pârâului Putna și gura pârâului Sadova, pe o lungime de circa 3 km. La paralela acestei văi masa cristalină mesozoică și-a accentuat destul de mult tendința de afundare către nord, tendință căreia i se datorează conservarea la un nivel din ce în ce mai cohortei a depozitelor din cuvetă. Datorită acestei afundări, « aripa externă » rămâne în adincime, împreună cu dolomitele, iar Malm Neocomianul îmbracă fațiesul de fliș. « Aripa internă », mult îngustată, suportă dolomitele la un nivel morfologic scăzut, în timp ce văa cuvetei se șeundă în bună parte sub încarcătura de conglomerate și gresii cretacice, prin care răzbăt haotic blocuri sau mici masive de calcar și melafire. Cercetarea acestora nu intră în cadrul lucrării de față, dar ea ar putea să reprezinte elementele unei pînze mesocretacice, cu autohton de cristalin-dolomite-strate de Sinaia.

Jaspurile de care ne ocupăm apar pe malul stîng al Moldovei, la circa 1 km în amonte de gara Pojorita, într-o deschidere naturală din fața conflui-

enșei cu pîrful Putna. Datorită exploatareii dolomitului pentru fabrica de var, în ultimii ani s-a descooperit continuarea aceluiasi profil și pe malul drept, după circa 1 km întrerupere. În ambele deschideri, succesiunea rocilor este aceea din figura 2, din care reies următoarele: dolomitele, cu aspect masiv obișnuit, lipsite de stratificație și pe alocuri cu aspect fals de brecii (rezultate din alterare), stau de obicei pe sisturi cristaline cu interpunere de conglomerate cuarțitice. Ele aparțin șirului de mici masive căre coboară

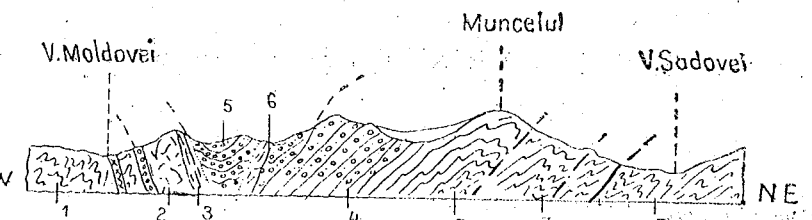


Fig. 1. — Secțiune prin cuveta din nordul Moldovei la nord de Valea Moldovei.  
1. Sisturi cristaline; 2. Dolomite Tr. i. mediu; 3. Jaspuri Tr. n. sup.; 4. gresii și congl. de Muncelul Neocomian; 5. Gresii și conglomerate-Cretacic sup.; 6. Melaifre; 7. Sisturi negre-Cretacic inferior.

Scara 1: 50.000

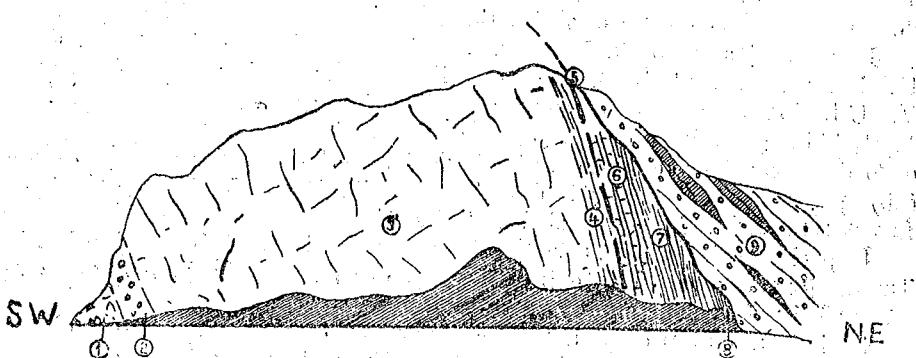


Fig. 2. — Malul stîng al Moldovei la vest de Pojorita.  
1. Sisturi clorito-serioitoase; 2. Gresii și congl. cuarțitice-Trias. inf.; 3. Dolomite-Tr. inf. med.; 4. Sisturi dolomitice; 5. Concrețiuni dolomitice-Trias mediu sup.; 6. Jaspuri galbene-Trias mediu sup.; 7. Jaspuri roșii-Trias mediu sup.; 8. Sisturi cu radiolari-Tr. Sup.; 9. Conglomerate.

Scara 1: 2.000

din Rarău și care se aliniază mai departe spre nord-vest de Valea Moldovei, constituind primul element stratigrafic cu largă dezvoltare pe flancul intern al sinclinalului extern.

Dolomitele suportă direct, fără nicio întrerupere, un pachet de circa 3 m de roci calcaroase tari, de culoare cenușie negricioasă, cu spărtura compactă, neregulată și aspră. Ele formează un pachet de circa 3 m cu o stratificație perfectă și foarte fină, dela 1 mm la 1 cm, în care se pot măsura direcții în sensul de dezvoltare a aripiei interne ( $55^{\circ}$ - $45^{\circ}$  nord-vest) cu căderi constante spre axul cuvetei ( $60^{\circ}$ - $80^{\circ}$  nord-est). Prin levire, rociile se desfac ușor după planele de stratificație, dar totdeauna în bucăți mici poliedrice,

fără o usoară efervescență cu acizii concentrați, iar prin expunere îndelungată capătă o coajă cenușie deschisă. Aceste roci nu sunt confundate cu gresiile calcaroase dure ale Doggerului și fără îndoială că unele pot fi atribuite Doggerului, așezate direct peste dolomite în regiunea Rarău, Hăghimăș și Tulgheș, aparțin acestui nivel.

Lipsa de stratificație a dolomitelor și trecerea bruscă dela o rocă la alta ne-a pus la îndoială dacă suntem în fața unei continuități de sedimentare. Pentru o orientare mai bună, am apelat la studiul detaliat, la microscop, al rocilor. Analiza microscopică, care se dă mai jos, arată însă că această continuitate există, această rocă putând fi definită ca un *sist dolomitic cu material detritic*.

Spre partea superioară, nivelul sistos-dolomitic cuprinde ne alocuri unele aspecte concretionare dolomifice-silicioase. Lipsite de stratificație și cu o cantitate apreciabilă de resturi organice silicioase.

Nivelul sistos-dolomitic este urmat de un nivel de jasnuri galbene, ne alocuri ruginii, gros de 3-4 m. Sunt roci dure, aspre, care deși sunt stratificate, se desfac de obicei în brecățele mici, colțuroase. Analiza microscopică pune în evidență un tip litologic cu pirită și altul sărac în pirită, ambele continând resturi de radiolari.

Nivelul următor reprezintă orizontul principal al jaspurilor. El anare constituit din roci aspre, de culoare roșu-brună, foarte bine stratificate, atingând înălțimea de 20 m grosime și continuându-se direct cu jaspurile galbene într-o perfectă concordanță. Pronorția de resturi organice — radiolari — este totdeauna foarte mare în aceste roci, definind o structură radiolaritică tipică, în care s-au putut determina forme numeroase.

La partea cea mai înălță, acest nivel trece spre sisturi aleuro-nelitice cu radiolari de aceeași culoare generală roșu-brună, dar cu aspect mai sistos, în care se remarcă prezența unui material terigen mai bogat:

În cele ce urmează vom da o descriere mai amănunțită, pe baza studiului microscopic al rocilor din diferitele nivele, observate din profil, în ordinea stratigrafică, dela cele mai vechi la cele mai noi.

#### 1. SISTURI DOLOMITICE CU MATERIAL DETRITIC

La microscop, roca apare alcătuită din dolomit granular, parțial recristalizat, care constituie masa fundamentală (60-70%) și din material detritic de dimensiuni aleuritice. Structura este în general inechigranulară și ne alocuri echigranulară, iar granulele componente au dimensiuni foarte fine (0,0075-0,05 mm). În porțiunile cu material detritic abundant, structura este aleuritică sau psamto-aleuritică. Prin procese de recristalizare se remarcă uneori tendința de individualizare a romboedrilor de dolomit cu latură nănată la 0,02 mm, fără însă a se imprima niciună structură de mozaic, caracteristică dolomitelor. Apar granule rare de hematit, de dimensiuni sub 0,01 mm, răspândite neregulat în unele porțiuni, fiind înconjurate de aureole vagi de limonit. Materialul detritic anare din abundență în unele zone, din unde rociile caracterul de dolomit nisipos. El este reprezentat prin granule elastice fine, în care predomină net muscovitul. Lamele de muscovit sunt singurele care ating uneori dimensiuni psamitice, putând avea diametrul înălțimea la 0,3 mm. În general situate la anumite nivele, aceste minereale foioase dau roci textură orientată. Lamele de biotit sunt mult mai rare, au dimensiuni mai reduse

(sub 0,1 mm) și prezintă un slab pleocroism, fiind cloritizate sau baueritizate. Granulele de cuarț sunt în cantitate mult mai mică decât mici; au extincție ondulatorie și apar alături de fragmente minuscule de cuarțite metamorfice. Ele sunt lipsite de incluzuni. Se mai întâlnesc și granule rare de feldspați potasici, nealterați, prezintând uneori macula de Karlsbad. Dimensiunile granulelor de cuarț și feldspat se situează în domeniul aleuritelor (0,02–0,08 mm), iar contururile sunt colțuroase sau subcolțuroase, uneori remarcindu-se chiar forme așchioase. Foarte rar apar granule bacilare de apatit.

**Concluzii.** Roca provine din consolidarea unui depozit carbonat-detrigenous, împreună cu care s-a amestecat și o cantitate de material terigen, rezultat din alterarea unei zonă continentale alcătuite din roci cristaline. Acest material terigen nu a suferit un proces de alterare chimică prea avansat (feldspatul este proaspăt), iar transportul fluviatil a avut loc pe o distanță redusă (materialul detritic este colțuros).

#### *Concrețiuni argilo-carbonatace, cu material detritic și resturi organice*

Textura rocii este compactă, iar structura este fin granulară. Granulele de carbonat care alcătuiesc masa principală a rocii au dimensiuni sub 0,1 mm. Prin recristalizare, în masa fundamentală granulară, tind să se individualizeze romboedri cu diametrul în jurul a 0,16 mm, precum și granule de sideroză cu contururi neregulate, clivaj și pleocroism evident. Procesele de silicifiere duc la formarea unor plaje alungite de calcedonită. Aceste procese trebuie puse pe seama resturilor organice (radiolari și spiculi de spongieri) prezente în masa rocii și puternic diagenizate. În unele zone se constată prezența materialului argilos relict în care apare sericit secundar. Un schimb amplu diagenetic conduce la substituirea scheletelor silicioase cu calcit sau sideroză (pl. I, fig. 3). Prin silicifierea scheletelor calcitizate într-o fază precedentă, se pun în libertate romboedri de calcit perfecti cu latura pînă la 0,03 mm, care apar în cavitatea radiolarilor.

Între neoformăriuni se constată prezența granulelor de pirită limonitizată, granule de hematit dispuse neregulat în masa rocii sau izolate în cavitățile radiolarilor, cum și minuscule cantități de clorit.

Materialul detritic apare în cantitate foarte mică și are dimensiuni aleuritice sau psamitice fine. El este compus din lame de mică avind diametre pînă peste 0,2 mm, din granule colțuroase de cuarț cu extincție ondulatorie și rare granule de minerale grele (zircon și titanit).

Resturile organice, alcătuind pînă la 25% din masa rocii, sunt reprezentate prin spiculi de spongieri și în special prin schelete de radiolari.

Între spiculii de spongieri se deosebesc în special forme monaxone și foarte rare forme tetraxone. Sunt puternic diagenizați (conservăți în calcedonită dispusă neregulat), și sunt atinși pe marginea de procese de calcitizare. Se remarcă de asemenea existența spiculilor globulari calcitizați la periferie și apoi acoperiți cu sideroză.

Radiolarii sunt mai frecvenți decât spiculii de spongieri. Au fost recunoscute următoarele genuri:

Ord. *Spummelaria*: *Cenosphaera*, *Cariosphaera*, *Cariocapsa*.

Ord. *Nassellaria*: *Lithocampe*, *Tricolocapsa*. În ceea ce privește procesul de fosilizare al scheletelor de radiolari, constatăm următoarele cazuri:

a) Scheletul este conservat în calcedonită și are cavitatea umplută cu calcedonită fibroasă, secundară.

b) Scheletul este calcitizat metasomatic și are cavitatea umplută cu calcedonită.

c) Formele sunt conservate în calcedonie și au cavitatea umplută cu carbonați. Deosebim aici două posibilități:

— O zonă subțire de siderit sau calcit se separă imediat sub test pătrunzind și în pori, iar cavitatea se umple cu calcedonită.

— Cavitatea este umplută parțial sau total cu carbonat (sideroză sau calcit).

d) Formele sunt conservate în calcedonită și au cavitatea umplută cu opal și cu argilă.

e) Formele sunt conservate în sideroză, prezintând reticulul sideritic bine conservat și orientat uniform, cu un pleocroism evident. Cavitatea poate fi umplută cu sideroză sau calcedonie (pl. I, fig. 3).

f) Forme silicificate secundar, după o prealabilă carbonatizare. Aceste schelete nu păstrează caracterul primar al reticulului, care se șterge sub influența proceselor metasomatici. În cavitatea organismului silicea fibroasă alcătuiește zone orientate diferit și include uneori romboedri perfecti de calcit, eliminați în urma substituției secundare (așa cum s-a menționat mai sus).

**Concluzii:** Roca reprezintă un depozit argilo-carbonat, conținând puțin material detritic și o cantitate de resturi organice silicioase, pe seama cărora s-a produs silicifierea. Sedimentul s-a depus într-un mediu anaerob (pirită), organismele găsindu-se probabil în tanatogenoză. Procesele de dolomitizare arată înrudirea cu orizonturile inferioare și au fost impuse poate și de caracterul reducător al mediului, bogat în amoniac.

#### 2. JASPURI GALBENE CU PIRITĂ

Din punct de vedere petrografic se disting două tipuri de roci, deosebita principală constând în cantitatea de pirită. Ambele tipuri litologice provin din același fel de material și numai condiții cu caracter cu totul local duc la individualizarea unui tip litologic de altul. Astfel, am distins: A) un tip litologic piroitos și B) un tip litologic sărac în pirită.

A) Jaspurile piroitoase (pl. I, fig. 4, 5, pl. II, fig. 6). Aceste roci se prezintă sub forma de bancuri groase de cîțiva cm și au grosimea totală de 3–4 m. Ele sunt de culoare galbenă, brună sau cenușie, părțile alterate trecind în galben deschis. Luciu este cornos, iar spărtura netedă sau concoidală. Prezintă o textură masivă, ușor orientată prin dispunerea resturilor organice în zone aproximativ paralele și prin dezvoltarea inegală, în aceste zone, a pigmentului feruginos. Structura este criptocrystalină organogenă, determinată de prezența în cantitate mare a radiolarilor. Materialul detritic apare în cantități foarte mici. Se recunosc rare lame de muscovit dispuse aproximativ paralel cu stratificarea, cu diametrul de maximum 0,15 mm, precum și cîteva granule colțuroase de cuarț cu extincție ondulatorie, de dimensiuni aleuritice fine ( $D = 0,030 - 0,045$  mm).

Masa principală a rocii este alcătuită din silice de impregnație criptocrystalină foarte fină, slab pigmentată cu o pulbere de limonit sau hematit, care se concentrează mai ales în anumite porțiuni puternic silicificate. În

această masă se deosebesc zone relicte argiloase cu solzi minuscule de sericit, care apar ca neoformații tipice, alcătuind o rețea neregulată.

Minerale antigene caracteristice sunt granulele cristaline idiomorfe de pirită de dimensiuni între 0,01–0,1 mm, care se asociază uneori în agregate granulare complexe de dimensiuni vizibile cu ochiul liber (pl. I, fig. 4). Zonele cu granule de pirită se dispun în rocă, independent de orientarea acesteia, uneori aproape perpendicular pe direcție, iar alteleori umplu cavitățile radiolarilor (pl. I, fig. 5). Prin oxidarea piritei în limonit, aceste zone prezintă o nuanță vagă, galbenie. Dispoziția granulelor dovedește o formare diagenetică penecontemporană în sedimentul depus, dar neîntărit, înainte de litificare. Fisurile căre străbat roca, și pe care se găsește depus cuarț secundar epigenetic, înconjură aceste granule cu rezistență mai mare decât restul rocii, atunci cind le ating în zonele marginale, sau le sfârșimă, atunci cind direcția de fisurare le atinge chiar în centru (pl. I, fig. 4).

Tot între mineralele antigene secundare notăm și prezența leptoclortului fibro-radial dispus în grupări divergente în formă de snopii și alcătuind doze mai mult sau mai puțin alungite, paralele cu stratificația sau umplind cavitățile radiolarilor.

Caracteristică este prezența romboedrilor de carbonați cu dimensiuni de 0,05 mm și uneori perfect idiomorfi, înconjurați de o pulbere fină de limonit rezultată din propria lor oxidare. Credem că avem de a face cu romboedri de ankerit sau de ferodolomit.

Schelletele de radiolari alcătuiesc o parte din masa rocii, imprimându-i și caracterile structurale. Procesele de diagenăză foarte avansate sterg adeseori caracterul inițial al formelor, care apar ca simple zone rotunde sau alungite, definite numai de măsurarea cantității de pigment limonitic și hematitic. În acest caz, ei pot fi văzuți mai bine între nicoli încrucișați, testurile prezintând silice criptocristalină de dimensiuni mai mari și deci mai evidență decât masa silicioasă a rocii (pl. II, fig. 6).

Testul este conservat de obicei în calcedonită fibroasă foarte fină sau, mai rar, în limonit.

Cavitatea radiolarului poate fi umplută cu următoarele minerale:

- Calcedonită sau cuarț foarte fin, amestecat cu material argilos.
- Limonit și argilă.
- Silice criptocristalină și cantități mari de clorit, fie în zona centrală, fie deasupra radiar, de-a lungul peretilor cavității organismului.
- Pirită, care umple cavitatea pătrunzând în porii testului radiolarului, lăsând astfel un aspect stelat caracteristic (pl. I, fig. 5).
- Pirită și carbonat. O formă de *Nassellaria* prezintă carbonat în cavitatea principală și pirită în camerele mici ale cefalislui. Testul este limonitic.

Formele bine conservate alcătuiesc cam 10% din masa rocii, restul fiind reprezentat prin forme puternic diagenizate și greu de determinat. Se constată evidența predominare a formelor de *Spummelaria* asupra *Nassellariilor* (8/1). Formele determinate aparțin următoarelor genuri: *Cenosphaera*, *Lithocampe*, *Podocansa*.

**Concluzii.** Roca jaspoidă galbenă din acest orizont reprezintă un depozit pelitic organogen hemipelagic sau lagunar, puternic silicifiat, și primar, și și prin procese de silicifiere penecontemporane. Mediul de depunere a fost un mediu reducător, în care s-au putut depune pirita, cloritul și ankeritul, din a căror oxidare secundară a rezultat limonitul care pigmen-

tează roca. Fauna de radiolari pare a reprezenta o tanatocoenoază de organisme pelagice ajunse în mediul lagunar anaerob, prezent poate în laguna interioară a recifilor.

B) Jaspurile sărace în pirită. Jaspurile galbenă, aparținând acestui tip litologic, sunt rocile silicioase, deosebite oarecum de cele descrise la punctul precedent, sunt compacte, de culoare galben-brună, cu spărtura colțuroasă, neregulată sau așchioasă și cu luciu cornos. Grosimea bancurilor componente variază între 2–5 cm. Structura este criptocristalină organogenă (radiolaritică) și textura este ușor orientată.

Masa principală a rocii este alcătuită din silice criptocristalină fină, pigmentată cu o foarte fină pulbere hematitică. Se constată de asemenea și persistența unor cantități mici de materie relică argiloasă, în care s-a diferențiat sericit. Resturile organice (schelete de radiolari) sunt puternic diagenizate și alcătuiesc aproximativ 25% din masa rocii.

Materialul detritic apare în cantități înfime și are dimensiuni aleuritice și pelitice. Înălțim astfel rare lame fine de muscovit, de obicei încreșite, cu diametrul sub 0,08 mm și foarte rar de dimensiuni grosiere psamitice (0,2/0,027 mm). În materialul detritic se mai remarcă, alături de granulele colțuroase de cuarț, foarte rare granule rotunzite de turmalin, de asemenea baghete alungite de rutil și granule idiomorfe de zircon.

Între materialele antigene cităm prezența pulberilor hematice și limonitice concentrate mai mult în anumite zone, rare cristale cubice de pirită cu latura de 0,02–0,03 mm și acoperite de o crustă subțire de limonit, cum și romboedri de dimensiuni mai mari de ankerit, cu latura pînă la 0,1 mm. Leptocloritul fibros apare dispus în mod neregulat, mai ales în cavitățile radiolarilor.

Resturile organice sunt puternic diagenizate, sunt reprezentate prin schelete de radiolari și rari spiculi monaxoni de spongieri silicioși. Aceste forme sunt de obicei conservate în silice criptocristalină și mai rar în silice și hematit. În cavitatea testului se pot găsi diferite minerale:

- Calcedonită fibroasă, care se deosebește de cea din test prin orientarea sa diferită.
- Calcedonită amestecată cu o pulbere fină de hematit și argilă, care împiedică observarea între nicoli încrucișați, interiorul organismului apărind, în acest caz, complet întunecat.
- Clorit fibroradial de neoformăjune, dispus uneori în mod sferulitic, dar de obicei fără o orientare precisă, alcătuind o rețea confuză.
- Limonit sau hematit rezultat din oxidarea cloritului. Uneori oxizi de fier și cloritul se găsesc în interiorul aceleiasi forme.

Se constată predominarea categorică a formelor de *Spummelaria* (exclusiv din subordinul *Sphaeroidea*) asupra formelor *Nassellaria* (raportul aproximativ 10/1). Formele determinante aparțin următoarelor genuri: Spiculi de *Sphaerozoum* (*Collodaria*), *Cenosphaera*, *Lithocampe*, *Tricolocapsa* și *Podocapsa*. Rețeaua este conservată, în unele cazuri, în calcedonie și prezintă o extincție mai mult sau mai puțin uniformă.

Spiculii de spongieri silicioși aparțin formelor monaxone și mai puțin celor tetraxone. Rari spiculi globulari. Aceste resturi organice prezintă de obicei canalul largit și sunt conservate în calcedonită.

**Concluzii.** Ca și precedenta, această rocă reprezintă un depozit organogen (poate hemiplagic) puternic silicifiat, depus într-un mediu cu o

aerisire incompletă, în care s-au mai putut separa încă sulfura de fier, cristalele de carbonați feroși și cloritele sedimentogene. Prezența acestora, mai ales în cavitățile organismelor, învederează legătura dintre materia organică și procesele de reducere a fierului. Silicifierea și, în bună parte, oxidarea, sunt fenomene de diageneză penecontemporană, care duc la litificare. Materialul detritic provine din alterarea unor roci cristaline și a suferit un transport limitat.

### 3. ORIZONTUL PRINCIPAL AL JASPURILOR

Jaspurile care participă la alcătuirea acestui orizont sunt silicolitele tipice de culoare roșu-brună, caracteristice acestui orizont al cuvetei Rarăului (9). Prezintă o stratificare evidentă, fiind alcătuite din bancuri de grosimi de 2–4 cm. Au culoarea roșu-brună, în spărțuri proaspete, cu pete cenușii (zonele alterate înghăbenindu-se prin depunere de limonit). În intimitate, roca prezintă o textură orientată, dând pe alocuri chiar impresia unei dispoziții sistoase. Anumite porțiuni urectate dău un miros specific de argilă. Roca prezintă o structură criptocristalină organogenă, caracteristică, de radiolarit pe alocuri, lăud un caracter criptocristalin detritogen în alte zone. Pigmentul hematitic este foarte bogat. Se remarcă zone argiloase relicte slab diferențiate, greu de deosebit, datorită abundenței pigmentului feruginos. În aceste zone apar solzi minusculi de sericit. Calcedonia foarte fină împregnează întreaga rocă, dându-i caracterul tipic de jasp.

Porțiunile cele mai sărăce în resturi organice conțin totuși radiolarii în proporție de cel puțin 30% din masa roci. Materialul detritic are dimensiuni aleuritice. Granulele de cuarț sunt colțuroase, cu extincție ondulatorie și dimensiuni sub 0,08 mm. Se mai remarcă lame rare de muscovit și foarte rare granule proaspete de feldspați nemaculați, păstrând habitusul prismatic și având dimensiuni în jurul a 0,056 mm, precum și biotit cloritizat. În aceste zone, formele de radiolari dovedesc o predominare a Spummelariilor asupra Nassellariilor în proporție de aproximativ 8/1. În afară de spiculii de *Sphaerozoum* (*Collodaria*), apar numeroase forme de *Cenosphaera*, reprezentanți ai subordinului *Prunoidea* (*Cenelipsis*), ai subordinului *Discoidea* (*Porodiscus*), iar din ordinul *Nassellaria*, genurile *Lithocampe* și *Tricolocapsa*.

În zonele organogene, roca prezintă o structură radiolaritică tipică, corespunzînd termenului de radiolarit. Scheletele de radiolarii din aceste porțiuni sint foarte bine conservate, păstrîndu-se intactă structura. În porțiunile cu textură orientată tipică, unele forme sferice sunt alungite datorită presiunii și sint orientate paralel cu stratificatia, iar Nassellariile au axul mare paralel cu aceasta. Totuși, se remarcă și forme cu poziții aberante, chiar perpendicular pe stratificatie. În zonele tipic organogene, scheletele de radiolarii pot alcătui peste 90% din masa roci, în medie fiind în proporții de 50–70%. Raportul numeric al formelor *Spummelaria* față de *Nassellaria* este aproximativ de 5/1 (pl. II, fig. 7). S-au determinat următoarele genuri:

Ord. *Spummelaria*:

Subord. *Collodaria*: Fam. *Sphaerozoidea*: spiculi de *Sphaerozoum*.

Subord. *Sphaerelaria*: Fam. *Sphaeroidea*: *Cenosphaera*, *Sphaerophyle*.

Subord. *Discoidea*: Fam. *Porodiscida*: *Porodiscus*.

Ord. *Nassellaria*:

Subord. *Stichocyrtida*; *Stichocapsa*.

Subord. *Grtoidea*: *Dictyomitra*, *Tricolocapsa*, *Lythocampe*, *Teosyringium*, *Archicapsa*.

Formele de radiolarii sunt conservate în calcedonită asociată uneori cu hematit. Nu am găsit nicio formă cu reticulul conservat în clorit, aşa cum am avut ocazia să menționăm în jaspurile asociate erupțiunilor bazice submarene din masivul Drocea (11). Cavitarea formelor apare umplută cu clorit fibroradiar dispus sferulitic, cum și cu alte minerale, mai ales cu calcedonită fibro-radiară, uneori intens cuartificată (pl. II, fig. 7). În unele zone, bogate în organisme, în centrul radiolarilor se dezvoltă, în mod selectiv, grupuri sferulitice sau în formă de snopi de leptoclorit, mineral care poate pătrunde din cavitate, pînă în porii scheletului. Acest mineral este absolut caracteristic uneori pentru diagnoza rocii. Prin oxidarea cloritului poate rezulta hematit, care se dispune către periferie alcătuind o zonă hematitică imediat sub testul silicos, sau către centru, și atunci zona periferică rămîne formată din clorit, sau se amestecă în mod difuz cu cloritul din a cărui transformare ia naștere. În unele forme, hematitul ocupă cavitatea întreagă, asociindu-se uneori cu materialul argilos sau calcedonie (pl. II, fig. 7). În anumite porțiuni, numărul radiolațiilor umpluți cu clorit se reduce la minimum, pînă la dispariție, dovedind o diageneză totală în mediu perfect oxidant.

Mai remarcăm rare spiculi de spongieri silicioși, globulari, conservați în calcedonită și fragmente sporadice de spiculi tetraxoni sau monaxonii cu canalul umplut cu hematit.

*Concluzii*. Jaspurile roșu-brune reprezintă sedimente hemipelagice pelito-organogene puternic silicificate, cu slabe aporturi de material detritic terigen, în special în zonele în care predomină radiolarii. În alte zone, în general în zonele mai puțin bogate în resturi organice, se constată un aport terigen evident, dovedindu-se prezența curenților locali. Procesele de diageneză penecontemporană conducind la litificare, au completat silicifierea și oxidarea fierului, dovedind o depunere într-un mediu bine aerisit. Cînd în cavitățile radiolarilor s-au creat condiții anaerobe optime prin depunerea în masă sau prin astuparea porilor prin mîl, fierul bivalent a fost legat în silicati (leptoclorite). Procesele de oxidare ulterioară au alterat acest material, cu separare de hematit. Tasarea care a condus la orientarea texturii sedimentului, a impus și transformarea mineralelor argiloase în sericit. Absența cloritului în cavitatea organismelor depuse în zonele cu mai mult material terigen, ar constitui un argument în plus pentru existența unor curenții locali care aduceau acest material și, în același timp, aeriseau apele în care se depunea mîlul inițial, din care, prin silificare, urma să rezulte în fază următoare, jaspul tipic.

### 4. SISTURI ALEURO-PELITICE CU RADIOLARI

Orizontul superior jaspurilor este alcătuit din roci sistoase aleuro-pelitice de culoare cenușie, brună sau roșcată. Pigmentul feruginos se acumulează în special în zonele superficiale, care sunt supuse proceselor de alterare. Roca face efervescență la rece numai pe planele de stratificare și prezintă un evident miros de argilă. Textura este orientată, desfăcîndu-se în plăci de cîțiva mm grosime. Structura este aleuro-pelitică, lăud, în zonele bogate în material detritic, caracterul aleuritic tipic. Masa principală a roci este

argiloasă, iar pe alocuri silicifiată, iar în porțiunile roșu-brune este pigmentată cu hematit. În această masă argiloasă apare silice criptocristalină rezultată în parte din resturile organice, cum și lame fine de sericit, rezultate din procese de argilitizare.

In compoziția materialului detritic predomină lame fine de muscovit, dispuse în general paralel cu sistozitatea. Alteori lamele de muscovit se dispun divergent, schimbând local caracterul textural al rocii. Alături de muscovit apar rare granule colțuroase de cuarț, cu diametrul în jurul a 0,02 mm.

Organismele contribuie la alcătuirea a 10–20% din masa rocii. Se disting forme de radiolari, aparținând în primul rînd ordinului *Spumellaria* (spiculi de *Spaherozoum*, și numeroase *Cenosphaera*) și, în subsidiar, ordinul *Nassellaria* (genurile: *Lithocampe*, *Tricolocampe*, *Theocapsa*, *Sethocapsa*). Aceste forme sunt conservate de obicei în calcedonită, mai rar în oxizi de fier și foarte rar în clorit. Cavitatea este umplută cu calcedonită asociată uneori cu pulbere hematitică, sau cu hematit amestecat cu argilă. Uneori hematitul se depune sub forma unei zone subțiri sub test, păstrând și în pori, iar restul cavității este umplut cu calcedonită. În această cavitate apar cîteodată cristali minusculi nedeterminabili, acoperiți de o crustă fină de oxid de fier.

In cantități foarte mici se găsesc și spiculi monaxonide spongieri, conservați în calcedonită.

**Concluzii.** Roca provine dintr-un depozit terigen fin, la care se adaugă puține organisme pelagice silicioase. Milul originar s-a depus într-un mediu cu o aeratie puțin mai slabă, în care s-a format cloritul ce diagenizează unele forme, dar a devenit curînd perfect oxidant, ajungîndu-se la oxizi și hidroxizi de fier. Reprezintă un sediment obișnuit alcătuit peisajul-pelitic silicificat în procese diagenetice penecontemporane, pe scara resturilor organice. Materialul detritic este de origine cristalină și a suferit un transport fluvial limitat, ca și materialul detritic din orizonturile inferioare.

## CONCLUZII FINALE

### I. CONCLUZII DE ORDIN LITOGENETIC

1. Sisturile dolomitice sunt dispuse în continuitate de sedimentare, peste dolomitele massive și reprezentă depozite cu caracter detritic rezultate din dezagregarea recifilor — depuse pe flancurile acestora — depozite în care s-a amestecat și material fin terigen rezultat din alterarea ariei cristaline din apropiere.

2. Relieful acestei arii continentale era mai ridicat, ceea ce se deduce din faptul că materialul detritic terigen este colțuros și puțin alterat chimic. El a suferit un transport fluvial limitat, fiind adus de curenți în zonele de sedimentare a nisipului coralier. Caracterul primar al acestui depozit a fost probabil șters în cursul procesului diagenetic de dolomitizare, care a condus în parte la recristalizarea materialului dolomitic detritogen.

3. In zonele cu concrețiuni singenetică (16) situate la același nivel, au loc concentrații sensibile de carbonat, care participă în mod activ la schimbul diagenetic ce se manifestă într-o fază următoare, înlocuind sau umplind scheletele de radiolari, aflați aici în tanatocenoza. Prezența piritei și side-

rozei dovedesc depunerea într-un mediu reducător anaerob. Decsebit de caracteristică este înlocuirea silicei cu sideroză, care pună în evidență mai mult capacitatea extreム de mare a silicei radiolarilor, de a fi înlocuită diagenetic. Pînă în prezent se cunosc forme de radiolari conservate în calcit, pînă, materie cărbunoasă, fosfați, clorite, oxizi de fier, iar în sedimentele silicioase din partea sud-estică a masivului Drocea, forme conservate în zeoliți, dar nu în sideroză. Prezența radiolarilor învederează legătura cu orizontul imediat superior al jaspurilor.

4. In concrețiuni, analizele chimice arată o mare cantitate de silice (52%), provenită din scheletele organice și din materialul argilos retic, avind un procent de 16,6%  $\text{CaCO}_3$  și de 14,6  $\text{MgCO}_3$ , reprezentând participația dolomitului la alcătuirea lor.

5. In continuitate de sedimentare, peste orizontul cu concrețiuni, se depun, într-o fază următoare, sedimente penitice silicioase hemipelagice, în condiții parțial reducătoare, cu formare de sulfuă de fier în masa sedimentului. Organismele pelagice furnizează silicea care mineralizează depozitul. Astfel, sedimentul primar poate fi omologat într-o măsură oarecare cu mîlurile albastre actuale, sau reprezentă un depozit depus în lagunele interne ale atominelor.

6. Prezența piritei și romboedrului de ankeri pînă la depozitul carbonat, din nivelul inferior. Este cunoscut raportul că în materialul diagăt de pe fundul Oceanului Atlantic s-au recunoscut romboedri idiomorfi de dolomit (expediția Meteor) (4), cum și inițiuția soluțiilor anomale asupra proceselor de dolomitizare (Kirov (5), Tatařski (18), Straħov (16)), în așa fel că ne putem explica și prezența materialului dolomatic în jasp. Materie organică din nivelul scheletelor radiolarilor determină mediul reducător în care se formează astăpira, care umple unele forme, cit și crionii libios aflat în celeste. În procese de oxidare penecontemporane și epigenetice se produce oxidarea fierului și pigmentarea, cu oxizi de fier, a sedimentului.

Cantitatea de piră variază după punctul considerat.

7. In masa jaspurilor cu piră, analizele chimice dovedesc o cantitate de carbonat de 14,6  $\text{CaCO}_3$  și 9,8  $\text{MgCO}_3$ , cum și un mic procent de fier (4,84%), rezultând în primul rînd din romboedri și piră.

8. Într-o fază următoare se realizează condiții oxidante aerobe tipice, în care se depune sedimentul hemipelagic care va da naștere apoi jaspurilor propriu zise. Întreaga cantitate de fier din mediu trece în oxizi, iar condiții anaerobe ce se crează în cavitățile radiolarilor, în urma descompunerii materiei organice, justifică desvoltarea selectivă a leptocioritului în aceste cavități. Legătura cu orizontul dolomatic pare a fi învederată de romboedri de carbonat aflată în masa jaspurilor.

9. Caminata redusă de material terigen precum și dimensiunile fine ale acestui material în unele porțiuni, dovedesc o depărtare mai mare de tărîm și o adâncime mai mare. Concentrarea fierului în alte porțiuni se explică prin jocul local al curenților care îl aduc de pe continent, îngămadindu-l în anumite zone, în care el se precipită în forma sa redusă.

Materialul are aceeași origine cristalină ca și în orizonturile inferioare și dovedește procese rapide de alterare fizică și chimică pe aria continentală din care provine.

10. Sedimentul poate fi omologat într-o măsură redusă cu unele depozite hemipelagice actuale, la sedimentarea căror, pe lîngă puzderia de schelete

organice, contribuie și o parte de material terigen, așa cum am avut ocazia să menționăm și pentru jaspurile jurasice din cuveta Hăgħimashului (3).

11. Șisturile argilo-silicioase care încheie seria, dovedesc, într-o fază următoare, dăinuirea condițiilor aerobe și mărirea aportului de material terigen continental. Analizele chimice arată o cantitate ridicată de fier ( $5,23\% Fe_2O_3$ ) precum și o cantitate de carbonați.

12. Toate sedimentele jaspoidice au suferit transformări diagenetice intense, ce au condus la modificarea caracterului scheletelor organice și în special la silicifierea prin recristalizare a depozitului pelitic sau aleuropelitic inițial.

13. În ceea ce privește predominarea categorică a formelor de *Spummlaria* față de *Nassellaria*, în fauna de radiolari, acest fapt ar reprezenta un argument în plus pentru a considera jaspurile din cuveta Rarăului ca depuneri efectuate la adâncime mică, așa cum am subliniat și cu alte ocazii (12), (13) și cum pare a se fi dovedit și în alte regiuni, în care s-au cercetat aceste raporturi (7).

## II. CONCLUZII DE ORDIN STRATIGRAFIC

1. Între dolomite și jaspuri, cu totă aparență contrară, există o trecere, care permite ca aceste roci să fie legate în același ciclu de depunere. Având argumente paleontologice (2), (3) pentru vîrstă triasică infelioară și medie a dolomitelor, jaspurile dela Pojorâta urmează să aparțină Triasicului mediu și superior.

2. Trecerea dela dolomite la jaspuri nu se relevă prin repetări pe verticală (cum afirmă unii cercetători (11), ceea ce ne-ar obliga să admitem reveniri la litogeneza dolomitică). Ea prezintă în special caracterul unei modificări brusă, trăsătura de unire concentrându-se în cei 3 m de șisturi dolomítice. Dată fiind grosimea variabilă cu care apar jaspurile în diferite aflorimente, se poate admite că momentul acestei modificări n-a fost același peste tot, pe alocuri jaspurile putând lipsi. Aceasta poate constitui un argument pentru o zonă marină puțin adâncă, cu caracter de recife.

3. Dat fiind că, în alte profile din lungul sinclinalului extern (la vest de lacul Ghilcos, Hăgħimash Mare), se cunoște jaspuri caloviene-oxfordiene încadrante la bază cu Dogger și la partea superioară cu Malm (stratele cu *Aspidoceras acanthicum* (2), (8), (20), vîrstă triasică a jaspurilor nu se poate generaliza, criteriul de litofacies nefiind suficient pentru aceasta. Putem aminti că în masivul Drocea jaspurile se asociază cu Cretacicul inferior (de tipul « strate de Sinaia ») (12). Jaspurile de vîrstă nu se deosebesc prin caracterul petrografic și nici prin formele de radiolari. Ele pot fi identificate numai prin asociere cu celelalte tipuri de roci.

4. Pe baza acestei asociații, putem afirma că în lungul aripiei interne a sinclinalului extern apar atât jaspuri triasice, cât și jaspuri jurasice și uneori la distanțe foarte mici. Aceasta este situația din partea înaltă a masivului Rarău, și mai ales dela Ghilcos spre sud peste Hăgħimas pînă în masivul Naskalat-Ciuc.

În porțiunile unde jurasicul în general lipsește, adică din Rarău spre nord pînă la Fundul Moldovei și Breaza, jaspurile sunt legate strîns de dolomite și aparțin Triasicului.

5. Interpunerea de jaspuri între gresii și în special între calcare, precum și prezența în masa lor a unui procent important de material detritic, eli-

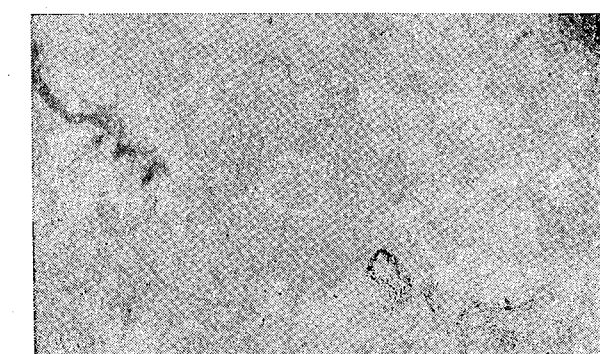


Fig. 3. — Secțiune printr-o конкрēțiune ( $\times 400$ ) (N II). Radiolar conservat în sideroză. În masa roci se văd granule de sideroză de culoare ceva mai închisă.

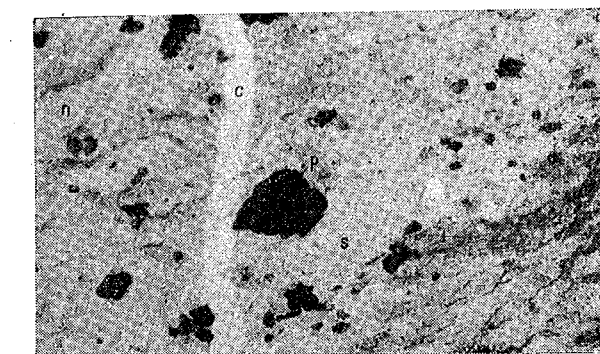


Fig. 4. — Secțiune prin jasp piritos ( $\times 90$ ) (N II) p = granul de pirită, s = silice de impregnație, r = radiolar din ordinul *Nassellaria*, c = cuart epigenetic.

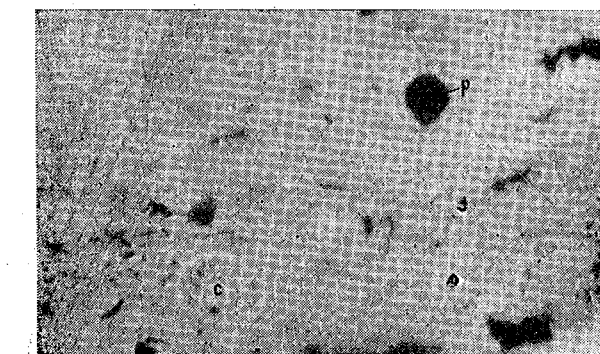


Fig. 5. — Secțiune prin jasp piritos ( $\times 160$ ) (N II) p = radiolar umplut cu pirită, c = radiolar calcedonitic.



Fig. 6. — Secțiune printr-o zonă slab pigmentată dintr-un jasp piroz ( $\times 160$ ) (N +). Forme de radiolari conservați în calcedonită.  
In stînga sus: un spicul globular conservat în calcedonită cu structura fibro-radiară.

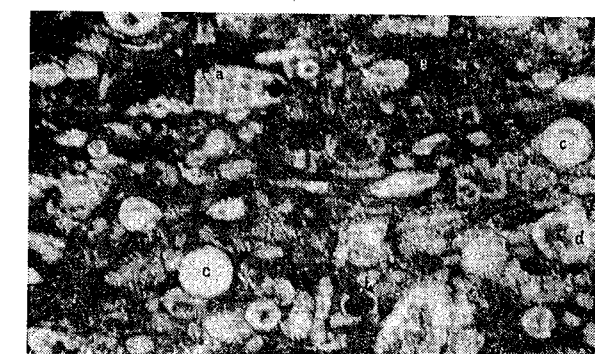


Fig. 7. — Secțiune printr-un jasp din orizontul principal (structura radiolaritică).  
a = Radiolar (*Lithocampe*) conservat în calcedonie, cu cavitatea umplută cu leptoclorit. Loja apicală este umplută cu hematit, b = radiolar conservat în calcedonie și cu cavitatea umplută cu hematit, c = radiolar conservat în calcedonie și cu cavitatea umplută cu calcedonit, d = radiolar conservat în calcedonie și cu cavitatea umplută cu calcedonită și oxid de fier, e = silice de impregnație pigmentată cu hematit.

mină condiția unei sedimentări în zona marină adâncă și permite să se simplifice ciclurile de sedimentare.

### III. CONCLUZII DE ORDIN TECTONIC

In ipoteza existenței pînzelor de șariaj, prezența jaspurilor nu poate constitui un element de orientare, această prezență putind fi în «autohton» ca și în «pînză». Existenza celor două nivele de jaspuri permite în schimb, să se separe mai clar primul ciclu mesozoic (triasic) de al doilea (jurasic-cretacic inferior) și să se delimitizeze în suprafață aceste cicluri, dându-se cărărilor un caracter mai sigur.

## ТРИАСОВЫЕ ЯШМЫ В ПОЖОРЫТЕ

### (КРАТКОЕ СОДЕРЖАНИЕ)

В настоящей статье рассматривается характер яшм, залегающих над нижнетретичными доломитами в районе Пожорыте, и на основе полевых и лабораторных данных им приписывается средний и верхний третичный возраст. Микрографический анализ указывает на генетическую связь между доломитами и непосредственно их покрывающими доломитовыми сланцами; последние рассматриваются как обломочные отложения, происходящие со склонов рифовых образований, уродивших доломиты. Выше следует радиоляриевые яшмы, пирит и ромбоэдры железистых карбонатов. Последние обнаруживают признаки их осаждения в восстановительной среде, возможно, в лагуне первоначальных атоллов. Горизонт радиоляриевых яшм представляет собой органогенное гемипелагическое отложение со слабым терригенным привносом, образовавшееся в окислительных аэробных условиях. Триасовый отдел оканчивается глинистыми сланцами с радиоляриями и обломочным материалом. Обломочный материал со всех вышеуказанных толщ кристаллического происхождения и обнаруживает слабые процессы выветривания в континентальном ареале, из которого они происходят, а также ограниченный вынос.

В метасоматических процессах, обусловивших окаменение радиоляриевых форм, отмечается между прочим сохранение в сидерите и наполнение пустот разными полезными ископаемыми, среди которых пирит и лептотхлорит, как следствие влияния восстановительной среды, созданной разложением органического вещества.

Указывается наличие яшм и в верхней юре, и в нижнем меле. Таким образом эти породы не всегда могут представлять маркирующий горизонт.

Стратиграфически и тектонически исследования яшм должны производиться в совокупности отложений, среди которых они заключены, так как литофауневого критерия не достаточно для выводов более общего характера.

### ОБЪЯСНЕНИЕ РИСУНКОВ

Рис. 1.—Разрез через Кувету Северной Молдавии к северу от долины Молдавии. 1—кристаллические сланцы. 2—доломиты нижнего и среднего триаса. 3—яшмы среднего и верхнего триаса. 4—песчаники и конгломераты Мунчелула Некомиана. 5—песчаники и конгломераты—верхний мел. 6—меллафиры. 7—черные сланцы—нижний мел. Масштаб 1:50000.

Рис. 2.—Левый берег Молдовы к западу от Пожорыты. 1—хлорито-серитовые сланцы. 2—песчаники и кварцевые конгломераты нижнего триаса. 3—доломиты нижнего и среднего триаса. 4—доломитовые сланцы. 5—доломитовые конкреции среднего и нижнего триаса. 6—желтые яшмы среднего и верхнего триаса. 7—красные яшмы среднего и верхнего триаса. 8—сланцы с радиоляриями. 9—конгломераты. Масштаб 1:2000.

#### ТАБЛИЦА I

Рис. 3.—Разрез через конкрецию (N II). Радиолярий, сохраненный в сидерите. В скалистой массе видны зерна сидерита более темного цвета.  $\times 400$ .

Рис. 4.—Разрез пиритовой яшмы (№ II);  $p$ —верно пирита;  $s$ —кремнезем импрегнации;  $n$ —радиолярий ord. Nosselaria;  $c$ —эпигенетический кварц.  $\times 90$ .

Рис. 5.—Разрез через пиритовую яшму (№ II);  $p$ —радиолярий, заполненный пиритом;  $c$ —халцедонитовый радиолярий.  $\times 160$ .

#### ТАБЛИЦА II

Рис. 6.—Разрез через слабо пигментированную зону пиритовой яшмы (№ +). Формы радиолярий, сохраненных в халцедоните с волокнистолучевой структурой. Слев вверху—булавкообразная игла, сохраненная в халцедоните с волокнистолучевой структурой.  $\times 160$ .

Рис. 7.—Разрез через яшму главного горизонта (радиоляриевая структура).  $a$ —радиолярий (*Lithocampe*), сохраненный в халцедоне с впадиной, заполненной лептохлоритом. Апикальное ложе заполнено гематитом.  $b$ —радиолярий, сохраненный в халцедоне, с впадиной, заполненный гематитом.  $c$ —радиолярий, сохраненный в халцедоне, с впадиной, заполненной халцедонитом.  $d$ —радиолярий, сохраненный в халцедоне, с впадиной, заполненной халцедонитом и окисью железа.  $e$ —кремнезем импрегнации, пигментированный гематитом.

### LES JASPIES TRIASIQUES DE POJORITA

#### (RÉSUMÉ)

Dans ce travail, on passe en revue les caractères des jaspes situés par-dessus les dolomies triasiques inférieures de la région de Pojorita. Se fondant sur les données obtenues sur les lieux mêmes et en laboratoire, les Auteurs en concluent à l'âge triasique, moyen et supérieur. L'analyse micrographique indique un rapport génétique entre les dolomies et les schistes dolomitiques immédiatement superposés, que l'on estime représenter les dépôts détritologènes des flancs des récifs qui ont engendré les dolomies. Des jaspes à radiolaires, pyrite et rhomboèdres de carbonates ferreux, se superposent aux dolomies. Ils prouvent un dépôt en milieu réducteur, peut-être dans la lagune des atolls d'origine. L'horizon des jaspes à radiolaires représente un dépôt hémipelagique, organogène, avec un faible apport terrigène, effectué dans des conditions d'oxydation aérobie. La série triasique s'achève par des schistes argileux à radiolaires et matériel détritique. Le matériel clastique des roches citées ci-dessus est d'origine cristalline et prouve, pour l'aire continentale dont il provient, des processus d'altération peu importants, ainsi qu'un transport limité.

Parmi les processus métasomatiques qui ont déterminé la fossilisation des différentes formes de radiolaires, on relève la conservation dans la sidérose et le remplissage de leurs cavités par des substances minérales, dont la pyrite et les leptochlorites. Elles sont la conséquence du milieu réducteur, créé par la décomposition de la matière organique.

On souligne la présence des jaspes tant dans le jurassique supérieur que dans le crétacé inférieur, et l'on prouve que ces roches ne constituent pas toujours un horizon repère.

Aux points de vue stratigraphique et tectonique, l'étude des jaspes ne doit pas être entreprise séparément, mais doit comprendre l'ensemble des dépôts qui les encadrent, le critérium de lithofacies n'étant pas suffisant pour des conclusions d'un ordre plus général.

### EXPLICATION DES FIGURES

Fig. 1.—Section à travers la cuvette du nord de la Moldavie, au nord de la vallée de la Moldova.

1. Schistes cristallins; 2. Dolomies. Trias inférieur moyen; 3. Jaspes. Trias supérieur; moyen 4. Grès et conglomérats de Muncelul. Néocomien. 5. Grès et conglomérats. Crétacé supérieur. 6. Mélaphyres. 7. Schistes noirs. Crétacé inférieur.

Echelle 1 : 50000.

Fig. 2.—Rive gauche de la Moldova à l'ouest de Pojorita.

1. Schistes chlorito-sériciteux. 2. Grès et conglomérats quartzitiques. Trias inférieur. 3. Dolomies. Trias inférieur moyen. 4. Schistes dolomitiques. 5. Concréctions dolomitiques. Trias moyen supérieur. 6. Jaspes jaunes. Trias moyen supérieur. 7. Jaspes rouges. Trias moyen supérieur. 8. Schistes à radiolaires. Trias moyen supérieur. 9. Conglomérats.

Echelle 1 : 2000.

### PLANCHE I

Fig. 3.—Section à travers une concrétion. ( $\times 400$ ). (N II).

Radiolaire conservé dans la sidérose. Granules de sidérose, d'une couleur un peu plus foncée, visibles dans la masse rocheuse.

Fig. 4.—Section à travers un jaspe pyriteux. ( $\times 90$ ). (N II).

$p$  = Granule de pyrite,  $s$  = silice d'imprégnation,  $n$  = radiolaire, de l'ordre des *Nasselaria*,  $c$  = quartz épigénétique.

Fig. 5.—Section à travers un jaspe pyriteux. ( $\times 160$ ). (N II).

$p$  = Radiolaire rempli de pyrite,  $c$  = radiolaire calcédonitique.

### PLANCHE II

Fig. 6.—Section à travers une zone de faible pigmentation d'un jaspe pyriteux. ( $\times 160$ ). (N +). Différentes formes de radiolaires conservés dans la calcédonite.

En haut et à gauche: un spicule globulaire conservé dans la calcédonite à structure fibro-radiaire.

Fig. 7.—Section à travers un jaspe de l'horizon principal (structure à radiolaires).

$a$  = Radiolaire (*Lithocampe*) conservé dans la calcédonite, à la cavité remplie de leptochlorite. La loge apicale est remplie d'hématite,  $b$  = Radiolaire conservé dans la calcédonite, à la cavité remplie d'hématite.  $c$  = Radiolaire conservé dans la calcédonite, à la cavité remplie de calcédonite,  $d$  = Radiolaire conservé dans la calcédonite, à la cavité remplie de calcédonite et d'oxyde de fer,  $e$  = Silice d'imprégnation à pigmentation d'hématite.

### BIBLIOGRAPHIE

- Andrusov D., *Etude géologique de la zone des Klippes internes des Carpates Occidentales*. Praga, 1931.
- Atanasiu I., An. Inst. Geol. Rom., 1928, t. XIII, p. 209.
- Băncilă I., An. Inst. Geol. Rom., 1941, t. XXI, p. 23.
- Barth T. F. W., Correns C. V., Eskola P., *Die Entstehung der Gesteine*. Berlin, 1939.
- Krotov V. P., Trudi Obșcestva Estestvoispitately Kazanskovo gasudarstvenovo universiteta, 1925, t. 50, p. 3.
- Ilie M., An. Inst. Geol. Rom., 1935, t. XVII, p. 329.

7. Grunau H., *Geologie von Arosa mit Berücksichtigung des Radiolarit-Problems*. Inaugural Dissertation der Philosophischen Facultät der Universität, Berna, 1947.
8. Jekelius E., *Jahresber. der k. ung. geol. Anst.*, für 1915, p. 286.
9. Kräutner Th., *An. Inst. Geol. Rom.*, 1929, t. XIV, p. 85.
10. Macovei G. și Atanasiu I., *An. Inst. Geol. Rom.*, 1934, t. XVI, p. 63.
11. Paul K., *Jahr. d. k. k. geol. Reichsanstalt.*, Viena, 1876, t. XXVI.
12. Papiu V. Corvin, *Bul. Științ. Acad. R.P.R.*, Seria: Geol., Geogr., Biol., Șt. Tehn. și Agr., t. II, nr. 2, februarie 1950, p. 67.
13. — *Bul. Științ. Acad. R.P.R.*, Secțiunea de Științe biol., agr., geol. și geogr., t. III, nr. 1, ianuarie–februarie–martie 1951, p. 203.
14. Polovinina, Razumovskaya, *Structura osadocinthal porod*. Moscova–Leningrad, 1948.
15. Preda D. și Ilie M., *C. R. Séances de l'Inst. Géol. Roum.*, 1940, t. XXIV, p. 25.
16. Strahov N. M., *Izv. Akad. Nauk. SSSR*, 1945, nr. 1, p. 3.
17. Svetov N. M., *Petrografia osadocinthal porod*. Moscova–Leningrad, 1948.
18. Tatarski B. P., *Zapiski Mineral. o-va*, 1937, nr. IV, p. 66.
19. Uhlig V., *Sitzber. Ak. Wiss. in Wien*, Viena, 1907, partea I-a, p. 116.
20. Vadász E., *Jahr. d. k. ung. geol. R.A.*, 1915, Budapest, 1917, p. 272–298.
21. — *Jahr. d. k. ung. geol. A.F.* 1915, Budapest, 1917, p. 299.

**BULETIN ȘTIINȚIFIC**  
**SECȚIUNEA DE ȘTIINȚE BIOLOGICE, AGRONOMICE,**  
**GEOLOGICE ȘI GEOGRAFICE**  
**Tomul V, nr. 4, 1953**

**MOLUŞTE FOSILE DIN OLIGOCENUL  
DE LA PIATRA NEAMT**  
DE  
MIRCEA PAUCA și NICOLAE COSMOVICI

*Comunicare prezentată de G. MURGEANU, membru corespondent al Academiei R.P.R.,  
în ședința din 30 iunie 1953*

Geosinclinalul alpin de pe teritoriul Europei, în faza sa de evoluție din timpul Oligocenului, se îngustase mult și își restrinse legăturile cu bazinele oceanice. Sedimentele depuse în anumite zone ale sale și în anumite momente din acea epocă, prezintă un caracter petrografic și o compoziție faunistică cu totul speciale, care au atras de mult timp atenția geologilor. Aceste roci se dezvoltă în general sub facies de șisturi bituminoase, cunoscute la noi sub numele de menilite și de șisturi disodilice, iar în U.R.S.S. sub numele de strate de Maicop. Fauna acestora se caracterizează prin abundența în Pești și prin sărăcia în Moluște, adică exact invers de cum este cazul cu majoritatea sedimentelor. Sărăcia în Moluște face dificilă orizontarea exactă a acestor depozite, aşa că uneori le este contestată chiar vîrstă oligocenă.

Paleontologii sovietici (1),(9) au publicat un mare număr de lucrări asupra fosilelor din aceste strate, iar la noi asemenea fosile sunt cunoscute din numeroase puncte, dar în special din două localități: Piatra Neamț și Suslănești (r. Cîmpulung). Faptul că aceste două localități au devenit atât de importante pentru cunoașterea Peștilor fosili oligoceni, nu se datorează unei bogății a lor deosebit de mari în fosile, ci în primul rînd împrejurării că în ele, colectarea a fost cea mai intensă.

Colectarea materialului paleontologic din șisturile disodilice dela Piatra Neamț a format obiectul unei preocupări atente, încă de acum patru decenii, a Prof. N. Cosmovicii. În anii 1951–1952, cercetarea acestui punct fosilifer a dus la rezultate deosebit de interesante. Anume, în acești doi ani, N. Cosmovici a recoltat un număr de peste 2000 de exemplare fosile întregi sau sub formă de fragmente, care sunt totuși determinabile. Marea majoritate aparține, ca și în cazul materialului recoltat în trecut, Peștilor și Algelor. Prin aceasta, Piatra Neamț devine localitatea din care s-a adunat cel mai mare număr de fosile oligocene din Carpați.

In plus, în acești 2 ani, datorită unei planificări minuțioase a colectării, pentru a nu scăpa vreun nivel necercetat, am constatat prezența, pe lîngă cîteva specii noi de Pești, despre care ne vom ocupa cu altă ocazie, și a două

specii noi de Moluște, precum și a cîtorva genuri de Alge. Colecția este întregită cu cîteva fragmente de Crustacee și cu o pană de pasăre. Amintim că Moluștele colectate în ultimii ani nu sunt primele specii de Moluște fosile găsite la Piatra Neamț, ci N. Cosmovici (2) a determinat în anul 1923, din aceeași localitate, un număr de nouă genuri de Lamelibranchiate și Gastropode de facies bentonic. Aceste fosile fiind rău conservate, nu au putut fi determinate specific, așa încît cercetarea lor n-a dus la concluzii importante de ordin paleontologic și stratigrafic.

Aparținând materialului adunat în ultimii 2 ani au fost determinate două specii de Moluște, care prezintă un interes cu totul deosebit pentru cunoașterea condițiilor biologice din timpul depunerii șisturilor disodilice și a menilitelor, ambele specii aparținând faunei pelagice. Una dintre specii aparține genului *Nautilus* care nu era cunoscut încă din aceste strate. Cea de a doua specie aparține Pteropodului *Balantium*, din care erau cunoscute pînă acum la noi numai două specii: *B. pedemontanum* Bellardi și *B. falaxi* Kittl din depozite cu mult mai noi, anume din Tortonianul dela Rudina (r. Baia de Aramă) (8).

Din depozite considerate ca avînd aceeași vîrstă ca și șisturile disodilice și menilitele, dar dezvoltate sub un facies marnos, Tr. Orgida a descopt în anul 1939 o asociație de Moluște asemănătoare dela Vlădeni (raionul Stalin). De aici el a determinat pe *Balantium pedemontanum* Bellardi și *Aturia ziczac* Sow. Atât una, cît și cealaltă, nu sunt fosile caracteristice, deoarece se întîlnesc și în depozite de alte vîrste.

Prezența celor două specii noi de Moluște dela Piatra Neamț, datorită vîții pelagice pe care o duceau, precum și asociația faunistică însotitoare, întărește concluziile noastre anterioare (7) că marea în care se depuneau șisturile disodilice și menilitele se afla, cel puțin temporar, în legătură cu bazinele oceanice, de unde prima invazie de faună pelagică. Din bazinile oceanice geosininalul carpatic primea specii de Pești și de Mamifere pelagice (exemplu: *Lepidopus*, *Pronotacanthus*, *Ophidium*, *Squalodon* etc), precum și specii de Pești bati-pelagici (*Scopeloides*, *Argyropelecus* etc.) (6) și (3).

Iată descrierea celor două specii de Moluște noi, descoperite la Piatra Neamț.

### 1. *Nautilus moldavicus* n. sp.

Cochilia acestui fosil se caracterizează prin grosimea deosebit de mică, încă din timpul vîții, a pereților ei, din care cauză fosilizarea a întîmpinat dificultăți foarte mari. În cele mai multe cazuri, cochilia apare numai sub forma unei umbre de culoare brună, care abia se distinge pe culoarea, de asemenea brună, însă puțin mai deschisă, a roci. Este foarte probabil că acesta este motivul pentru care fosilul a scăpat atenției geologilor în trecut, fiind remarcat abia în ultimii 2 ani.

Prin fosilizare, cochilia a fost comprimată mult lateral și ceea ce s-a păstrat din ea este numai stratul superficial, chitinos, întrucît roca este lipsită de orice urmă de  $\text{CO}_3\text{Ca}$ . Lipsa  $\text{CO}_3\text{Ca}$  poate să fie numai o consecință a fosilizării în mediul acid al saproelului care a dat naștere șisturilor disodilice și menilitelor. Avem însă toate motivele să admitem că nici în timpul vîții animalului, cochilia nu era prea groasă și nici umflată. În acest caz ar fi luat naștere mulaje interne, ceea ce nu am constatat niciodată.

Datorită cochiliei sale așa de subțiri, din această specie, numai 10 dintr-un număr de 42 de exemplare recoltate prezintă un grad suficient de claritate, care să permită studierea lor. Forma generală este elipsoidală, iar peristomul, mult comprimat lateral, este înalt.

Diametrul maxim, corespunzător regiunii peristomului, atinge 25 mm, în timp ce diametrul mic, perpendicular pe cel precedent, este numai de 15 mm. Cochilia posedă un umbilic cu o dezvoltare mijlocie, care reprezintă totuși umbilicul cel mai mare cunoscut la specie din acest gen. Prin aceasta, specia descrisă prezintă asemănări cu specia actuală *Nautilus umbilicatus* Lister din Oceanul Pacific, unde este foarte rară.

La exemplarele mature se pot distinge clar numai 2 circumvoluții. În centru, toate exemplarele posedă o pată de culoare brună mai închisă decît restul cochiliei, avînd un diametru de 3–4 mm. Aceasta reprezintă probabil prima circumvoluție a cochiliei. În total, cochilia constă, deci, din 3 circumvoluții.

Cu ochiul liber și chiar cu lupa, se pot distinge numai foarte puține caractere ale cochiliei. Pentru a obține mai multe amănunte, am recurs la fotografii, procedeu prin care am obținut imagini deosebite, după planul pe care-l puneam la punct.

Pereții septali se disting numai în cursul ultimei circumvoluții, unde se pot număra 12–14 septe. Ca o consecință a apropierii pereților septali, lojele sunt de 2 ori și ceva mai înalte decît late.

Punând la punct un plan cu totul superior al suprafeței roci, obținem o linie suturală slab sinuoasă, avînd un lob foarte larg în regiunea ventrală. Dacă punem la punct un plan mai adînc, linia suturală devine dreaptă și apare din loc în loc cîte un fragment din sifon. Alteori se distinge mai bine porțiunea externă (ventrală) a pereților septali, putîndu-se observa și gulerașul sifonal.

Spre deosebire de specia următoare, care este cunoscută pînă acum numai dela un singur nivel și reprezintă o singură invazie din apele oceanice în geosininalul relativ îngust al Carpaților, *Nautilus moldavicus* apare la mai multe nivele. Ca și *Balantium*, *Nautilus* este o formă imigrată în marea oligocenă, deoarece, ducind o viață în cea mai mare parte bentonică, el nu putea trăi pe fundul inospitalier format dintr-un mîl sapropelic al acestei mări. O dovadă în plus că *Nautilus* ajungea în geosininalul carpatic pe cale de emigrare este faptul că peștele însotitor cel mai frecvent este *Argyropelecus*, el însuși străin de geosininalul carpatic. Acesta ducea o viață bati-pelagică, după cum reiese din prezența numeroaselor organe fosforescente distribuite pe aproape tot corpul.

*Nautilus moldavicus* se deosebește de toate speciile de *Nautilus* cunoscute anterior, prin talia sa mică și prin deschiderea umbilicală relativ mare. Talia sa mică, în comparație cu celelalte specii de *Nautilus* fosile, ca și cochilia sa subțire, se explică prin condițiile biologice defavorabile în care trăia.

Amintim că și cele nouă specii de Moluște, determinate de N. Cosmovici în anul 1923, dela Piatra Neamț, sunt caracterizate prin același fenomen de nanism, ca și *Nautilus*.

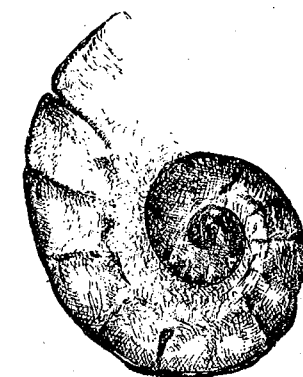


Fig. 1.— *Nautilus moldavicus* n. sp. mărit de 2 ori.

## 2. *Balantium meniliticum* n. sp.

Cochilia acestei specii era, pe aproape întreaga ei lungime, foarte subțire, din care cauză ea s-a păstrat adeseori numai sub formă de mulaje externe și interne. Ca o consecință a deformării prin fosilizare, ea se prezintă turtită întotdeauna dorso-ventral. Din această cauză, nu se poate constata dacă în regiunea apicală era sau nu ușor arcuită, așa cum este cazul la speciile actuale de *Balantium*, și cum s-a putut dovedi și pentru unele specii fosile.

Cochilia prezintă o grosime relativ mare numai în jumătatea ei din spate apex, devenind din ce în ce mai subțire în spate peristom. Ea prezintă o formă conică și este ușor comprimată în formă de teacă, având în continuarea celor două muchii laterale, caracteristice acestui gen, cîte o lamă foarte subțire și îngustă, care s-a păstrat mai bine numai la unele exemplare.

Maximum de lățime, corespunzînd peristomului, intră de trei ori și un sfert în înălțimea cochiliei, fapt care face ca exemplarele descrise să reprezinte specia cea mai sveltă, depășind din acest punct de vedere chiar și pe *Balantium acutissimum* Seguenza.

Inălțimea maximă, care a putut fi măsurată, este de 13 mm. Acesteia îi corespunde o lățime maximă de 4 mm în regiunea peristomului. Pe fața internă a cochiliei, în lungul acesteia, se găsește începînd dela apex, o îngroșare care ajunge pînă la aproximativ jumătate din înălțime.

Această îngroșare se constată în special la exemplarele conservate sub formă de mulaje interne, la care ea apare sub forma unui sănț. În afară de raportul dintre lungime și lățime și de desimea crescîndă a coastelor în spate peristom, îngroșarea menționată reprezintă unul dintre caracterele principale ale acestei noi specii.

Suprafața cochiliei este ornamentată de un număr de peste 35 de coaste transversale, care pot fi observate distinct în cele două treimi terminale ale cochiliei, în timp ce în treimea din spate apex, ca o consecință a îngroșării mai mari din această regiune, cochilia face impresia a fi fost netedă. Totuși unele exemplare arată că și această regiune era prevăzută cu coaste. Coastele sunt groase și rare în treimea mijlocie a cochiliei, dar devin din ce în ce mai înguste și mai dese cu cît se află mai aproape de peristom.

Au fost studiate un număr de peste 500 de exemplare, păstrate relativ bine.

Faptul că un fosil, descris pe baza unui număr așa de mare de exemplare, a fost descoperit de abia în ultimul timp dintr-o localitate de unde au fost colectați peste 65 de ani, se datorează împrejurării că această nouă specie este cantonată într-un singur banc de sist menilitic. Acest banc are o grosime numai de 25 cm și din el nu se făcuseră recolțări pînă în prezent. Roca, din care este constituit acest banc, prezintă unele deobiri față de menilitele obișnuite, prin duritatea sa mai mare, prin culoarea sa cafenie mai închisă, aproape neagră, datorită cantității ceva mai mari de bi-

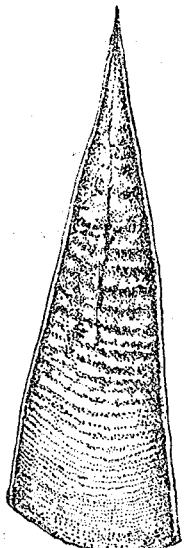


Fig. 2. — *Balantium meniliticum* n. sp.  
mărit de 5 ori.

tumen ce conține, în comparație cu stratele imediat învecinate, precum și printr-un slab conținut de  $\text{CO}_3\text{Ca}$ , care lipsește din sisturile disodilice. Ea apare în malul Bistriței, în față gării.

Fauna însoțitoare constă din exemplare rare de *Scopeloides mrazecii*, specie răpitoare de origine de asemenea oceanică, care urmărea bancurile de *Balantium* pentru a se hrăni.

Pe suprafațele de stratificație ale acestei varietăți de sist menilitic, înafără de numeroase exemplare de *Balantium* întregi, care sunt atât de numeroase încît adeseori se acoperă unele pe altele (pe o placă de  $10 \times 10$  cm pot fi numărate peste 50 de exemplare), mai constatăm prezența a numeroase puncte albe foarte mici care, privite cu lupa, se observă că reprezintă cochiliile unor exemplare de *Balantium* sfârmitate.

Este interesant de remarcat de asemenea faptul că aproape totalitatea exemplarelor de *Balantium* de pe aceeași placă au cochiliile paralele între ele, avînd apexul orientat în aceeași direcție, cîrte, pe teren, corespunde direcției sud-vest. Acest mod de aranjare este o dovadă că animalele, după ce erau introduse din bazinul oceanic în cantități considerabile, erau îngrămădite de către curenti sau de către furtuni în mare număr în regiunile litorale, fapt pe care îl deducem și din prezența în același strat și a genului *Clupea*.

Apariția în masă a lui *Balantium meniliticum* oglindește marea număr de forme ce constituia această biocenoază, ceea ce era de altfel și de așteptat dela Pteropode.

Plantele găsite la Piatra Neamt sunt reprezentate, în marea lor majoritate, prin Alge. Resturile de antofite sunt aici mult mai rare în comparație cu acele găsite în materialul dela Suslănești (r. Cîmpulung). Majoritatea Algor determinate (*Fucus*, *Cystoseira*, *Ascophyllum*, *Halidrys* etc.) fiind forme bentonice, sunt și ele străine de regiunea în care au fost acoperite de sedimente. De altfel, ele apar numai la anumite nivele și atunci în cantități destul de mari.

Lorenzhey (4),(5) descrie, în lucrarea sa, prezența unui orizont cu Pteropode în Oligocenul din R.P. Ungară, exemplarele aparținând de asemenea genului *Balantium*, fără a da o descriere detaliată o fosile studiate.

## CONCLUZII

Cele două specii de fosile noi, descrise dela Piatra Neamt, reprezintă o contribuție la lista speciilor, și așa destul de numeroase, cunoscute pînă acum din sisturile menilitice și disodilice din regiunile carpatice.

Cercetările din ultimii 2 ani asupra fosilelor din aceste roce ne conduc din ce în ce mai sigur la următoarele două concluzii:

1. Sîntem încă departe de a cunoaște complet fauna din aceste depozite, pentru motivul că fiecare recoltă nouă dă la iveală și specii noi. Cunoașterea florei din aceste strate este abia la începutul ei.

2. La alcătuirea faunei din sisturile menilitice și disodilice iau parte două categorii de fosile:

a) Prima categorie, și cea mai bogată ca număr de specii și de exemplare, constă din specii indigene, de facies litoral sau care trăiau în larg la suprafața apelor.

b) Cea de a doua categorie de fosile este reprezentată în general printr-un număr mai mic de specii și de indivizi. Ea constă din animale migratoare care veneau din apele oceanice.

Printre speciile migratoare, unele trăiau, în mările lor de origine, pînă la mari adîncimi, după cum rezultă din prezența pe corpul lor a organelor fosforescente.

Geosinclinalul carpatic se află, deci, în comunicație cu bazinile oceanice, dela care primea un mare număr de viețuitoare.

Fauna proprie a geosinclinalului carpatic din acel timp nu era dintre cele mai bogate. Totuși, astăzi, bazindu-ne pe numeroase documente de ordin sistematic și biologic adunate, sistem în măsură să ne putem explica acumularea acelei mari cantități de substanță organică în sapropelul care a dat naștere șisturilor disodilice și menilitelor. Mareea cantitate de substanță organică din aceste roci nu se datorează deci, prezenței unui mare număr de viețuitoare, ci, în primul rînd posibilității de conservare a materiei organice existente.

Prezența unor specii oceanice, ajunse pe cale de migrație în fauna oligocenă din Carpați, ne dă speranță de a putea găsi vreodată în ele și acel fosil caracteristic, care să pună vîrsta șisturilor disodilice și a menilitelor înafară de orice discuții.

Originalele studiate se află depuse în colecțiile Comitetului Geologic al R.P.R.

## ИСКОПАЕМЫЕ МОЛЛЮСКИ ОЛИГОЦЕНА В ПЯТРА-НЯМЦ

### (КРАТКОЕ СОДЕРЖАНИЕ)

За последние два года было собрано в Пятра-Нямц более 2000 экземпляров олигоценовых окаменелостей в дисодильных сланцах и менилитах (пласти Майкопа), большинство которых, как и в прошлом, принадлежат рыбам. Таким образом окрестности Пятра-Нямц являются областью, в которой было найдено наибольшее количество такого рода окаменелостей из Карпат.

В собранном материале находилось помимо рыб и значительное количество водорослей и моллюсков. Эти последние представляют большой интерес как с систематической точки зрения, будучи представлены двумя новыми видами, так и с биологической точки зрения, в связи с их пелагической жизнью в прошлом. Описанные моллюски океанического происхождения и проникли в карпатскую геосинклиналь путем миграции.

Изучение миграций из океанских бассейнов в карпатскую геосинклиналь является проблемой, которую следует изучить в будущих исследованиях.

*Nautilus moldavicus* sp. n. был найден на различных уровнях в дисодильных сланцах светлого цвета, но сохранился лишь в виде тончайших отпечатков, едва заметных своей более темной окраской сравнительно с скалой. Он особенно характерен своим широким тяжем. Его определение было возможно благодаря тому, что в распоряжении авторов имелось приблизительно 42 экземпляра.

*Balantium meniliticum* sp. n. известен лишь на одном уровне, образованном из менилитов с повышенной жесткостью и темнобуро-черной

окраской. Было изучено приблизительно 500 экземпляров этого вида, характерного чрезвычайно высокой раковиной. Частота этого вида находится в зависимости от его жизни огромными стаями.

Собранный материал содержит несколько новых видов рыб и водорослей, которые являются объектом изучения будущих работ. Таким образом, несмотря на большое количество видов, известных до настоящего времени в менилитовых сланцах, можно утверждать, что фауна этих скал, столь своеобразного аспекта и представляющих месторождение углеводородов системы альпийской складчатости, еще далеко не изучена полностью.

Несколько видов собранных водорослей (*Fucus*, *Cystoseira*, *Ascorhynchus*, *Halidrys* и т. д.), относящихся к бентосу, были также занесены течением в зону отложений дисодильических сланцев и менилитов, что вытекает из их присутствия в большом количестве лишь в виде фрагментов и только в некоторых горизонтах этих скал.

### ОБЪЯСНЕНИЕ РИСУНКОВ

Рис. 1. — *Nautilus moldavicus* sp. n. x 2.

Рис. 2. — *Balantium meniliticum* sp. n. x 5.

## MOLLUSQUES FOSSILES DE L'OLIGOCÈNE DE PIATRA NEAMȚ

### (RÉSUMÉ)

Au cours des deux dernières années, on a recueilli, dans les schistes dysodyles et les ménilites (couche de Maikop) de Piatra Neamț, plus de 2000 exemplaires de fossiles oligocènes, dont la plupart se rattachent à la classe des poissons, ainsi qu'on l'a constaté pour les collections précédentes. Les dernières collections, permettent d'affirmer que les environs de la ville de Piatra Neamț constituent la région des Carpathes qui a fourni le plus grand nombre de fossiles de ce genre.

Hormis les poissons, le matériel colligé comprend cette fois-ci un nombre appréciable d'algues et de mollusques. Les mollusques sont particulièrement intéressants, tant au point de vue systématique, car ils sont représentés par deux espèces nouvelles, qu'au point de vue biologique, étant donné la vie pélagique qu'ils ont menée. Ils sont d'origine océanique et ont pénétré dans le géosynclinal des Carpathes par voie de migration.

Ces migrations, des bassins océaniques au géosynclinal des Carpathes, constituent un problème qui devra être étudié au cours des recherches futures.

*Nautilus moldavicus* n. sp. a été trouvé à différents niveaux dans les schistes dysodyles de couleur claire. Il n'est conservé que sous forme d'impressions extrêmement fines et ne se distingue qu'à peine, par sa couleur un peu plus foncée que celle de la roche. Il est caractérisé tout spécialement par un large ombilic. Il n'a été possible de déterminer cette espèce que grâce à un nombre d'environ 42 exemplaires dont les Auteurs ont disposé.

*Balantium meniliticum* n. sp. est connu à un seul niveau, formé de ménilites extrêmement durs, d'une couleur brun foncé tirant sur le noir. Les Auteurs ont étudié environ 500 exemplaires de cette espèce, caractérisée par une

coquille ayant la forme d'un cône très allongé. La fréquence est due au genre de vie de cette espèce qui se rassemblait en troupes innombrables.

Le matériel recueilli au cours des dernières recherches contient également quelques espèces nouvelles de poissons et d'algues, qui feront l'objet de travaux à venir. Leur présence prouve que, malgré le grand nombre d'espèces contenues dans les schistes à ménilites que l'on connaît aujourd'hui, on est encore loin de connaître la totalité de la faune caractéristique de ces roches à l'aspect si particulier, qui représentent la roche mère des hydrocarbures du système des plissements alpins.

Les quelques espèces d'algues récoltées (*Fucus*, *Cystoseira*, *Ascophyllum*, *Halidrys*, etc.), appartenant au benthos, ont été, elles aussi, portées par les courants dans la zone de dépôt des schistes dysodyles et à ménilites, fait qui ressort de leur présence, en grande abondance, uniquement sous forme de fragments et seulement dans certains horizons de ces roches.

#### EXPLICATION DES FIGURES

Fig. 1. — *Nautilus moldavicus* n. sp. Grossissement: × 2.

Fig. 2. — *Balantium meniliticum* n. sp. Grossissement: × 5.

#### BIBLIOGRAFIE

1. Bogachev V. V., Trudi Aserbejdjanskovo isledovatel'skovo instituta (As N. II) geologicheski otdel, Moscova, 1933, t. XV.
2. Cosmovici N., Analele Acad. Rom., Mem. Secț. St., 1913, Seria II, t. XXXV, p. 91–93.
3. Cosmovici N. și Paucă M., Bull. Acad. Roum.; Sect. Sci., 1943, t. XXVI, Nr. 4, p. 271–281.
4. Lörenthay L., Math. u. Naturwissenschaftliche Berichte aus Ungarn, 1909, t. XXVII, caetul 4, p. 282–394.
5. — Földtani Közlöny, 1903, t. XXXIII.
6. Paucă M., Anuar Inst. Geol. Rom., 1933, t. XVI, p. 575–668.
7. — Bull. Acad. Roum., Sect. Sci., 1934, t. XVI, Nr. 13, p. 111–118.
8. Protescu O., Anuar Inst. Geol. Rom., 1922, t. IX, p. 221–372.
9. Smirnov V., Centralblatt für Miner. geol. u. Paleontologie, 1932, Nr. 7, p. 363–364.

#### BULETIN ȘTIINȚIFIC

SECȚIUNEA DE ȘTIINȚE BIOLOGICE, AGRONOMICE,  
GEOLOGICE ȘI GEOGRAFICE

Tomul V, nr. 4, 1953

#### CONTRIBUȚII LA STUDIUL VERTICILIOZEI LA ACERINEE

DE

C. C. GEORGESCU

MEMBRU CORESPONDENT AL ACADEMIEI R.P.R.

și ST. ORENSCHI

Comunicare prezentată în ședința din 17 noiembrie 1953

La Stațiunea experimentală a Institutului de Cercetări Silvice «Bărăgan» s-a semnalat în anul 1951 verticilioza la puieții de Acerinee, în vîrstă de 3 ani, din perdelele forestiere de protecție, situate la circa 1 km spre nord de gara Jegălia. În anul 1952, boala a mai fost observată în perdelele forestiere dela Lacul Sărăt (r. Brăila), la puieți de aceeași vîrstă.

Această boală are o mare intensitate la *Acer tataricum* și în ordine descrescăndă la *Acer campestre* și *Acer platanoides*, specii introduse în perdele.

Din exemplarele infectate s-a izolat o ciupercă din seria *Verticillium albo-atrum* R. et B., cunoscută în literatură ca agent patogen al verticiliozei (hadromicozei sau trachomicozei) la Acerinee (14), (18), (20), (22), (23), (26).

În studiul de față ne propunem să aducem contribuții la cunoașterea bolii, a morfologiei și a fiziolgiei agentului patogen.

#### I. SCURT ISTORIC AL VERTICILIOZELOR

Boala aceasta a fost semnalată la cartofi încă din secolul al XVIII-lea, fără să se recunoască însă agentul patogen. E. Hallier (citat după Rudolph (18)) dă în anul 1878, pentru prima dată, o descriere corectă a bolii la cartofi pe care o numește încrețirea (Kräuselkrankheit) și arată că agentul patogen este o ciupercă, pe care o determină eronat ca *Pleospora polytricha* Tuls. Un an mai tîrziu Reinke și Berthold, izolând din nou agentul patogen, îl descriu ca o specie nouă sub denumirea râmasă valabilă de *Verticillium albo-atrum* și arată în același timp, în mod amănuntit, dezvoltarea ciupercii și evoluția bolii (17).

ACEste cercetări au fost aproape uitate, timp de mai multe decenii. Abia în anul 1907 se reiau studiile asupra verticiliozelor prin descrierea unui atac la speciile de *Ribes*. De atunci s-au urmărit cu atenție verticiliozele și astfel s-a ajuns la descrierea mai multor specii patogene de *Verticillium*, care au

fost găsite pe un mare număr de specii gazde din cele mai variate unități sistematice, din care multe plante de cultură, circa 160 de specii din peste 30 de genuri (18), (20), (22).

La plantele lemnoase, boala a fost observată pentru prima dată în livezile din California, la începutul secolului și a fost denumită «Innegrirea inimii». S-a observat că există o legătură între frecvența bolii și culturile intercalate de roșii în livezi; agentul patogen a fost identificat însă abia în anul 1916, ca o specie de *Verticillium*.

La speciile forestiere, boala a fost descrisă la Acerinele din S.U.A. de Rankin în anul 1914, dar agentul patogen a fost raportat în mod eronat la genul *Acrostalagmus*. În anul 1917 s-a demonstrat că agentul patogen este specia *Verticillium albo-atrum* (26). În Europa, boala a fost observată la Acerinee pentru prima dată în Olanda, în anul 1920 (14). În anii următori s-a acumulat un bogat material documentar, care a demonstrat că boala este răspândită pe un larg areal al hemisferei vechi și atacă numeroase specii forestiere, ca: *Alnus* sp., *Ulmus* sp., *Acer platanoides*, *A. negundo*, *A. saccharum*, *A. rubrum*, *A. saccharinum* și alte specii de *Acer*, *Tilia euchlora*, *T. cordata*, *Aesculus hippocastanum*, *Ailanthus* sp., *Prunus Mahaleb*, *Robinia pseudoacacia*, *Cercis siliquastrum*, *Sophora japonica* (9), (10), (18), (20), (22), (25).

În U.R.S.S. boala s-a observat în diferite regiuni pe diferite specii de *Acer* și alte specii forestiere (23). La noi, boala a fost semnalată pentru prima dată de Tr. Săvulescu la *Ailanthus* (21), iar primul atac la specii de *Acer* este cel descris în lucrarea de față.

## II. CONSIDERAȚII ASUPRA SISTEMATICII SPECIILOR FITOPATOGENE DIN GENUL *VERTICILLIUM*

Genul *Verticillium* a fost creat în anul 1816 de Nees von Esenbeck. Prima specie fitopatogenă descrisă a fost *Verticillium albo-atrum* R. et B. semnalată în anul 1879 (17). Mai târziu s-au mai descris alte specii fitopatogene și anume: *V. dahiae*, izolat în anul 1913 de Klebahn din Dahlia, *V. angustum*, izolat de Wollenweber din Lupin; *V. tracheophilum* izolat de Curzi din Ardei; *V. amaranti*, izolat de Verona și Ceccarelli din specii de *Amarantus* s.a.

Asupra valabilității acestor specii, părerile sunt foarte diferite. Separarea speciilor fitopatogene de *Verticillium* s-a făcut de către autorii respectivi pe baza prezenței și a modului de formare a scleroțiilor, precum și a colorației miceliului. Dupați alți autori, aceste caractere nu sunt specifice.

Astăzi sistematica speciilor fitopatogene de *Verticillium* se prezintă în felul următor: O parte dintre autori, van der Meer (14), Berkeley (1), Dufrenoy (8), Saburova (19), Kononenko (12), Oknina (15), Kokin (13), Curzi (5), Klebahn (11), Verona și Ceccarelli (24) recunosc 2 sau chiar 3 serii bine distințe și anume: seria *V. albo-atrum*, la care miceliul de rezistență este alcătuit din mase de hife înnegrite, cu pereți îngroșați și cu numeroase septe transversale, dar fără pereți longitudinali; seria *V. dahiae*, la care miceliul de rezistență este de structură noduroasă sau struguriformă, rezultatul înmuguririi unei singure hife și care s-a denumit scleroți sau mai corect pseudoscleroți. Unii autori mai recunosc o a treia serie, care nu produce nici micel înnegrit, nici pseudoscleroți. Aceste serii au, după autorii citați, rangul de specii.

Alți autori consideră aceste serii numai ca varietăți și propun în consecință denumirea de *V. albo-atrum* pentru tipul scleroțial, de *V. albo-atrum* var. *caespitosum* pentru tipul ascleroțial și de *V. Albo-atrum* f. *palens* pentru tipul cu micel compact alb (18), (25).

In literatura forestieră Vanin (23) și alții, consideră că pe speciile de *Acer*, agentul patogen al hadromicozei este *Verticillium albo-atrum* R. et B.

Cercetarea tulpinei izolate de noi ne-a arătat în această privință următoare:

— In cazul culturilor izolate de curind, scleroți se formează abundant, chiar în decursul primelor zile.

— La culturile de laborator învechite, scleroți se formează după replicare pe mediul proaspăt mai târziu și într-o proporție mai mult sau mai puțin redusă, în funcție de mediu de cultură.

— Pe anumite medii (gelatină de prune, agar de apă) formarea scleroțiilor poate înceta complet.

— Miceliul este alb; numai pe măsura formării scleroțiilor, porțiunile de hife invecinate se înnegresc.

Apariția acestor variații în culturile tulpinii noastre ne arată că colorația miceliului și formarea de scleroți nu poate constitui criterii pentru separarea speciilor fitopatogene de *Verticillium*. Prin urmare, suntem de același părere cu autorii care consideră *Verticillium albo-atrum* ca singură specie fitopatogenă; cercetările ulterioare vor trebui să dovedească dacă subîmpărțirea în varietăți este valabilă.

## III. SIMPTOMELE BOLII

### A. Aspectul macroscopic

1. Simptomele exterioare ale bolii la speciile forestiere sunt descrise în general de Vanin (23) și alți autori (1), (8) (18), (22). Considerăm totuși necesar să arătăm simptomele observate de noi, care completează cele cunoscute anterior, mai ales în ceea ce privește variația simptomelor la diferitele specii de *Acer*.

La *Acer tataricum* și *A. campestre*, mai puțin la *A. platanoides*, se produc în cursul lunii iunie o îngălbire și o slabă încrăpătură a frunzelor. Mai târziu, și mai ales pe timpul seccetei de vară, frunzele axelor infectate se ofilesc și apoi se usucă începând dela vîrful laminei; paralel urmează și uscarea acestor axe dinspre vîrf. La puieți, uscarea tulpinii se poate produce pînă în regiunea coletului.

Pe lujerii infectați de *A. tataricum* în curs de uscare, scoarța se crapă în fantă pe o lungime pînă la 3–4 cm și din rană se scurge un lichid viscos negricios (fig. 1, a și b); acest simptom a fost dat pînă acum numai la *A. platanoides*.

Pe măsură ce tulpinele se usucă, dela nivelul coletului se produc lăstari care pot fi reinfectați în același an sau în anul următor. Puieții atacați continuă să vegeteze în general, dar din această cauză rămin în urmă cu creștere și iau un port arbustiv.

2. Simptomele interioare nu sunt date cu precizie în literatură și de aceea considerăm necesar să arătăm observațiile noastre făcute la *A. tataricum* asupra mersului colorării lemnului în decursul diferitelor faze ale imbolnăvirii.

Astfel nu s-a dat atenție aspectului lemnului în primele stadii de infectare.

Noi am observat acest prim stadiu în lemn prin transparentă după îndepărțarea scoarței. Pe suprafață tangentială a lemnului apar niște dungi interioare înguste de culoare brună-vineție, care se întind în sensul vaselor. În secțiune transversală apar mai întâi, la oarecare distanță de cambiu, pete

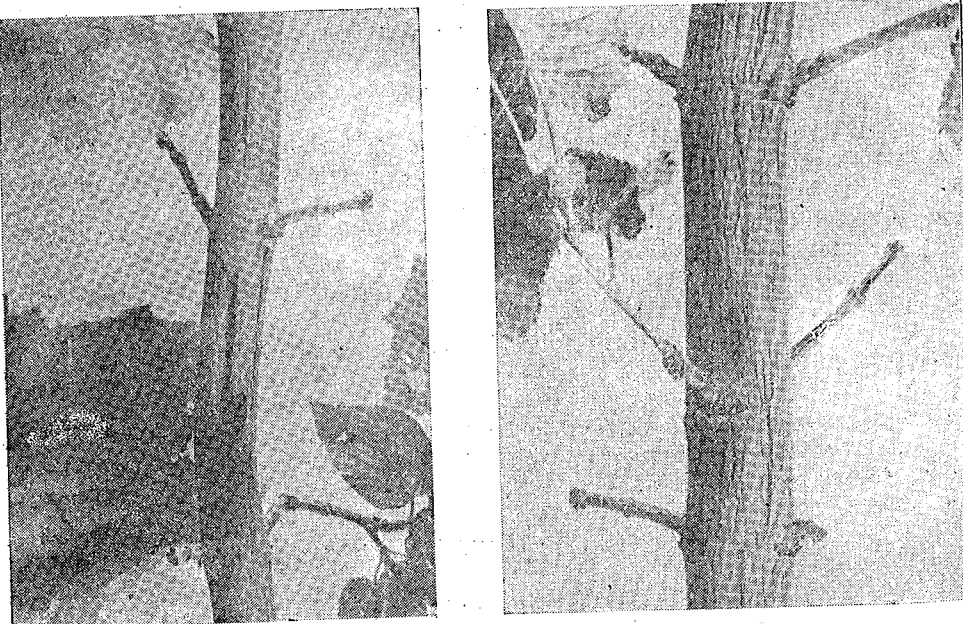


Fig. 1. — *Verticillium albo-atrum* R. et B.  
Lugeri de *Acer tataricum* cu răni în formă de fante longitudinale, fără (a) și cu scurgerea (b)  
unui lichid viscos negricios.

izolate vinețiu-negricioase, dispuse în unul sau mai multe cercuri situate în inelele lemninoase periferice, care corespund dungilor arătate mai sus (fig. 2, a).

Acste pete vinețiu negricioase confluuează pe sectoare ale axului sau pe toată circumferința sa, luând forma unei coroane de cerc (fig. 2, b).

De asemenea, nu s-a observat pînă acum faptul că rămîne necolorată o parte din inelul anual periferic sau chiar tot inelul periferic. După aspectul pus în evidență de noi, se poate deci vorbi de o pătare inelară subperiferică.

Un aspect nou observat de noi este acela al mersului alterării cromatice a lemnului.

Se cunoaște că pătarea înaintează către centru în forma unor dungi, inelare, sau neregulate (fig. 2, c, d, e).

Noi am observat mai departe că, în momentul cînd colorația ajunge pînă la măduvă, procesul de alterare cromatică se poate continua secundar în la măduvă, procesul de alterare cromatică se poate continua secundar în inelele de lemn înconjurătoare, distanțat de pătarea subperiferică, măduvă și în inelele de lemn înconjurătoare, distanțat de pătarea subperiferică, arătată mai înainte (fig. 2, a și b). Dacă în acest stadiu se secționează un lujer transversal, la un nivel superior locului, unde pătarea a ajuns la măduvă, atunci se distinge o zonă inelară subperiferică, colorată, separată de zona centrală colorată din jurul măduvei. Adeseori alterarea măduvei lemnului

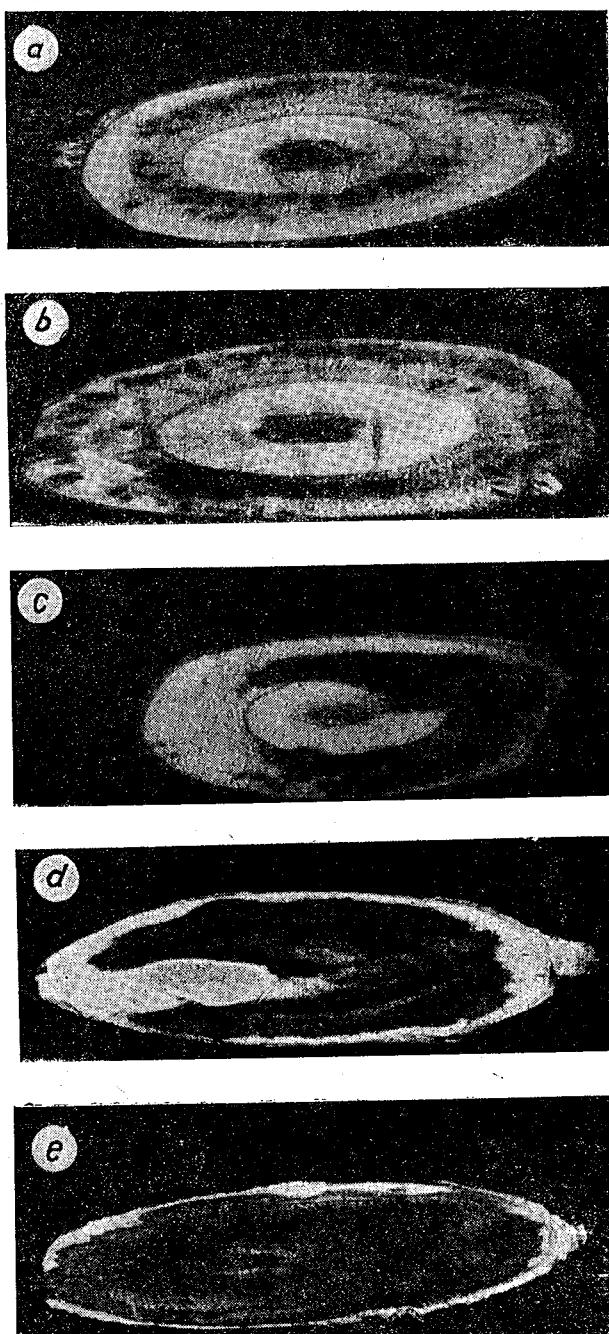


Fig. 2. — *Verticillium albo-atrum* R. et B.  
Secțiune transversală prin luger de *Acer tataricum* infectați, în  
diferite stadii de alterare cromatică a lemnului.

poate să se accentueze în intensitate mai mult decât alterarea inelului lemnos cea din zona subperiferică, aceasta din urmă putând chiar lipsi la un nivel superior locului de infecție.

Se constată deci două căi pentru propagarea alterării cromatice: cea mai frecventă prin inelele subperiferice, iar cealaltă, secundară, prin măduva și inelele de lemn înconjurătoare. Această din urmă caile de propagare, ca și prima, are loc de jos în sus dela punctul unde infecția a pătruns în măduvă.

S-a mai observat adeseori că zona medulară infectată este mărginită de o dungă brună, în felul cum se observă la limita dintre lemnul sănătos și cel putrezit de diferitele ciuperci xilofage.

În stadiul final de îmbolnăvire, pătarea se întinde pe toată secțiunea transversală, cu excepția unei zone înguste către cambiu. Pe măsura înaintării procesului de uscare a axului, colorația lemnului se intensifică în negru-brun.

La axelete uscate, colorația lemnului poate fi generală sau se păstrează o zonă inelară necolorată din sprijnul cambiu. Uscarea axelor poate să se producă rapid, și în acest caz alterarea lemnului se oprește la stadiul aflat în momentul uscării.

#### B. Aspectul microscopic

Unii cercetători au găsit miceliul ciupercii în interiorul lemnului pătat al axelor în viață; majoritatea cercetătorilor, însă, au observat miceliul și forme de fructificație numai în țesutul din porțiunile axelor infectate și uscate. După Monte Martini (citat după Ferraris (9)), miceliul este prezent în ramurile principale și lipsește în lujerii anuale cu frunze ofilité.

Cit timp plantele sunt verzi, hifele ciupercii se dezvoltă numai în vasele de lemn, invadând ocazional și celulele vecine. În celulele infectate s-a observat că nuclei capătă un aspect amiboid, dar citoplasma apare normal cu condriome bine conturate. Prezența ciupercii stimulează apariția de tile în vase, de asemenea și producție de gome. În țesuturile omorite, miceliul ciupercii se poate propaga în tot cuprinsul lor. Aici s-au observat conidioforii ciupercii precum și formarea de scleroți în vase; scleroții s-au observat chiar în cuprinsul parenchimului lemnos.

Nu am găsit hife sau sporii ciupercii în țesuturile axelor în viață ale puieților bolnavi examinați. Acest fapt confirmă ipoteza că fenomenele de alterare cromatică a lemnului se produc, cel puțin în primele etape ale îmbolnăvirii, prin acțiunea la distanță a ciupercii instalate în organismul gazdă.

Propagarea alterării cromatice a lemnului se face în două sensuri. Modul principal de propagare este în direcția longitudinală prin vase. Astfel se explică, că într-o secțiune longitudinală se poate urmări pătarea înaintând dela locul de infecție în sus și în jos, în cuprinsul același grup de vase.

Concomitent, țesuturile din inelul lemnos aflat în cuprinsul vaselor brunificate se colorează și ele în brun, dind naștere la pete care apar rotunde în secțiunea transversală, iar ca bande înguste în secțiunea longitudinală.

Un alt mod de propagare este în sens transversal, în special prin celulele parenchimatiche ale razelor medulare. Razele medulare care ating petele longitudinale ne apar ca niște dungi brune care înaintează în sprijnile lemninoase mai profunde, încă neinfectate.

Pe aceste căi, procesul de alterare progresează dela forma de pete din inelul lemnos subperiferic în restul lemnului, ajungând în ultima fază a îmbolnăvirii la o brunificare inelară totală sau parțială a lemnului.

Noi am urmărit și procesul de apariție a gomelor de răni. Ele se formează în interiorul celulelor brunificate în viață ale razelor medulare la care se observă în același timp o mărire a nucleului. În masa protoplasmatică a acestor celule se produc gome sub formă de picături fine, care împrumută conținutului celular un aspect granular. Picăturile de gome se aglomerăză apoi în globule, în care stadiu același conținut ia un aspect vezicular. Din celulele acestea, picăturile de gome emigrează prin punctuații în vasele vecine. Gomele sunt la început de un galben deschis și viscoase; în secțiuni longitudinale se poate urmări scurgerea gomei în lungul pereților vaselor, pînă ce confluăză și umplu lumenul lor, formînd dopuri de diferite forme, cu menisc concav sau convex. Acest proces a fost descris de Delacroix (6) și numai considerăm necesar să stăruim asupra lui. Gomele cu timpul se întăresc, iau o colorație galbenă vie, sunt transparente, omogene și, la secționare casante; în cele din urmă devin opace, galben-brune ca de chilimbar, iar la uscare se crapă neregulat sau în plăci poligonale.

În literatură se arată că obturarea vaselor cu gome are loc în lemnul timpuriu (de primăvară). Observațiile noastre ne-au dovedit că obturarea vaselor are loc atât în lemnul timpuriu, cât și în lemnul tîrziu (de toamnă). Fenomenul de obturare a vaselor se produce sub influența emigrării gomelor din celulele razelor medulare și de aceea într-o secțiune transversală se observă că vasele obturate sunt așezate în mare majoritate lîngă razele medulare (fig. 3, A, B, C).

Formarea de tile se observă rar.

Într-o fază mai înaintată de alterare, cînd pătarea se propagă în zone inelare, procesul de obturare a vaselor se intensifică. Celulele vii ale parenchimului lemnos mor în marea lor majoritate și se golesc de conținut. Nu rămîn în viață decît celulele razelor medulare, din care unele nu produc gome, iar majoritatea, deși se brunifică și produce gome totuși păstrează plasma, care nu se colorează. În plus gomele se depun uneori în meaturile țesuturilor din inelele lemoase; ele mai impregnează pereții celulelor care se brunifică.

În stadiul final, gomele îneacă țesuturile, umplind lumenul celulelor și al spațiilor intercelulare, din care cauză lemnul capătă colorația brun-negricioasă; la secționare, adesea se scurge din lemn un lichid viscos negrijos, care rezultă din îngrămadirea și fermentarea sevei în dreptul locului de obturare a vaselor.

În lemnul uscat se observă în vase în mod evident hifele ciupercii, care adesea se dispun într-o rețea mai mult sau mai puțin regulată. Uneori se produc în aceste vase conidiofori simpli sau verticulați, precum clamidospori și mai rar scleroți mici.

### C. Explicarea simptomelor sindromale

Colorarea țesuturilor parazitare este atribuită de unii autori unui pigment al ciupercii, de alții unei schimbări în natura chimică a pereților celulări (7), (9), (19). După observațiile noastre, colorația se datorează impregnării pereților celulări cu gome, cum s-a arătat mai sus.

Ofilarea și uscarea părților aeriene a fost explicată în mai multe feluri (7), (18). Prima ipoteză atribuie slăbirea plantelor infectate faptului că parazitul utilizează substanțele nutritive din sevă, pe care le sustrage gazdei; o altă ipoteză consideră că tromboza vaselor, provocată prin obturarea lor mecanică prin miceliul ciupercii, prin gome sau tile, împiedică circulația

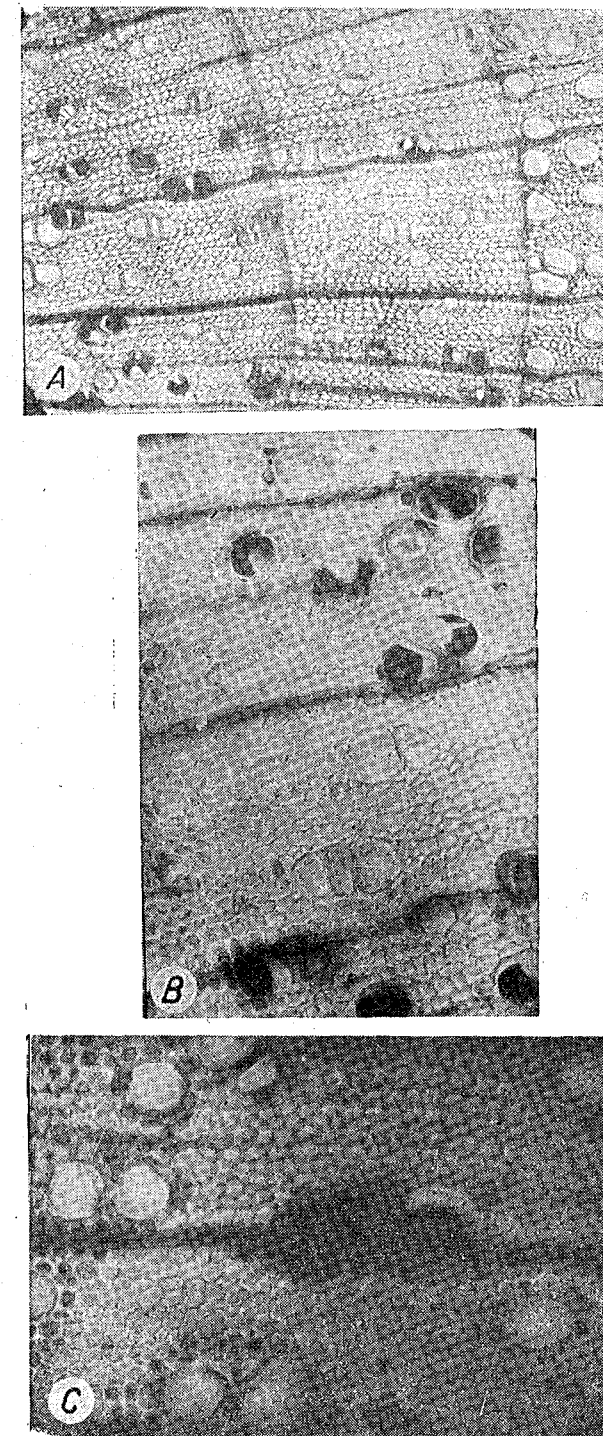


Fig. 3.—A. Vedere de ansamblu prin lemnul infectat (secțiune transversală). Se observă obturarea vaselor de lîngă razele medulare și accentuarea fenomenului din spate cambiu (dreaptă) spre măduvă (stîngă). Mărire  $\times 250$ . B. Același fenomen la mărire  $\times 500$ . C. Același fenomen de mărire  $\times 700$ .

apei. După cercetări mai recente, se pare să ciuperca produce o toxină cu acțiune la distanță. Caracterul chimic al acestei toxine nu este încă lămurit; s-au atribuit efecte toxice celor mai diferenți compuși găsiți în filtratul de cultură al ciupercii, ca: nitrați, acizi, alcool, amoniac, amine, substanțe polizaharide și polipeptide (24). După datele sovietice recente asupra bazei biochimice a rezistenței, respectiv a sensibilității bumbacului față de verticilioze (27), formarea toxinei decurge în felul următor: alcalinizarea sucului celular sub acțiunea ciupercii mărește activitatea amilazei, ceea ce duce la o hidroliză accentuată a amidonului; paralel cu substanțe de descompunere glucidice, se acumulează substanțe fenolo-tanice, a căror oxidare ulterioară dă naștere la produse de tipul fenolilor care în cele din urmă au o acțiune toxică asupra plantei. Concepția existenței unei toxine ne explică faptul arătat mai înainte, că în ţesuturile vii infectate nu s-au găsit hifele ciupercii, iar brunificarea se manifestă și la celulele parenchimatiche din razele medulare și din ţesutul lemnos.

#### D. Mecanismul infecției

In ceea ce privește modul de atac al ciupercii, se admite în general că ea poate pătrunde în plantă prin rădăcinile chiar nevătămate.

Noi am efectuat o serie de experiențe de infecție prin rădăcini, introducind ciuperca în soluția nutritivă în care au fost crescute plantele sau în solul de cultură, fie sterilizat în prealabil, fie nesterilizat. În toate cazurile, s-a obținut un proces ridicat de infectare, fără ca să observăm o vătămare a rădăcinilor.

Procesul de pătrundere a ciupercii în rădăcină n-a fost urmărit.

Referitor la influența factorilor mediului asupra reușitei infecției și în continuare asupra intensității atacului, se întâlnesc în literatură opinii contradictorii.

Unii cercetători susțin că solurile mijlocii și ușoare ar fi favorabile propagării bolii, alții atribuie același efect solurilor grele.

Condițiile de secetă sunt considerate în general favorabile pentru mersul bolii, deși unii cercetători au obținut o agravare și prin udarea excesivă (7). Sterilizarea solului favorizează răspândirea rapidă a ciupercii; bogăția solului în substanțe organice pare să favorizeze de asemenea boala. Din experiențele lui Donandt (7) reiese o corelație între cantitatea de azot pus la dispoziția plantulei și propagarea ciupercii în ţesuturi. În cazul unei nutriții insuficiente a plantei cu azot, Donandt a observat că parazitul se limitează la părțile de jos ale tulpinei; la aplicarea de doze mijlocii de azot, ciuperca pătrunde pînă la vîrf fără a provoca însă simptomele exterioare ale bolii; în fine, la o nutriție cu doze mari de azot, apar și aceste simptome. Răspândirea ciupercii în vase crește însă proporțional cu dozele de azot administrate plantei.

Din toate aceste opinii contradictorii și pe baza observațiilor făcute de noi se desprinde constatarea că dezvoltarea ciupercii în sol și pericolul infecției sunt mărite în solurile bogate în substanțe organice, în solurile sterilizate unde lipsesc alte microorganisme concurente sau antagoniste și în soluri ușoare, cu umedeală suficientă și cu o bună aerisire. Atacul mai este favorizat și de anumiți factori dispozitionali ai plantei gazde, cum sunt: stînjenirea funcțiunii de absorbție a rădăcinilor prin excesul de umiditate în sol, sau

compactitatea excesivă a acestuia sau uscarea lui prin efectul secetei. Un alt factor dispozitional este bogăția în substanțe azotate a plantei gazde, care influențează direct ca substanță stimulatoare dezvoltarea ciupercii, sau indirect, prin efectul lor asupra activității cambiului, care produce în aceste condiții vase cu lumen mai larg, în care ciuperca se dezvoltă mai abundant.

In experiențele noastre, procentul de infecție este în mod evident mai mare în cazul introducerii ciupercii în sol sterilizat. De asemenea, infecția reușește mai bine în culturile cu solul suprasaturat cu apă. Pe de altă parte, după infectia reușită, simptomele bolii se accentuează prin supunerea plantei la secetă.

In stațiunile unde s-a găsit verticilioza, puieții infectați se găsesc în microdepresiuni ale solului, unde se acumulează apa din topirea zăpezilor. Umezirea puternică a acestor soluri din microdepresiuni favorizează infecția puieților. În plus, uscarea puternică a acelorași pete de sol în cursul perioadelor de secetă, favorizează mai departe procesele de îmbolnăvire și uscare a puieților. La acest proces mai contribuie și faptul că puieții, în asemenea condiții de sol, cu tendințe de compactizare, suferind temporar de o lipsă de oxigen, au o dezvoltare relativ redusă, ceea ce îi face susceptibili la secetă, respectiv la boala.

In legătură cu comportarea ciupercii față de diferite specii, se consideră de unii (14) că ciuperca — deși în principiu polifagă — poate să capete o oarecare specificație, în urma unei existențe parazitară îndelungată în țesuturile unei anumite plante. Aceasta ar fi cazul în special la plantele lemninoase, în care parazitul poate viețui fără intrerupere în decursul unei perioade îndelungate, fără a mai trece prin sol, cum se întâmplă în cazul plantelor anuale. Experiențele altor cercetători n-au putut confirma valabilitatea acestei teorii (7).

După aceste considerații generale asupra datelor din literatură și observațiile noastre privitoare la simptomatica și etiologia bolii, vom trece la descrierea rezultatelor cercetării noastre asupra acestei ciuperci.

Parazitul a fost izolat din lujeri de *A. tataricum* dela stațiunea experimentală ICES Bărăgan, în aprilie 1952 și menținut în cultură pe malț agar pînă în octombrie al aceluiași an, cînd a fost luat în studiu.

#### IV. MORFOLOGIA CIUPERCII

Cercetările morfologice s-au efectuat prin observații asupra culturilor în diferite stadii de dezvoltare și pe diferite medii de cultură, direct în vase Petri, cu obiective mici și mijlocii, completate prin preparate microscopice și prin observații în celule Van Tieghem și Pescov.

Ciuperca dezvoltă în substrat hife hialine, septate cu diametru între  $1,20-2,30 \mu$ , avînd adeseori un conținut bogat în picături de ulei. Hifele aeriene, a căror abundență este în funcție de mediul nutritiv, sunt hialine, nesepitate, de  $1,20-2,20 \mu$ , formînd în general un tapet floconos alb-nivaceu. Adeseori hifele aeriene se reunesc în cordoane de  $15-30 \mu$  grosime. Fructificațiile sunt în general rare pe micelul aerian, și au de obicei conidiofori neramificați, care dă culturii un aspect de *Cephalosporium* (fig. 4), cum au observat și Verona și Ceccarelli (24<sup>1)</sup>).

<sup>1)</sup> p. 378.

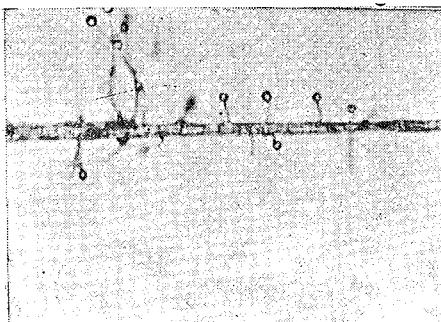


Fig. 4. — Cordon de hife cu fructificații cu aspect de *Cephalosporium* pe malț-agar. Mărire  $\times 500$ .

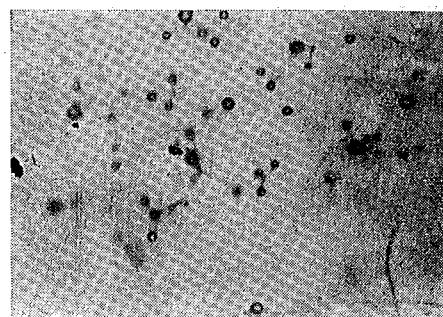


Fig. 5. — Colonie tinără pe malț-agar. Mărire  $\times 250$ .

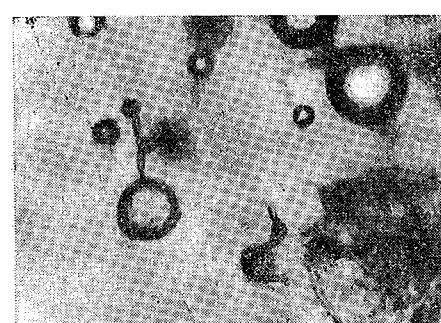


Fig. 6. — Mase de spori în picături de mucilagiu puternic umflate. Colonie tinără. Mărire  $\times 1000$ .

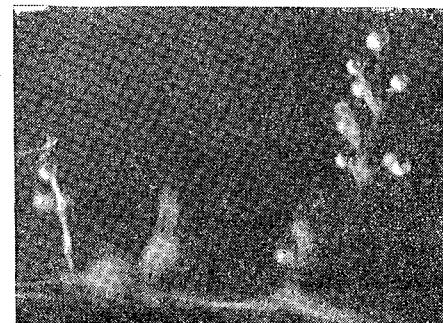


Fig. 7. — Conidiophori de *Verticillium* cu două etaje pe malț-agar. Mărire circa 600.

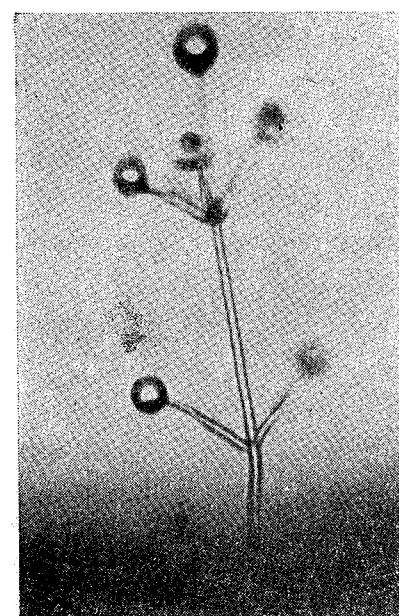


Fig. 8. — Idem ca figura 7. Mărire  $\times 800$ .

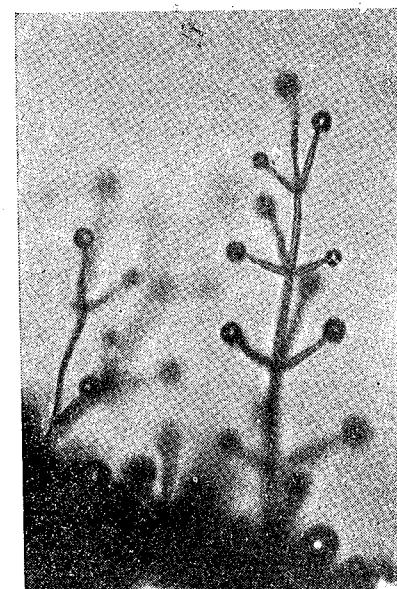


Fig. 9. — Idem ca figura 6, cu 4 etaje. Mărire circa 500.

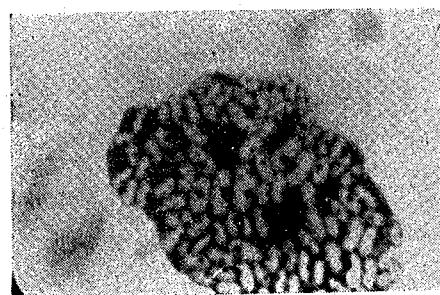


Fig. 10. — Conidii de *Verticillium* în curs de inflamare, prinși în mucligiu. Colorație de nuclei. Mărire × 2000.

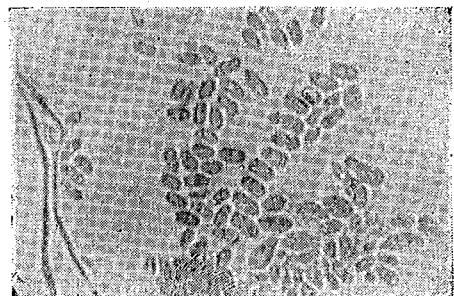


Fig. 11. — Conidii în mediu lichid în diferite stadii de umflare. Mărire × 1500.



Fig. 12. — Conidie sferică germinând cu un tub germinativ simplu. Mărire × 2250.



Fig. 13. — Conidii elipsoidale germinând cu 1 și 2 tuburi germinative. Mărire × 1000.

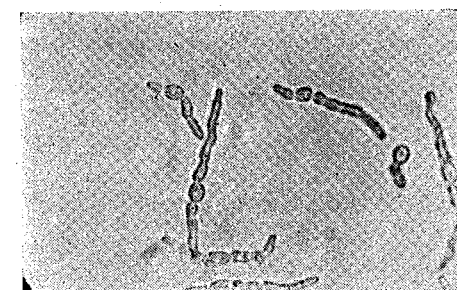
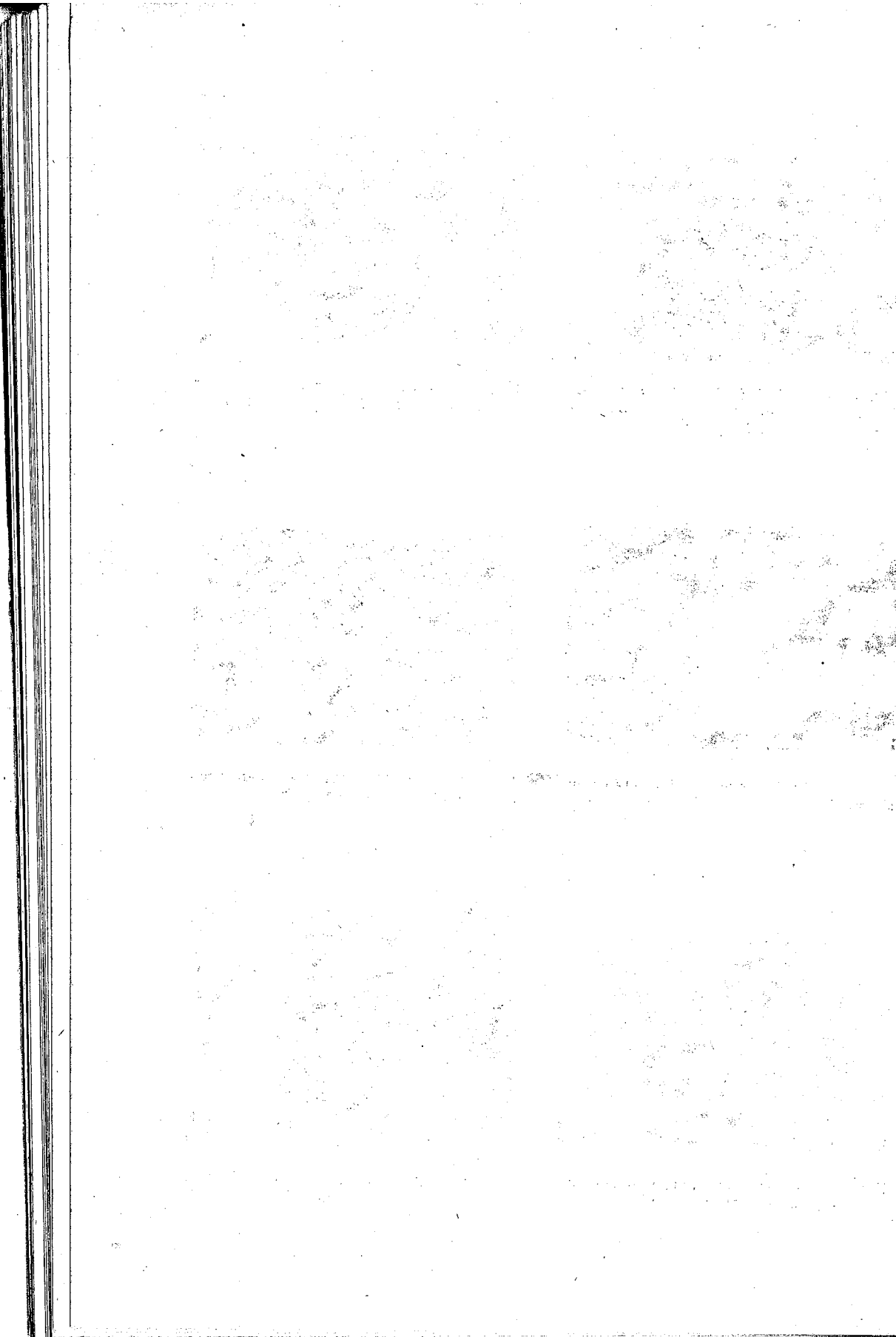


Fig. 14. — Conidie elipsoidală în curs de înmugurire. Mărire × 1000.



Fig. 15. — Idem ca figura 14 și cu hife. Mărire × 1800.



15

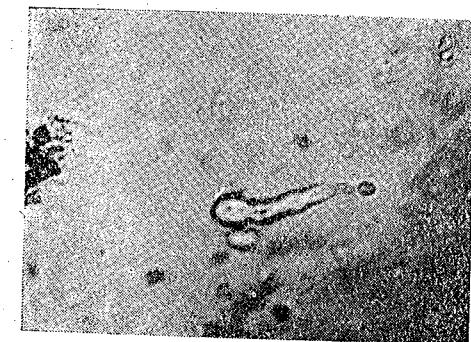


Fig. 16. — Conidie sporulind imediat după germinare. Mărire  $\times 1800$ .



Fig. 17. — Conidiofori scurți pe creșterea toruloidă. Mărire  $\times 2000$ .

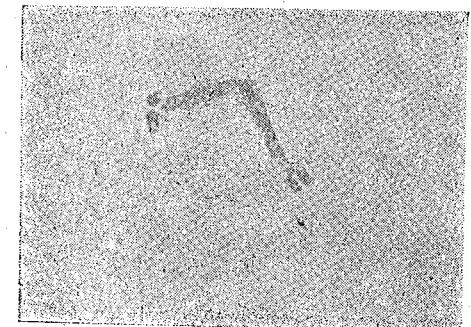


Fig. 18. — Conidie sporulind imediat după înmugurire. Mărire  $\times 1800$ .

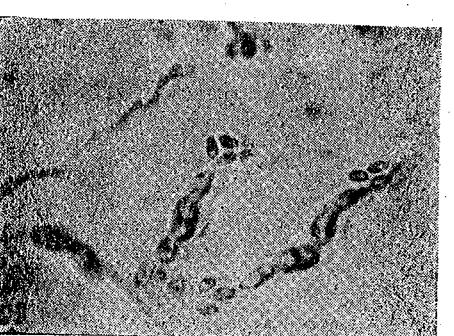


Fig. 19. — Idem ca figura 18.

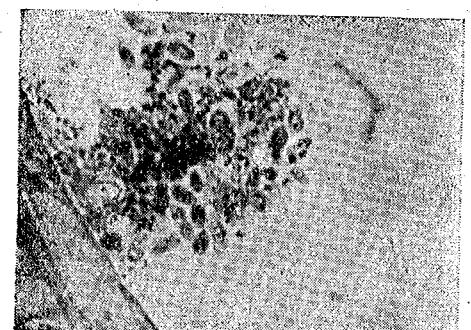


Fig. 20. — Formarea de corpusculi în interiorul conidiilor (col. cu alb. de metilen). Mărire  $\times 2400$ .

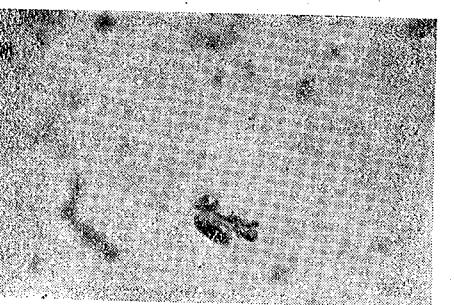
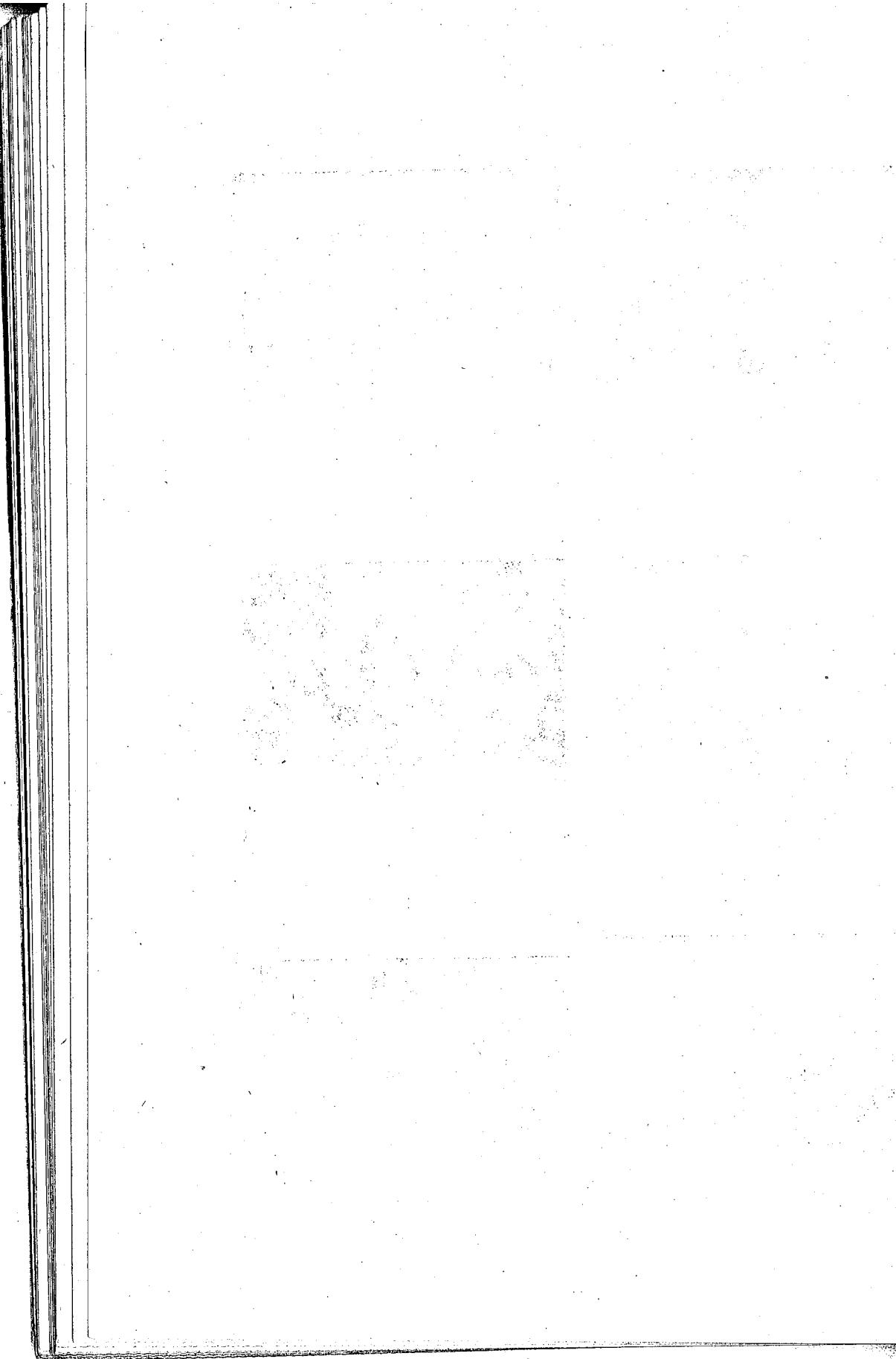


Fig. 21. — Idem, ca figura 20, necolorat. Mărire  $\times 2400$ .



17

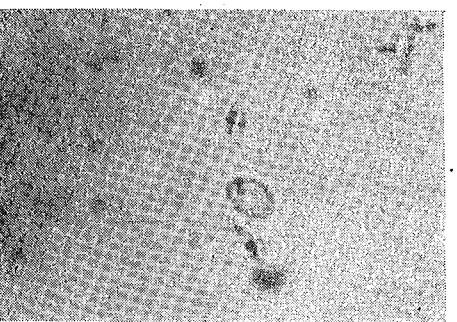
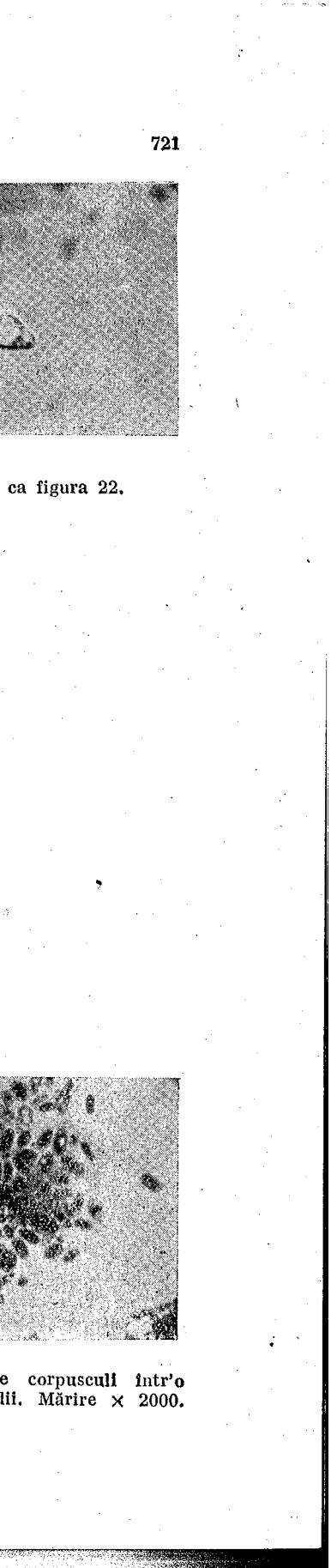


Fig. 22. — Eliberarea corpusculilor din conidie. Mărire  $\times 2600$ .



721

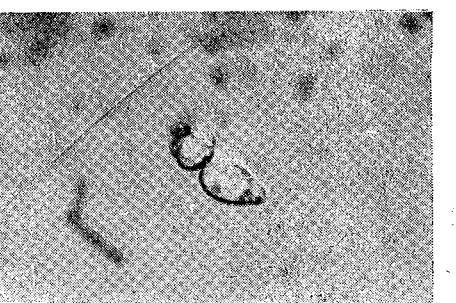


Fig. 23. — Idem ca figura 22.

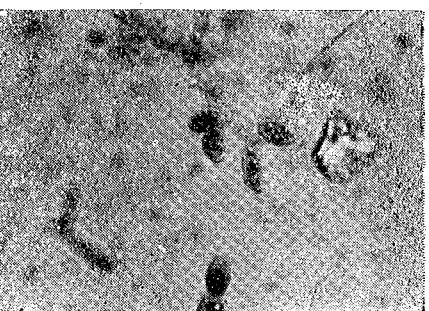


Fig. 24. — Idem ca figura 22.  
Mărire  $\times 2400$ .

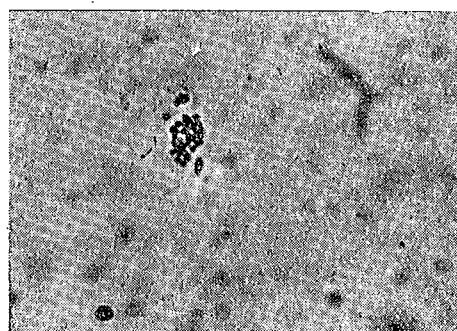


Fig. 25. — Corpusculi formați în interiorul conidiei după dispariția membranei ei.  
Mărire  $\times 2400$ .

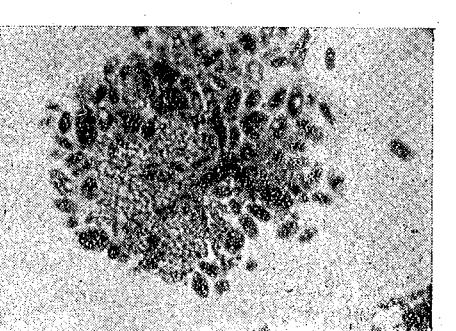


Fig. 26. — Mase de corpusculi într'o aglomerație de conidii. Mărire  $\times 2000$ .



Fig. 27. — Hife brunificate bogate în picături de grăsime cu clamidospori în curs de formare a scleroțiilor. Mărire  $\times 1500$ .



Fig. 28. — Idem ca figura 27.  
Mărire  $\times 2200$ .

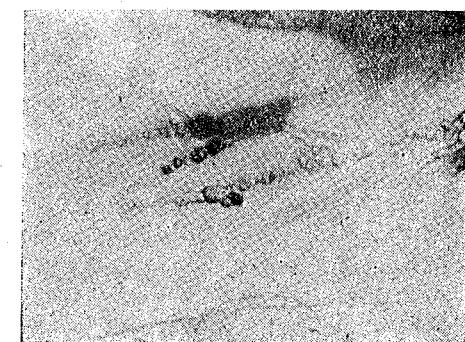


Fig. 29. — Formare de clamidospori și scleroți pe hifele dela marginea coloniei, pe mediu cu glicerină. Mărire  $\times 1000$ .

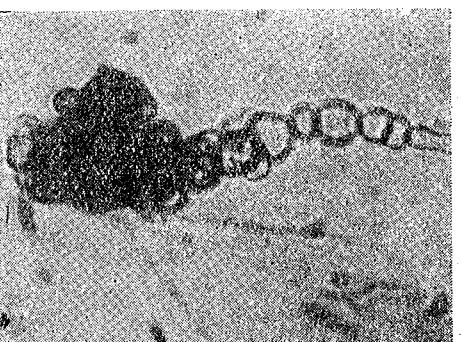


Fig. 30. — Formarea pseudoscleroțiilor prin înmugurire. Mărire  $\times 2000$ .

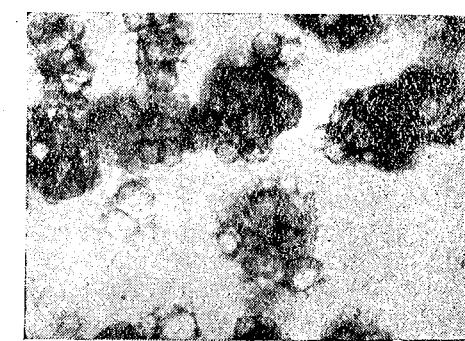


Fig. 31. — Pseudoscleroți maturi după dispariția hifelor. Mărire  $\times 1200$ .

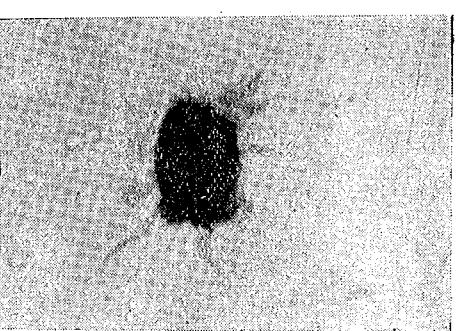


Fig. 32. — Germinarea unui pseudoscleroți. Mărire  $\times 1000$ .

Pe medii ce conțin substanțe toxice în concentrație subletale, se observă o reducere a miceliului aerian la un mănuști de coremii albicioase, îngustat spre vîrf treptat într-o singură sau în cîteva hife și care poartă pe toată lungimea conidiofori neramificați. Asemenea forme anormale de creștere se găsesc citate în literatură numai pentru temperaturile din apropierea punctului maximal sau minimal de creștere.

Pe substrat apar în stadiul tînăr al coloniei, mai întîi conidiofori neramificați (fig. 5) sau cu 2–3 ramuri într-un singur verticil (fig. 43, c și g), avînd 40–80  $\mu$  înălțime, la extremitatea căror se adună 7–15 spori într-o picătură de mucilagiu. Acest mucilagiu fiind foarte higrofil, picătura se poate umfla în atmosferă umedă dela mărimea inițială de 8–11  $\mu$  până la 50  $\mu$  (fig. 5 și 6), în care caz două sau mai multe picături de mucilagiu pot să conflueze și să se prelungă în jos pe conidiofori.

Mai tîrziu apar pe substrat conidioforii tipici de *Verticillium* cu 3–5 ramuri în verticil, majoritatea cu 1–2 etaje (fig. 8 și fig. 43, c–e) și de 90–170  $\mu$  înălțime, mai rar cu 3–4 etaje și pînă peste 200  $\mu$  înălțime (fig. 9). Foarte rar s-a observat la tulipa noastră o formare a unor verticili secundari din ramuri.

Conidiile formate la capătul ramurilor sau la vîrful axului sunt hialine, ovoidale, de  $3,75–4,50 \times 1,30–2,25 \mu$ , de obicei bigutulată (fig. 43, f–g). Colorații nucleare (după metoda Feulgen, Robinov sau cu albastru de metilen) arată un nucleu central, rareori doi nuclei (fig. 10). Ajungînd în condiții prielnice de umiditate, conidiile germează, umflindu-se în prealabil pînă la dimensiunile de  $6 (8) \times 3 (4) \mu$  (fig. 11). În cîmeră umedă au fost observate două tipuri de germinație: fie printr-un tub de germinație (fig. 12, fig. 13 și fig. 43, i), fie prin înmugurire, producînd o creștere toruloidă foarte caracteristică (fig. 14, fig. 15 și fig. 43 j, k). În primul caz, tubul de germinație evoluează în hife obișnuite cu conidiofori scurți neramificați, sau se transformă într-un singur conidiofor neramificat scurt, care începe imediat formarea sporilor (fig. 16, fig. 18, fig. 19 și fig. 43, n, o). În al doilea caz, și pe creșterea toruloidă se pot forma celule conidioforale, care produc spori în succesiune rapidă (fig. 17 și fig. 43, j – m). Trecerea dela creșterea toruloidă la miceliul obișnuit se efectuează prin îngustarea treptată a unor hife scurte și groase.

In stare submersă, conidiile se mențin timp îndelungat fără a înmuguri — probabil din lipsă de oxigen — și se umflă puternic (pînă la  $8 \times 4–5$ ). În aceste împrejurări, s-a observat frecvent formarea în interiorul conidiilor a unor corpusculi (microspori?) care umplu cu timpul celula întreagă (fig. 20 și fig. 21) și sint puși în libertate la un moment dat prin ruperea sau dispariția membranei (fig. 22 și fig. 26). Noi nu am avut posibilități tehnice spre a urmări mai departe acest fenomen, care se produce numai în condițiile specifice ale creșterii submersse. Asemenea formații au fost observate și în vasele din țesutul infectat viu.

După un timp variabil, în funcție de diferenții factori externi (în general, după 6–12 zile), se formează în cuprinsul hifelor din substrat, clamidospori neregulați ovoidali sau poligonali, de  $5–10 \mu$  diametru, care iau o colorație măsliniu negricioasă (fig. 27 și fig. 29). În același timp, hifele se pot înnegri la o distanță oarecare de punctul de formare a clamidosporilor. Acești clamidospori înmuguresc (fig. 27, fig. 30 și fig. 43, q-t,) dînd naștere la o aglomerare de celule de formă ovoidă, de  $25–30 (40) \mu$  diametru, în care

celulele sunt sudate între ele printr-o masă negricioasă insolubilă în apă fierbinte sau în alcool (fig. 30). Aceste formațiuni, care se păstrează în fință după dispariția hifelor vegetative (fig. 31), sint desemnate în literatură ca scleroți, microscleroți, sau mai corect pseudoscleroți.

Despre însemnatatea dată de diferiți autori acestor pseudoscleroți în separarea diferitelor specii fitopatogene de *Verticillium* s-a vorbit în prima parte a acestui studiu. Noi am putut observa că formarea lor este în mod decisiv influențată de mediul de cultură, de exemplu ele se formează deosebit de abundente pe medii lichide sau solide, cu glicerină ca sursă energetică. Noi am mai observat că formarea lor este stimulată de prezența oxigenului, fapt care reiese din constatarea că în culturile în eprubete, pseudoscleroți se formează în special pe marginea agarului, iar în culturile lichide se produce adeseori pe pereții vasului la nivelul lichidului, un inel de cîțiva mm pînă la 20 mm lățime, compus din scleroți situați într-o țesătură de hife înmagrite. În unele cazuri, coloniile n-au produs scleroți nici pînă la completa uscare, după 2 luni și mai mult; nu putem afirma totuși că am obținut o variantă asclerotială, deoarece nu a fost urmărită încă în deajuns.

Puși pe mediu de cultură, pseudoscleroți germează, dind naștere la miceliu obișnuit (fig. 32).

#### V. CERCETĂRI FIZIOLOGICE

**1. Comportare pe diferite medii solide.** În vederea stabilirii comportării parazitului pe diferite medii de cultură, au fost folosite: agar cu extras de malț, agar cu extras de morcov, agar cu decoct de mălai, agar cu apă de robinet, cu apă peptonată, cu apă glicerinată, agar Czapek, gelatină cu decoct de prune, gelatină cu extras de cartofi, felii de cartofi și felii de morcov. După 7 și după 21 de zile s-au făcut observații macroscopice asupra coloniilor de voltate, iar după 14 zile s-au cercetat în majoritatea cazurilor aceste colonii și microscopic.

Tabloul nr. 1

Cresterea coloniilor pe diferite medii nutritive

Mediul de cultură	Diametrul după 7 zile	Idem, după 21 de zile	Inalțimea conidioforilor, după 14 zile
Czapek	20–27 mm	65 mm	85 $\mu$
Malț-agar	20–28 "	40 "	85 $\mu$
Gelatină de cartofi	5 "	45 "	nu s'a determinat
Felii de morcov	15 "	45 "	nu s'a determinat
Agar de morcov	19–25 "	50–100 "	95–100 $\mu$
Agar de mălai	13–17 "	20–40 "	100–110 $\mu$
Felii de cartof	13–15 "	20–23 "	nu s'a determinat
Agar cu apă glicerinată	—	30–40 "	lipesc aproape complet
Gelatină de prune	3–4 "	25 "	nu s'a determinat
Agar cu apă peptonată	14 "	35 "	foarte rare
Agar cu apă de robinet	18–24 "	18–24 "	180 $\mu$

Tabloul nr. 1 redă creșterea coloniilor, exprimată prin diametrul lor, precum și măsurările micrometrice efectuate la conidiofori pe mediile de mai sus.



Fig. 33. — Cresterea cărnoasă a unei colonii de *Verticillium* pe malț-agar. Mărire circa  $\times 2$ .

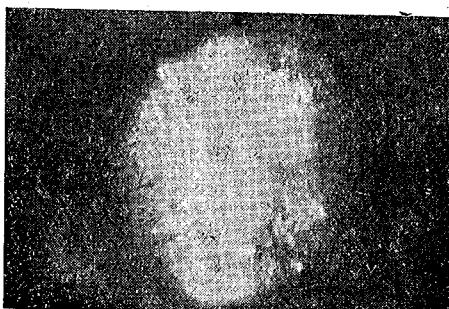


Fig. 34. — Idem ca figura 33, cu insule de micel aerian alb-nivaceu.

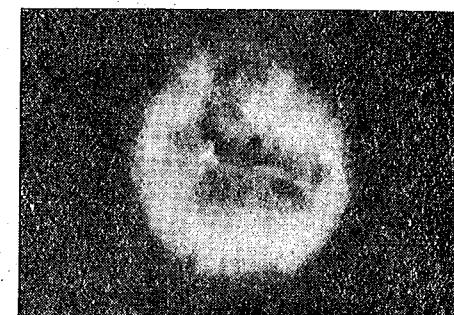


Fig. 35. — Idem ca figura 34, acoperit aproape complet de micel aerian.

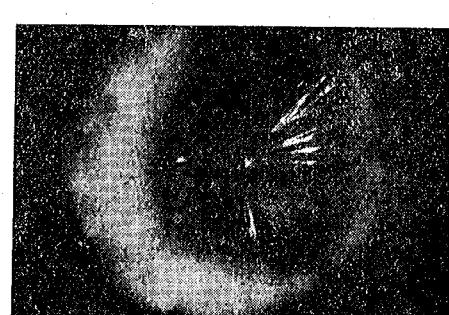


Fig. 36. — Coloniie cărnoase, radiar cutată, cu micel aerian înaintind dela periferie spre centru.

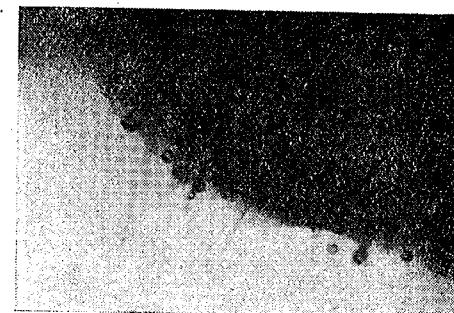


Fig. 37. — Aspectul microscopic al suprafeței unei colonii cărnoase: rare hife aeriene, conidiofori neramificați. Mărire  $\times 500$ .

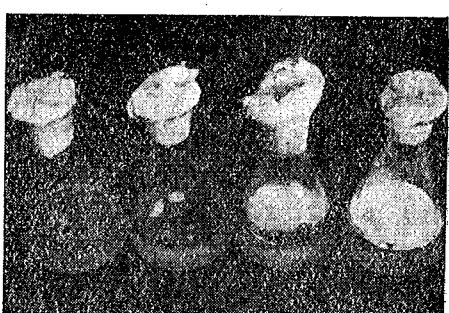


Fig. 38. — *Verticillium albo-atrum*, R. et B. Desvoltarea micelului pe mediu lichid la diferite valori de pH (de la stînga la dreapta: 8,2–7–6,2–5).

Măsurările de mai sus și alte observații asupra comportării tulpinii noastre pe diferite medii de cultură se pot rezuma în următoarele concluzii:

a. Ciuperca se dezvoltă foarte bine pe malț agar, pe Czapek, pe gelatină de cartofi, pe felii de morcov; potrivit pe agar de mălai, pe agar de morcov, pe felii de cartofi, pe agar cu apă glicerinată, pe gelatină de prune; se dezvoltă slab pe agar cu apă peptonată și pe agar cu apă de robinet.

b. Aspectul pe dos al coloniilor variază pe diferitele medii, în special în funcție de abundența clamidosporilor și scleroțiilor. Astfel pe malț agar, dosul coloniei este cutat și prezintă o zonă inelară neagră formată de scleroți; pe Czapek, dosul coloniei este neted, galben-rozaceu, cu aşezarea scleroțiilor cîrculare sau în sectoare de cerc; pe agar de mălai dosul coloniei este neted, alb-gălbui, iar scleroți, sunt mai rari și aşezăți în dungi semicirculare; pe agar cu extras de morcov, scleroți sunt aşezăți în sectoare de cerc; pe agar cu apă, dosul coloniei este neted, alb murdar uniform, fără scleroți; pe agar cu apă peptonată, neted, galben-ruginiu, cu scleroți abundenți în zone circulare; pe agar cu apă glicerinată, alb-gălbui, cu formare deosebită de abundență de scleroți dispusi în sectoare de cerc pînă la marginea extremă a pălăriei (fig. 29); pe gelatină de prune, dosul coloniei se prezintă cu cutediale adînci brun-roșcate, fără formare de scleroți.

c. În ceea ce privește ritmul dezvoltării, se constată o creștere rapidă și susținută pe malț agar, pe Czapek și pe agar de morcov; pe agar cu apă peptonată sau glicerinată, creșterea este mai slabă în primele zile, pentru a se dezvolta ulterior într-o mai mare sau mai mică măsură; foarte caracteristică este creșterea extrem de lentă pe gelatină, care duce însă mai tîrziu la o dezvoltare bună sau chiar foarte puternică. Pe agar cu apă de robinet, creșterea stagnează complet după epuizarea urmelor de substanțe nutritive.

Ciuperca folosește deci bine zaharoza, maltoza și glicerina și mai puțin bine amidonul. Peptona prezintă o slabă sursă de carbon. Fermentii proteolitici sunt slabî inițial, se constată însă o adaptare a aparatului enzimatic la utilizarea diferiților amino-acizi din gelatină.

d. În primele stadii de dezvoltare a coloniei, se deosebesc două tipuri. La tipul mai obișnuit, adică pe majoritatea mediilor, creșterea este acoperită dela început cu un tapet floconos mai mult sau mai puțin dens, de hife aeriene alb-nivacee; această formă de creștere poate să capete o extindere apreciabilă pe mediul de cultură, fără însă a arăta în mod obișnuit o dezvoltare masivă în înălțime. Pe dos, aceste colonii nu sunt cutate și dezvoltă totdeauna aglomerări abundente de clamidospori și scleroți.

Cealaltă formă de creștere este tipică pentru malț agar și pentru mediile cu gelatină, într-o oarecare măsură și pentru felii de morcov. În aceste cazuri, ciuperca formează la început o creștere cu aspect cărnos, cu suprafață lucioasă, prevăzută uneori cu riduri radiale (fig. 36). Ea se dezvoltă chiar dela început masiv în înălțime și se acoperă abia după 4–6 zile — în unele cazuri și mai tîrziu, începînd de obicei dela margine, cu insule de micel aerian, care, treptat se împreunează și acoperă în sfîrșit toată sau cea mai mare parte a creșterii, cu tapetul floconos de hife aeriene, alb-nivacee (fig. 33 și fig. 35). Din cauza creșterii masive în înălțime, aceste colonii au substratul subțire de micel aerian, cu aspect mai mult sau mai puțin ondulat. Pe dos, aceste colonii sunt cutate adînc radial. Cercetarea microscopică a masei cărnoase arată că este vorba de o pseudostroma, constituită din hife întrețesute, care își păstrează individualitatea și sunt înglobate într-o masă

mucilaginoasă. Pe suprafață ei se observă numeroși conidiofori scurți, neramificați (fig. 37).

e. Formarea de clamidospori și scleroți este în funcțiune evidentă de mediu. Nu s-au dezvoltat pe gelatină de prune și pe agar de apă, deci în cazul unui mediu bogat, cît și a unuia extrem de sărac. Anumite substanțe, de exemplu glicerina, stimulează într-o măsură deosebită formarea clamidosporilor și înmugurirea lor în scleroți.

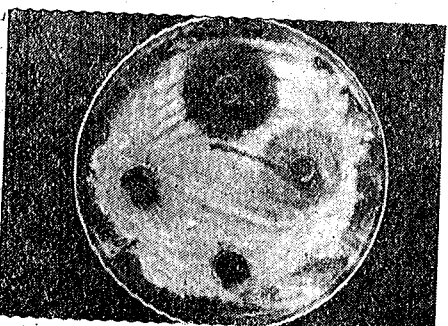


Fig. 39. — Determinarea efectului fungistic. Sus: verde malahit 1:10.000; dreapta: filtrat de Actinomicete.

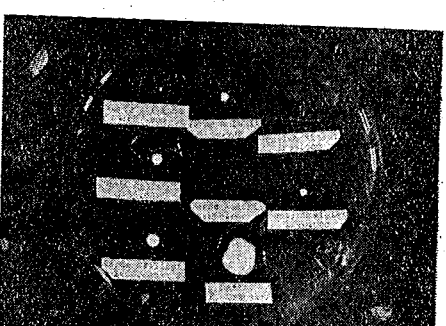


Fig. 40. — Efectul substanțelor fungistatică în diferite diluții.

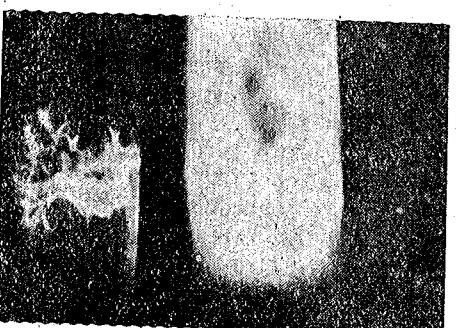


Fig. 41. — Dezvoltarea coloniei pe mediu Czapek cu adaus de violet de gențiană 1:50.000 (stânga: martor).



Fig. 42. — Idem ca figura 41. Creșterea coreiformă a coloniei. Mărire circa 3.

f. Dezvoltarea și abundența conidioforilor pare să fie de asemenea influențată de mediul de cultură. Uneori se observă o corelație inversă între abundența de clamidospori și de conidiofori. De exemplu, pe agar de apă, unde lipsesc scleroți, conidioforii sunt deosebit de bine dezvoltăți; iar pe mediu cu glicerină, abundența de clamidospori și scleroți este asociată cu o lipsă aproape completă de fructificații.

Trebuie menționat că, față de observațiile de mai sus, făcute pe o tulipină menținută 6–7 luni în condiții de laborator, o tulipină izolată proaspăt în martie a.c., de pe același exemplar de *Acer tataricum*, a oferit un aspect cu totul diferit. Coloniile acestei tulipini au prezentat după 7 zile dela repicare pe mediu Czapek (cu glucoză) o zonă periferică de culoare negricios-verzuie,

acoperită de hife aeriene laxe de culoare cenușie, cu insule rare de micel alb-nivaceu, iar în centru un mamelon format din mase stromatice negre; culoarea închisă a coloniei se dătoarește formării extrem de abundente de hife înnegrite, cu clamidospori și scleroți. Cu timpul, întreaga colonie se înnegrește, luând un aspect carbonizat și păstrând numai resturi insulare de micel aerian alb. Examenul microscopic al coloniilor tulipinii, făcut în anul 1953, a dezvoltat nu numai o dezvoltare rară a miceliului aerian, demonstrată deja prin aspectul macroscopic, dar și o lipsă aproape completă de conidiofori, ceea ce confirmă observațiile noastre referitoare la o corelație inversă între abundența formării clamidosporilor și a conidioforilor.

2. Comportare pe medii cu diferite valori pH. Într-o altă serie de experiențe, s-a cercetat influența valorilor pH ale mediului nutritiv asupra dezvoltării ciupercii. În acest scop s-a folosit un mediu lichid de compoziția următoare (indicat de Verona și Ceccarelli) (24): 10 g azotat de potasiu, 1 g fosfat bipotasic, 0,3 g clorură de calciu, 0,3 g sulfat de magneziu, 0,1 g clorură de sodiu, 0,01 g clorură ferică, 20 g glucoză, 1000 cm<sup>3</sup> apă de robinet.

In prima serie de experiențe, mediu a fost adus la valorile pH de 5,0, 6,5 – 8,3 prin adăugarea unei soluții de H Cl n/l și Na OH n/l.

După 21 de zile incubație la temperatură camerei, greutatea miceliilor după uscare la temperatură de 105° a fost:

pH 5,0	pH 6,5	pH 8,3
0,172 g	0,288 g	0,036 g
0,220 g	0,312 g	0,029 g
0,172 g	0,322 g	0,015 g
$M = 0,188 (\pm 0,016)$	$M = 0,307 (\pm 0,096)$	$M = 0,027 (\pm 0,018)$

Acstea rezultate indică reacția optimă pentru dezvoltarea ciupercii în jurul punctului neutru, ceva mai mult spre partea acidă, iar nu în zona alcălină, cum este indicat uneori în literatură pentru *V. albo-atrum* (24).

Deoarece această experiență nu a fost considerată complet concluzionată, prin faptul că s-a recoltat numai miceliul de suprafață, neglijindu-se creșterea miceliană submersă, ea a mai fost repetată cu unele modificări.

S-a întrebuințat același mediu, înlocuindu-se numai glucoza cu maltoză.

După sterilizarea mediului s-au adăugat soluții sterilizate de acid lactic și carbonat de sodiu, realizându-se valorile pH de 5,0, 6,1, 7,0, 8,2. În timpul experienței, a cărei durată a fost de 30 de zile, nu s-au observat diferențe atât de marcante ca la prima experiență, totuși la diferitele valori de pH s-au obținut creșteri destul de caracteristice (fig. 38) și anume:

la pH 5, dezvoltare puternică în peliculă continuă, groasă cu tapet floconos de asemenea dezvoltare bogată submersă; formare redusă de clamidospori pe pereții vasului;

la pH 6,1, dezvoltare la suprafață mijlocie, submersă, mai puternică. Dezvoltarea abundentă de clamidospori și micel înegrit într-un inel lat pe pereții sticlei;

la pH 7, dezvoltare slabă la suprafață, fără peliculă continuă, dezvoltare submersă bogată; inel de clamidospori mai puțin pronunțat;

la pH 8,2, dezvoltare slabă aproape foarte slabă la suprafață, submersă destul de bogată; clamidospori ca la pH 7.

Valorile obținute prin cintărirea întregii mase miceliale uscate la temperatură de 185° sunt următoarele:

R 1	R 2	R 3
pH5 : 0,3798	0,2723	0,4793 M - 0,3771 ( $\pm$ 0,2156)
pH6,1: 0,3828	0,1868	0,1573 M - 0,2423 ( $\pm$ 0,1416)
pH7 : 0,1783	0,2078	0,2173 M - 0,2011 ( $\pm$ 0,0115)
pH8,2: 0,1708	0,1888	0,2023 M - 0,1873 ( $\pm$ 0,0093)

Din datele de mai sus se observă fluctuații destul de mari între repetiții, în special la seria pH 5,0 și pH 6,1. Noi am atribuit aceste fluctuații unor modificări neuniforme ale valorilor de pH în baloanele respective și pentru a ne convinge de acest fapt am stabilit modificările valorilor pH survenite în timpul experiențelor următoare:

- I. Dela pH inițial 5,0..... la valorile pH: 5,4; 6,0; 6,0
- II. Dela pH inițial 6,1..... la valorile pH: 6,1; 6,6; 7,0
- III. Dela pH inițial 7,0..... la valorile pH: 6,8; 6,9; 7,4
- IV. Dela pH inițial 8,2..... la valorile pH: 7,3; 7,4; 7,4.

Deși se observă foarte clar tendința generală de apropiere spre punctul neutru, atât a mediilor acide cât și a celor alcaline, se constată o excepție în seria I-a (pH 5,4) și una în seria II-a (pH 6,1). Cu toate că printr-o omisiune nu s-a mai putut reconstitui legătura între miceliile cintărite și filtratul de cultură din baloanele respective, se poate presupune că greutățile aderente de micel aparțin baloanelor cu pH aberant. De aici s-ar putea trage concluzia că reacția optimă pentru tulipina noastră este strict limitată la zona între pH 5,8 și 6,2. În orice caz, se constată și în această experiență o predilecție clară a ciupercii pentru zona de reacție slab acidă.

3. Comportare față de diferite surse de C. O altă experiență a fost efectuată, pentru a se urmări la tulipina noastră folosirea cu material energetic a citorva

Tabloul nr. 2  
Greutatea micelului după 21 de zile  
(uscat la temperatura de 105°)

Sursa de C	Micel în g	Observații în timpul creșterii
Glucoză .....	0,1715	-
Maltoză .....	0,2680	-
Lactoză .....	0,2420	Bogat micel aerian, nicio formare de clamidospori
Glicerină .....	0,2900	Formarea extrem de bogată de clamidospori în tot cuprinsul micelului
Manită .....	-	Dezvoltarea se limitează la ciupi fulgi micelari izolați

substanțe hidrocarbonate: glucoză, maltoză, lactoză, glicerină și manită.

Rezultatele acestei experiențe, exprimate de asemenea în greutatea micelului, sunt redate în tabloul nr. 2, cifrele reprezentând media a cîte 2 paralele:

Din tabloul nr. 2 reiese că glicerina constituie cea mai favorabilă sursă de C, stimulind în același timp formarea de clamidospori într-un mod cu totul deosebit. În locul 2 și 3 urmează maltoza și lactoza; glucoza ocupa abia al patrulea loc, iar manita este o sursă de C cu totul impropriă.

In general se constată, privitor la folosirea hidraților de carbon, că tulipina noastră, nu se conformează datelor din literatură privitoare la metabolismul differitelor speciei de *Verticillium*, la care glucoza s-a dovedit o sursă energetică mai bună decît lactoza, iar glicerina vine abia după lactoza, pe cînd manita — deși pe ultimul loc — a permis totuși o creștere apreciabilă de micel (24).

#### VI. EXPERIENȚE DE INFECȚII ARTIFICIALE |

Pentru stabilirea caracterului biologic al parazitului s-au instalat cîteva serii de experiențe în ghivece cu nisip și cu sol sterilizat, plantate cu porumb, fasole, cartof, roșii și vinețe. De asemenea s-a instalat o experiență cu puieți de *Acer Ginnala* în aceleași condiții sterile. La toate speciile, cu excepția fasolei, s-au obținut infecții, deși nu 100%, dovedite prin simptome exterioare și prin rezisolarea parazitului. Infecțiile s-au efectuat atât prin sol, cît și prin injectarea unei suspensii de spori în tulpină. În concordanță cu datele din literatură, efectul acestui procedeu din urmă este mai nesigur, chiar dacă locul de infecție este ferit de uscare printr-un bandaj de vată umezită.

Simptomele bolii au fost în general cele descrise în literatură. La porumb s-a observat o îngăbenire urmată de brunificare și uscarea frunzelor începînd dela vîrful lor și care a rămas staționară la frunzele superioare, cuprinzînd pînă la 1/3 din limb, pe cînd frunzele inferioare s-au uscat complet. La cartofi au apărut simptome foarte caracteristice prin încreșterea frunzelor. Trebuie remarcat că din cauza condițiilor defavorabile de lumină și temperatură, creșterea plantelor de experiență a fost în general abnormală și s-au observat și la plantele martor unele simptome bolnavicioase; totuși, intensitatea simptomelor la plantele infectate era cu mult mai accentuată.

La roșii nu s-au arătat, în condiții de umiditate suficientă, simptome exterioare, în afara unei inhibiții de creștere a plantelor infectate. În condiții de lipsă de umiditate însă, plantele infectate au prezentat simptome de vesețejire generală accentuată, reversibile prin udare, pe cînd plantele sănătoase, sub același regim de uscăciune erau perfect normale. În această experiență, s-a mai putut face o observație cu privire la efectul sterilizării solului, avînd cîte o serie în sol sterilizat și în sol nesterilizat. Sterilizarea solului a stimulat în general dezvoltarea tuturor plantelor, inclusiv cele infectate; plantele infectate pe solul sterilizat erau încă mai sensibile decît cele pe sol nesterilizat, față de aprovizionarea insuficientă cu apă. Acest fenomen, care denotă o dezvoltare mai intensă a parazitului în traheele acestor plante, poate fi pus în legătură cu mobilizarea azotului din sol prin sterilizare și cu efectul stimulator al unor doze mari de azot asupra dezvoltării ciupercii în plantă, semnalat în literatură (7) și discutat în prima parte a acestei lucrări.

In vederea elaborării unei metode de combatere, s-a cercetat efectul fungistic al unor substanțe chimice *in vitro*. Au fost alese numai substanțe, care ar putea fi folosite pentru o chimioterapie, în primul rînd diferenți coloranți.

In afară de cei cunoscuți în literatură pentru activitatea lor fungistica, anume Verde malahit, Verde brillant și Violet de gențiană, a mai fost incer-

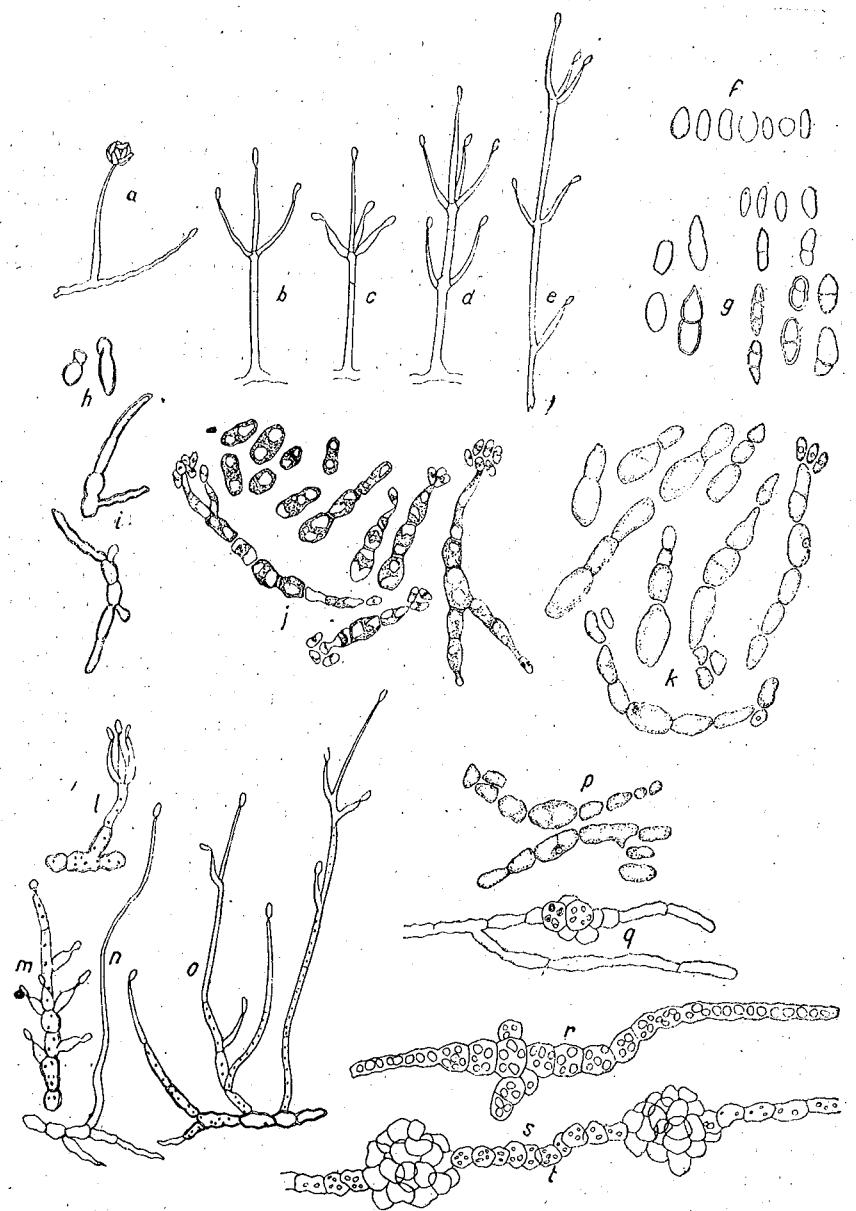


Fig. 43.

- a - Conidiofor simplu neramificat.  
 b-e - Conidiofori tipici de *Verticillium*.  
 f-g - Diferite forme de conidiile de *Verticillium*.  
 h, i - Procesul de germinare a sporilor prin formare de hife.  
 j, k - Diferite stadii de germinare ale sporilor; formarea timpurie de celule conidioforale.  
 l, m - Tipuri de germinare prin înmugurire, cu formare timpurie de hife și conidiofori scurți.  
 n, o - Tipuri de creștere toruloidă cu emitere de hife și conidiofori.  
 p - Alipire de lanțuri de celule cu tendință de formare a scleroțiilor prin alunecare.  
 q-t - Diferite stadii de formare a pseudoscleroțiilor prin înmugurire.

cată o serie de alți coloranți: Verde Ianus, Verde iod, Rosazurină, Negru neftal, Deltapurpurină, Metilorange, Roșu fenol, Tripanblau, Tripanrot, Benzazurină și Kresylechtviolet.

Metoda întrebunțată a fost aceea obișnuită pentru studiul antibioticelor, cu mici cilindri de sticlă încipăti pe un mediu de agar infectat.

După o primă triere cu soluțiile acestor coloranți, 1:10000, 1:1000, s-a constatat că niciunul dintre coloranții încercări n-au avut vreun efect semnificativ, nici chiar la diluția 1:1000, cu excepția primelor trei (Verde malahit, Verde brillant și Violet de gențiană) care au dat rezultate nete în diluție 1:10000 (fig. 39) și au fost studiate mai amănunțit în ceea ce privește doza toxică. Aceste experiențe au fost efectuate prin adăugarea de cantități diferite acestor coloranți la mediu agarizat Czapek în eprubete.

După stabilirea limitelor în care acționează acești compuși, a început experiența demonstrativă redată în figura 40 la care mediu cu diluția respectivă a colorantului a fost turnat în rondelele tăiate dintr-un vas Petri mare, umplut cu Agar Czapek. Din fotografie reiese efectul inhibitor al diferențelor diluțiilor ale celor trei coloranți întrebunțați în comparație cu colonia martor. Ca doze puternic inhibitive sau letale, au fost stabilite pentru tulipina noastră și în condițiile date de experimentare, următoarele diluții:

Verde brillant .....	1: 55 000
Verde malahit .....	1: 50-55 000
Violet de gențiană .....	1: 33 000.

In eprubetele cu diluții puțin mai ridicate (1:100000) s-au format colonii foarte caracteristice, cu adeziune redusă la mediu și cu dezvoltarea unor mănuchiuri de tip coremial (fig. 41 și fig. 42).

In ultimul timp coloniile au fost incluse în substanțele aflate sub cercetare și sub hormoni chimici de tipul 2,4 D. S-a constatat un efect net fungicistic numai în diluții 1: 2 - 300.

Cu titlu de încercare s-a experimentat și cu filtrat de cultură a unor Actinomycete, izolate de noi din infecții de pe o cultură de *Verticillium*. Aceste experiențe n-au dat încă rezultate satisfăcătoare, deși se constată un efect oarecare (fig. 39).

Pasul următor va consta în stabilirea efectului substanțelor fungistaticice asupra plantelor și acțiunea lor asupra parazitului *in vivo*.

## К ИЗУЧЕНИЮ ВЕРТИЦИЛЛОЗА У АСЕРИНЕАЕ

### (КРАТКОЕ СОДЕРЖАНИЕ)

На полезащитных культурах, находящихся вблизи станции Жегерия (область Констанца) был обнаружен вертициллоз у 3-летних саженцев *Acer tataricum*, *A. campestre* и *A. platanoides* и из чистых культур был выделен грибок, изученный ниже.

В вступлении дается краткое описание вертициллозов лесных видов. Отдельный грибок образует на поччерневших грифах хламидоспоры, которые почкованием могут породить псевдосклероции, что побудило автора включить его в типичную разновидность вида *Verticillium albo-atrum*.

В дальнейшем описываются симптомы болезни и приводятся следующие новые данные.

На больных стволах *A. tataricum* были обнаружены продольные трещины, из которых весной сочится черноватая вязкая жидкость — симптом, описанный до настоящего времени лишь у *A. platanoides*.

В продольных разрезах через больные стволы пятнистость (хроматическое поражение), характерная для дерева, встречается на некотором расстоянии от камбия. Даже в последней стадии болезни при полной окраске дерева в черновато-бурый цвет часть его последнего кольца в форме короны, окружающей камбий, все же остается неокрашенной.

Распространение болезни происходит в продольном направлении через сосуды, а в поперечном через медулярные лучи.

Помимо распространения поражения через субсферические кольца дерева было отмечено распространение через сердцевину (рис. 2, *a*, *e*). Пораженная медулярная зона обычно окаймлена бурой защитной полосой.

В разрезах через больные стволы было замечено образование камеди клетками медулярных лучей, а также ее проникновение в сосуды, где в результате образовавшихся пробок происходит закупорка.

Наблюдения показали, что закупорка сосудов камедью имеет место у деревьев не только весной, как это указано в литературе, но и позже. Собственно говоря закупорка сосудов происходит в непосредственной близости медулярных лучей, из которых вытекает камедь (рис. 3).

Далее обсуждался механизм появления синдромальных симптомов и условия, влияющие на агрессивность и патогенность грибка.

Основным фактором, способствующим заражению, является избыток влаги в почве. В случае, описанном автором, были заражены саженцы, находящиеся в небольших депрессиях, где весной скапливается вода от таяния снегов; саженцы же в местах с нормальным стоком воды не были поражены.

В последующих заражению стадиях болезнь протекает более интенсивно в засушливые годы.

Морфология грибка была тщательно изучена. В ранней стадии колонии он образует конидионосы без разветвления, а позже типичные *Verticillium* (рис. 4—9).

Прорастание спор представляет различные аспекты в зависимости от условий влажности субстрата (рис. 12—19). В условиях средней влажности споры прорастают путем простых гиф, из которых образуются указанные выше конидии и белый хлопьевидный воздушный мицелий.

В условиях повышенной влажности (в сырой комнате, на водянистых средах с агаром и т. д.) конидии увеличиваются в объеме, пускают почки, из них возникают кольцевидные разрастания, на которых вскоре образуются конидионосные клетки, образующие с быстрой последовательностью споры. В свою очередь эти конидии проходят через ту же стадию, как и первые.

Под водой конидии набухают очень сильно и размножаются почкованием, как было указано выше. В многочисленных случаях внутри

воздушных конидий было замечено образование телец, прорывающихся из клеточной мембранны. Они были обнаружены и в наполненных водой сосудах зараженного дерева, в которых имеется и разложившаяся протоплазма грибка.

На некоторых средах (солидовый агар, желатина) колонии развиваются вначале под водой, имея и в этот период мясистый аспект (рис. 33). В этих колониях имеется масса сильно вздутых конидий с непрерывным процессом почкования и короткие гифы, включенные в студенистое густое вещество. На поверхности исследуемых колоний появляется в дальнейшем белый хлопьевидный налет гифы, вначале в виде вкраплений или от периферии к центру (рис. 34—36). На других средах колонии с самого начала покрыты таким хлопьевидным налетом воздушного мицелия.

Аспект обратной стороны колонии находится в тесной связи с этими двумя формами разрастания. При мясистом разрастании обратная сторона колонии более или менее глубоко складчатая, а при обычном разрастании — гладкая. Ее окраска находится в зависимости от количества и размещения черных псевдосклероциев.

Относительно образования псевдосклероциев было замечено, что этот процесс находится в зависимости от различных факторов: состав среды, период сохранения данного штамма в лабораторных условиях и т. д. Так, например, добавление глицерина сильно стимулирует их образование, а фильтрат *Actinomyces* полностью их угнетает. Равным образом наблюдалось, что свежевыделенные штаммы обладают в большей мере этим свойством, постепенно теряя его в периоде жизни в лаборатории. С достаточной регулярностью на различных питательных средах было замечено обратное соотношение обилия конидиеносцев и псевдосклероциев.

Для характеристики исследуемых штаммов с физиологической точки зрения была произведена серия опытов на различных твердых средах. Результаты опытов показали, что грибок развивается очень хорошо на солидовом агаре, на среде Чапека, на желатине с картофельным экстрактом и на ломтиках морковки; развивается умеренно на агаре с вытяжкой кукурузной муки, с вытяжкой морковки, с водой и глицерином, а также на ломтиках картофеля; развивается слабо на среде с пентоновой водой и водопроводной водой.

Судя по ритму и интенсивности распространения колоний, можно заключить, что грибок для получения углевода широко использует захарозу, мальтозу, глицерин; в меньшей мере крахмал; совсем мало пентон. Была установлена адаптация энзиматического аппарата к использованию аминокислот из желатины в качестве источника азота.

Опыты в жидкой среде при различных значениях рН, а также с различными источниками углевода показали, что оптимальные значения рН равняются 5,5—6,5. Самыми благоприятными источниками углевода в убывающем порядке являются: глицерин, мальтоза, лактоза и глюкоза, в то время как манит почти совсем не использован.

Далее приводятся результаты опытов искусственного заражения на различных однолетних культурных растениях. Грибок заражает картофель, кукурузу, помидоры и баклажаны. Искусственное заражение легче всего произвести через почву. Менее верным способом

является прививка непосредственно на стебле. Ввиду борьбы с болезнью был проведен ряд исследований, проверяющих фунгистатическое действие в пробирочном опыте ряда веществ, преимущественно квасителей. Были подтверждены литературные данные относительно действия некоторых из них (малахитовый зеленый, бриллиантовый зеленый, генциановый фиолет в больших разведениях ( $1/33\,000$ — $1/55\,000$ ) и  $2,4$  D, в более сильных концентрациях ( $1/250$ )). В дальнейшем будет проведен ряд опытов для установления действия этих веществ на растениях.

#### ОБЪЯСНЕНИЕ РИСУНКОВ

Рис. 1. — *Verticillium albo-atrum* R. et B. Стволы *Acer tataricum* с повреждениями формы продольных щелей без (a) и с выделением (b) черноватой клейкой жидкости.

Рис. 2. — *Verticillium albo-atrum* R. et B. Поперечный разрез через зараженный ствол *Acer tataricum* в различных стадиях хроматического повреждения дерева.

Рис. 3. — A. Общий вид зараженного дерева (поперечный разрез). Заметна закупорка сосудов вблизи медулярных лучей и усиление явления от камбия (справа) к сердцевине (слева).  $\times 250$ . B. То же явление.  $\times 500$ . C. То же явление.  $\times 700$ .

Рис. 4. — Шнурок гиф с аспектом *Cephalosporium* на солодовом агаре.  $\times 500$ .

Рис. 5. — Молодая колония на солодовом агаре.  $\times 250$ .

Рис. 6. — Сильно набухшие массы спор в каплях студенистого вещества. Молодая колония.  $\times 1000$ .

Рис. 7. — Двухэтажные конидиеносцы *Verticillium* на солодовом агаре.  $\times 600$  (приближительно).

Рис. 8. — То же, что на рисунке 7.  $\times 800$ .

Рис. 9. — То же, что на рисунке 6. Четырехэтажные конидиеносцы.  $\times 500$  (приближительно).

Рис. 10. — Конидии *Verticillium* в период вздутия в студенистом веществе. Окраска ядер.  $\times 2000$ .

Рис. 11. — Конидии в жидкой среде в различных стадиях набухания.  $\times 1500$ .

Рис. 12. — Прорастание шаровидных конидий через обыкновенную ростковую трубочку.  $\times 2250$ .

Рис. 13. — Прорастание эллипсоидальных конидий через 1 и 2 ростковые трубочки.  $\times 1000$ .

Рис. 14. — Эллипсоидальные конидии в период почкования.  $\times 1000$ .

Рис. 15. — То же, что на рисунке 14, с гифами.  $\times 1800$ .

Рис. 16. — Спорообразование у конидии тотчас же после прорастания.  $\times 1800$ .

Рис. 17. — Короткие конидиеносцы на кольцевидном разрастании.  $\times 2000$ .

Рис. 18. — Спорообразование конидии тотчас же после почкования.  $\times 1800$ .

Рис. 19. — То же, что на рисунке 18.

Рис. 20. — Образование телец внутри конидий (окраска метиленовой синью).  $\times 2400$ .

Рис. 21. — То же, что на рисунке 20, без окраски.  $\times 2400$ .

Рис. 22. — Освобождение телец из конидии.  $\times 2600$ .

Рис. 23. — То же, что на рисунке 22.

Рис. 24. — То же, что на рисунке 22.  $\times 2400$ .

Рис. 25. — Образование телец внутри конидий после исчезновения ее мембраны.  $\times 2400$ .

Рис. 26. — Массы телец в скоплении конидий.  $\times 2000$ .

Рис. 27. — Гифы, окрашенные в бурый цвет, с обильными жировыми каплями с хламидоспорами в период образования склероциев.  $\times 1500$ .

Рис. 28. — То же, что на рисунке 27.  $\times 2200$ .

Рис. 29. — Образование хламидоспор и склероциев на гифах у края колонии на среде с глицерином.  $\times 1000$ .

Рис. 30. — Образование псевдосклероциев почкованием.  $\times 2000$ .

Рис. 31. — Зрелые псевдосклероции после исчезновения гиф.  $\times 1200$ .

Рис. 32. — Прорастание псевдосклероции.  $\times 1000$ .

Рис. 33. — Мясистое разрастание колонии *Verticillium* на солодовом агаре.  $\times 2$  (приближительно).

Рис. 34. — То же, что на рисунке 33, с вкраплениями белого хлопьевидного воздушного мицелия.

Рис. 35. — То же, что на рисунке 34, почти полностью покрытое воздушным мицелием.

Рис. 36. — Мясистая колония радиально складчатая; продвижение воздушного мицелия от периферии к центру.

Рис. 37. — Микроскопический аспект поверхности мясистой колонии: редкие воздушные гифы, конидиеносцы без разветвлений.  $\times 500$ .

Рис. 38. — *Verticillium albo-atrum* R. et B. Развитие мицелия в жидкой среде при различных значениях pH (слева направо: 8,2—7—6,2—5).

Рис. 39. — Определение фунгистатического эффекта. Сверху — малахитовый зеленый 1:10/000; справа фильтрат *Actinomycete*.

Рис. 40. — Эффект фунгистатического вещества в различных разведениях.

Рис. 41. — Развитие колоний на среде Чапека с добавлением генцианового фиолетового 1:50 000 (слева контроль).

Рис. 42. — То же, что на рисунке 41. Коремиформное разрастание колонии.  $\times 3$  (приближительно).

Рис. 43. — a — Простой конидиеносец без разветвлений.

b—c — Типичные конидиеносцы *Verticillium*,

f—g — Различные формы конидии *Verticillium*.

h, i — Процесс прорастания спор образованием гиф.

j, k — Различные стадии прорастания спор; ранее образование конидиеносных клеток.

l, m — Типы прорастания почкованием с ранним образованием коротких конидиеносцев.

n, o — Типы кольцевидного разрастания с образованием гиф и конидиеносцев.

p — Приставание клеточных цепочек с тенденцией образования склероциев скольжением.

q—t — Различные стадии образования псевдосклероциев почкованием.

#### CONTRIBUTIONS À L'ÉTUDE DE LA VERTICILLIOSE DES ACÉRACÉES

##### (RÉSUMÉ)

Dans les cultures de protection situées dans les environs de la gare de Jegălia (région de Constanța) on a constaté l'existence de la verticilliose sur des sujets âgés de 3 ans de *Acer tataricum*, *A. campestre* et *A. platanoides*. On a pu en isoler, en culture pure, le champignon qui fait l'objet de cette étude.

On commence par un bref historique des différentes verticillioses des espèces forestières. Le champignon que l'on a isolé forme, sur des hyphes noircis, des chlamydospores qui peuvent donner naissance, par bourgeonnement, à des pseudo-sclérocytes. Ce fait a déterminé les Auteurs à le classer dans la variété typique de l'espèce *Verticillium albo-atrum*.

On décrit ensuite les symptômes de la maladie à l'étude de laquelle on apporte des contributions nouvelles.

Les tiges malades de *A. tataricum* présentent des fissures longitudinales dont s'écoule, au printemps, une matière noirâtre et visqueuse. Ce symptôme n'a été décrit que pour *A. platanoides*.

Des sections longitudinales, à travers les tiges malades, ont permis de constater que les taches (l'altération chromatique) caractéristiques du bois apparaissent à certaine distance du cambium. Même au dernier stade de la maladie, lorsque le bois est complètement coloré en brun noirâtre, l'anneau

ligneux périphérique se maintient incolore, sous la forme d'une couronne entourée par le cambium.

La maladie se propage longitudinalement par les vaisseaux, et transversalement, par les rayons médullaires.

Hormis la propagation de l'altération par des anneaux ligneux sous-périphériques, on a constaté une propagation secondaire, par la moelle (fig. 2, a, b). La zone médullaire altérée est généralement bordée d'une ligne brune de protection.

Les sections à travers les tiges malades permettent d'observer la sécrétion des gommes, par les cellules des rayons médullaires, et leur pénétration dans les vaisseaux qu'elles obstruent en y formant des bouchons.

Les observations ont montré que les vaisseaux du bois de printemps ne sont pas, comme on l'a écrit, les seuls à être obstrués par des bouchons de gommes, mais que ce phénomène a lieu dans les vaisseaux du bois d'automne également. En fait, les vaisseaux obstrués sont ceux qui se trouvent à immédiate proximité des rayons médullaires qui sécrètent les gommes (fig. 3).

Les Auteurs discutent ensuite du mécanisme qui déclenche les symptômes de ce syndrome ainsi que des conditions qui influencent l'agressivité et le pouvoir pathogène du champignon.

Le moment principal pour la réussite de l'infection est celui où le sol contient un surplus d'humidité. Dans le cas qui fait l'objet de ce travail, seuls sont attaqués par l'infection les jeunes sujets qui se trouvent dans de légères dépressions du sol, là où, au printemps, les eaux de la fonte des neiges s'accumulent. Les sujets du reste de la plantation, où les eaux s'écoulent normalement, ne sont pas attaqués.

Une fois que l'infection a pris, l'intensité de la maladie s'accroît au cours des années de sécheresse.

On a étudié la morphologie du champignon. Au stade de jeunesse de la colonie, les conidiophores, tout comme ceux de *Cephalosporium*, ne sont pas ramifiés; plus tard ils acquièrent les caractères typiques de ceux de *Verticillium* (fig. 4-9).

La germination des spores prend des aspects différents, suivant les conditions d'humidité du substratum (fig. 12-19). Dans des conditions d'humidité moyenne, les spores génèrent des hyphes simples dont sortent les conidiophores mentionnés ci-dessus et un mycélium aérien, floconneux et d'un blanc neigeux.

Dans les conditions d'humidité accrue (en chambre humide, sur milieux aqueux de gélose) les conidies augmentent de volume, bourgeonnent et donnent naissance à une excroissance toruloïde sur laquelle apparaissent bientôt des cellules conidiophorales, produisant des spores en une succession rapide. A leur tour, ces conidies traversent les mêmes phases que les premières.

Les conidies submergées enflent et se multiplient par bourgeonnement, de la même manière que ci-dessus. A l'intérieur des conidies gonflées, on a souvent remarqué la formation de corpuscules qui sont mis en liberté par une déchirure de la membrane cellulaire. Ces corpuscules ont également été observés dans les vaisseaux imprégnés d'eau du bois infecté, où l'on remarque encore des masses protoplasmatisques en désagrégation, provenant du champignon.

Sur certains milieux (gélose maltée, gélatine) les colonies ont, au commencement, un développement submersé. A cette phase, elles ont un aspect

charnu (fig. 33). Ces colonies comprennent des masses de conidies fort gonflées, présentant un processus de bourgeonnement continu, ainsi que des hyphes courts englobés dans une masse mucilagineuse fort dense. Ultérieurement, à la surface de ces colonies, une couche floconneuse d'hyphes d'un blanc neigeux se développe, au début sous forme d'ilots ou avançant de la périphérie vers le centre (fig. 34-36). Sur d'autres milieux, ces colonies sont, dès le début, recouvertes de cette couche floconneuse de mycélium aérien.

L'aspect de l'envers de la colonie est en rapport avec ces deux formes de croissance. Lorsque la colonie a un développement à l'aspect charnu, l'envers en est plus ou moins profondément strié en rayons; dans le cas d'un développement ordinaire, l'envers est lisse. Sa coloration dépend de la quantité et de la position des pseudo-sclérotes noirs.

En ce qui concerne la formation des pseudo-sclérotes, on a remarqué qu'elle dépend de plusieurs facteurs: composition du milieu, durée de la conservation de la souche respective dans les conditions du laboratoire, etc. Ainsi: la glycérine, ajoutée au milieu de culture, stimule intensément la formation des pseudo-sclérotes, tandis qu'un filtrat d'actinomycètes l'inhibe complètement. On a également remarqué que les souches fraîchement isolées possèdent cette propriété au plus haut degré et qu'elles la perdent au fur et à mesure de leur conservation en laboratoire. On a presque constamment noté, et sur divers milieux de culture, un rapport inverse entre l'abondance des conidiophores et celle des pseudo-sclérotes.

En vue d'établir les caractères physiologiques de la souche qui fait l'objet de ces recherches, on a effectué un certain nombre d'expériences sur différents milieux solides. Les résultats ont prouvé que le développement du champignon est optime en milieu de gélose maltée, milieu de Czapek, sur gélatine additionnée d'extrait pommes de terre et sur des tranches de carottes, il est moyen, sur gélose à addition d'extrait de farine de maïs, d'extrait de carottes ou d'eau glycinée, et sur tranches de carottes; il est faible, en milieu d'eau additionnée de peptones ou d'eau simple.

Le rythme et l'intensité du développement des colonies permettent de conclure que le champignon tire le meilleur rendement des sources de carbone telles que le saccharose, le maltose et la glycérine. Le rendement est moins bon pour l'amidon et très faible pour la peptone. On constate une adaptation de l'appareil enzymatique à l'utilisation des amino-acides de la gélatine, comme source d'azote.

Des expériences en milieu liquide, à des pH différents, ainsi qu'avec différentes sources de carbone, ont démontré que les valeurs du pH les plus favorables sont comprises entre 5,5 et 6,5. Les sources de carbone les plus favorables sont: la glycérine, le maltose, le lactose et le glucose (dans l'ordre de l'énumération), alors que la mannite n'est presque pas utilisée.

Les Auteurs exposent ensuite les résultats des infections artificielles, expérimentées sur différentes plantes de culture annuelle. Le champignon s'attaque aux pommes de terre au maïs, aux tomates et aux aubergines. Le mode le plus sûr d'infection artificielle consiste à infecter le sol. L'inoculation faite directement sur la tige a donné des résultats incertains.

Les Auteurs ont procédé à toute une série d'expériences en vue de combattre la maladie. A cet effet, on a éprouvé l'action fongistatique *in vitro* d'un certain nombre de substances, la plupart colorantes. Les expériences ont

confirmé les données de la littérature au sujet des effets de certaines de ces substances (vert malachite, vert brillant, violet de gentiane — en fortes dilutions de 1/33000 à 1/55000 — et du 2,4 D — à plus forte concentration de 1/250). Le programme des travaux à venir comprend des expériences servant à établir l'effet de ces substances *in vivo*.

#### EXPLICATION DES FIGURES

Fig. 1. — *Verticillium albo-atrum* R. et B.

Tiges de *Acer tataricum* portant des lésions en forme de fentes longitudinales (*a*) sans ou (*b*) avec écoulement de matière noirâtre visqueuse.

Fig. 2. — *Verticillium albo-atrum* R. et B.

Section transversale des tiges de *A. tataricum* contaminé, à différents stades d'altération chromatique du bois.

Fig. 3. — A. Vue d'ensemble du bois altéré (section transversale). On peut remarquer l'obturation des vaisseaux situés à proximité des rayons médullaires et l'accentuation de ce phénomène en allant du cambium (à droite) vers la moelle (à gauche).  $\times 250$ .

B. Même phénomène, à un plus fort grossissement.  $\times 500$ .

C. Même phénomène.  $\times 700$ .

Fig. 4. — Cordon d'hyphe portant des fructifications à aspect de *Cephalosporium* sur gélose maltée.  $\times 500$ .

Fig. 5. — Colonie jeune sur gélose maltée.  $\times 250$ .

Fig. 6. — Gouttes de mucilage contenant des masses de spores fort gonflées, Colonie jeune.  $\times 1000$ .

Fig. 7. — Conidiophores de *Verticillium* à 2 étages, sur gélose maltée.  $\times 600$  (approximativement).

Fig. 8. — Idem.  $\times 800$ .

Fig. 9. — Comme à la figure 7, mais à 4 étages.  $\times 500$  (approximativement).

Fig. 10. — Conidies de *Verticillium* en voie de gonflement, prises dans un mucilage. Coloration des noyaux,  $\times 2000$ .

Fig. 11. — Conidies en milieu liquide, à divers stades de gonflement.  $\times 1500$ .

Fig. 12. — Conidie sphérique générant un simple tube germinatif.  $\times 2250$ .

Fig. 13. — Conidies ellipsoïdales générant 1 et 2 tubes germinatifs.  $\times 1000$ .

Fig. 14. — Conidie ellipsoïdale, en voie de bourgeonnement.  $\times 1000$ .

Fig. 15. — Comme à la figure 14, avec, en plus, des hyphe.  $\times 1800$ .

Fig. 16. — Sporulation d'une conidie, immédiatement après la germination.  $\times 1800$ .

Fig. 17. — Conidiophores courts à développement toruloïde.  $\times 2000$ .

Fig. 18. — Sporulation d'une conidie, immédiatement après le bourgeonnement.  $\times 1800$ .

Fig. 19. — Idem.

Fig. 20. — Formation des corpuscules à l'intérieur des conidies (coloration au bleu de méthylène).  $\times 2400$ .

Fig. 21. — Comme à la figure 20, sans coloration.  $\times 2400$ .

Fig. 22. — Libération des corpuscules d'une conidie,  $\times 2600$ .

Fig. 23. — Idem.

Fig. 24. — Comme à la figure 22.  $\times 2400$ .

Fig. 25. — Corpuscules formés à l'intérieur d'une conidie, après disparition de la membrane.  $\times 2400$ .

Fig. 26. — Masses de corpuscules dans une agglomération de conidies.  $\times 2000$ .

Fig. 27. — Hyphe brunis, riches en gouttelettes de graisse, à chlamydospores, en voie de génération des sclérotes.  $\times 1500$ .

Fig. 28. — Idem.  $\times 2200$ .

Fig. 29. — Formation des chlamydospores et sclérotes sur les hyphe des bords de la colonie, sur milieu à addition de glycérine.  $\times 1000$ .

Fig. 30. — Formation des pseudo-sclérotes par bourgeonnement.  $\times 2000$ .

Fig. 31. — Pseudo-sclérotes mûrs, après la disparition des hyphe.  $\times 1200$ .

Fig. 32. — Germination d'un pseudo-sclérote.  $\times 1000$ .

Fig. 33. — Développement charnu d'une colonie de *Verticillium*, sur milieu de gélose maltée.  $\times 2$  (approximativement).

Fig. 34. — Comme à la figure 33, avec, en plus, des îlots de mycélium aérien d'un blanc floconneux.

Fig. 35. — Comme à la figure 34, mais presque complètement recouvert de mycélium aérien.

Fig. 36. — Colonie à aspect charnu, à stries radiales et mycélium aérien avançant de la périphérie vers le centre.

Fig. 37. — Aspect microscopique de la surface d'une colonie charnue: rares hyphes aériens, conidiophores non ramifiés.  $\times 500$ .

Fig. 38. — *Verticillium albo-atrum* R. et B. Développement du mycélium en milieu liquide, pour différentes valeurs du pH (de gauche à droite: 8,2—7—6,2—5).

Fig. 39. — Détermination de l'effet fongistatique. En haut: vert malachite, 1: 10.000; à droite: filtrat d'actinomycètes.

Fig. 40. — Effet des substances fongistatiques à différentes dilutions.

Fig. 41. — Développement de la colonie sur milieu de Czapek à addition de violet de gentiane 1: 50.000 (à gauche: témoin).

Fig. 42. — Comme à la figure 41. Croissance corémiforme de la colonie.  $\times 3$ . (approximativement).

Fig. 43-a. — Conidiophage simple non ramifié.

b-e. — Conidiophores typiques de *Verticillium*.

f, g. — Différentes formes de conidies de *Verticillium*.

h, i. — Processus de germination des spores par formation d'hyphes.

j, k. — Différents stades de la germination des spores; formation précoce des cellules conidiophorales.

l, m. — Types de germination par bourgeonnement avec formation précoce de conidiophores courts.

n, o. — Types de croissance toruloïde avec émission d'hyphes et de conidiophores.

p. — Accrolement de plusieurs cordons de cellules avec tendance à la formation de sclérotes par glissement.

q-t. — Différents stades de la formation des pseudo-sclérotes par bourgeonnement.

#### BIBLIOGRAFIE

1. Berkeley G. H., Scientific Agriculture, 1931, Nr. XI, p. 11.
2. Bewley W. F., Annals of Applied Biology, 1922, Nr. 9, p. 116.
3. Kanas S. S., Stramel B. P., Naghibin I. D., Selectia hlopiatnica, Gosudarstvennoe izdatelstvo Uzbekistan S.S.R. Taškent, 1948, p. 24.
4. Carpenter C. W., Phytopathology, 1914, Nr. 14, p. 593.
5. Curzi M., Rivista Patol. Veget., 1925, Nr. 15, p. 145.
6. Delacroix G., Maladies des plantes cultivées. Paris, 1908, v. I.
7. Donandt S., Zeitschrift f. Parasitenkunde, 1932, Nr. 4, p. 653.
8. Dufrenoy J., Annales des Epiphytes, 1927, Nr. 13, p. 195.
9. Ferraris T., Patologia e terapia vegetale. Milano, 1941, v. II.
10. Jagger-Stewart, Phytopathology, 1928, Nr. 18, p. 36.
11. Klebahn H., Mykologisches Zentralblatt, 1913, Nr. 3, p. 49.
12. Kononenko E. W., Mikrobiologija, 1937, Nr. VI, p. 699.
13. Kokin A. J., Simposion posviacienem pamiatí V. V. Lubimenko. Izdatelstvo Akad. Nauk USSR, Kiev, 1938, p. 329.
14. V. d. Meer J. H. H., Phytopathology, Nr. 16, p. 121.
15. Oknina E. Z., Trudi Inst. Fiziol. Rastenii im. K. A. Timiriazev, 1937, Nr. II, p. 83.
16. Presley A., Phytopathology, 1941, Nr. 31, p. 12.
17. Reinke J. și Berthold G., Untersuchungen des Botanischen Laboratoriums der Universität Göttingen, 1879, Nr. 1.
18. Rudolph B. A., Hilgardia, 1931, Nr. 5.
19. Saburova P. V., Zascita rastenii, Leningrad 1937, Nr. 15, p. 61.
20. Săvulescu Tr., Curs de Patologie Vegetală, București, 1946—1947.
21. Săvulescu Tr. și colaboratori, Starea Fitosanitară 1933—1934. Institutul de Cercetări Agronomice al României, 1935, Nr. 24.
22. Sorauer P., Handbuch der Pflanzenkrankheiten, Berlin, 1928, ediția a V-a.
23. Vanin S. N., Lesnaja Fitopatologija. Moscova, 1948.
24. Verona O. și Ceccarelli A., Phytopathologische Zeitschrift, 1935, Nr. 8, p. 371.
25. Wollenweber H., Arb. d. biol. Reichsanst. f. Land- u. Forstw., 1929, Nr. 17, p. 273.
26. Zimm I. A., Phytopathology, 1918, nr. 8, p. 80.

INFLUENȚA EXTRACTELOR DE PLACENTĂ  
ASUPRA RÈSPRÎTAIEI ȘI GERMINAȚIEI SEMINTELOR  
DE FASOLE

DE  
OCTAV COSTACHEL, IRINA KITULESCU și MIRCEA CRÎNGU

Comunicare prezentată de academician C. I. PARTHON în ședința din 27 martie 1952

Lucrarea de față face parte dintr-o serie de cercetări asupra acțiunii *in vitro* a extractelor conservate după metoda Filatov.

Scopul acestor cercetări este de a găsi un test de activitate calitativ și mai ales cantitativ, test absolut necesar pentru a preciza proprietățile stimulilor biogeni, în special cele fizico-chimice. Fără găsirea unui test de activitate *in vitro* calitativ și a unui alt test cantitativ, socotim că cercetările pentru descoperirea compoziției chimice a stimulilor biogeni sunt lipsite de posibilități. Cea mai bună dovdă este că pînă acum există un mare număr de supozitii asupra compoziției chimice a stimulilor biogeni, ele însă au rămas simple ipoteze, din cauza imposibilității de a demonstra printr-un test existența și modul lor de acțiune.

O altă problemă, aproape necunoscută, este aceea a acțiunii cantitative. Pînă în prezent se știe foarte puțin asupra deosebirii de activitate, atunci cînd stimulii biogeni sunt administrați în cantități sau concentrații diferite.

Pînă în prezent s-au urmărit numai teste de activitate biologică.

Pe această linie merge și cercetarea de față.

Numeroase cercetări ale autorilor sovietici au demonstrat existența stimulilor biogeni.

În laboratoarele acad. V. P. Filatov, s-a dovedit prezența stimulilor biogeni în țesuturi și preparate printr-o serie de teste biologice: intensificarea activității fermentative, în special a enzimelor proteolitice și a amilazei, vindecarea leziunilor pielei, creșterea cantității sucului gastric și a acidității lui etc.

A. F. Sisoiev și V. V. Skorodinskaja propun drept test clinic pentru eficacitatea extractelor, activitatea catalazei sanguine. E. S. Suliovă și I. P. Drobinski măsoară eficacitatea extractelor de țesuturi prin creșterea titrului serului hemolitic, aglutinizat și antitoxic.

Acțiunea extractelor de țesuturi asupra metabolismului plantelor a format obiectul unui număr mare de lucrări ale autorilor sovietici, care au

demonstrat sensibilitatea ţesuturilor vegetale la acţiunea stimulatorilor biogeni.

V. P. Filatov a obţinut accelerarea germinării seminţelor de mazăre şi a creşterii plantelor, creşterea fertilităţii la gîuş, orz şi cartofi. V. I. Kukulev arată creşterea fertilităţii bumbacului cu 15–20 % şi accelerarea înfloririi lui cu 2–3 zile. Tocevičkaia arată influenţa stimulatorilor biogeni asupra proprietăţilor biochimice ale bumbacului. G. M. Malakowski şi G. V. Porutski demonstrează, printre alte efecte ale stimulilor biogeni, şi activarea respiraţiei, exprimată prin consumul de  $O_2$  şi eliberarea de  $CO_2$ , la plantele asupra cărora s-a urmărit alioarea şi înrădăcinarea butaşilor, sub influenţa extractelor de ţesuturi.

Din lucrările autorilor sovietici rezultă că acţiunea stimulatorilor biogeni asupra metabolismului plantelor este foarte complexă, datorită probabil acţiunii stimulatorilor asupra unor dintre factorii specifici pentru metabolismul fiecărui ţesut vegetal, cît şi aportului diferit pe care-l au în procesul de stimulare, diferenţele cantitative ale compoziţiei chimice care formează complexul: stimuli, biogeni. Din cauza acestei interdependenţe multiple în parte necunoscute, răspunsurile biologice obţinute sunt diferite, nepermittând pînă în prezent standardizarea unei metode ca test calitativ sau cantitativ.

Ne-am propus ca, urmărind variaţia răspunsurilor ţesuturilor vegetale la condiţii diferite experimentale, să găsim un test de eficacitate a extractelor de ţesuturi luate după metoda Filatov, oprindu-ne asupra condiţiilor experimentale cu maximum de eficacitate.

Cercetările din lucrarea de faţă au fost făcute pe fasole Ialomiţa şi mazăre Victoria Strübe, la care s-a măsurat activarea biologică produsă de factorii obţinuţi prin conservarea la frig a ţesuturilor (metoda Filatov), calculată din diferenţa de influenţare a extractului de placenta conservată faţă de extract de placenta proaspătă, asupra respiraţiei şi germinării plantelor menţionate.

### I. ACTIVAREA RESPIRAȚIEI

S-a procedat după cum urmează:

Au fost alese seminţele de fasole Ialomiţa şi mazăre Victoria Strübe de aceeaşi mărime. Ele au fost îmbibate timp de 24 de ore în apă de robinet, apoi au fost ținute 4 zile la germinare în cutii Petri între hîrtii de filtru umezite cu apă. A 4-a zi dela germinare s-au îndepărtat cotiledoanele, apoi plantele au fost împărăte în loturi cu greutate egală şi au fost ținute în cantităţi egale de extract, într-un lot de experienţe timp de cinci ore, iar un alt lot timp de 20 de ore.

S-a măsurat apoi eliberarea de  $CO_2$  după metoda Boysen-Jelsen cu hidroxid de bariu ( $Ba(OH)_2 + 8 H_2O$ ).

S-au întrebuinţat două feluri de extracte placentare:

A. Extract alcoolic preparat după metoda Prof. Ghimicescu.

Fraşamente de placenta, conservată după metoda Filatov, sunt tăiate în bucăţi de 0,5 cm diametru, se spală de singe cu apă distilată, se usuca într-o compresă curată, se aşeză într-o cutie Petri şi se acoperă cu alcool de 95 °; se lasă acoperit la temperatura camerei timp de 24 de ore, apoi se decantează, se filtrează alcoolul şi se evaporă la termostat la temperatură de 37 °.

Reziduul rămas după evaporare se dizolvă cu apă distilată, atâtă  $cm^3$  cîte grame de placenta au intrat la triturare. Se filtrează şi se sterilizează la autoclav.

B. Extract apos preparat după tehnica Filatov.

S-au luat diferite concentraţii: extractul brut (1 g placenta la  $10 cm^3$  apă distilată) din care s-au făcut diluţii 1/2 şi 1/4 în apă distilată.

Conţinutul în albumină al extractului brut a fost de 1,10 pînă la 1,30%, iar pH-ul de 6,5–7.

### Experienţe pe fasole Ialomiţa

După 24 de ore dela umezire şi după 4 zile dela germinare, plantele au fost împărăte în loturi de 0,25 g ţesut umed şi ținute timp de 5 ore în cuti Petri, conţinind fiecare cîte 20  $cm^3$  extract, astfel:

Lotul I 20  $cm^3$  extract conservat după metoda Filatov

Lotul II 20  $cm^3$  extract proaspăt după metoda Filatov

Lotul III 20  $cm^3$  extract alcoolic conservat

Lotul IV 20  $cm^3$  extract alcoolic proaspăt.

Respiraţia a fost măsurată în 40  $cm^3$   $Ba(OH)_2 N/100$ .

Titrarea a fost făcută  $SO_4 H_2 N/100$ , factor 1,06.

Rezultatele sunt trecute în tabloul nr. 1.

Tabloul nr. 1

Respiraţia plantelor de fasole Ialomiţa sub acţiunea extractului de placenta

Metoda Boysen-Jelsen. Măsurări după 5 ore de acţiune a extractului în ziua a 4-a a germinării

Martor	Exp. I	Exp. II	Exp. III	Exp. IV
	0,305 $cm^3$ $CO_2/kg/oră$	0,310 $cm^3$ $CO_2/kg_2/oră$	0,302 $cm^3$ $CO_2/kg/oră$	0,309 $cm^3$ $CO_2/kg/oră$
Extr. apos conservat .....	0,321 $cm^3$	0,326 $cm^3$	0,319 $cm^3$	0,325 $cm^3$
Extr. apos proaspăt.....	0,311 »	0,314 »	0,309 »	0,316 »
Extr. alcoolic conservat ..	0,375 »	0,369 »	0,378 »	0,366 »
Extr. alcoolic proaspăt....	0,327 »	0,322 »	0,330 »	0,326 »

### Experienţe pe mazăre Victoria Strübe

După 24 de ore de umezire şi 4 zile de germinare, plantele au fost împărăte în loturi de 1 g ţesut umed şi supuse timp de 20 de ore acţiunii diferitelor concentraţii de extracte.

În rest, experienţa a fost făcută ca la fasolea Ialomiţa.

Rezultatele sunt trecute în tabloul nr. 2.

Tabloul nr. 2

Respirația plantelor de măzăre Victoria Strübe la 4-a zi de la germinare, supuse timp de 20 de ore acțiunii extractului

Martor	Exp. I	Exp. II	Exp. III
	3,67 cm <sup>3</sup> CO <sub>2</sub> /kg/oră	3,70 cm <sup>3</sup>	3,69 cm <sup>3</sup>
Cons. brut. ....	3,27 » »	3,22 »	3,21 »
Cons. dil. 1/2 ....	3,55 » »	3,60 »	3,62 »
Cons. dil. 1/4 ....	3,92 » »	3,86 »	3,99 »

Din rezultatele menționate se constată că respirația plantelor este stimulată de extractele de placentă și anume:

- a) Extractul conservat este mai activ decât cel proaspăt.
- b) Extractul alcoolic este mai activ decât cel apos.
- c) Concentrațiile mari de extract (extract brut), lăsate să acționeze timp îndelungat, arată un efect stimulator asupra respirației, mai redus, efectele maxime obținându-se cu dilutiile moderate de 1/2 și 1/4 din extractul brut.

## II. ACTIVAREA GERMINĂRII SEMINȚELOR

Am lucrat pe semințe de fasole Ialomița și măzăre Victoria Strübe. Alese de aceeași mărime, semințele au fost imbibate timp de 24 de ore în apă de robinet, iar apoi împărțite în loturi egale de 20 de semințe. Fiecare lot a germinat în cutii Petri la temperatură de 20°, între hârtii de filtru imbibate în extractul cercetat într-o diluție anumită.

Martorii au germinat în apă obișnuită sau soluție nutritivă Knopp (soluție formată din: azotat de calciu NO<sub>3</sub>Ca 1 g, SO<sub>4</sub>Mg 0,25, KCl 0,25, PO<sub>4</sub>H<sub>2</sub>K 0,25 și urme de FeCl<sub>3</sub>, în 1000 cm<sup>3</sup> de apă distilată).

După perioada de timp hotărâtă, s-a măsurat la planimetru creșterea epicotilului, făcindu-se media pentru fiecare din loturi.

Am urmărit efectul extractului proaspăt și conservat, preparat după metoda Filatov, din aceeași placentă, întrebunțind în timpul experiențelor două serii de extracte preparate identic din plante diferite, pentru a verifica constanța rezultatelor.

Am urmărit comparativ efectul mai multor concentrații (10 %, 5 %, 2,5 %) efectul perioadelor diferite de acțiune ale acestor extracte, precum și variațiile sensibilității față de extracte a două specii diferite de plante: fasole Ialomița și măzăre Victoria Strübe.

Rezultatele sunt date în tablourile 3, 4 și 5.

În tabloul nr. 3 sunt notate rezultatele experiențelor pe fasole Ialomița lucrate cu extract de placentă proaspăt și conservat timp de 8 zile.

Perioada de experimentare a fost de 6 zile. După 24 de ore de imbibare în apă de robinet loturile de cîte 20 de semințe au fost puse în cutii Petri între hârtii de filtru imbibate în 10 cm<sup>3</sup> extract. Martorii au fost puși în 10 cm<sup>3</sup> de apă. Timp de 5 zile, fiecare lot de semințe a primit zilnic cîte 10 cm<sup>3</sup> din concentrațiile respective de extract, sau 10 cm<sup>3</sup> de apă (martori), în total cîte 50 cm<sup>3</sup> extract.

Tabloul nr. 3

Fasole Ialomița după 5 zile de germinare

Martor	Ext. conservat brut	Ext. conservat 1/2	Ext. conservat 1/4
Apă .....	(10 %)	(5 %)	(2,5 %)
2,26 cm <sup>3</sup> .....	2,63 cm <sup>3</sup>	2,18 cm <sup>3</sup>	3,20 cm <sup>3</sup>
2,20 » .....	2,70 »	2,10 »	3,24 »
2,30 » .....	2,69 »	2,11 »	3,32 »
2,22 » .....	2,72 »	2,16 »	3,26 »
	Ext. proaspăt brut	E.P.1/2	E.P.1/4
»	10 %	5 %	2,5 %
	2,73 cm <sup>3</sup>	1,73 cm <sup>3</sup>	2,62 cm <sup>3</sup>
	2,76 »	1,69 »	2,64 »
	2,74 »	1,76 »	2,52 »
	2,80 »	1,79 »	2,60 »

Tabloul nr. 4

Fasole Ialomița după 8 zile de germinare

Martor	Apă	K + conservat 10 %	K + conservat 5 %	K + proaspăt 10 %	K + P 5 %
Knopp.....		dil. 1/2	dil. 1/4	dil. 1/2	dil. 1/4
1,10 .....	0,75	2,21	3,75	0,25	1,36
1,08 .....	0,84	2,29	3,39	0,32	1,42
1,14 .....	0,82	2,19	3,72	0,29	1,33
1,07 .....	0,78	2,26	3,74	0,36	1,39

Tabloul nr. 5

Măzăre Victoria Strübe după 4 zile de germinare

Martor	Conservat brut 10%	Conservat 1/2	Conservat 1/4	Proaspăt 10%	Proaspăt 1/2	Proaspăt 1/4
Apă		5 %	2,5 %		5 %	2,5 %
2,40 cm <sup>3</sup>	2,99 cm <sup>3</sup>	2,37 cm <sup>3</sup>	2,88 cm <sup>3</sup>	0 cm <sup>3</sup>	1,86 cm <sup>3</sup>	2,32 cm <sup>3</sup>
2,36 »	2,91 »	2,40 »	2,72 »	0,50 »	1,79 »	2,29 »

Măzăre Victoria Strübe după 7 zile de germinare

Martor	Conservat brut	Conservat 1/3	Proaspăt brut	Proaspăt 1/3
Apă	10%	7%	10%	7%
3,28 cm <sup>3</sup>	2,77 cm <sup>3</sup>	2,99 cm <sup>3</sup>	1,70 cm <sup>3</sup>	2,19 cm <sup>3</sup>
3,32 »	2,64 »	2,88 »	1,66 »	2,23 »

Se constată o diferență între acțiunea extractului proaspăt și acțiunea extractului conservat.

*Extractul conservat* în concentrație maximă (10%) are efect stimulator asupra creșterii, efect ce se obține la maximum în diluția 1/4 (2,5%).

Diluția 1/2 nu dă efect stimulator, este indiferentă, sau produce o foarte ușoară inhibare a creșterii.

*Extractul proaspăt* în concentrație maximă (10%) are o acțiune stimulatoare mai accentuată decât a extractului conservat de aceeași concentrație (10%), dar scăzută față de acțiunea extractului conservat în diluția 1/4.

Diluția 1/2 provoacă o inhibare a creșterii. Diluția 1/4 are efect stimulator, care este mai slab decât cel al concentrației 10% și mult mai slab decât efectul obținut cu diluția 1/4 a extractului conservat.

Interpretăm procesul de inhibare obținut în diluțiile 1/2 (5%) în sensul că, în extract ar exista încă din factorul (sau factorii) stimulatori, și un factor (factori) inhibitor lucrând în concentrații diferite, sau existând în concentrații diferite. Diluția ar produce un decalaj, fie în sensul concentrației lor necesare pentru a produce efectul, în cazul cind concentrațiiile celor doi factori ar fi egale, fie în sensul măririi diferenței de concentrație a celor doi factori în cazul în care ei ar exista în concentrații diferite, ceea ce ar explica efectele diferite constatate.

Tabloul nr. 4 reprezintă rezultatele obținute din experiențele făcute pe fasolea Ialomita, luate în condițiile experiențelor din tabloul nr. 3 cu singurele variante în durata de acțiune a extractelor, 3 zile în loc de 5 zile, deci fiecare lot primește o cantitate totală de 30 cm<sup>3</sup> extract și introducerea soluției nutritive Knopp în locul apei.

Soluțiile martorilor și diluțiile au fost făcute cu soluție nutritivă Knopp pentru a înălța ipoteza acțiunii extractului placental printr-un aport nutritiv ce ar completa proviziile de hrana ale cotledoanelor.

Rezultatele arată că acțiunea extractelor într-o durată de 3 zile dă efecte cu sens asemănător acelor care au acționat asupra plantelor timp de 5 zile.

Soluția nutritivă Knopp provoacă o sensibilitate mai accentuată a plantei la acțiunea extractelor, efectul stimulator al diluției 1/4 de extract conservat, plus soluție Knopp, este mai puternic decât efectul stimulator al diluției 1/4 de extract conservat fără soluție Knopp, iar efectul inhibitor al extractului proaspăt, diluat cu soluție Knopp, fiind mult mai accentuat decât cel fără soluție Knopp.

În tabloul nr. 5 sunt prezentate efectele obținute de concentrații diferite ale extractelor proaspete și conservate asupra măzărei Victoria Strübe într-o acțiune de scurtă durată a extractului (4 zile) și o acțiune prelungită (7 zile).

După o perioadă de 4 zile de influențare, efectul extractului conservat este stimulator mai accentuat în concentrația 10% decât în concentrația 2,5%. Diluția 1/2 (concentrația 5%) nu are un efect constabil.

Extractul proaspăt este puternic inhibitor, efectul lui scăzând proporțional cu diluția.

Sub influența unei acțiuni prelungite, procesul creșterii este oprit pentru concentrațiiile de 10% și 5%, atât de către extractul conservat, cât și de cel proaspăt, inhibiția fiind mai accentuată la extractul proaspăt.

Din aceste constatări rezultă că extractele de placenta luate după tehnica Filatov au o influență puternică și complexă asupra creșterii plantelor, din cauza conținutului lor într-o varietate de factori activi, puși în evidență

prin procesul de conservare și prin utilizarea diluțiilor diferite de extracte preparate diferit (din țesut proaspăt și țesut conservat).

#### CONCLUZII

Experiențele noastre demonstrează acțiunea biologică a extractului placental și confirmă cercetările școlii Acad. V. P. Filatov, afirmând justificația metodei de conservare în stare subletală a țesuturilor, metodă ce duce la formarea stimulilor biogeni.

În privința metodei de extragere a stimulilor din țesutul conservat am obținut rezultate superioare cu extractul alcoolic, în activarea respirației plantelor.

În condiții identice, de preparare a extractului, de concentrație, cantitate și durată de acțiune, specii diferite de plante prezintă sensibilități diferite, diferență existând numai în intensitatea răspunsului biologic al acestora față de cantitățile și concentrațiile asemănătoare ale extractului.

Extractul de țesut conservat în concentrație mare este slab stimulator și puternic stimulator în diluții mari. Concentrații maxime ale extractului sau sub o acțiune de durată lungă, inhibă procesul biologic urmărit.

Extractul de țesut proaspăt în concentrații mari are acțiune inhibitoare asupra germinării plantelor, iar în diluții mari este indiferent sau foarte ușor stimulator.

Concentrația stimulilor și durata lor de acțiune sunt factori principali în activarea proceselor biologice urmărite. Pentru condițiile în care s-a lăsat, diluții mari (2,5%) sunt cele mai favorabile, într-o acțiune de durată mijlocie, pînă la 7 zile.

#### ВЛИЯНИЕ ЭКСТРАКТОВ ПЛАЦЕНТЫ НА ДЫХАНИЕ И ПРОРАСТАНИЕ СЕМЯН ФАСОЛИ (КРАТКОЕ СОДЕРЖАНИЕ)

Было прослежено влияние экстрактов плаценты на дыхание и рост надсемядольного колена проросших семян фасоли Яломица и гороха Виктория Стрюбе, приготовленного по методу Филатова.

Дыхание измерялось по методу Бойсена-Желсена, а прорастание — планиметрическим методом.

Действие консервированного экстракта измерялось сравнительно с свежим, и было исследовано влияние различных концентраций, действующих в течение разных периодов времени.

Экстракты плаценты активировали изученные биологические процессы, причем консервированный экстракт плаценты был более активен, чем экстракт свежей плаценты. Полученные результаты подтверждают данные школы академика В. П. Филатова.

В токсикологических условиях — приготовления экстракта, его концентрации, количества и длительности действия — разные виды растворений выявляют различную чувствительность; различие существует лишь в интенсивности их биологического ответа в отношении схожих количеств и концентраций экстракта.

Концентрация стимулов и длительность их действия являются главными факторами в активации прослеженных биологических процессов. В условиях, в которых проводились исследования, сильные разведения (2,5%) были наиболее благоприятными при среднем периоде действия до 7 дней.

### L'INFLUENCE DES EXTRAITS DE PLACENTA SUR LA RESPIRATION ET LA GERMINATION DES GRAINES DE HARICOT

#### (RÉSUMÉ)

On a étudié l'effet que l'extrait de placenta, préparé selon la méthode de Filatov, produit sur la respiration et sur le développement de l'épicotylédon des graines de haricot *Ialomița* et de petits pois *Victoria Strübe*.

La respiration a été mesurée selon la méthode de Boysen-Jelsen et la germination, par planimétrie.

L'action de l'extrait conservé a été comparée à celle de l'extrait frais et on a contrôlé les effets de l'extrait à diverses concentrations, agissant pendant différents laps de temps.

Les extraits de placenta activent les processus biologiques que l'on a poursuivis. L'extrait conservé est plus actif que l'extrait fraîchement préparé. Ces résultats confirment ceux des chercheurs de l'école de l'académicien Filatov.

Pour des conditions identiques, de préparation, concentration, quantité et durée de l'action de l'extrait, les plantes de différentes espèces accusent des sensibilités différentes. La différence ne consiste qu'en l'intensité de la réponse biologique des plantes à des quantités et concentrations d'extrait, similaires.

La concentration des *stimuli* et la durée de leur action constituent des facteurs principaux de l'activation des processus biologiques que l'on a étudiés.

Dans les conditions de ces expériences, l'action la plus favorable est celle des fortes dilutions (2,5%) agissant, en moyenne, pendant 7 jours.

#### BIBLIOGRAFIE

1. Blagovescenski A. V., Biohimiceskie osnovi evoljucionovo protessa u rastenij. Izd. Akad. Nauk SSSR, 1950.
2. Cikalo I. I., Izv. Akad. Nauk SSSR., 1950, nr. 4.
3. Filatov V. P., Hirurgija, 1949, nr. 7.
4. Filatov V. P. i Biber V. A., Dokladi Akad. Nauk SSSR, 1948.
5. Filatov V. P., Izv. Akad. Nauk SSSR, 1951, nr. 6.
6. Kalinin F. L., Ustimenko E. S. și Okanenko A. S., Dokladi Akad. Nauk SSSR, 1951, nr. 1.
7. Kokuev V. I., Izv. Akad. Nauk SSSR, 1945, nr. 6, p. 49.
8. Lemberg T. S., Bul. Exp. Biol., 1947, nr. 2.
9. Malakovski G. M. i Porutski G. V., Dokladi Akad. Nauk SSSR, 1951, nr. 6.
10. Sisoev A. i Skorodinskaja V., Med. Rabotnik, 1950, nr. 34.
11. — Vestnik Oftalmologhi, 1951, nr. 4.
12. Toscevičkava A. G., Izv. Akad. Nauk SSSR, 1948, nr. 3.

### TACHINIDE (DIPTERE) COLECTATE ÎN CÂMPIA OLTENIU IMPORTANTĂ LOR SISTEMATICĂ, ZOOGEOGRAFICĂ ȘI PRACTICĂ DE PETRU M. ȘUSTER

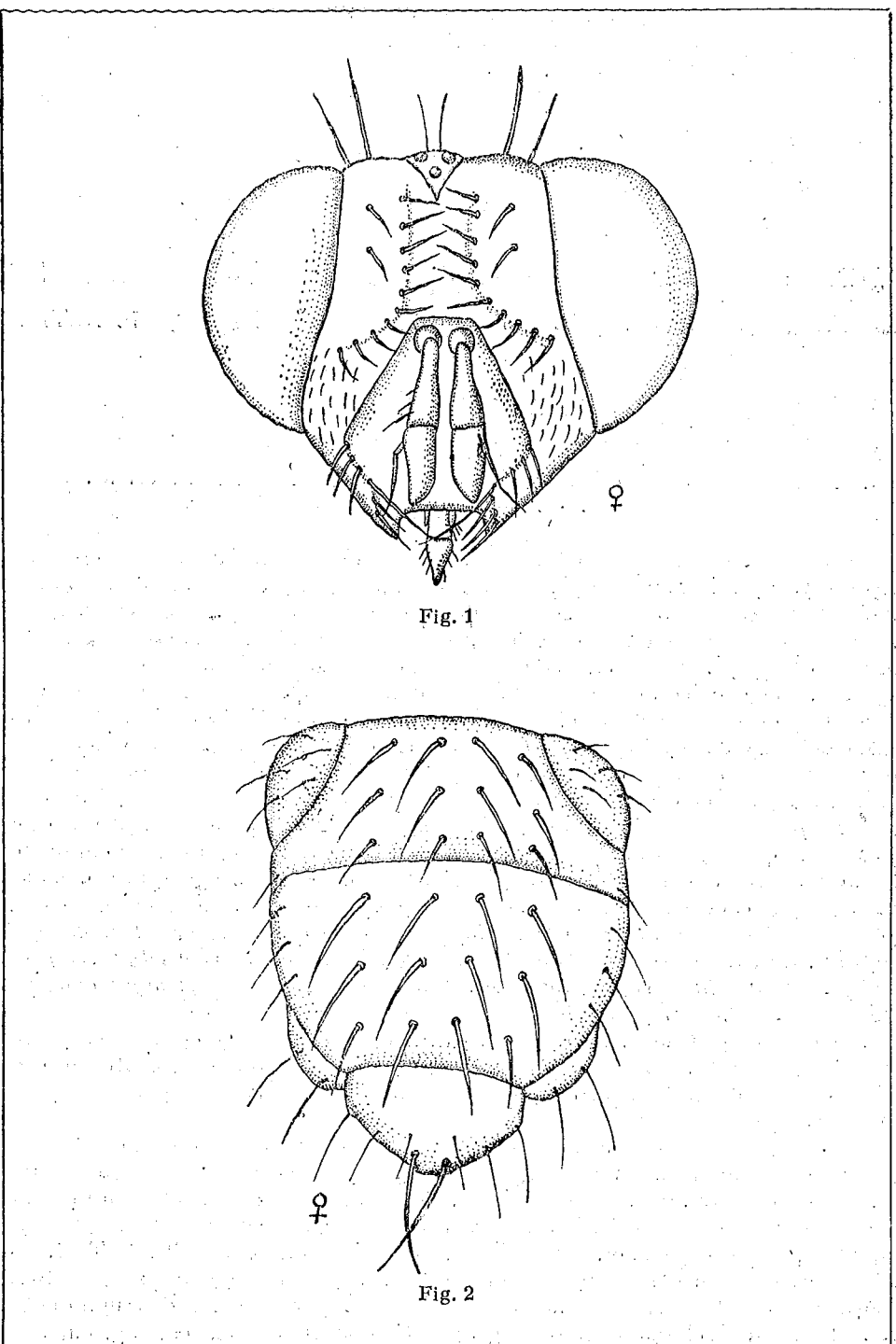
Comunicare prezentată de Gr. ELIESCU, membru corespondent al Academiei R.P.R., în ședința din 27 octombrie 1953

In anul 1950, începând dela 20 iunie și pînă la 2 iulie, am colectat Diptere (*Syrphidae*, *Anthomyidae* și *Tachinidae*) în Regiunea Craiova, comuna Căciulătești, cam la 50 Km sud-est de Craiova, în apropiere de Bechet, pe Dunăre. În această lucrare, dau spre publicare numai Tachinidele, rămînind ca *Syrphidele* și *Anthomyidele* să le public mai tîrziu.

Tachinidele colectate la Căciulătești prezintă importanță mare, atât din punct de vedere sistematic, cât și zoogeografic și practic. Considerind Tachinidele dela Căciulătești din punct de vedere sistematic, putem spune că ele sunt foarte variate, că am colectat exemplare disparate, dar din toate subfamiliile. Apoi am colectat o specie nouă: *Echinomyia minor* ♀ nov. sp. și un gen nou, *Doljia* nov. gen., cu specia *viridicauda* nov. sp. ♂ ♀. Reiese dar din cele spuse, marea importanță a Tachinidelor din această regiune. Tachinidele din această regiune mai prezintă și din punct de vedere zoogeografic o mare importanță, căci majoritatea speciilor aparțin subregiunii mediteraneene apusene, între care putem cita: *Cuphocera ruficornis* Macq., *Linnaemyia vulpina* Fall., *Gonia cognata* Rnd., *Loewia brevifrons* Rnd., *Chatolyla setigena* Rnd., *Phania vittata* Meig., *Stomatorrhina lunata* Fbr., *Chrysomyia albiceps* Wiedem., *Phormia regina* Meig.

Așa dar, în țara noastră, care din punct de vedere zoogeografic face parte din Europa centrală, mărginindu-se totuși și cu subregiunea mediteraneană avem și foarte multe specii tipic mediteraneene în această parte a țării (Oltenia).

Ordinea descrierii este următoarea: întîi dăm cîteva caractere morfologice, apoi dimensiunile, răspîndirea geografică în țară și în general, biotopul, gazdele ce le parazitează și dacă Tachinidul respectiv a fost întrebuită în mod practic în combaterea insectelor vătămătoare agriculturii. În ce privește importanța practică a Tachinidelor ea este îndeobște cunoscută. Toate Tachinidele pe care le-am descris din Regiunea Craiova, în această lucrare, au fost însoțite și de descrierea gazdelor pe care le parazitează, distrugîndu-le. Gazdele Tachinidelor sunt din toate grupele de Insecte vătămătoare agriculturii



și anume: *Orthoptere*, *Coleoptere*, omizi de fluturi, ploșnițe de cîmp, care ne produc pagube incalculabile în agricultură. Tachinidele distrugînd prin parazitismul lor larvar acești dăunători, ne sînt nouă insecte foarte folositoare; din acest punct de vedere practic, importanța lor este nemăsurată.

### 1. *Echinomyia fera* L. ♂ ♀

Printre numeroasele exemplare colectate ♂♂ și ♀♀ cu dimensiuni variabile (între 10–14 mm), am constatat că ♂♂ sunt mai mici decît ♀♀ aceleiași specii din alte regiuni ale țării. Specia este răspîndită în toată țara, apoi în Europa centrală și mediteraneană, precum și în U.R.S.S. Specia se poate colecta pe Umbelifere și în locuri expuse la soare. Parazitează următoarele gazde: *Lymantria dispar* L., *L. monacha* L., *Agrotis glareosa* Esp., *Arctia aulica* L.

In Crimeea (U.R.S.S.) se întrebunează în mod practic în combaterea omizilor fluturelui *Lymantria dispar* L.

### 2. *Echinomyia praeceps* Meig. ♀

Se deosebește de specia precedentă prin caracteristicile următoare: picioarele de culoare mai închisă, iar antenele sunt negre, aproape în întregime. De asemenea dimensiunile sunt mai mici, abia de 9 mm.

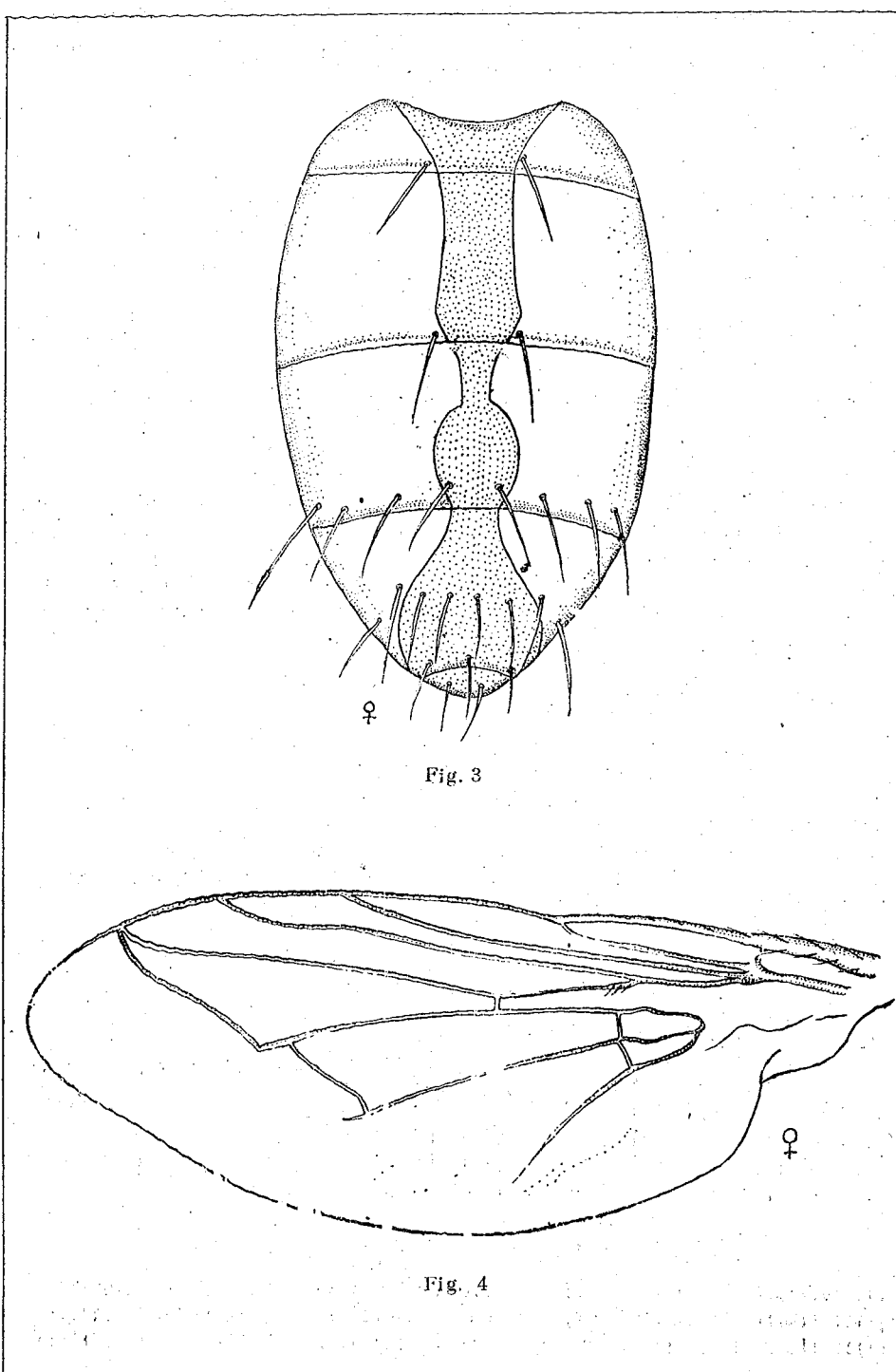
Este răspîndită în special în sudul țării (Reg. Craiova, Ploiești, Constanța, Iași). Este o specie tipică Europei sudice. Am prins-o pe *Daucus carota*, ea parazitează omizi de *Euproctis chrysorrhoea* L. avînd importanță din acest punct de vedere.

### 3. *Echinomyia minor* n. sp. ♀

Această specie nouă pentru știință este de dimensiuni foarte reduse în comparație cu *Echinomyia fera* L., măsurînd numai 6 mm lungime. Banda frontală mediană și orbitele sunt foarte lățite, în total de două ori mai largi decât diametrul ochiului (fig. 1).

Din dreptul inserției antenelor se coboară pe obrajii patru peri frontală. Obrajii sunt largi și presărăți cu peri foarte des și groși. Antenele sunt formate din trei articole, al doilea de culoare galbenă este ceva mai lung decît al treilea, care are formă de secure și este colorat în negru-castaniu. Seta este glabră, formată din trei articole, din care al doilea este de două ori mai lung decît primul. Ochii sunt mici și glabri, trompa foarte scurtă, palpii filiformi, puțin măciucăți la extremitate. Toracele este colorat în negru și poartă trei peri, acrostihali postsuturali. Scutul este complet colorat în roșu și prezintă perii apicali încrucișați la extremitatea lor (fig. 2). Abdomenul, de culoare roșie, are o bandă caracteristică de culoare neagră și apoi segmentele 1 și 2 au cîte o pereche de peri marginali, iar segmentele 3 și 4 au cîte o coroană de peri marginali (fig. 3). Aripile sunt transparente, jumătatea anterioară colorată în galben, părul marginal lipsește (fig. 4).

Coxele și trochanterele la cele trei perechi de picioare sunt colorate în negru. Am colectat din această specie un singur exemplar ♀ în pădurea Sadova (Reg. Craiova), pe flori de Umbelifere, în ziua de 30 iunie 1950, o zi însorită și foarte călduroasă. Această specie nouă se deosebește de *Echinomyia fera* L., prin mai multe caractere, ce se pot vedea din următoarea cheie:



- 1 (2) Obrajii sunt înguști și acoperiți cu peri galbeni: specie de talie mare  
..... *Echinomyia fera* L.  
2 (1) Obrajii sunt largi și acoperiți cu peri groși negri; specie de talie mică  
..... *Echinomyia minor* nov. sp.

#### 4. *Peletieria ferina* Zett. ♂ ♀

Această specie prezintă abdomenul colorat în întregime în roșu și măsoară 12 mm. lungime. Ea este răspândită în toata țara și, din punct de vedere zoogeografic general, aparține Europei centrale. Parazitează pe *Lasiocampa trifolii* Esp. și *Arctia aulica* L.; în mod practic însă nu s-a întrebuințat în combaterea acestor dăunători.

#### 5. *Peletieria nigricornis* Meig. ♂ ♀

Exemplarele pe care le-am prins la Căciulătești, atât cele ♂♂ cât și cele ♀♀ erau bine dezvoltate, având lungimea de 13 mm. Se caracterizează prin abdomenul colorat în roșu-cărămiziu și prin îngustimea bandei dorsale mediane longitudinale negre. Specia este foarte frecventă în această regiune (Căciulătești, Craiova); am prins-o numai pe Labiate. Această specie este sinonimă cu *Tachina tessellata* Fbr. și cu *Echinomyia magnicornis* Zett. Specia este răspândită în toată țara noastră și în toată Europa. Ea parazitează omizi de *Papiliomachaon* L., de *Agrotis segetum* Schiff. și *Agrotis vestigialis* Rott. În sudul U.R.S.S. se întrebuințează în mod practic în combaterea omizilor de *Agrotis segetum* Schiff.

#### 6. *Cuphocera ruficornis* Macq. ♂

Am colectat un singur exemplar ♂ în această regiune, dar mai avem încă un ♂ prins la Balta-Doamnei (Reg. Ploiești) în anul 1927.

*Cuphocera* Macq. se apropie de genul *Peletieria* R. D., prin prezența celor doi peri de pe obraz, se deosebește însă prin reducerea palpiilor, prin forma caracteristică a articolului al treilea antenal, prin abdomenul în întregime negru, afară de ultimul segment complet roșu. Măsoară 10 mm lungime, se poate prinde pe Umbelifere și e răspândită în Europa meridională. Nu i se cunosc gazdele.

#### 7. *Linnaemyia vulpina* Fall. ♂ ♀

Această specie are infățișarea genului *Echinomyia* Dum., dar se deosebește prin aceea că are corpul mai alungit și prezintă peri marginali puternici.

Am colectat cîteva exemplare ♂♂ și ♀♀ pe flori de Umbelifere. Măsoară 12 mm lungime. Am mai prins-o și la Balta-Doamnei (Reg. Ploiești), în anul 1927. Este o specie tipică de subregiune mediteraneană. Ea are următoarele gazde: *Hyloicus pinastri* L., *Hadena porphyraea* Esp., *Agrotis strigula* Thbg. În mod practic nu s-a întrebuințat în combaterea acestor dăunători.

#### 8. *Linnaemyia haemorrhoidalis* Fall. ♂ ♀

Am colectat mai multe exemplare ♂♂ și ♀♀. Această specie are corpul în întregime colorat în negru-cenușiu, iar abdomenul oval; prin acstea caractere se deosebește mult de specia precedentă. Se poate prinde pînă toamna tîrziu

pe flori de Umbelifere. Măsoară 10 mm lungime și este răspândită în toată țara noastră și în întreaga Europă. Parazitează omizi de *Agrotis c. — nigrum* L., *Stilpnotia salicis* L. În mod practic n-a fost întrebuițată.

#### 9. *Winthemia quadripustulata* Fbr. ♂ ♀

Această specie se caracterizează prin ultimul segment abdominal colorat în roșu, iar la tibiile posterioare prezintă cîte un șir de peri, liniar.

Măsoară 9 mm lungime, este răspândită în toată țara noastră și nu numai în Europa, dar chiar și în America. Parazitează foarte multe gazde dintr-o Lepidoptere, și avind mai multe generații pe an, se înțelege marea importanță a acestei muște în combaterea diferențelor omizi. A fost întrebuițată în mod practic în America, în combaterea dăunătorilor.

#### 10. *Exorista glauca* Meig. ♂ ♀

Această specie prezintă palpii colorați în galben, scutelul este roșu la extremitate, iar perii discali sunt foarte puternici. Au fost colectate un exemplar ♂ și două ♀, la Căciulătești și mai înainte dela Cîrjoaia (Reg. Iași). Ea măsoară 9 mm lungime, se poate prinde pe Umbelifere. Ca răspândire geografică generală, ea aparține Europei centrale. În Italia s-a putut obține prin culturi din Tenthredinidul *Abia sericea* L. și din omizile: *Acronictapsi* L., *A. tridens* Schiff., *Dasyphira pudibunda* L., *Parasemia plantaginis* L. și *Abraxas grossulariata* L. Se mai citează încă următoarele gazde: *Cimbex femorata* L. și *Pseudoclavellaria americana* L.

Reiese de aici ce importanță mare are acest Tachinid prin parazitismul lui întins.

#### 11. *Nemorilla floralis* Fall. ♀

Unii autori numără mai multe specii ca: *N. maculosa* Meig., *N. notabilis* Meig., dar s-a dovedit să fi numai sinonime, rămînd o singură specie bună: *N. floralis* Fall. Ea se caracterizează prin aceea că are primul segment abdominal roșu, iar al doilea și al treilea sunt cenușii și prezintă cîte o pereche de pete negre laterale. La Căciulătești (Reg. Craiova), am prins două exemplare ♀ pe flori de Umbelifere și care măsoară 8 mm lungime.

Este răspândit în toată țara noastră și în toată Europa.

Parazitează un mare număr de omizi de fluturi ca: *Mamestra persicariae* L., *Acalla ferrugana*, *Carpocapsa pomonella* L., *Psecadia bipunctella* T., *Euproctis chrysorrhoea* L., *Plusia festucae* L., *Sylepta ruralis* Scop., *Notocelia uddmanniana* L., *Tachypilia populella* Cl., *Hyponomeuta malinella* Z.

Am obținut-o prin culturi din omizile fluturelui *Phlyctaenodes (Loxostege) sticticalis* L., încă în anul 1929, având la noi importanță în combaterea acestui fluture. N-a fost întrebuițată în mod practic în combaterea dăunătorilor.

#### 12. *Phryxe vulgaris* Fall. ♂ ♀

Această specie are antenele lungi, palpii sunt negri, scutelul roșu la extremitate, iar în ce privește perii apicali ai scutelului, ei sunt îndreptați în sus.

E una din cele mai răspîndite și polifage specii, avînd 63 de gazde. Ea măsoară 7 mm lungime.

Această specie este foarte răspîndită în luna august pe Umbelifere, iar unii autori amintesc că ar fi prins-o chiar pe la 15 noiembrie.

O găsim la noi în toată țara și este răspîndită în toată Europa. Din gazde mici cum ar fi *Theprochystia*, se obține o singură mușcă, din gazde ceva mai mari, ca *Dryobota*, se obțin patru muște, iar din gazde mari se pot obține pînă la 18 muște. Prezintă două generații pe an. Pseudopupele se găsesc în pămînt. Iernează sub formă de pseudopupă, sau larvă. În generația întâia, parazitează omizi de *Cheimatobia* și *Hybernia*, în generația a doua parazitează omizi de *Orgyia antiqua*. Parazitează omizi de Micro- și Macro-lepidoptere și un singur Tenthredinid, *Lophyrus pini*. Deși parazitează un mare număr de omizi (63 de gazde), totuși n-are importanță în combaterea omizilor, deoarece nu se pot înmulții mult, pentru că joacă un rol în combaterea insectelor fitofage.

#### 13. *Ptychomyia selecta* Meig. ♂ ♀

Această specie are vibrisele ridicate pînă deasupra punctului de inserție a antenelor; n-are peri apicali la extremitatea scutelului, iar perii discali se găsesc numai la ♀. Ea măsoară 7 mm lungime; la noi este răspîndită în Moldova și Oltenia, iar din punct de vedere zoogeografic general, face parte din Europa centrală. Are cel puțin două generații pe an și parazitează de preferință omizi de: *Hyponomeuta evonymella* Z., pe care le atacă în lunile mai și iunie.

Intr-o singură omidă se pot găsi pînă la 23 de ouă, dar numai o singură larvă ajunge la maturitate. Stadiul de pseudopupă durează două săptămîni. Parazitează un mare număr de omizi de fluturi și foarte multe omizi de Tenthredinide. Rezultă de aici marea importanță pe care o are această mușcă în combaterea insectelor vătămoare; practic însă nu a fost întrebuițată.

#### 14. *Compsilura concinnata* Meig. ♂ ♀

Femeala acestei specii se caracterizează prin spinul de depus ouăle în interiorul omizilor și prin abdomenul, pe partea ventrală, în formă de ferăstrău. Se poate prinde pe Umbelifere, măsoară 9 mm lungime și este răspîndită în toată țara, în Europa și în America. Este cea mai polifagă specie cunoscută, avînd 67 de gazde și are trei generații pe an. Introdusă în America, ea a atacat imediat 33 de gazde noi, infectîndu-le pe unele pînă la 86 %. Astfel a căzut presupunerea că înăuntrul speciei ar exista foarte multe rase și că fiecare rasă ar ataca gazda sa specifică. În acest caz, am avea în loc de polifagie, o specificitate parazitară. S-a dovedit dar că la *Compsilura* este o polifagie indisputabilă. Pseudopupa se formează de obicei în pămînt, dar cîteodată și în țesătura omizilor de *Euproctis chrysorrhoea* L., în total s-au putut obține prin culturi din peste 60 de omizi de Micro- și Macro-lepidoptere și din următoarele Tenthredinide: *Cimbex quadrimaculata* Müll, var. *humeralis* Geoffr., *Trichocampus vininalis* Fal.

Am prins multe exemplare ♂ și ♀ în Regiunea Craiova; ele au mare importanță în combaterea insectelor dăunătoare în agricultură. În America s-a întrebuițat practic în combaterea omizilor de *Lymantria dispar* L.

15. *Meigenia floralis* Fall. ♂ ♀

Această specie prezintă primul segment abdominal colorat în negru, iar al doilea este colorat în galben închis și poartă o pereche de pete negre. Am prins această specie la marginea pădurii Căciulătești (Reg. Craiova), pe flori de Umbelifere. Măsoară 8 mm lungime. La noi o găsim în Moldova și în Oltenia. Din punct de vedere zoogeografic general, ea face parte din Europa centrală. Ea are mai multe generații pe an, ceea ce se explică prin stadiile larvare și nimfale foarte scurte. Parazitează în special pe *Crioceris quator decempunctata* Scop., având mare importanță în combaterea lăcustei *Stenobothrus parallelus* Zett.

16. *Tachina larvarum* L. ♂ ♀

Spre deosebire de *Tachina fallax* Meig., care are ultimul segment abdominal roșu, această specie are abdomenul în întregime colorat în cenușiu deschis. Este cea mai importantă specie a acestui gen. Ea apare pe la sfîrșitul lunii aprilie și se poate prinde pe Umbelifere pînă la sfîrșitul lui octombrie. *Tachina larvarum* măsoară 12 mm lungime. Este răspîndită în toată țara noastră ca și în toată Europa și în America. Ea are două generații pe an și parazitează 15 specii de fluturi și două Tenthredinide și anume: *Lophyrus pini* L. și *Acantholyda pinivora* Ensl. Nielsen a găsit 22 de ouă ale acestei specii pe o larvă de *Zygaena*, deși în această larvă nu se pot dezvolta decit 4 muște. De asemenea, din 150 de astfel de omizi, care purtau 767 de ouă pe ele, s-au dezvoltat 144 Tachinide; deci în toate cazurile se dezvoltă 1/5 din totalul ouălor depuse.

Unele gazde purtau 16 ouă, dar ajungea să se dezvolte numai o singură muscă.

In America a fost întrebuită în mod practic în combaterea dăunătorilor agriculturii.

17. *Tachina rustica* Meig. ♂ ♀

La această specie, orbitele și obrajii sunt colorați în galben-auriu, iar toracele și scutelul sunt colorați în negru; unele exemplare poartă peri discali, iar altele nu. Abdomenul este colorat în roșu pe părțile lui laterale. Specia măsoară 10 mm lungime și se poate prinde pe Umbelifere. Este răspîndită în toată țara și în Europa. Parazitează omizi de: *Vanessa polychloros* L., *Stilpnolia salicis* L., *Malacosoma neustria* L., *Lasiocampa quercus* L., precum și Tenthredinide; *Tenthredella flavicornis* F., *Tenthredopsis coqueberti* Kl., *Rhogogaster viridis* L., *Tenthredo arcuata* Forst.

In mod practic nu a fost întrebuită în combaterea dăunătorilor.

18. *Brachychaeta strigata* Meig. ♂ ♀

Această specie se caracterizează prin aceea că prezintă antene lungi, iar obrajii sunt largi și argintii. La noi este o specie rară și avem în colecție numai trei exemplare, două ♀ și un ♂ prinse la Căciulătești pe flori de Umbelifere: măsoară 8 mm lungime și este răspîndită în Europa centrală. Gazdele nu i se cunosc.

19. *Gonia capitata* Deg. ♂ ♀

Această specie se apropie prin înfățișarea ei de genul *Echinomyia* Dum. Ea măsoară 12 mm lungime. Este o specie destul de răspîndită la Căciulătești, unde am prins mai multe exemplare ♂ și ♀ pe flori de Umbelifere și alte plante. Ea este răspîndită în toată regiunea holartică.

In Uniunea Sovietică ea este un important parazit al lui *Agrotis segetum* Schiff. și servește la combaterea acestui fluture dăunător. Parazitează omizi care trăiesc în pămînt, ca de exemplu: *Laphygma frugiperda*, *Hadena devastatrix* și *Peridroma saucia* Hueb. Are mare importanță în combaterea acestor omizi. Practic nu a fost întrebuită.

20. *Gonia cognata* Rond. ♂

Masculul se distinge prin prezența perilor orbitali ca și prin obrajii presărați cu peri scurți; măsoară 10 mm lungime. La Căciulătești am prins mai multe exemplare ♂ pe flori de Umbelifere. De asemenea, am mai multe exemplare din această specie, prinse la Balta Doamnei (Reg. Ploiești), în anul 1927. Este o specie tipic mediteraneană; gazdele nu i se cunosc.

21. *Voria ruralis* Fall. ♀

Specia se caracterizează printr-un sir de peri (pînă la 4) care se găsesc situați pe obraz în continuarea celor de pe frunte. Palpii sunt negrii cu extremitățile galbene. Ea măsoară 9 mm lungime și se poate prinde ușor cu fileul prin iarba, ca la coasă. Este răspîndită în toată țara noastră și în Europa centrală. Ea parazitează omizi de *Plusia gamma* L., de *P. chrysitis* L. și de *P. iota* L. A mai fost obținută din omizi de *Pyrameis atlantica* L., *Arctia hebe* L., *Mamestra brassicae* L., și din omizile false de *Lophyrus pini* L. Este un parazit specific pentru *Plusia gamma* L., într-o singură omidă se dezvoltă șase larve. In mod practic nu a fost întrebuită în combaterea dăunătorilor.

22. *Voria trepida* Meig. ♂

Această specie se asemănă cu specia precedentă și se poate prinde în același fel. Ea măsoară 9 mm lungime și este răspîndită în toată țara și în Europa centrală. A fost obținută prin culturi din *Apopestes spectrum* Esp., *Epineuria popularis*, *Anarta myrtilli* L., de asemenea din *Mamestra persicariae* L. și *Lophyrus pini* L. In mod practic nu a fost întrebuită în combaterea dăunătorilor.

23. *Buceentes cristatus* Fbr. ♂

Această specie este lipsită de macrochete pe abdomen; ea măsoară 7 mm lungime și se poate prinde ușor pe *Achillea millefolium*. Este răspîndită în toată țara noastră și în toată Europa. Parazitează omizi de: *Mamestra pisi* L., *Plusia gamma* L., *Pyrausta aurata* Scop., *Thaumetopoea pityocampa* Schiff. Parazitează și larvele Dipterului *Tipula maxima* Scop. Larvele acestui Dipter

trăiesc în apă pe sub pietre și sunt infectate de *Bucentes*, atunci cînd ies la suprafață apele să respire. Mai parazitează și omizi de *Agrotis segetum* Schiff.

In mod practic nu a fost întrebuită în combaterea dăunătorilor din agricultură.

#### 24. *Actia pilipennis* Fall. ♂ ♀

Această specie se caracterizează prin aceea că are ramura principală a primei nervuri longitudinale cu peri numai pe partea superioară. Al treilea articol antenal este lat și colorat în roșu-galben. Ea măsoară 6 mm lungime; se poate prinde pe Umbelifere și e răspîndită în toată țara noastră ca și în toată Europa.

Prezintă două generații pe an, din care prima parazitează pe *Evetria resinella* L., iar a doua pe *E. buoliana* Schiff. A mai fost obținută din următoarele gazde: *Dioryctria abietella* F. și *D. splenditella*; apoi din *Olethrelentes schulziana* F., *Aenophthira pilleriana* Schiff., *Torthrix viridana* L., *Drepanosaria costosa* En., *Hyponomeuta evonymella* L. În mod practic nu a fost întrebuită pentru combaterea dăunătorilor.

#### 25. *Thelaira nigripes* Fbr. ♂ ♀

Masculul se deosebește de femelă prin abdomenul galben cu o bandă dorsală longitudinală neagră, iar femela este neagră în întregime. Măsoară 10 mm lungime și se poate prinde pe trunchiurile copacilor. La noi este răspîndită în Oltenia și în Moldova și, din punct de vedere zoogeografic general, se poate considera ca o specie tipică din Europa centrală. Parazitează următoarele omizi de fluturi: *Arctia caja* L., *Cucullia scrophulariae* Esp., *Dianthoea caupsineola* Hb., *Macrothylacia rubi* L., *Metopsilus porcellus* L., *Anogyna corsicum* Ramb., *Phragmatobia fuliginosa* L., *Smerinthus populi* L., *Spilosoma lubricipeda* L.

In mod practic nu a fost întrebuită în combaterea dăunătorilor din agricultură.

#### 26. *Pelatachina tibialis* Fall. ♂

Această specie se distinge ușor prin tibiile de culoare galbenă și prin prima celulă posterioară, închisă. Măsoară 10 mm lungime și am prins-o la Căciulătești pe *Prunus spinosa*. La noi este răspîndită în Oltenia și în Moldova, iar din punct de vedere zoogeografic general aparține Europei centrale. Parazitează în primul rînd omizile genului *Vanessa*: *V. uriticae* L., *V. io* L., *V. polychloros* L., apoi omizi de *Thaumetopoea pityocampa* Schiff., *Phlogophora scita* Eb., *Mamestra oleracea* L., *Sesia tipuliformis* Cl., *Saperda populnea* L. Acest tachinid nu a fost întrebuită în mod practic în combaterea dăunătorilor.

#### 27. *Loewia brevifrons* Rnd. ♀

Acest Tachinid se caracterizează prin prima celulă posterioară închisă și prin prezența a trei peri acrostihali presuturali. Măsoară 10 mm lungime. Specia este răspîndită în Oltenia și în Moldova, iar din punct de vedere zoogeografic general aparține subregiunii mediteraneene. Nu se cunosc gazdele acestui Tachinid.

#### 28. *Chaetolya setigena* Rnd. ♂ ♀

Această specie se caracterizează prin prezența a patru peri acrostihali postsuturali, și prin dispoziția 2 : 2 a perilor st. Prima celulă posterioară este aproape închisă; ea măsoară 6 mm lungime.

La noi în țară, specia este răspîndită în Oltenia și Moldova, iar din punct de vedere zoogeografic general, aparține subregiunii mediteraneene. S-a obținut prin culturi din: *Eurranthis pennigeraria* var. *chrysitaria* H. G.

Practic, nu a fost întrebuită în combaterea acestor dăunătoare.

#### 29. *Leskia aurea* Fall. ♂ ♀

Această specie e colorată în galben auriu în întregime, de aceea este ușor de recunoscut și de colectat. Ea măsoară 8 mm lungime și am prins-o pe Umbelifere. Este răspîndită în toată țara noastră și în toată Europa.

S-a obținut prin culturi din: *Sciateron tabaniformis* Rott., *Sesia scoliaeformis* Rkh., *S. conopiformis* Esp., *S. vespiformis* L., *S. formicaeformis* Esp. și *S. ichneumoniformis* F., ca și din *Evetria buoliana* Schiff. Practic nu a fost întrebuită în combaterea dăunătorilor.

#### 30. *Ocyptera brassicaria* Fbr. ♂

Este cea mai mare și mai răspîndită specie a acestui gen. Este caracteristic abdomenul de formă cilindrică și colorat în roșu-cărămiziu; măsoară 13 mm lungime și se poate prinde ușor pe flori de *Achillaea*. Este răspîndit în toată țara și în toată Europa. Parazitează ploșnițele de cîmp: *Dolycoris baccarum* P. Nimfoza are loc în pămînt. Nu are întrebuitare practică.

#### 31. *Ocyptera pilipes* Lw. ♂

Se caracterizează prin primele două segmente abdominale colorate în roșu, iar ultimele două colorate în negru. Măsoară 11 mm lungime și se poate prinde pe Umbelifere. Este răspîndită la noi în Oltenia și în Moldova. Din punct de vedere zoogeografic general, face parte din subregiunea mediteraneană. Este un parazit al mai multor ploșnițe de cîmp. Nu are întrebuitare practică.

#### 32. *Billaea irrorata* Meig. ♂

Masculul acestei specii se caracterizează printr-un sir de peri marginali pe primul segment abdominal. Măsoară 8 mm lungime și se poate prinde ușor pe Umbelifere. Este o specie răspîndită în Oltenia, dar mai ales în Moldova. Din punct de vedere zoogeografic general, specia aparține Europei centrale. Este un parazit caracteristic al lui *Saperda populnea* P. Larvele de *Saperda* se dezvoltă timp de doi ani. În culturi, *Billaea irrorata* Meig. își ia sborul odată cu *Saperda populnea* P. Ar urma deci, ca și Tachinidul acesta să aibă o dezvoltare de doi ani. Dar în natură *Billaea irrorata* Meig. se poate colecta în fiecare an, deci și în anul cînd *Saperda populnea* P. nu apare, și așa se presupune că larva de *Saperda* servește drept gazdă de două ori (doi ani conse-

cutivi), în aşa fel că primul an, *Billaea* se dezvoltă mai repede și apare mai numeroasă și mai devreme în luna Mai, în anii neperechi (când *Saperda* nu apare), iar în anii perechi (când *Saperda* apare), *Billaea* apare mai rar și mai tîrziu, prin luna iulie, odată cu *Saperda*. Această muscă are importanță în combaterea omizilor de *Saperda populnea* P., dar în mod practic nu a fost întrebuită.

### 33. *Dexia rustica* Fbr. ♂ ♀

Această specie poate fi ușor deosebită de celelalte prin picioarele ei lungi și prin abdomenul colorat în galben deschis și cu o bandă mediană longitudinală neagră. Ea măsoară 12 mm lungime și se poate prinde ușor pe Umbelifere și pe frunze de arbuști. Este răspîndită în toată țara și în toată Europa. Este un parazit caracteristic al larvelor de *Melolontha melolontha* L., cărăbușul de mai, și de *Amphimallus solstitialis* L. Această muscă depune cel puțin 275 de ouă în pămînt, iar larvele care ies imediat din ou își caută gazda (larvele de cărăbuș) și pătrund în ele prin stigme.

Larvele parazitate sunt în vîrstă de 2 și 3 ani. Am obținut mai multe exemplare din această specie din larvele de cărăbuș în vîrstă de 3 ani. Această muscă are deci o mare importanță în combaterea larvelor de cărăbuș, care sunt atât de dăunătoare agriculturii. În mod practic nu a fost întrebuită.

### 34. *Micropthalma disjuncta* Meig. ♀

Această specie are ochii foarte mici, deși dimensiunile corpului sunt de 14 mm. Specia este răspîndită în Oltenia și în Moldova, unde se poate prinde ușor pe frunze de stejar tineri, expuși la soare. Este răspîndită în toată Europa și în America de Nord. Parazitează larvele de *Melolontha hippocastani* P. și *Polyphylla fullo* L. În America parazitează larvele unui cărăbuș foarte apropiat de al nostru: *Lachnosterna arcuata* Smith. Ca și specia precedentă, are mare importanță în combaterea larvelor insectelor de neamul cărăbușului; practic însă, nu a fost întrebuită.

### 35. *Myiocera ferina* Fall. ♂ ♀

Se caracterizează ca și genul *Dexia* prin picioarele lungi, însă are corpul colorat în negru. Ea măsoară 12 mm lungime și e foarte frecventă pe Umbelifere. Este o specie răspîndită la noi în toată țara și în toată Europa. Parazitează larva de *Lucanide* (*Lucanus*, *Dorcus*). În mod practic, nu a fost întrebuită.

### 36. *Melanophora roralis* ♂ ♀

Această specie este răspîndită în Oltenia și în Moldova, unde am prins-o pe flori de *Daucus carota*. Din punct de vedere zoogeografic general, această specie aparține Europei centrale. Este un parazit specific al molilor de ziduri (*Oniscus murarius*). S-a mai putut obține prin culturi și din molia de făină *Asopia farinalis* N., și în acestă privință are importanță în combaterea acestei molii. Nu are importanță practică.

### 37. *Sarcophaga clathrata* Meig. ♂

Această specie are în general portul tipic de *Sarcophagide*, adică este colorată în cenușiu deschis. Ea măsoară 11 mm lungime și se poate prinde ușor pe frunze de *Rhamnus frangula*. Este răspîndită în toată țara și în Europa.

S-a obținut prin culturi din sacul cu ouă al paianjenului *Epeira cornuta* Koch. De asemenea, s-a observat că această specie parazitează și lăcustele *Acridium aegyptium* L., *Stauronotus maroccanus* Thum., și are mare importanță în combaterea acestor insecte, așa de dăunătoare agriculturii. În mod practic nu a fost întrebuită.

### 38. *Sarcophaga striata* F. ♂

Am colectat două exemplare ♂♂ într-un loc lipsit de vegetație, pe crengi uscate. Este o specie răspîndită în toată țara și în Europa centrală. Autorii ruși au obținut această specie prin culturi cu larve de *Oryctes nasicornis* L. Cultivînd larve de *Oryctes nasicornis* L. pentru studiul organului lui Johnston, pe care l-am pus în evidență pentru prima oară printr-o tehnică histologică specială, am obținut din întîmplare și *Sarcophaga striata* F. într-un exemplar ♂, ca parazit al acestor larve.

De asemenea, această muscă a mai fost obținută prin culturi din lăcusta *Stauronotus maroccanus* Thum. În mod practic nu a fost întrebuită.

### 39. *Sarcophaga albiceps* Meig. ♂

Și această specie a fost colectată tot în locuri lipsite de vegetație și expuse la soare, ca și specia precedentă. Ea măsoară 12 mm lungime și este răspîndită în toată țara și în Europa. Autorii ruși o dau ca parazit al următoarelor gazde: *Aporia crataegi* L., *Lymantria dispar* L., *Dendrolimus pini* L., *Melolontha melolontha* L., *Polyphylla fullo* L. Aceste gazde sunt citate de Vasiliev și Cholodkovski. Autorii apuseni mai citează următoarele gazde: *Oryctes nasicornis* L. și *Lymantria monacha* L. În cazuri rare, *Sarcophaga albiceps* Meig. poate parazita și larve de *Saperda populnea* F. În mod practic nu a fost întrebuită.

### 40. *Sarcophaga carnaria* Meig. ♂

Am prins un număr foarte mare de exemplare ♂♂ la Sadova, 5 km depărtare de Căciulătești. Măsoară 12 mm lungime.

Colectarea a avut loc într'un teren gunoios, în orele de dimineață; mai tîrziu au dispărut. Ni s-a sugerat ideea că ele s-au dezvoltat în aceste substanțe în putrezire; se dezvoltă de asemenea și în insecte moarte. Această specie s'a putut obține și ca parazit din *Lymantria dispar* L. și o lăcustă, *Saga serrata* F.

După ce am obținut larvele acestei muște pe carne, le-am mutat pentru dezvoltarea ulterioară pe morcov fierb, unde ele s-au dezvoltat foarte bine, dar nu s-au putut dezvolta pe morcov sau pe fructe crude. În mod practic nu a fost întrebuită.

**41. Agriella pandellei Villen. ♂**

Specia se caracterizează prin pete laterale pe abdomen, situate în partea anterioară a segmentelor; se deosebește însă prin perii preapicali ai scutelului, care sunt divergenți. Ea măsoară 8 mm lungime și se poate prinde ușor pe Umbelifere. Este răspândită la noi în toată țara și în toată Europa.

Gazdele nu i se cunosc.

**42. Gymnosoma rotundatum L. ♂ ♀**

Am prins cîteva exemplare ♂♂ și ♀♀ din această specie pe Umbelifere. Ea măsoară 5 mm lungime și o găsim la noi în țara și în toată Europa. Parazitează ploșnițe de cîmp ca: *Palomena prasina* L., *Chlorochroa juniperina* L., *Piezodorus lituratus* F., *Rhaphigaster nebulosa* Poda. Iși depune ouăle pe capul și toracele ploșnițelor de cîmp, iar larvele pătrund în interior prin partea intersegmentală. Este deci o muscă folositoare în combaterea ploșnițelor de cîmp.

In mod practic nu a fost întrebuințată.

**43. Cystogaster globosa Fbr. ♂**

Această specie se asemănă cu *Gymnosoma*, avînd abdomenul globulos, numă că este de talie foarte mică, măsurînd 3 mm lungime. Se poate prinde pe Umbelifere. Ea este răspândită în toată țara și în toată Europa. Parazitează ploșnițe de cîmp, ca de exemplu: *Aelia acuminata* L. Ouăle acestei specii se găsesc totdeauna pe partea membranoasă a abdomenului ploșnițelor de cîmp. Cind ploșnițele își ridică aripile pentru a sbrâna, *Cystogaster* Latr. își depune repede ouăle pe abdomenul ploșnițelor. Stadiul de pseudopupa are loc în pămînt. Prezintă două generații pe an. Este o specie folositoare distrugînd ploșnițele de cîmp, care prin înțepăturile lor ne slăbesc plantele de cultură.

In mod practic nu a fost întrebuințată.

**44. Weberia curvicauda Fall. ♂**

Specia măsoară 6 mm lungime și se poate prinde ușor pe flori de Umbelifere. La noi în țara o găsim în Moldova și în Oltenia; este răspândită în toată Europa.

Este o specie care parazitează Carabide, ca de exemplu speciile genului *Amara* care, deși fac parte din Carabide, totuși sunt dăunătoare, deoarece se hrănesc uneori cu plante. In mod practic nu a fost întrebuințată.

**45. Subelytia rotundiventris Fall. ♂**

Am prins două exemplare ♂♂ pe Umbelifere, care măsoară 4 mm lungime. Este răspândită în toată țara și aparține Europei centrale. Parazitează ploșnițe de cîmp și anume pe *Elasmostethus griseus*. Are două generații pe an. Nu are întrebuințare practică.

**46. Phania vittata Meig. ♂**

Specia se recunoaște ușor prin extremitatea abdomenului, recurbată ca și la *Weberia*; abdomenul este colorat în galben cu o bandă mediană longitudinală dorsală, de culoare neagră. Măsoară 6 mm lungime și se poate prinde foarte ușor pe *Daucus carota*, avînd un zbor foarte lent. E răspândită numai în Muntenia și Oltenia și aparține subregiunii mediteraneene.

Nu i se cunosc gazdele.

**47. Phasia crassipennis Fbr. ♂ ♀**

Specia se recunoaște prin culoarea roșu-cărămizie a abdomenului și prin culoarea brună a aripilor. Sexele au dimensiuni diferite: masculul măsoară 5 mm lungime, iar femela 9 mm lungime.

Se pot prinde ușor pe *Daucus carota*.

Specia este răspândită în toată țara și în toată regiunea palearctică. Are două generații pe an. Parazitează ploșnițe de cîmp ca: *Rhaphigaster nebulosa* Poda, *Dolycoris baccarum* L., *Carpocoris purpureipennis* (Vasiliev), *Aelia furcola* (Vasiliev), *Eurygaster integriceps* Put. Aceste ploșnițe sunt dăunătoare cerealelor în Transcaucasia. Pseudopupa se găsește în pămînt și stadiul de nimfovă durează 12 zile. Intreaga dezvoltare durează șase săptămâni. Nu are întrebuințare practică.

**48. Helomyia lateralis Meig. ♂**

Specia se distinge prin prima celulă marginală posterioară, care este închisă și prin prezența tufelor de peri albi pe părțile laterale ale toracelui. Ea măsoară 7 mm lungime și se poate prinde ușor pe flori de *Daucus carota*. Este răspândită în Oltenia, în Moldova și în toată Europa. Vasiliev a arătat că în Transcaucasia această specie parazitează ploșnițe de cîmp, ca de exemplu *Eurygaster integriceps* Put. și depune 93 de ouă. Stadiul de pseudopupa durează 8 zile și are două generații pe an din care una zboară chiar la începutul lunii aprilie, iar a doua în luna iulie. Nu are întrebuințare practică.

**49. Stomorrhina lunata Fbr. ♀**

Specia se caracterizează prin seta antenelor penată numai la partea superioară, cit și prin extremitatea gurii, care formează un fel de cioc. Abdomenul este colorat în roșu. Ea măsoară 8 mm lungime și se poate prinde ușor pe frunze de frasin. Are un zbor greoi, încît se poate prinde ușor cu mâna. Am prins-o numai în Regiunea Iași și în Regiunea Craiova: e specie tipic mediteraneană. Parazitează pe *Schistocerca tartarica* L. Practic, nu a fost întrebuințată în combaterea dăunătorilor.

**50. Lucilia sericata Meig. ♂**

Este o specie ubiquistă. Ea măsoară 8 mm lungime. Larva este saprofagă și carnivoră și infectează ocazional plăgile omului și ale animalelor. În țările calde, această specie se întâlnește împreună cu *Chrysomyia albiceps* în myasele provocate de larvele *Sarcophagidelor*.

In regiunile temperate, unde *Chrysomyia* aproape lipsește, larvele de *Lucilia sericata* se găsesc împreună cu acele de *Phormia regina* Meig.

51. *Chrysomyia albiceps* Wiedem. ♂<sup>1)</sup>

Această specie, care pînă acum n-a fost semnalată decît în Spania și Egipt, măsoară 8 mm lungime. Noi am prins-o atît la Căciulătești cît și în imprejurimile Iașului. Este o specie mediteraneană: am prins două exemplare ♂♂ pe flori de *Daucus carota*. Este o specie saprofagă.

52. *Phormia regina* Meig. ♂ ♀

La Căciulătești această specie era bine reprezentată. Am mai recoltat-o la Babadag (Reg. Constanța). Măsoară 8 mm lungime. Se caracterizează prin culoarea corpului, verde metalic pronunțată, aripile fiind de culoare brun-galbenă. Palpii și antenele sunt colorate în galben. Este o specie saprofagă și aparține subregiunii mediteraneene.

53. *Doljia viridicauda* nov. sp. ♂ ♀

Atât genul *Doljia* nov. gen. cît și specia *viridicauda* nov. sp. sunt noi pentru știință: caracterele generice sunt următoarele: culoarea corpului e verde și galbenă, fruntea la ♂ este aproape dispărută, iar la ♀, foarte largă. Ochii sunt glabri. Prezintă două perechi de peri a. postsuturali și patru perechi de peri dc. postsuturali. Perii apicali ai scutelului sunt încrucișați. Capul este galben, iar toracele verde. Aripile sunt transparente, pe jumătatea anterioară puțin galbene. Abdomenul este galben, iar extremitatea verde; este acoperită cu peri mai mărunți și prezintă macrochaete marginale și discale. Picioarele sunt colorate în galben, numai tarsele sunt negre.

Specia *Doljia viridicauda* nov. sp. prezintă următoarele caractere: la individul ♂, ochii sunt lipsiți de peri, sunt mari și aproape uniți pe o bună distanță încît fruntea a dispărut (fig. 5). Persistă numai triunghiul ocelar, cu cei trei oceli și cu perii verticali și ocelari. Obrajii sunt galbeni-aurii și lipsiți complet de peri. Fața este de asemenea goală și lipsește o proeminență. Antenele sunt de culoare galben-aurie, al treilea articol antenar e puțin mai lung decît al doilea. Seta este lungă, îngroșată la bază, efilată la extremitate și fin pubescentă, ceea ce se observă numai cu lupa. Trompa este lungă ca la *Musca domestica* L., și este colorată în negru, iar palpii sunt relativ scurți și măciucăți la extremitate, fiind colorați în galben. Toracele este în întregime de culoare verde-metalic și poartă două perechi de peri a. postsuturali și patru perechi de peri dc. postsuturali (fig. 6). Scutelul, de asemenea, este verde în întregime și poartă perii apicali încrucișați la extremitatea lor. Abdomenul se prezintă astfel: primele trei segmente sunt de culoare galben-aurie și sunt acoperite cu peri mărunți. Numai segmentele abdominale unul și doi prezintă cîte o coroană de macrochaete marginale mici, iar al treilea segment poartă o coroană de macrochaete mai mari. Al patrulea segment abdominal poartă șase macrochaete discale mari (fig. 7). Al patrulea segment însă e de culoare verde-metalic intensă, ca și scutelul și toracele, ceea ce ne-a determinat să numim această specie *viridicauda* nov. sp., iar prin faptul că am prins-o în Regiunea Craiova (fostă Dolj), am denumit acest gen nou «Doljia» nov. gen. Aripile sunt mari, pe jumătatea anterioară sunt galbene, iar în rest sunt transparente. Prima celulă posterioară este des-

<sup>1)</sup> Descrierea pe larg a acestei specii se găsește în Analele științifice ale Universității din Iași, t. XVIII, fasc. 3—4.

chisă, nervațiunea este dispusă ca la toate Calliphorinele în genere (fig. 8); acest gen nou este foarte apropiat de genul *Chrysomyia* R. D.

Picioarele sunt colorate în galben, afară de tarse, care sunt de culoare neagră. ♀ seamănă bine cu ♂ (fig. 9, fig. 10 și fig. 11), se distinge numai prin unele caractere sexuale secundare, caracteristice *Tachinidelor*, și anume: fruntea este foarte largă, odată și jumătate cît diametrul ochiului, și colorată în galben. Banda frontală mediană este largă și colorată mai mult în brun, iar orbitele sunt mari,

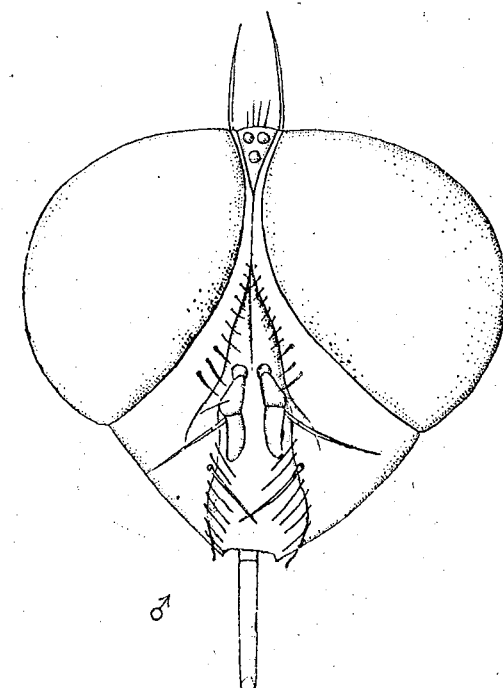


Fig. 5.

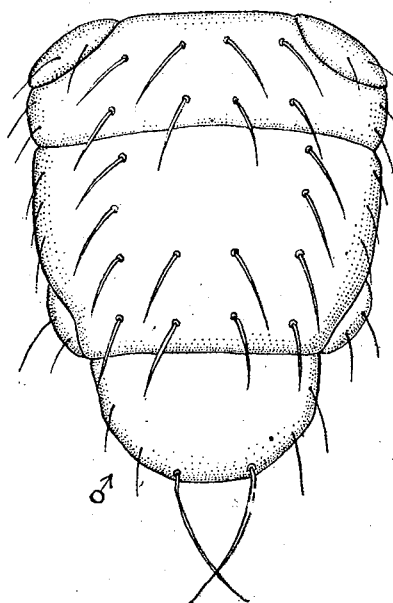


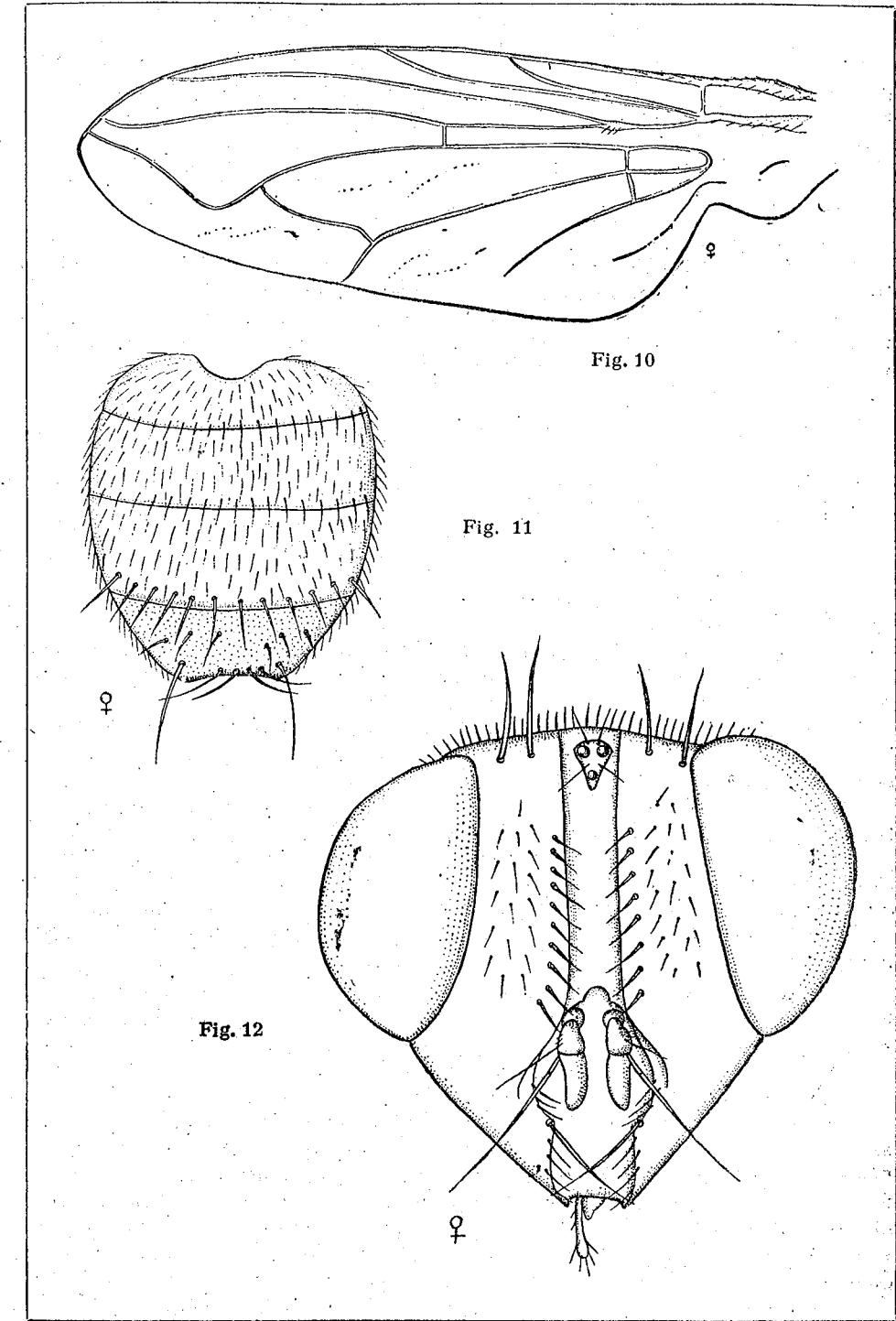
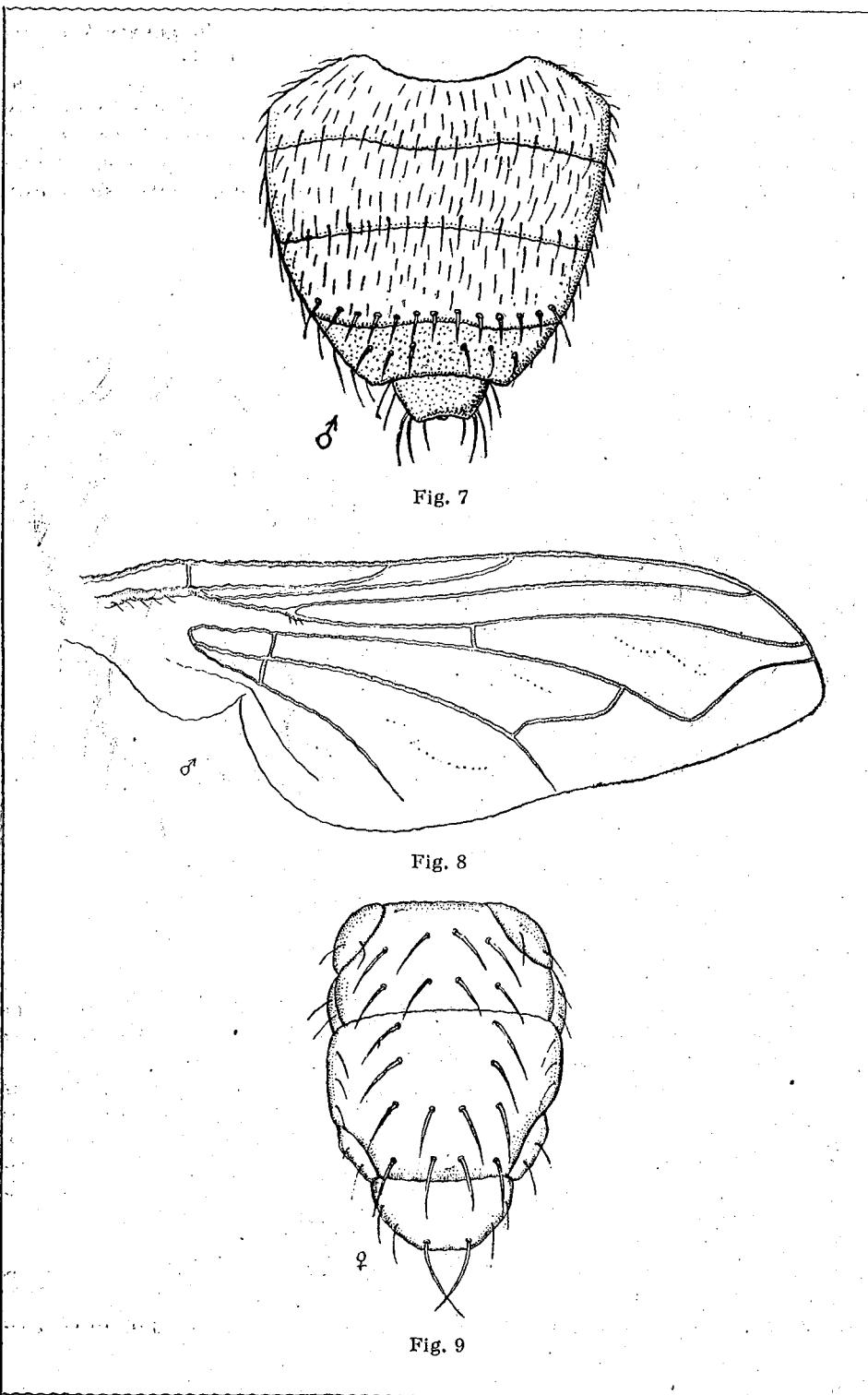
Fig. 6.

colorate în galben și presărate cu mai multe șiruri de peri mari, ca și cei de pe abdomen (fig. 12). Perii orbitali lipsesc, picioarele prezintă tarsele anterioare lățite. Lungimea atît la ♂♂ cît și la ♀♀ este de 10 mm.

In imediata vecinătate a satului Căciulătești, creșteau pîlcuri dese de *Marubium perigrinum* și numai pe această plantă am prins mai multe exemplare ♂♂ și ♀♀ din acest gen și nouă specie. In urmă, deși am căutat în acea regiune încă o săptămînă, n'am mai găsit niciun exemplar din această specie. Dăm următoarea cheie dicotomică prin care se poate deosebi genul *Doljia* nov. gen. de genul *Chrysomyia* R. D. cu care se învecinează:

1 (2) Obrajii sunt albi și acoperiți cu peri fini; primul segment abdominal este colorat în violet..... 1. *Chrysomyia* D. R.

2 (1) Obrajii sunt galbeni și nu sunt acoperiți cu peri; primul segment abdominal este colorat în galben..... 2. *Doljia* nov. gen.



54. *Calliphora erythrocephala* Meig. ♂

Este o specie rară, am prins cîteva exemplare ♂♂. Larva este saprofagă și de multe ori se găsește împreună cu cea de *Chrysomyia albiceps* Wiedem. În restul țării este mai frecventă. E. Séguy a prins-o în Maroc. Este o specie mediteraneană.

55. *Cynomyia mortuorum* L. ♂

Am prins numai două exemplare ♂♂, de dimensiuni mai mici (9 mm lungime) decît cei de talie normală, care au 12 mm lungime. În restul țării am prins mai multe exemplare în locuri uscate, lipsite de vegetație și expuse la soare. Foarte caracteristică această specie este culoarea de un albastru intens a corpului întreg, contrastând cu culoarea galben-aurie a capului. Este o specie saprofagă.

ДВУКРЫЛЬЕ (TACHINIDAE), СОБРАННЫЕ НА РАВНИНЕ  
ОЛТЕНИИ, И ИХ ЗНАЧЕНИЕ ДЛЯ СИСТЕМАТИКИ, ЗООГЕО-  
ГРАФИИ И ПРАКТИКИ

## (КРАТКОЕ СОДЕРЖАНИЕ)

С точки зрения систематики наездники (Tachinidae) из Кăчулăтешти очень разнообразны; автором пойманы отдельные экземпляры, но из всех подсемейств; кроме того ему удалось открыть один новый вид — *Echinomyia minor* sp. n., и один новый род — *Doljia* gen. n., с видом *viridicauda* sp. n. ♂♀. Из сказанного следует, что двукрылые Tachinidae этой области имеют большое значение с точки зрения систематики.

Не меньше их значение с точки зрения зоогеографической, ибо большинство наездников (Tachinidae) этой области являются de facies mediteranian; среди них можно указать: *Echinomyia minor* sp. n., *Cuphocera ruficornis* Macq., *Linnaemyia vulpina* Fall., *Gonia cognata* Rnd., *Phania vittata* Meig., *Loewia brevifrons* Rnd., *Chaetolya setigena* Rnd., *Stomatorrhina lunata* Fbr., *Chrysomyia albiceps* Wiedem., *Phormia regina* Meig., *Doljia viridicauda* sp. n.

Таким образом в Румынской Народной Республике, которая с зоографической точки зрения относится к Средней Европе, соприкасаясь однако с средиземноморской областью, водится и много видов типично средиземноморских в этой части страны (Олтении). Практическое значение наездников общезвестно.

Описание всех указанных наездников района Долж сопровождается описанием хозяев, на которых они паразитируют, уничтожая их. Хозяева наездников относятся ко всем группам насекомых, вредящих сельскому хозяйству, а именно: прямокрылым, жестокрылым, гусеницам бабочек, полевым клопам, которые причиняют неисчислимый вред. А наездники, паразитируя на их личинках, уничтожают этих вредителей и являются для человека полезными насекомыми; с этой, практической точки зрения, их значение чрезвычайно велико.

DIPTÈRES (TACHINIDÉS) RÉCOLTÉS DANS LA PLAINE D'OLTÉNIE.  
LEUR IMPORTANCE SYSTÉMATIQUE, ZOOGÉOGRAPHIQUE  
ET PRATIQUE

## (RÉSUMÉ)

Au point de vue systématique, les Tachinaires de Căciulătăști sont très variées; on en a récolté des exemplaires disparates, mais de toutes les sous-familles. On a récolté ensuite une nouvelle espèce: *Echinomyia minor* ♀ n. sp., et un nouveau genre *Doljia*, avec l'espèce *viridicauda* n. sp. ♂♀. Ces faits démontrent la grande importance des Tachinaires de cette région. Au point de vue zoogéographique, les Tachinaires de Căciulătăști sont fort intéressantes, car la majorité des espèces sont de la région méditerranéenne. Parmi elles, l'Auteur cite *Echinomyia minor* n. sp., *Cuphocera ruficornis* Macq., *Linnaemyia vulpina* Fall., *Gonia cognata* Rnd., *Loewia brevifrons* Rnd., *Chaetolya setigena* Rnd., *Phania vittata* Meig., *Stomatorrhina lunata* Fbr., *Chrysomyia albiceps* Wiedem., *Phormia regina* Meig., *Doljia viridicauda* n. sp.

Au point de vue zoogéographique, la République Populaire Roumaine fait partie de l'Europe centrale, mais s'avoisine avec la région méditerranéenne, aussi connaît-on beaucoup d'espèces typiques méditerranéennes en cette région du pays (Olténie). En ce qui concerne l'importance pratique des Tachinaires, elle est bien connue.

Ce travail donne la description des Tachinaires de la région de Dolj, accompagnée de celle des hôtes qu'elles parasitent en les détruisant. Les hôtes des Tachinaires appartiennent à tous les groupes d'insectes nuisibles à l'agriculture, tels Orthoptères, Coléoptères, chenilles des papillons, punaises des champs, qui causent de grands dommages. Or, en détruisant par leur parasitisme larvaire ces insectes nuisibles, les Tachinaires sont très utiles et d'une importance exceptionnelle au point de vue pratique.

## BIBLIOGRAFIE

1. Baer W., Zeitschr. für angew. Entomologie, 1920—1921, t. VI, caietul 2, p. 185—246; t. VII, caietul 1, p. 97—163; t. VII, caietul 2, p. 349—416.
2. Borcea I. et Suster P., Ann. Sc. Univ. Jassy, 1930, t. XVI, fasc. 1—2, p. 277—298.
3. Cholodkowsky N., Zool. Anz., 1884, t. 7, p. 316—319.
4. Enderlein G., Archiv für klassifikatorische und phylogenetische Entomologie, Viena, 1928, t. 1, caietul 1.
5. Lundbeck W., Diptera Danica. Part. VII. Platypezidae, Tachinidae. Copenhaga 1927.
6. Stein P., Archiv für Naturgeschichte, 1924.
7. Suster P., Ann. Sc. Univ. Jassy, 1929, t. XVI, fasc. 1—2, p. 57—249.
8. — Bull. Sec. Sc. Acad. Roum., 1933, t. XV, Nr. 9—10.
9. Tarbinschi P. S. i Plavil'scicov N. N., Opredelitel nasekomih evropeiskoi ciasti SSSR. Moscova—Leningrad, 1948.
10. Villeneuve J., Entom. Zeitung, 1903, Nr. 22, p. 37—40.
11. Vasilev J. W., Zeitschr. f. Insektenbiologie, 1903, nr. 4, p. 383.

CÎTEVA LARVE ALE GENULUI *TROMBICULA* (ACARIENI)  
ȘI DESCRIEREA UNUI CAZ DE TROMBIDIOZĂ  
LA ȘOPIRLA *LACERTA AGILIS*

DE

Z. FEIDER

Comunicare prezentată de GR. ELIESCU, membru corespondent al Academiei R.P.R.,  
în ședința din 2 iulie 1953

Genul *Trombicula* Berlese 1910, din familia *Trombidiidae* (Acarieni) parazitează ca larvă vertebratele de uscat și a fost descris în mod sumar la noi.

O singură dată, în anul 1930, Marc André pomenea de un caz izolat de trombidioză în Ungaria, la muncitorii care descărcau grâu provenit din România. Dar e puțin probabil ca în cazul pomenit să fie vorba de *Trombicula autumnalis*. Marc André recunoaște că afectiunea cauzată de grâu, este probabil cauzată de femela acarienului *Pediculoides ventricosus* Newp.

In anul 1948, noi am citat pentru fauna Acarienilor din România adultul de *Trombicula canestrini* (Buffa) 1899 și larvele speciilor *Trombicula autumnalis* Schaw 1790 și *Trombicula pilosa* Feider 1948.

In anul 1950 am citat din nou aceste 3 specii și am dat o scurtă diagnoză a speciei din urmă.

In această lucrare vom descrie larvele a 3 specii ale genului *Trombicula* și anume, vom descrie pentru prima dată *Trombicula (N) trägardhiana* n.sp., de asemenea vom da noi date despre *Trombicula pilosa* Feider 1948 și vom prezenta unele date despre *Trombicula (N) autumnalis* Schaw 1790, cu caracterele ce se observau la noi în țară, în comparație cu caracterele acestei specii din alte regiuni ale Europei. Odată cu descrierea speciei noi, vom arăta cum se prezintă trombidioza la șopirla *Lacerta agilis*, care este parazitată de larva speciei noastre.

I. *Trombicula (Neotrombicula) trägardhiana* n. sp.

1. DESCRIEREA TROMBIDIOZEI

a. Modul de fixare

In două colecții de șopirle vii, adunate de VANCEA Ștefan și SUCIU Ion, din 27 mai și 17 iunie 1951, la « Valea lui David » lîngă Iași, am găsit un mare număr de șopirle parazitate de o specie nouă a genului *Trombicula*.

In prima colecție, din 27 mai, formată din 42 de șopîrle, 18 (42, 85%) erau parazitate masiv, iar în colecția a doua, din 40 de șopîrle, 9 (22,50%) erau parazitate masiv, iar celelalte șopîrle pe care nu le-am considerat în numărul indicat, prezintau 1 sau mai mulți paraziți izolați. O șopîrlă prezenta maxim 400-500 de paraziți.

Răspîndirea paraziților pe suprafața corpului șopîrelor este diferită. În tabloul nr. 1 indicăm de câte ori am găsit paraziți în diferite regiuni ale corpului la cele două colecții de șopîrle.

Tabloul nr. 1

Nr.	Regiunea	Colecția		Total
		I	II	
1	Sacrală .....	17	6	23 85,18
2	Codală .....	15	2	17 68,88
3	Picioarele posterioare .....	15	-	15 62,96
4	Dorsală .....	5	4	9 33,33
5	Picioarele anterioare .....	2	-	2 7,40
6	Gât .....	1	1	2 7,40
7	Timpan .....	1	-	1 3,70

Din tabloul nr. 1 se observă că paraziți sănt răspîndiți totdeauna pe partea dorsală și mai ales în regiunea posterioară. În regiunea anterioară se găsesc rar paraziți. În regiunea ventrală a corpului dela o extremitate la alta, nu am găsit niciodată paraziți.

Privind șopîrlele din punctul de vedere al răspîndirii totale a paraziților pe care îi poartă pe tegument, am observat că există trei forme de răspîndire a trombidiozei (fig 1, 2 și 3): 1. Trombidioza în forma literei «T», răspîndită în regiunea sacrală și codală. 2. Trombidioza în cruce, răspîndită în regiunea sacrală, codală și postero-dorsală, paraziții afectînd formă unei cruci. 3. Trombidioza numai în regiunea dorsală sau trombidioza liniară, pentru că toți para-

Tabloul nr. 2

Nr.	Forme de trombidioză	Colecția		Total
		I	II	
1	În «T» .....	13	6	19 70,37
2	În cruce .....	3	2	5 18,51
3	Liniară .....	2	-	2 7,40
4	Atipică .....	-	1	1 3,7

ziții la un loc au formă unei linii. 4. Trombidioza atipică, cînd paraziți sănt răspîndiți altfel decît am arătat mai sus și anume în regiune izolată. În tabloul nr. 2 se vede repartiția numerică a celor patru forme de trombidioză în cele două colecții.

După regiunile infectate și după formele de trombidioză se poate deduce modul de infectare a șopîrelor cu paraziți. Paraziții se urcă pe șopîrle în lungul cozii și al picioarelor de dinapoi și se opresc în regiunea sacrală și codală, fiind primele întîlnite și dau trombidioza în formă de «T», care este cea mai

frecvență. Dacă numărul paraziților este mai mare, aceștia se întind și în regiunea postero-dorsală, după ce au acoperit toată regiunea sacro-codală, dînd trombidioza în cruce. În ceea ce privește explicația pentru forma liniară, aceasta este o formă de trombidioză pe cale de regres. Ea derivă din o trombidioză în cruce, care cuprindea tot spatele. Primii paraziți s-au fixat în regiunea sacro-codală, iar paraziții din ultimul moment al infectiei s-au fixat în toată regiunea dorsală. Primii paraziți fixați, săturîndu-se cei dintâi, pără-

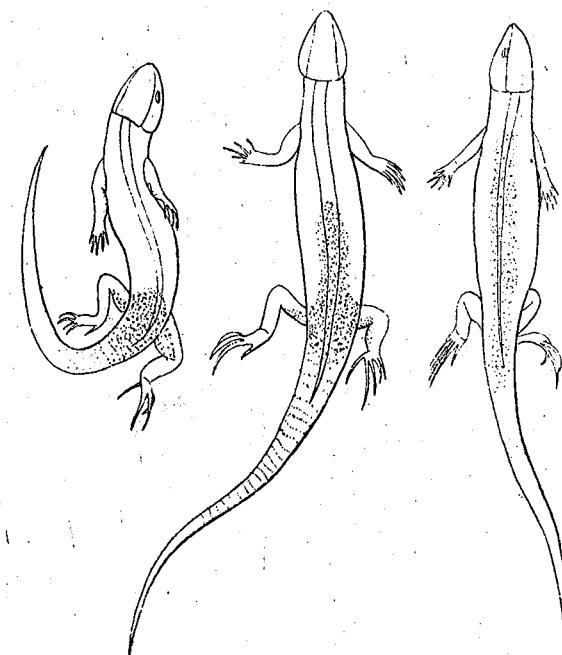


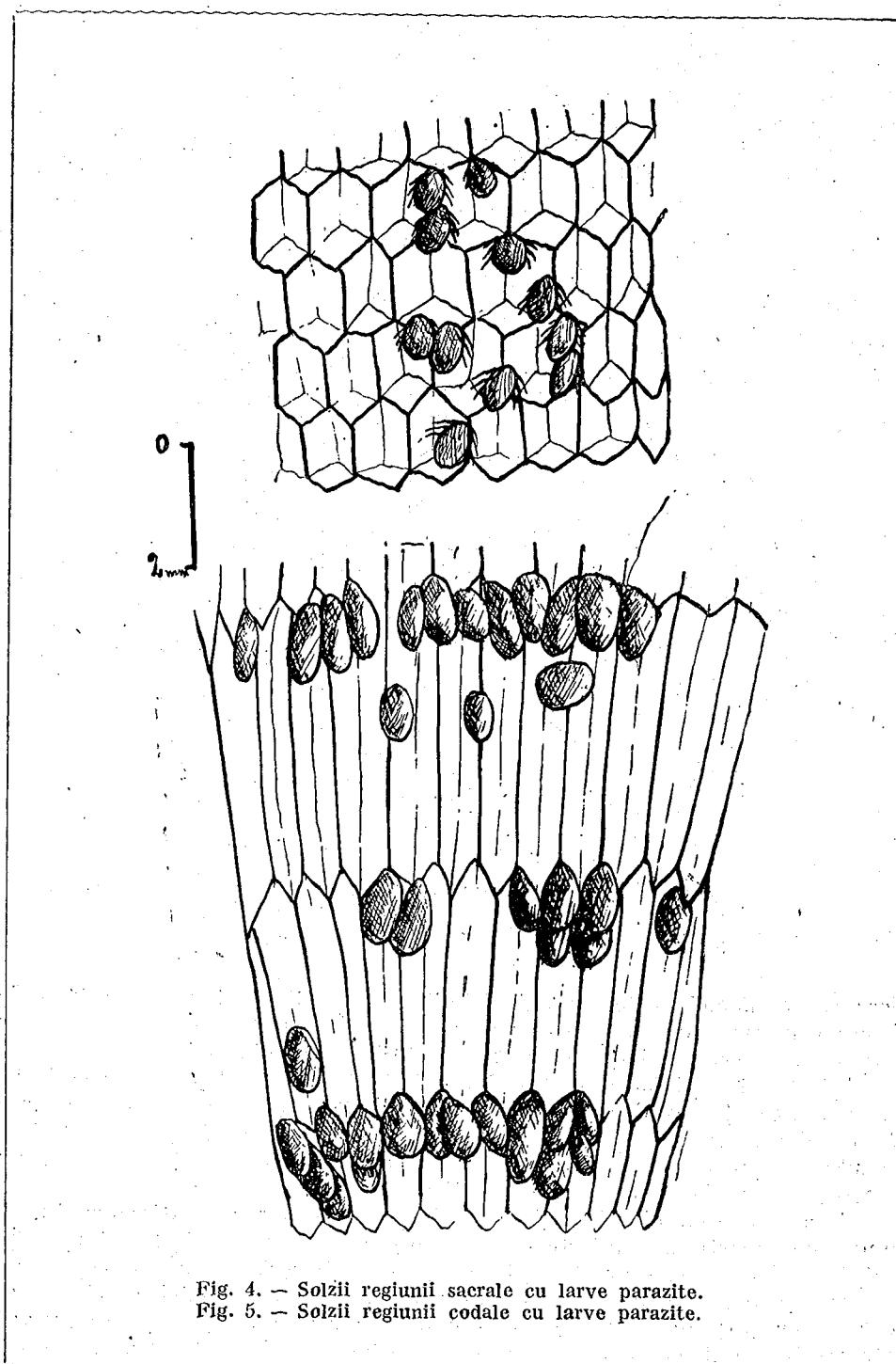
Fig. 1. — Șopîrlă cu trombidioză în formă de «T».  
Fig. 2. — Șopîrlă cu trombidioză în formă de cruce.  
Fig. 3. — Șopîrlă cu trombidioză în formă liniară.

sesc gazda, lăsînd pe loc numai ultimii paraziți din regiunea dorsală unde încă nu au avut timpul să se satură și să se desprindă. Pentru acest motiv considerăm forma liniară ca un aspect final al trombidiozei în cruce.

Astfel, cele trei forme de trombidioză, în formă de «T», în cruce și cea liniară, reprezintă trei etape de infectare a șopîrelor, din care prima poate fi considerată ca o formă de infecție incipientă, sau de infecție moderată în cazul că se oprește în acest stadiu, a doua este o stare de infecție avansată sau masivă și a treia, o formă de infecție în regres.

Forma de trombidioză atipică am observat-o în regiunea stîngă a gîtelui, unde, pe o porțiune mică, tegumentul prezenta o cicatrice. Pe tegumentul subțire al cicatricei erau fixați 30 de paraziți într-un singur loc.

Larvele parazite se fixează în spațiul dintre solzii epidermici, după cum se observă cu lupa. În regiunea dorsală, unde solzii sunt scurți, larvele se fixează atât pe marginile laterale cît și pe marginile anterioare și posterioare ale sol-



zilor, pe cînd în regiunea codală, unde solzii sunt lungi, larvele parazite se fixează aproape numai între marginile exterioare și posterioare ale solzilor. După modul de fixare, larvele parazite sunt împrăștiate neregulat în regiunea dorsală (fig. 4) și în linii transversale, în regiunea codală (fig. 5).

*Trombicula agamae* André 1929 (4), parazită pe șopîrla *Agama stellio* se fixează pe marginea gurii, pe marginea orbitelor, în jurul orificiului cloacal și pe articulațiile picioarelor. Acest fapt ne arată că modul de fixare al parazitului *Tr. (N) trågardhiana* pe șopîrla *Lacerta agilis* este caracteristic pentru această specie de parazit.

#### b. Organul de sugere

Dacă privim la microscop tegumentul cu paraziți din regiunea dorsală sau sacrală, observăm că fiecare larvă lasă în locul unde se fixează, o urmă

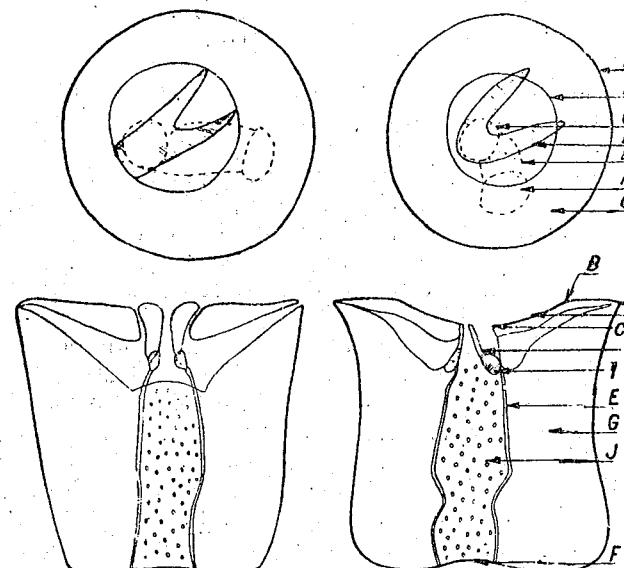


Fig. 6. — Areole văzute de sus cu teaca mandibulară în formă de « V ».

Fig. 7. — Stilosomul în secțiune optică.

A = inel extern; B = inel intern; C = orificiul superior al lumenului stilostomului; D = teaca pentru ghîlța mandibulară; E = pojghiță care înconjură lumenul stilostomului; F = orificiul inferior al stilostomului; G = peretele stilostomului; H = pâlnia areolei; I = nodul care reține denticulul ghîlței mandibulare; J = lumenul canalului stilostomului.

rotundă, pe care o numim areola de fixare (fig. 6). Areolele de fixare sunt foarte numeroase. În jurul unui singur solz se găsesc pînă la 20 de areole. Aceste areole nu pot purta pe ele în același timp, un același număr de larve. Numărul areolelor reprezintă numărul cicatricelor făcute de larvele care au fost fixate într-un singur sezon. Într-un singur moment în jurul unui solz tegumentar, din cauza dimensiunii larvelor, nu pot fi fixate decît 4—5 larve. De aici se poate conchide că pe o singură regiune pot fi marcate 3 sau 4 infecții succeseive, care pînă la proxima năpîrlire lasă o cicatrice în formă de areolă.

O areolă mult mărită prezintă un contur periferic în formă de cerc, sau cercul extern, un cerc concentric intern iar la centru deschiderea tubului stilostomului, care este mult mai mică decât cercul intern. Suprafața areolei este scobită, în formă de pîlnie.

Diametrul areolelor este diferit. La 20 de areole vecine pe care le-am măsurat am constatat, următoarele dimensiuni, începînd dela  $54 \mu$  cele mai mici, pînă la  $115 \mu$ , cele mai mari.

Numărul areolelor	diametrul
1	$54 \mu$
2	$62 \mu$
2	$65 \mu$
1	$72 \mu$
5	$73 \mu$
3	$80 \mu$
2	$91 \mu$
1	$98 \mu$
2	$108 \mu$
1	$115 \mu$

Diametrul mediu al areolelor este de  $79 \mu$ . Diametrul cercului intern variază între  $53$  și  $62 \mu$ , cu media  $46 \mu$ . Tubul central are un diametru aproape invariabil de  $7,2 \mu$  (fig. 6).

Dimensiunile diferite ale areolelor ne arată două fapte. În primul rînd, observăm că areolele cresc dela  $54 \mu$  la  $115 \mu$ , în timp ce larva se umple cu sucuri. Unele areole nu se pot desvolta peste o anumită limită, fie că larva nu poate să producă o areolă mare, fie că primele areole dezvoltate împiedică dezvoltarea areolelor formate ulterior, din cauză că suprafața tegumentului rămasă liberă, este prea mică.

Areola se găsește situată la capătul superficial al tubului prin care larva parazită absoarbe sucurile șopîrlei. Tubul de sugere, stilostomul este un organ neoformat. El are o lungime de  $60-67 \mu$ . Forma sa este cilindrică sau în formă de trunchi de con (fig. 7). Baza mare este fixată la nivelul suprafeței tegumentului, formînd areola, iar baza sa mică pătrunde în profunzimea țesutului subcutanat. Peretele stilostomului este mai gros de  $1,5$  pînă la  $2$  ori mai mare decât diametrul canalului său axial. Suprafața externă a stilostomului este net delimitată de țesutul subcutanat învecinat. Larvele genului *Trombicula*, parazite pe mamifere, au stilostomul lung. Pe lingă aceasta, suprafața externă a acestui stilostom nu este net delimitată, ci se continuă în parte cu țesutul subcutanat învecinat, după observațiile lui Marc André. Deci stilostomul speciei de *Trombicula* descrisă de noi se deosebește de stilostomul speciilor similare, atât prin faptul că este foarte scurt, cit și prin aceea că are conturul extern bine delimitat de țesutul subcutanat al gazdei.

Canalul axial al stilostomului se întinde dela o extremitate la cealaltă. Diametrul canalului axial este îngustat la capătul distal. În rest, tubul este aproape cilindric. Numai în apropiere de capătul proximal, tubul stilostomului prezintă o regiune mai îngustă în formă de inel. Pe suprafața sa internă, tubul stilostomului prezintă o pojghiță mai compactă, care contrastează cu restul peretelui stilostomului și formează ceea ce Marc André numește cordonul axial. După observațiile acestuia, la mamifere, peretele stilostomului se poate rupe în curmeziș, în afară de cordonul axial care poate rămîne întreg.

### c. Legătura dintre larvă și stilostom și rolul stilostomului

In anul 1871, G u d d e n este cel dintîi care observă stilostomul la o larvă de *Trombicula* și îl numește trompă. In anul 1897, E. L. Trouessart crede că în interiorul tubului stilostomului se găsește o langhetă, care se mișcă ca un piston. Această părere nu a mai fost susținută de alții. După observațiile celorlalți autori și ale noastre, lumenul stilostomului nu prezintă nimic în interior, ce s-ar putea asemăna cu un piston.

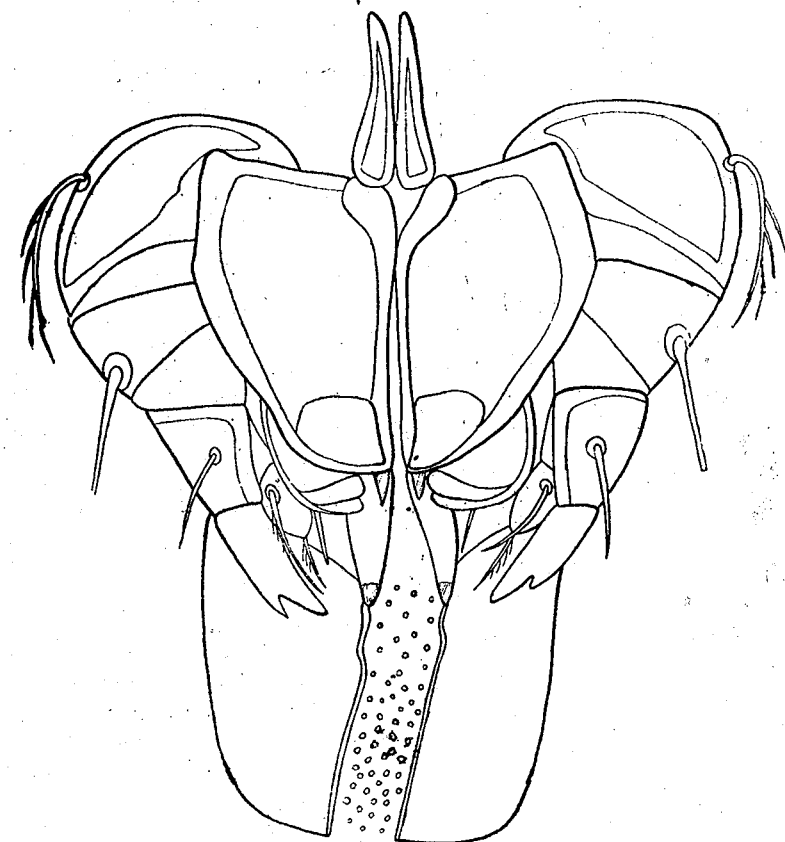


Fig. 8.— Modul cum se fixează mandibulele și palpii larvei de stilostom.

In ceea ce privește originea stilostomului, s-au emis două păreri. F. Brandis, în 1897, E. L. Trouessart și K. Told, în 1923, consideră că stilostomul este un produs al țesuturilor gazdei. În opozitie cu această părere, S. Jourdain în 1899 și M. André în 1927, consideră că stilostomul este o secreție solidificată a glandelor salivare. Fără o serie de experiențe de fiziolologie este greu să ne facem o părere justă despre originea stilostomului.

Asupra modului cum se pun în legătură ghiarele mandibulare cu capătul periferic al stilostomului precum și asupra poziției ghiarelor mandibulare în

timpul suptului, s-au emis păreri diferite. J. H. Flägel în anul 1876, credea că ghiarele mandibulare pătrund în tubul axial al stilostomului și că au partea convexă îndreaptă către linia mediană. De părere contrară sunt A. C. Oudemans și M. André, care afirmă că ghiarele mandibulare sunt paralele în timpul suptului, iar S. Jourdain și M. André care observă că ghiarele mandibulare sunt în afara tubului axial al stilostomului.

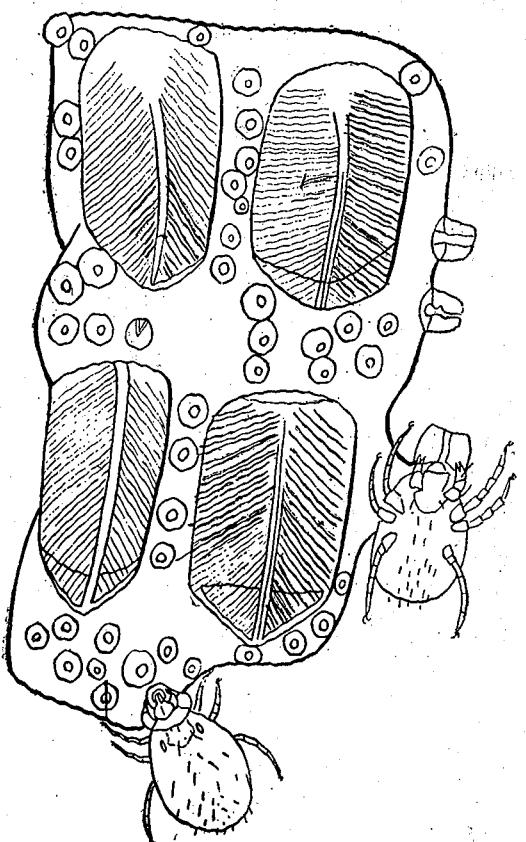


Fig. 9. - Solzi din regiunea dorsală a șopârlă cu areole și larve fixate.

de puternic fixate de peretele stilostomului, încit, încercând să desprindem unele larve, am observat că ghiarele mandibulare s-au rupt, rămînind fixate la baza stilostomului.

Cele două ghiare mandibulare delimităză între ele un spațiu care conduce sururile din tubul stilostomului, spre gura larvei parazite. În inferiorul tubului stilostomului se observă un conținut granulos, care provine din corpul gazdei și se îndreaptă spre gura larvei parazite.

În același timp, larva parazită se fixează și cu ghiarele tibiale ale palpilor maxilari și prin alipirea lobilor bucali, sau *mala exterior*, de baza stilostomului, în spațiul cuprins între cercul extern și cel intern al areolei (fig. 8). Fixarea

prin ghiarele tibiale este de mică însemnatate față de ghiarele mandibulare. Picioarele larvei nu joacă rol în fixarea larvei pe gazdă (Fig. 9).

Toți autorii, precum M. André, Brumpt (11) și G. D. Kirshenblat (14) sunt de acord în a considera că larva absoarbe sururile gazdei prin stilostom.

M. André intemeindu-se pe observațiile lui H. Jordan la adulțul de *Corolus auratus*, observațiile lui W. A. Fogel la larva de *Dysticus marginatus*, observațiile lui R. Vogel la larva de *Lampyris noctiluca* și pe observațiile lui P. Portier la Coleoptere, *Rhynchote* și alte insecte, consideră că larvele de *Trombicula* varsă în corpul gazdei un suc care produce o digestie extra-intestinală. În al doilea rînd, larva absoarbe prin stilostom sururile gata digerate.

In cazul cînd șopârlă năpărlește, după observațiile noastre, larvele rămîn atașate de partea năpărătă a tegumentului și mor după scurt timp. In colecțiile de șopârle studiate de noi, numai o singură dată am observat o șopârlă cu o năpărare parțială în regiunea bazală a cozii.

#### d. Acțiunea patogenă a larvei parazite

*Trombicula (N) trågardhiana* parazitează șopârla la sfîrșitul primăverii și la începutul verii; noi am observat-o dela 25 mai pînă la 25 iunie. Larvele găsite în prima colecție de șopârle, din 27 mai, au început să se desprindă de pe șopârlă la 1-2 iunie. În ziua de 5 iunie aproape toți paraziții s-au desprins. Aceasta ne arată că paraziții stau fixați cel mult 10 zile pînă se satură.

Șopârlele parazitate nu manifestă niciun semn de iritație care ar putea fi atribuit larvei parazite. Nu am observat niciodată un reflex de scărpinare la șopârle, timp de 10 zile cît le-am ținut sub observație. De obicei, acțiunea irritantă provocată de *Trombicula (N) autumnalis*, parazită pe mamifere și pe om, se manifestă printr-un eritem: prin pete roșii, bubulițe și scărpinate. În schimb, la o nouă infecție, mamiferele manifestă insensibilitate față de parazit. Se pare că și specia noastră de *Trombicula*, trăind de obicei pe șopârlă, îi conferă un grad de imunitate.

Cu o singură excepție, am observat că șopârlele parazitate nu prindă gîndacii de bucătărie vii, puși la dispoziție pentru hrana. Faptul acesta ne indică, că în epoca parazitării, șopârlele prind mai puține insecte. Parazitul este deci dăunător.

#### e. Cazuri de trombidioză la Sauriene

In literatură se cunoște puține cazuri de larve ale genului *Trombicula* parazite pe șopârle sau în general pe Sauriene. Astfel *Trombicula (Eutrombicula) lasahuate* var. *tropica* Ewing (1920) parazitează șopârla *Anadia taeniata* în Venezuela, *Trombicula (Eutrombicula) insularis* Ewing (1925) parazitează șopârla *Anolis cybates* în San Domingo, *Trombicula (Eutrombicula) agamae* André (1929) parazitează șopârla *Agama stellia* din Statul Israel (3). Un alt gen vecin cu *Trombicula* prezintă următoarele specii parazite: *Odontocarus australis* Ewing (1929), parazit pe șopârla *Tropidurus peruvianus* în Peru și *Odontocarus gymnodactyli* Ewing (1925) parazit pe *Gymnodactylus lawderanus* din India. De asemenea, *Schöngastia madecassa* André (1949) este para-

zită pe cameleon, în Madagascar (8). Pe alte reptile se cunosc puține specii parazite. În America s-au descoperit Trombicule parazite pe șerpi.

Larva speciei noastre *Trombicula (Neotrombicula) trägardhiana* este parazită pe șopîrlă *Lacerta agilis*. Genul *Trombicula* este singurul parazit pe șopîrlă descris în Europa.

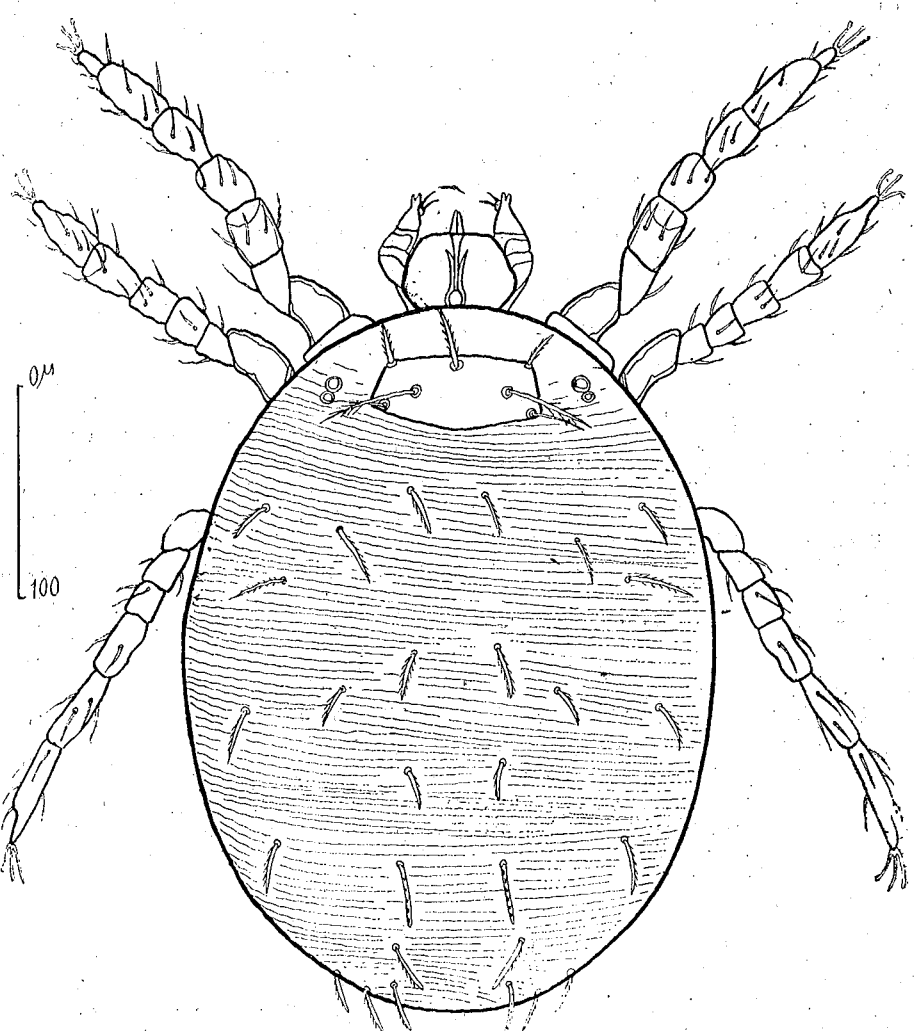


Fig. 10. — Corp, vedere dorsală. *Trombicula (N) trägardhiana*.

## 2. DESCRIEREA LARVEI SĂTULE DE TROMBICULA (N) TRÄGARDHIANA n. sp.

Măsurînd 12 larve sătule, am observat lungimea și lățimea exprimată în microni, după cum se poate vedea în tabloul nr. 3.

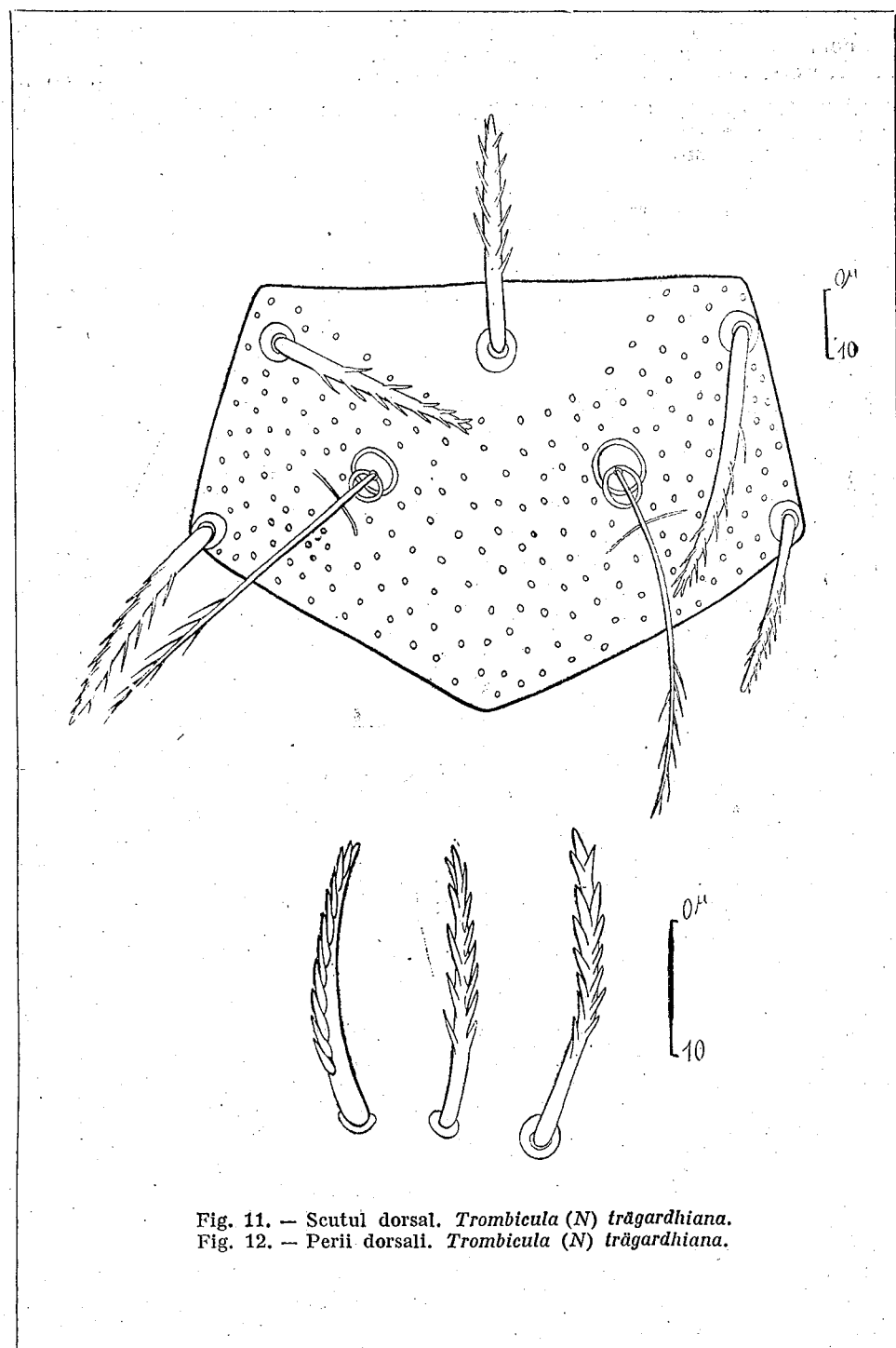


Fig. 11. — Scutul dorsal. *Trombicula (N) trägardhiana*.  
Fig. 12. — Perii dorsali. *Trombicula (N) trägardhiana*.

Forma corpului este ovală (fig. 10). Văzut de sus, corpul prezintă în partea anterioară un scut de formă pentagonală. Perii scutului au următoarele dimensiuni: părul antero-median are 29  $\mu$ , perii antero-laterali au 29  $\mu$ , perii postero-laterali au 31  $\mu$ , iar perii sensiligeri au 49  $\mu$ . Distanțele între peri la un exemplar sunt următoarele:

Distanța între perii antero-laterali .....	58 $\mu$
»      »      » postero-laterali .....	76 $\mu$
»      »      » antero-laterali și postero-laterali ..	27 $\mu$
»      »      » sensiligeri .....	50 $\mu$
»      »      » sensiligeri și marginea anterioară ..	19 $\mu$
»      »      » sensiligeri și marginea posterioară ..	27 $\mu$

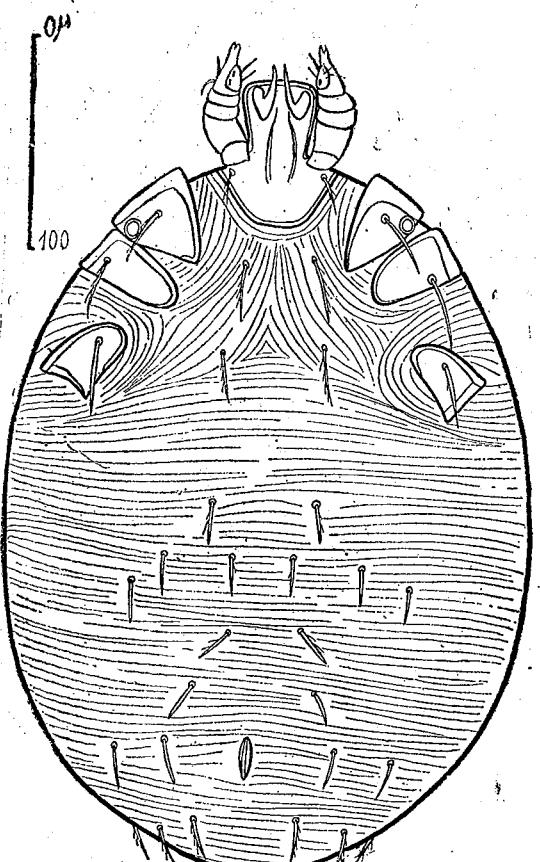


Fig. 13. — Corpul, vedere ventrală. *Trombicula (N) trågardhiana*.

loc. Lentila oculară anterioară este mai mare decât cea posterioară.

Pe fața dorsală a corpului prezintă 28 de peri cu barbe scurte, dese și lățite, așezate pe o singură latură, pe cele trei părți distale ale rahisului (fig. 12). Perii sunt așezați în nouă rînduri, care, începînd dinainte

Tabloul Nr. 3

Număr	Lungime	Lățime
1	359	231
3	327	180
1	310	196
1	310	163
2	294	147
1	294	163
1	245	163
1	212	231
1	180	115

Perii antero-laterali, antero-median și postero-laterali prezintă barbe pe cele două treimi distale. Aceste barbe sunt rigide, ascuțite și nu prea dese. Perii sensiligeri sunt subțiri și prezintă barbe rare și lungi, în număr de 8 pe treimea lor distală. Suprafața scutului prezintă punctații mari cu excepția regiunii din vecinătatea părului antero-median, care este lipsită de punctuații. În urma perilor sensiligeri se observă cîte o linie subțire și arcuită (fig. 11). În părțile laterale ale scutului dorsal, se observă scuturile oculare în formă de biscuit gituit la mijloc. Lentila oculară anterioară este mai mare decât cea posterioară.

înapoi au un număr diferit de peri: 4, 4, 6, 2, 4, 2, 2, 4, 2. Perii au circa 24  $\mu$  lungime.

Pe fața ventrală larva prezintă gnatosoma, cele 3 perechi de coxe și uroporul (fig. 13). Cele trei coxe au respectiv 40, 54 și 49  $\mu$  lungime. Pe fiecare

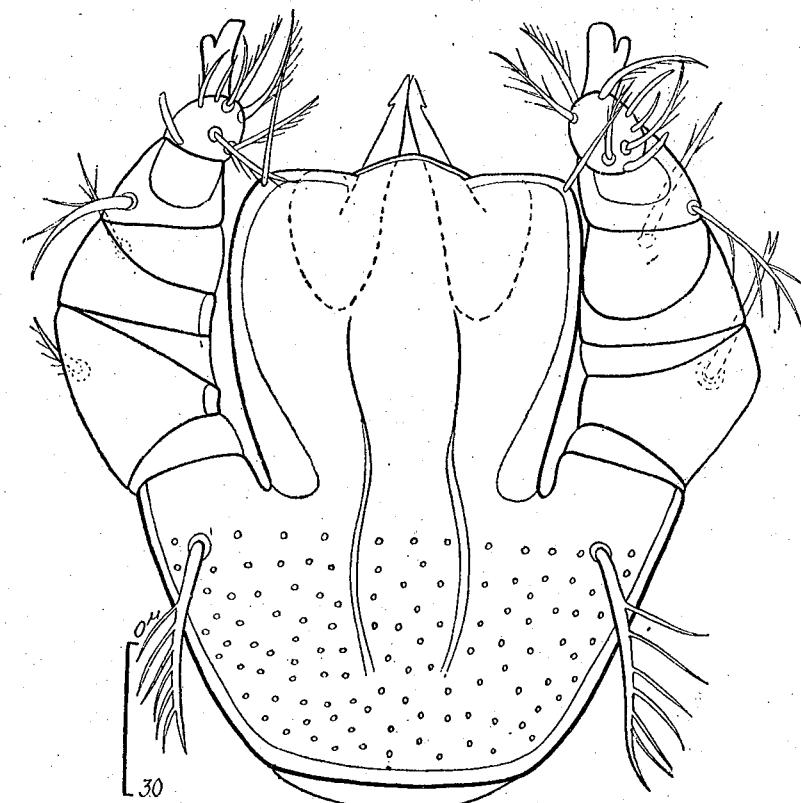


Fig. 14. — Hipostomul. *Trombicula (N) trågardhiana*.

coxă se găsește cîte un păr. Între primele și ultimele coxe se găsește opareche de peri intercoxali. În partea apodă a abdomenului se găsesc șase rînduri de peri care au respectiv cîte 2, 6, 2, 2, 4 și 4 peri. Uroporul se găsește în rîndul al cincilea de peri.

Gnatosoma prezintă un hipostom gituit la mijloc (fig. 14). În partea sa anterioară se observă lobii interni (*mala interior*) și lobii externi (*mala exterior*) cu o pereche de peri netezi. În partea posteroară, hipostomul prezintă doi peri în formă de pieptene (*strobili*). În partea dorsală a gnatosomei se observă mandibulele (fig. 15), ale căror ghiare sunt înconjurate de lobii interni și externi (fig. 15, A). Corpul mandibulei este larg în partea posteroară (fig. 15, D). În partea anterioară el poartă o prelungire numită *pseudochela* (fig.

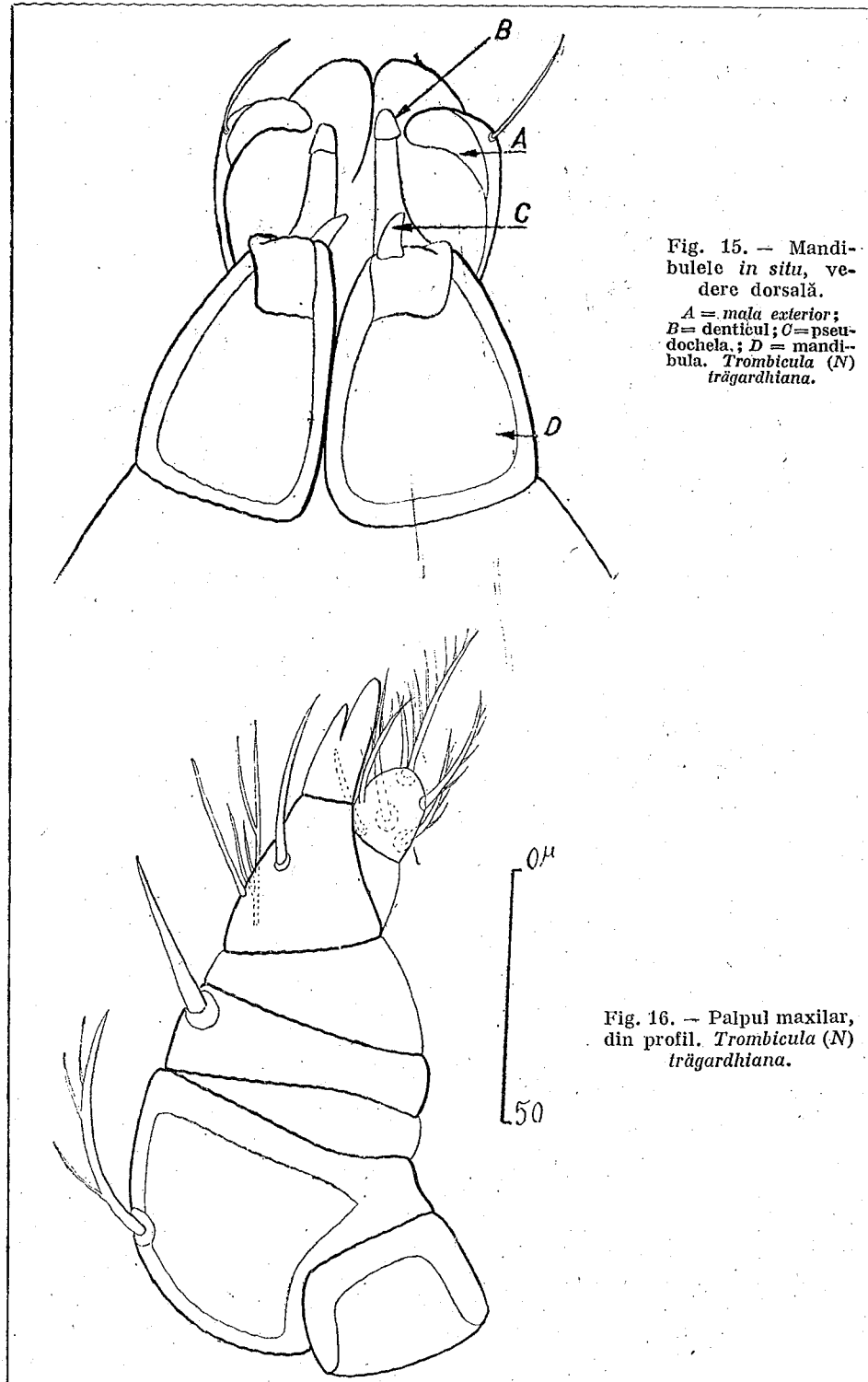


Fig. 15. — Mandibulele *in situ*, vedere dorsală.

A = mala exterior; B = denticul; C = pseudochela; D = mandibula. *Trombicula (N) trägardhiana*.

15, C). Ghiara mandibulară prezintă un denticul la vîrf (fig. 15, B). Apendicele mandibilei este lung (fig. 8).

Palpul maxilar este masiv (fig. 16). Femurul și genuul au cîte un păr, iar tibia are trei peri. Ghiara tibială este bifurcată și are ramura externă mai subțire (fig. 14). Tarsul palpului este papiliform scurt și poartă 7 peri.

Cele trei perechi de picioare, inclusiv coxele, au respectiv 217  $\mu$ , 195  $\mu$  și 224  $\mu$  (fig. 17, 18 și 19). Articolele picioarelor prezintă următorul număr de peri penați și peri sensoriali (după cum se poate observa în tabloul nr. 4).

Tabloul nr. 4

Piciorul	Tars	Tibia	Genual	Femur I	Femur II	Trohanter	Total
I.....	23	10	7	5	1	1	47
II.....	18	8	4	4	2	1	37
III.....	14	7	4	3	2	1	31
Total..							115

Perii netezi (sensoriali) de pe picioare sunt indicați în tabloul nr. 5.

Tabloul nr. 5

Piciorul	Tars	Tibia	Genual	Total
I.....	5	3	2	10
II.....	3	2	1	6
III.....	1	2	1	4
Total.....				20

Căreteristică este prezența unui singur păr sensorial (mastitarsal) pe tarsul piciorului III.

## II. *Trombieula (Neotrombieula) pilosa* Feider 1948

Din această specie am găsit larve libere iernând în frunză la Odorhei, Borsec, și Breazu lîngă Iași.

Iată dimensiunile corpului larvelor (fig. 20).

Tabloul nr. 6

Dimensiuni	Odorhei	Borsec	Breazu
Lungime ...	310 $\mu$	333 $\mu$	290 $\mu$
Lățime ....	183 $\mu$	181 $\mu$	181 $\mu$

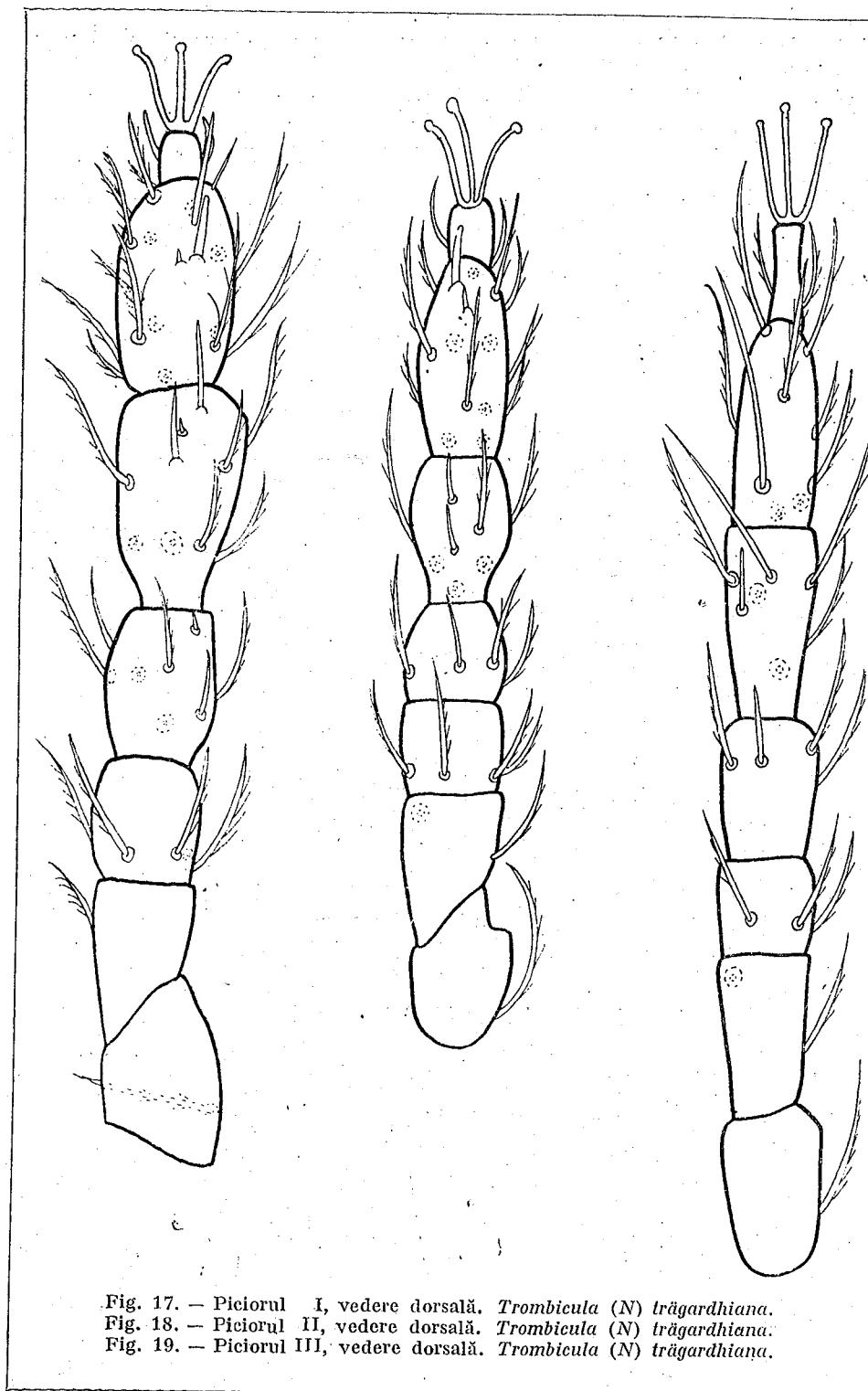


Fig. 17. — Piciorul I, vedere dorsală. *Trombicula (N) trägardhiana*.  
 Fig. 18. — Piciorul II, vedere dorsală. *Trombicula (N) trägardhiana*.  
 Fig. 19. — Piciorul III, vedere dorsală. *Trombicula (N) trägardhiana*.

Scutul dorsal este de formă pentagonală și are laturile rotunzite. Perii scutului au următoarele dimensiuni în microni (fig. 21) (după cum se poate observa în tabloul nr. 7).

Tabloul nr. 7

Perii scutului	Odorhei	Borsec	Breazu
Peri anterior.....	42 $\mu$	54 $\mu$	51 $\mu$
Peri antero-laterali .....	49 $\mu$	58 $\mu$	51 $\mu$
Peri postero-laterali ...	65 $\mu$	73 $\mu$	73 $\mu$
Peri sensiligeri.....	71 $\mu$	80 $\mu$	80 $\mu$

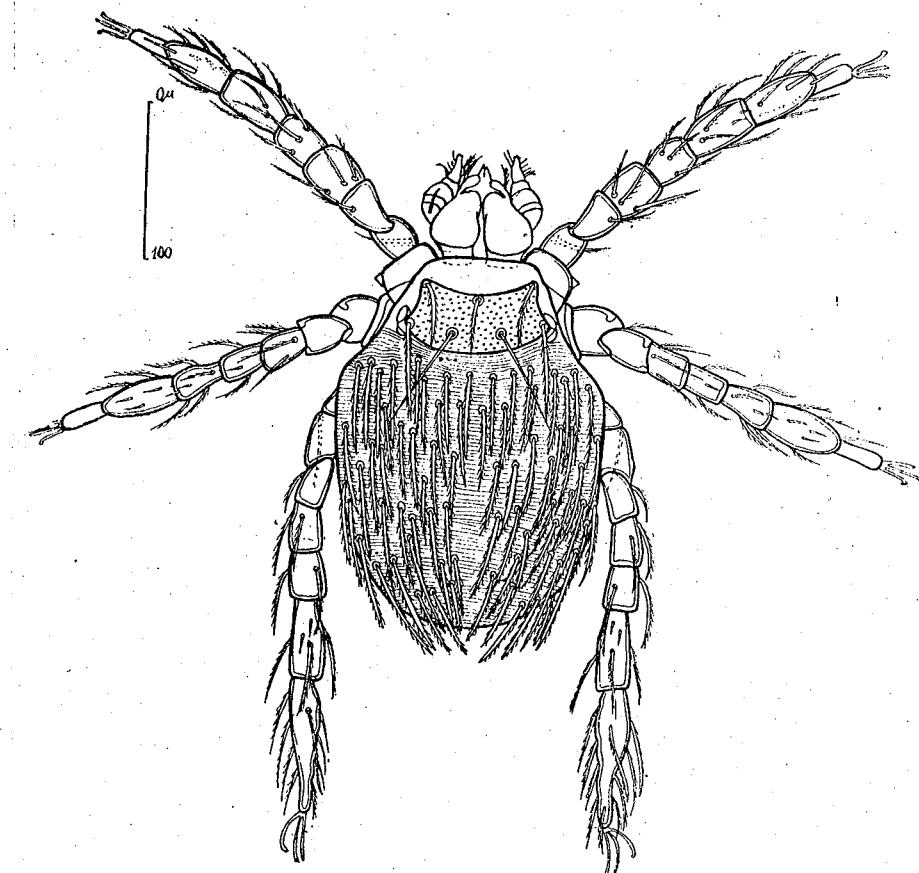


Fig. 20. — Corp, vedere dorsală. *Trombicula (N) pilosa*.

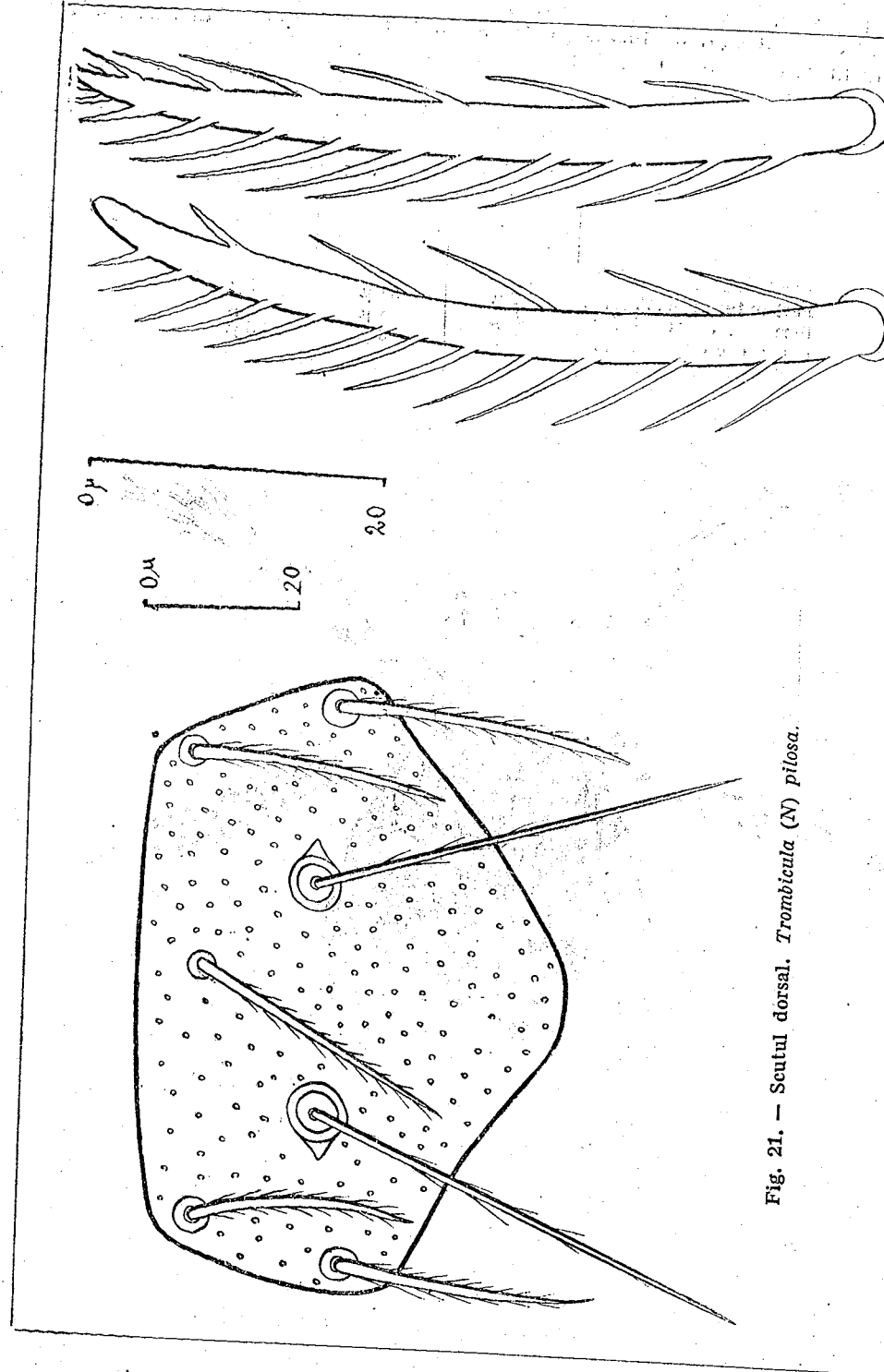


Fig. 21. — Scutul dorsal. *Trombicula (N) pilosa*.

#### CÎTEVA LARVE ALE GENULUI *TROMBICULA* (ACARIENI)

Distanțele caracteristice între perii scutului, la cîte un exemplar din Borsec și Breazu, sînt cele arătate în tabloul nr. 8.

### *Tabloul nr. 8*

Distanțe	Borsec	Breazu
Intre perii antero-laterali .....	80 $\mu$	73 $\mu$
» » postero-laterali .....	98 $\mu$	87 $\mu$
» » antero-laterali și postero-laterali .....	29 $\mu$	18 $\mu$
» » sensiligeri .....	33 $\mu$	—
» » sensiligeri și marginea anterioară .....	44 $\mu$	33 $\mu$
» » sensiligeri și marginea posterioară .....	18 $\mu$	11 $\mu$

Fața dorsală a corpului este acoperită cu peri penăți cu barbe lungi și numeroase (fig. 22). Lungimea perilor variază între 55 și 66  $\mu$  (Odorhei) sau 47 și 69  $\mu$  (Breazu). Perii sunt numeroși pe partea dorsală și anume 80 peri (Borsec), 82 peri (Odorhei) și 94 peri (Breazu). Cei 82 de peri la exemplarul din Odorhei sunt așezați în sase rânduri: 12, 12, 12, 16, 12 și 6.

Partea ventrală a corpului, în afară de perii intercoxali, prezintă la exemplarul din Odorhei 42 de peri așezați în patru rânduri: 14, 10, 12 (fig. 23). Uronoul are 23 de lunci și 12 de perii.

Uroporul are 23  $\mu$  lungime și este așezat între rîndul al treilea și al patrulea (fig. 23).

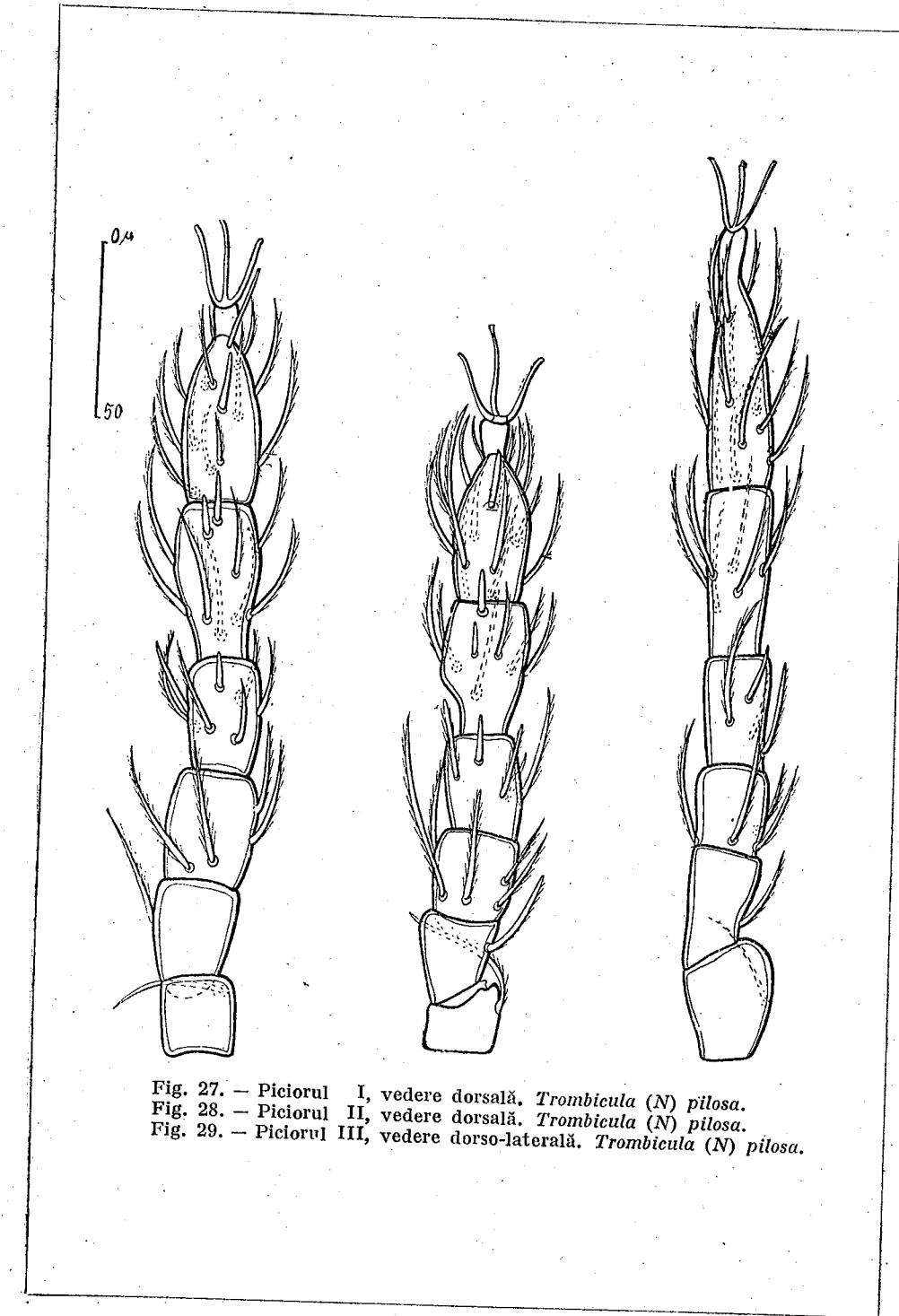
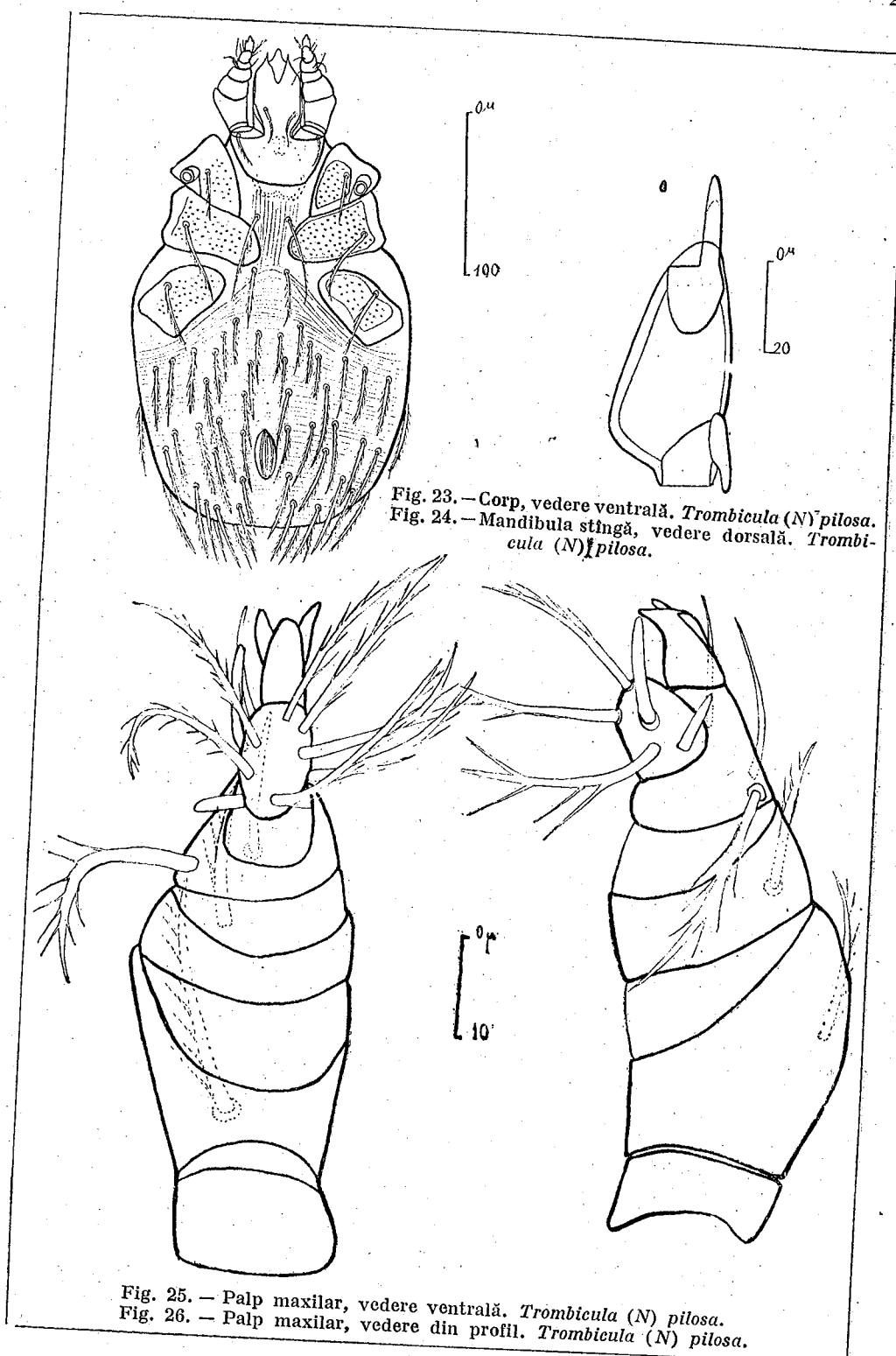
Hipostomul este gîuit la mijloc și are forma literei « T ». Mandibula are  $72 \mu$  lungime și  $36 \mu$  lățime (fig. 24). Palpul maxilar are  $65 \mu$  lungime (fig. 25 și 26). Ghiara tibială est trifidă. Tarsul palpului prezintă 5 peri.

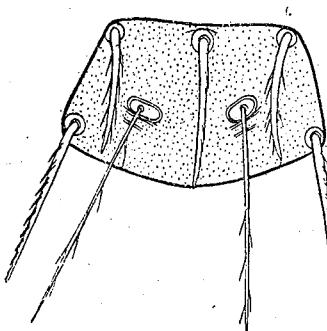
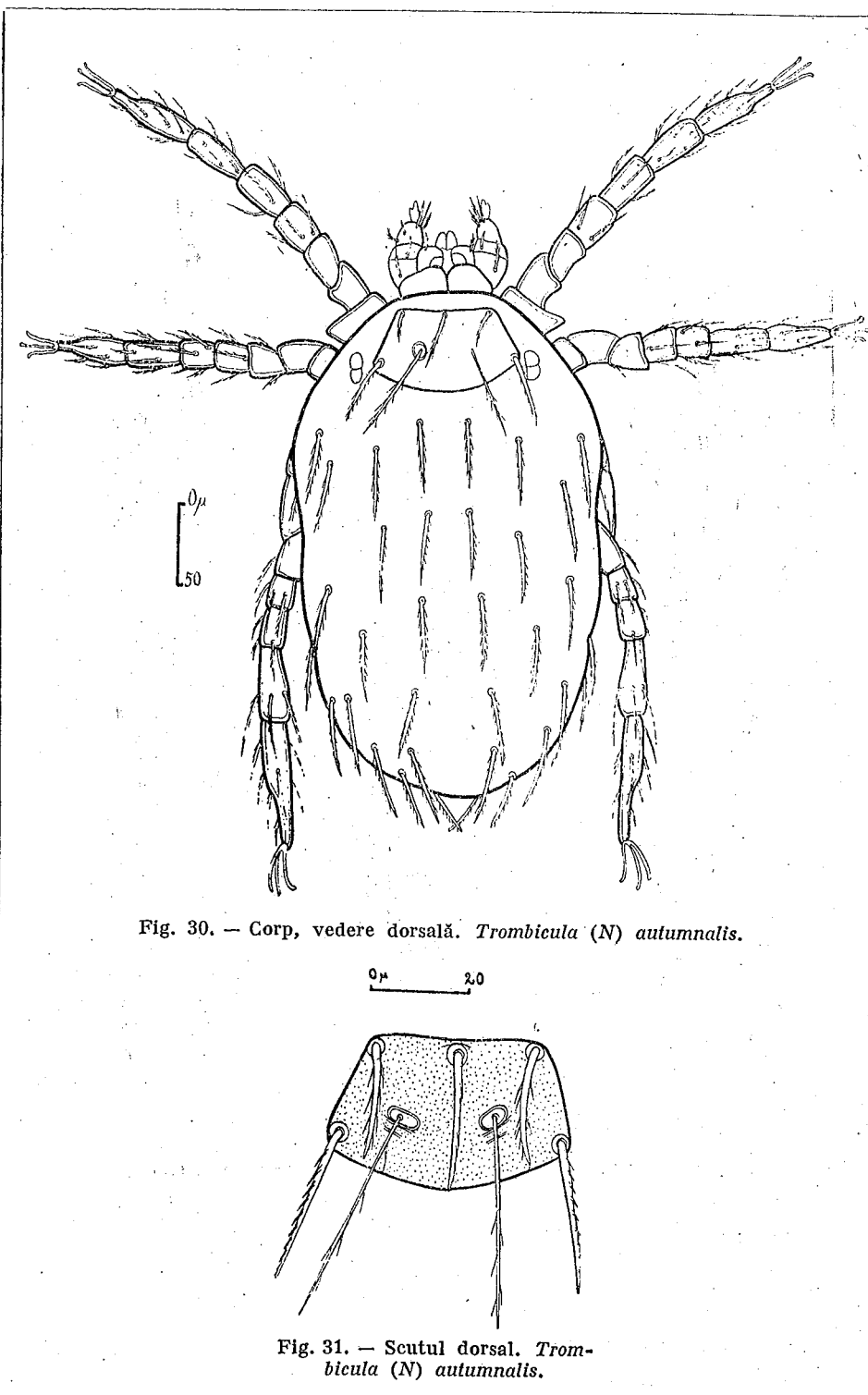
*Tablou nr. 9*

Piciorul	Odorhei	Borsec	Breazu
I .....	284 $\mu$	337 $\mu$	334 $\mu$
II .....	260 $\mu$	308 $\mu$	308 $\mu$
III .....	287 $\mu$	336 $\mu$	363 $\mu$

Numărul total de peri de pe picioare, la exemplarul din Odorhei, este următorul (fig. 27, 28 și 29).

*Tabloul nr. 10*





Tabloul nr. 11

Picioarul	Tars	Tibia	Ge-nu-al	Total
I .....	1	2	1	4
II .....	1	2	1	4
III .....	1	1	1	3
Total.....				11

Perii netezi de pe primele articole ale picioarelor sunt indicați în tabloul nr. 11.

*Habitat.* Odorhei, frunzar de molift, 20 decembrie 1938 (3 larve), 10 ianuarie 1939 (9 larve). Borsec, raionul Miercurea Ciuc în terici de lemn, 7 septembrie 1948 (6 larve) și Breazu (Iași) în frunzar de stejar, 18 decembrie 1949 (o larvă).

### III. *Trombicula (Neotrombicula) autumnalis* Schaw 1778

Din această specie am găsit larve parazite pe cărtișă la Odorhei, Roman, și satul Cârligata din raionul Huedin.

Larvele parazite pe care le-am observat la trei cărtișe erau fixate în regiunea perineală. Numărul larvelor fixate era de la 10—20 de exemplare. La o altă cărtișă din Odorhei am găsit cîteva zeci de larve fixate în regiunea dorsală.

Dimensiunile larvelor variază cu gradul de umflare. M. André a observat dimensiuni maxime la larvele sătule și anume de 570  $\mu$  lungime și 270  $\mu$  lățime. Dimensiunile maxime la larvele observate de noi, care nu erau complet sătule, sunt notate în tabloul nr. 12 și exprimate în microni (fig. 30).

Tabloul nr. 12

	Odor-hei	Ro-man	Cârligata
Lungime .....	316 $\mu$	316 $\mu$	363 $\mu$
Lățime .....	196 $\mu$	244 $\mu$	254 $\mu$

Scutul dorsal al larvelor este de formă pentagonală (fig. 31). Dimensiunile scutului în microni la diferite exemplare sunt notate în tabloul nr. 13 în comparație cu exemplare străine.

Tabloul nr. 13

	Odorhei	Roman	Cârligata	Carintia (Metlagl)	Franța (André)	Anglia (Hirst)
Inălțime .....	52 $\mu$	65 $\mu$	65 $\mu$	65 $\mu$	50—61 $\mu$	62 $\mu$
Lățime .....	98 $\mu$	104 $\mu$	109 $\mu$	107 $\mu$	90—100 $\mu$	108 $\mu$

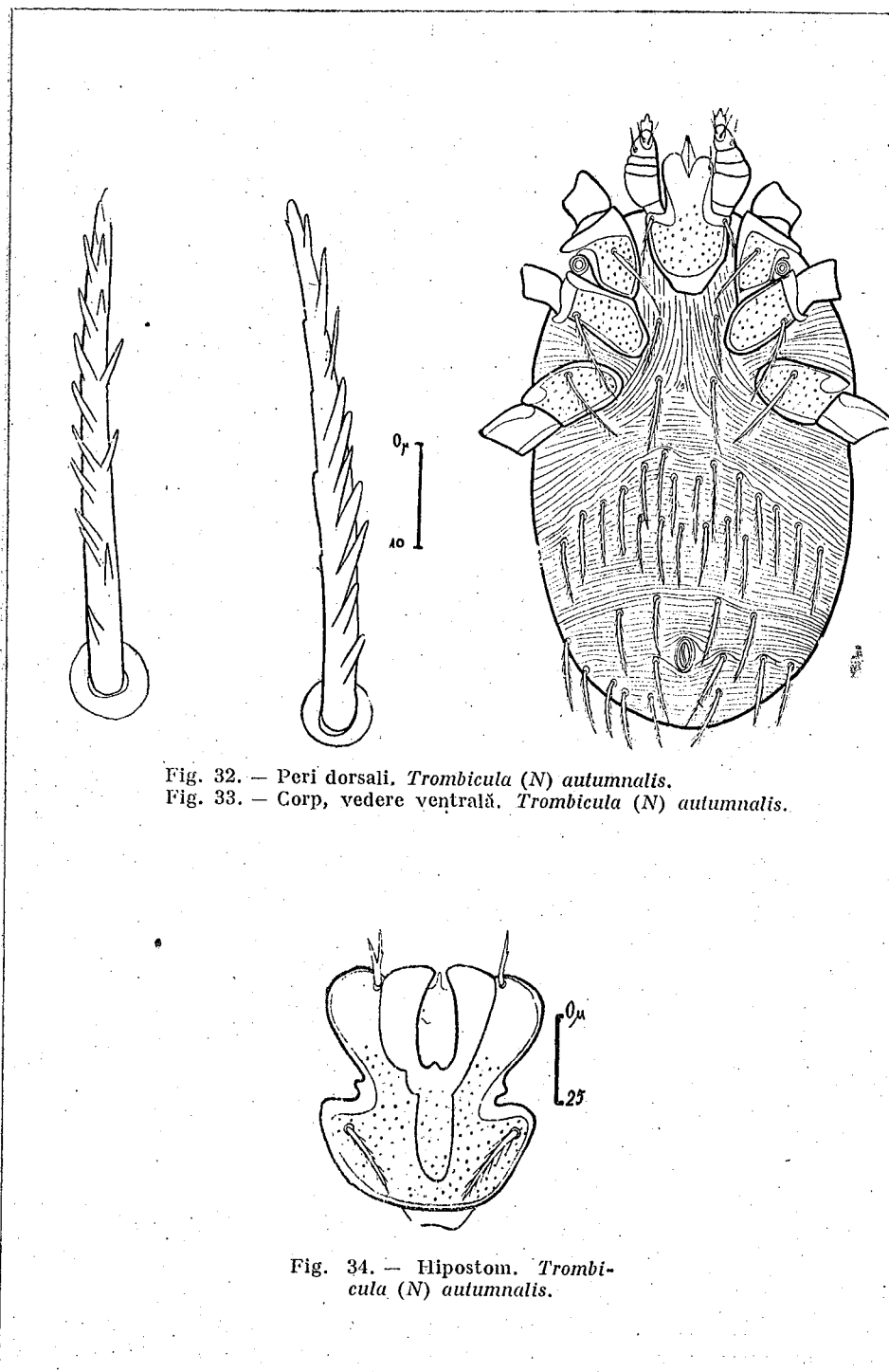


Fig. 32. — Peri dorsali. *Trombicula (N) autumnalis*.  
Fig. 33. — Corp, vedere ventrală. *Trombicula (N) autumnalis*.

Fig. 34. — Hipostom. *Trombicula (N) autumnalis*.

Perii scutului dorsal, în comparație cu exemplare străine, au dimensiunile arătate în tabloul nr. 14.

Tabloul nr. 14

Perii scutului	Odorhei	Roman	Cirligata	Carintia (Metlagl)	Franța (André)
Peri antero-laterali .....	36 $\mu$	39 $\mu$	51 $\mu$	—	—
Peri postero-laterali .....	62 $\mu$	55 $\mu$	73 $\mu$	—	—
Peri mediani .....	42 $\mu$	52 $\mu$	62 $\mu$	—	—
Peri sensiligeri .....	82 $\mu$	65 $\mu$	84 $\mu$	90 $\mu$	60—75 $\mu$

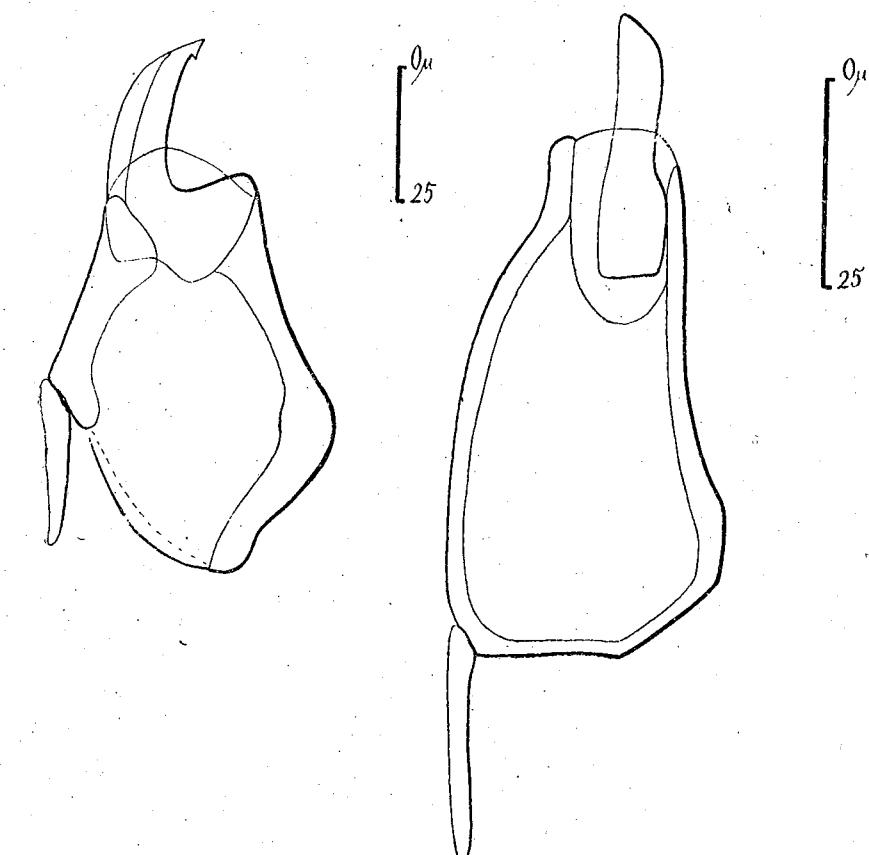


Fig. 35. — Mandibula, profil. *Trombicula (N) autumnalis*.  
Fig. 36. — Mandibula, vedere dorsală. *Trombicula (N) autumnalis*.

Din cele două tablouri precedente se observă că dimensiunile scutului și dimensiunile perilor săi variază între limite destul de largi.

Distanțele caracteristice la un exemplar sint următoarele:

Distanțe între perii antero-laterali .....	80 $\mu$
» » postero-laterali .....	102 $\mu$
» » antero-laterali și postero-laterali .....	69 $\mu$
» » sensiligeri .....	33 $\mu$
» » sensiligeri și marginea anteroioară ..	44 $\mu$
» » sensiligeri și marginea posterioară ..	29 $\mu$



Fig. 37. — Palp maxilar, profil. *Trombicula (N) autumnalis*.

In urma scutului, pe partea dorsală a abdomenului, se găsesc șase rînduri de peri (fig. 32). Perii sunt acoperiți cu barbe scurte masive, așezate în două rînduri, începînd dela baza rahisului. Pe partea ventrală a corpului se găsesc șase rînduri de peri, înafără de perii intercoxali (fig. 33). Numărul perilor

variază mult, atât la indivizii din R.P.R., cît și la indivizii aceleiași specii cităti de autori din alte țări.

Tabloul nr. 15

	Odorhei	Roman	Cîrligata	Franța (André)	Germania (Oudemans)	Anglia (Hirst)
Dorsali .....	31	36	27–43	34	36	34–40
Ventrali .....	31	24	34–36	26	42	23–35
Total.....	62	60	61–79	60	78	57–75

In tabloul nr. 15 se observă variația numărului perilor.

Lungimea perilor de pe fața dorsală și a celor de pe fața ventrală este diferită și variază la diferite exemplare din aceeași localitate sau din localități diferite, după cum se vede în tabloul nr. 16, unde lungimea este exprimată în microni.

Tabloul nr. 16

	Odorhei	Roman	Cîrligata	Franța (André)	Anglia (Hirst)	Austria (Metlagl)
Dorsali .....	55–65 $\mu$	42–55 $\mu$	51–65 $\mu$	42–50 $\mu$	50 $\mu$	60 $\mu$
Ventrali .....	34–44 $\mu$	33–43 $\mu$	25–47 $\mu$	—	—	—

Hipostomul are 75  $\mu$  lungime (fig. 34). Perii de pe lobii externi sunt bifurcați, iar strobili sunt penăți pe ambele laturi.

Mandibula are 91  $\mu$  (fig. 35 și fig. 36) din care ghiara are 39  $\mu$ , corpul 70  $\mu$  și apendicele 31  $\mu$ .

Palpii maxilaterali au 76  $\mu$  (fig. 37). Tarsul palpalui are nouă peri. Ghiara tibială este formată din trei ramuri.

Tabloul nr. 17

Piciorul	Odorhei	Roman	Cîrligata	Franța (André)	Anglia (Hirst)
I	229 $\mu$	251 $\mu$	242–260 $\mu$	235–250 $\mu$	217 $\mu$
II	187 $\mu$	200 $\mu$	181 $\mu$	190–200 $\mu$	175 $\mu$
III	244 $\mu$	243 $\mu$	255–260 $\mu$	220–240 $\mu$	208 $\mu$

Cele trei perechi de picioare fără coxe au următoarele lungimi, exprimate în microni (fig. 38, 39 și 40) (tabloul nr. 17).

Tabloul nr. 18

Tarsul	Odorhei	Roman	Cîrligata	Franța (André)	Anglia (Hirst)
I	68 $\mu$	75 $\mu$	65–69 $\mu$	80–91 $\mu$	90 $\mu$
II	97 $\mu$	65 $\mu$	62 $\mu$	—	—
III	85 $\mu$	79 $\mu$	76–83 $\mu$	—	—

Exemplarele dela noi au picioarele puțin mai lungi (fig. 35). Tarsul I la cele trei perechi de picioare are în microni lungimea arătată în tabloul nr. 18.

Tabloul nr. 19

Localitatea	Picior I						Picior II						Picior III						Total					
	Tars	Tibia	Genua I	Fem. II	Fem. I	Trochanter	Tars	Tibia	Genua I	Fem. II	Fem. I	Trochanter	Tars	Tibia	Genua I	Fem. II	Fem. I	Trochanter	Picior	Picior				
																				I	II	III	I	II
Odorhei	19	8	6	5	1	1	15	8	4	4	2	1	13	7	4	3	2	1	40	34	30	30	104	
Roman	19	8	6	5	1	1	15	7	4	4	2	1	15	7	4	3	2	1	40	33	32	32	105	
Franța (André)	21	9	7	5	1	1	14	7	4	4	1	1	15	7	4	2	1	1	44	31	30	30	105	

Picioarele prezintă peri penaj și peri netezi (senzitivi) al căror număr variază după perechea de picioare, după articol și după lotul de indivizi dintr-o localitate dată, după cum se observă în tabloul nr. 19.

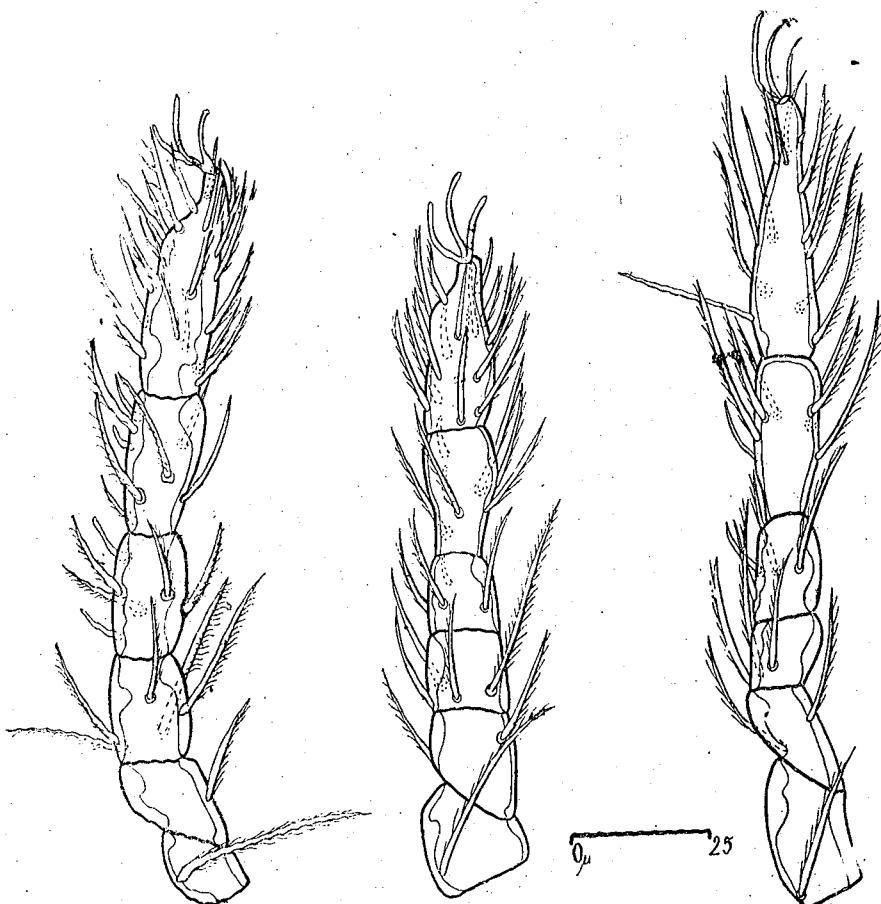


Fig. 38. — Picior I, profil. *Trombicula (N) autumnalis*.  
Fig. 39. — Picior II, profil. *Trombicula (N) autumnalis*.  
Fig. 40. — Picior III, profil. *Trombicula (N) autumnalis*.

Deși numărul perilor variază pe unele articole, totuși numărul total a perilor celor trei picioare este de 104—105 peri.

Numărul perilor netezi de pe primele articole ale celor trei picioare este același la exemplarele din cele trei localități citate:

Tabloul nr. 20

Piciorul	Tars	Tibia	Genua I	Total		
				I	II	III
I	1	2	2	5		
II	1	2	1	4		
III	1	1	1	3		
				Total....		12

Dimensiunile și numărul perilor corpului, deși caracteristice pentru specie variază între limite destul de mari. Cea mai bună caracteristică a speciei este dată de numărul total al perilor de pe picioare, care nu variază aproape de loc.

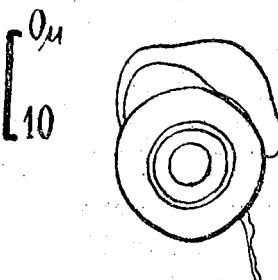


Fig. 41. — Stigma primitivă.  
*Trombicula (N) autumnalis*.

**Răspândirea geografică.** Această specie este răspândită în toată Europa. După M. André (1930) și Thor și Williamson (1947) (17) este mai intens răspândită în Europa centrală (Franța, Germania, Austria și Elveția) și mai puțin răspândită în U.R.S.S., Ungaria, Italia, Anglia și Danemarca. Se pare că la noi în țară această specie are o răspândire intermedieră între cele două categorii de răspândire pomenite mai sus.

#### VI. Observații asupra speciilor genului *Trombicula* din R.P.R.

După cercetările făcute de J. Brennan și C. W. Wharton în 1950 (10) și după cercetările acestora împreună cu D. Jenkins, S. Fuller, G. Kohls și C. B. Philip în 1951 (19), speciile genului *Trombicula* Berlese (1905) din Europa și din Paleogea aparțin subgenului *Neotrombicula* Hirst (1925) și anume grupei *autumnalis*, care se caracterizează prin prezența unui singur, păr, neted și lung (mastitarsala) pe tarsul piciorului III. Cercetările noastre asupra celor două specii noi din R.P.R. ale genului *Trombicula* (*Neotrombicula*) confirmă observațiile autorilor de mai sus. Speciile genului *Trombicula* din Neogea au două sau trei mastotarsale pe tarsul piciorului III.

Observațiile noastre ne-au arătat că perii de pe picioare constituie o caracteristică a fiecărei specii. Astfel la speciile observate de noi, pe cele trei perechi de picioare găsim totalul perilor în număr fix, precum și un număr fix de peri netezi, după cum se vede în tabloul nr. 21, în care sunt notați perii picioarelor din o jumătate a corpului.

Tabloul nr. 21

Specie	Total peri	Peri netezi
<i>Tr. (N.) autumnalis</i> ....	104—105	12
<i>Tr. (N.) pilosa</i> .....	102	11
<i>Tr. (N.) trägardhiana</i> ..	115	20

Observațiile noastre scot pentru prima dată în evidență importanța sistematică a numărului total al perilor de pe picioare.

Dacă pe lângă distanțele caracteristice ale scutului dorsal și lungimea perilor scutului, mai adăugăm numărul total al perilor de pe picioare și numărul perilor netezi de pe picioare, obținem o caracterizare mai precisă a speciilor genului *Trombicula*.

### НЕСКОЛЬКО ЛИЧИНОК РОДА TROMBICULA (ACARINA) И ОПИСАНИЕ СЛУЧАЯ ТРОМБИДИОЗА У ЯЩЕРИЦЫ ПРЫТКОЙ

#### (КРАТКОЕ СОДЕРЖАНИЕ)

Описывается новый вид *Trombicula (N) trägardhiana*, паразитирующий на *Lacerta agilis*. При этом указывается способ паразитирования, форма стилостомы и связь мандибул личинки со стилостомой. Описываются *Trombicula (N) pilosa* Feider 1948 и *Trombicula N. autumnalis* Shaw и приводятся новые данные о них. Особи последнего вида из Румынской Народной Республики сравниваются с особями других стран. Выявляется также значение характерных признаков щетинок на ногах для характеристики этих 3 видов *Trombicula* из РНР.

#### ОБЪЯСНЕНИЕ РИСУНКОВ

- Рис. 1. — Ящерица с тромбидиозом формы «Т».
- Рис. 2. — Ящерица с тромбидиозом крестообразной формы.
- Рис. 3. — Ящерица с тромбидиозом линейной формы или формы «Т».
- Рис. 4. — Чешуя крестцовой области с личинками-паразитами.
- Рис. 5. — Чешуя каудальной области с личинками-паразитами.
- Рис. 6. — Ареолы с мандибулярными ножнами формы «V», вид сверху.
- Рис. 7. — Стилостома в оптическом срезе. A — наружное кольцо, B — внутреннее кольцо, C — верхнее отверстие просвета стилостомы, D — ножны для мандибулярного когтя, E — слой, покрывающий просвет стилостомы, F — нижнее отверстие стилостомы G — стенка стилостомы, H — воронка ареолы, I — узелок зубца мандибулярного когтя, J — просвет канальца стилостомы.
- Рис. 8. — Способ прикрепления мандибулы и пальпов личинки к стилостому.
- Рис. 9. — Чешуя дорзальной области ящерицы с прикрепленными личинками и ареолами.
- Рис. 10. — *Trombicula (N) trägardhiana*. Тело, дорзальный вид.
- Рис. 11. — *Trombicula (N) trägardhiana*. Дорзальные щитки.
- Рис. 12. — *Trombicula (N) trägardhiana*. Дорзальные щетинки.
- Рис. 13. — *Trombicula (N) trägardhiana*. Тело, вентральный вид.

Рис. 14. — *Trombicula (N) trägardhiana*. Гипостома.

Рис. 15. — *Trombicula (N) trägardhiana*. Мандибулы *in situ*, дорзальный вид., A — mala exterior, B — зубец, C — псевдохела, D — мандибула.

Рис. 16. — *Trombicula (N) trägardhiana*. Максиллярный палып сбоку.

Рис. 17. — *Trombicula (N) trägardhiana*. Нога I, дорзальный вид.

Рис. 18. — *Trombicula (N) trägardhiana*. Нога II, дорзальный вид.

Рис. 19. — *Trombicula (N) trägardhiana*. Нога III, дорзальный вид.

Рис. 20. — *Trombicula (N) pilosa*. Тело, дорзальный вид.

Рис. 21. — *Trombicula (N) pilosa*. Дорзальный щит.

Рис. 22. — *Trombicula (N) pilosa*. Дорзальные щетинки.

Рис. 23. — *Trombicula (N) pilosa*. Тело, вентральный вид.

Рис. 24. — *Trombicula (N) pilosa*. Левая мандибула, дорзальный вид.

Рис. 25. — *Trombicula (N) pilosa*. Максиллярный палып, вентральный вид.

Рис. 26. — *Trombicula (N) pilosa*. Максиллярный палып, сбоку.

Рис. 27. — *Trombicula (N) pilosa*. Нога I, дорзальный вид.

Рис. 28. — *Trombicula (N) pilosa*. Нога II, дорзальный вид.

Рис. 29. — *Trombicula (N) pilosa*. Нога III, дорзолатеральный вид.

Рис. 30. — *Trombicula (N) autumnalis*. Тело, дорзальный вид.

Рис. 31. — *Trombicula (N) autumnalis*. Дорзальный щит.

Рис. 32. — *Trombicula (N) autumnalis*. Дорзальные щетинки.

Рис. 33. — *Trombicula (N) autumnalis*. Тело, вентральный вид.

Рис. 34. — *Trombicula (N) autumnalis*. Гипостома.

Рис. 35. — *Trombicula (N) autumnalis*. Мандибула, сбоку.

Рис. 36. — *Trombicula (N) autumnalis*. Мандибула, дорзальный вид.

Рис. 37. — *Trombicula (N) autumnalis*. Максиллярный палып, сбоку.

Рис. 38. — *Trombicula (N) autumnalis*. Нога I, сбоку.

Рис. 39. — *Trombicula (N) autumnalis*. Нога II, сбоку.

Рис. 40. — *Trombicula (N) autumnalis*. Нога III, сбоку.

Рис. 41. — *Trombicula (N) autumnalis*. Общая стигма.

### QUELQUES LARVES DU GENRE TROMBICULA (ACARIENS)

#### DESCRIPTION D'UN CAS DE TROMBIDIose DU LÉZARD LACERTA AGILIS

#### (RÉSUMÉ)

L'Auteur décrit une espèce nouvelle de *Trombicula (N) trägardhiana* parasite des *Lacerta agilis*. Il décrit en même temps le mode du parasitisme la forme du stylostome et l'attache des mandibules de la larve et du stylostome. L'Auteur apporte de nouvelles données à la description de *Trombicula (N) pilosa* Feider 1948 et *Trombicula N. autumnalis* Shaw. Il compare les exemplaires de cette dernière espèce que l'on trouve dans la République Populaire Roumaine à des exemplaires provenant d'autres pays. Il souligne aussi l'importance des caractères des soies des pattes pour caractériser les trois espèces de *Trombicula* de la R. P. Roumaine.

#### EXPLICATION DES FIGURES

Fig. 1. — Lézard à trombidiose en forme de «T».

Fig. 2. — Lézard à trombidiose en forme de croix.

Fig. 3. — Lézard à trombidiose linéaire ou en forme de «T».

Fig. 4. — Ecailles de la région sacrée à larves parasites.

Fig. 5. — Ecailles de la région caudale à larves parasites.

Fig. 6. — Aréoles, vues d'en haut, au fourreau mandibulaire en forme de «V».

Fig. 7. — Section optique du stylostome. A = anneau externe; B = anneau interne; C = orifice supérieur de la lumière du stylostome; D = fourreau de la griffe mandibulaire; E = pellicule entourant la lumière du stylostome; F = orifice intérieur du stylostome; G = paroi du stylostome; H = entonnoir de l'aréole; I = nodule qui retient le denticule de la griffe mandibulaire; J = lumière du canal du stylostome.

- Fig. 8. — La manière dont les mandibules et les palpes de la larve se fixent au stylosome.
- Fig. 9. — Ecailles de la région dorsale du lézard à aréoles et larves fixées.
- Fig. 10. — Vue dorsale du corps. *Trombicula (N) trågardhiana*.
- Fig. 11. — Ecusson dorsale. *Trombicula (N) trågardhiana*.
- Fig. 12. — Soies dorsales. *Trombicula (N) trågardhiana*.
- Fig. 13. — Vue ventrale du corps. *Trombicula (N) trågardhiana*.
- Fig. 14. — Hypostome. *Trombicula (N) trågardhiana*.
- Fig. 15. — Vue dorsale des mandibules *in situ*. A = mala externe; B = denticule; C = pseudochelate; D = mandibule. *Trombicula (N) trågardhiana*.
- Fig. 16. — Palpe maxillaire, de profil. *Trombicula (N) trågardhiana*.
- Fig. 17. — Vue dorsale de la patte I. *Trombicula (N) trågardhiana*.
- Fig. 18. — Vue dorsale de la patte II. *Trombicula (N) trågardhiana*.
- Fig. 19. — Vue dorsale de la patte III. *Trombicula (N) trågardhiana*.
- Fig. 20. — Corps, vue dorsale. *Trombicula (N) pilosa*.
- Fig. 21. — Ecusson dorsal. *Trombicula (N) pilosa*.
- Fig. 22. — Soies dorsales. *Trombicula (N) pilosa*.
- Fig. 23. — Vue ventrale du corps. *Trombicula (N) pilosa*.
- Fig. 24. — Vue dorsale de la mandibule gauche. *Trombicula (N) pilosa*.
- Fig. 25. — Vue ventrale du palpe maxillaire. *Trombicula (N) pilosa*.
- Fig. 26. — Palpe maxillaire, vu de profil. *Trombicula (N) pilosa*.
- Fig. 27. — Vue dorsale de la patte I. *Trombicula (N) pilosa*.
- Fig. 28. — Vue dorsale de la patte II. *Trombicula (N) pilosa*.
- Fig. 29. — Vue dorso-latérale de la patte III. *Trombicula (N) pilosa*.
- Fig. 30. — Vue dorsale du corps. *Trombicula (N) autumnalis*.
- Fig. 31. — Ecusson dorsal. *Trombicula (N) autumnalis*.
- Fig. 32. — Soies dorsales. *Trombicula (N) autumnalis*.
- Fig. 33. — Vue ventrale du corps. *Trombicula (N) autumnalis*.
- Fig. 34. — Hypostome. *Trombicula (N) autumnalis*.
- Fig. 35. — Mandibule, vu de profil. *Trombicula (N) autumnalis*.
- Fig. 36. — Vue dorsale de la mandibule. *Trombicula (N) autumnalis*.
- Fig. 37. — Palpe maxillaire, vu de profil. *Trombicula (N) autumnalis*.
- Fig. 38. — Profil de la patte I. *Trombicula (N) autumnalis*.
- Fig. 39. — Profil de la patte II. *Trombicula (N) autumnalis*.
- Fig. 40. — Profil de la patte III. *Trombicula (N) autumnalis*.
- Fig. 41. — Stigmate primitif. *Trombicula (N) autumnalis*.

## BIBLIOGRAFIE

- André Marc, C. R. Assoc. franç. pour l'avancement des sciences, 1928, p. 1-3.
- Bull. Soc. Zool. de France, 1928, t. 53, Nr. 6, p. 368-370.
- Bull. du Muséum, 1929, t. 1, nr. 6, p. 401-405.
- Contribution à l'étude d'un Acarien: le *Trombicula autumnalis* Shaw. Paris, 1930.
- Ann. de Parasitologie, 1930, nr. 3-4, p. 355-361.
- Archivio Zoologico Italiano, 1930, t. 16, p. 1350-1354.
- Bull. Soc. Zool. de France, 1938, t. 63, p. 45-47.
- Bull. du Muséum, 1949, t. 21, nr. 5, p. 357-359.
- Bull. du Muséum, 1950, t. 22, nr. 5, p. 357-359.
- Brennan J. și Wharton G. W., American Midland Naturalist, 1950, t. 44, nr. 1, p. 153-197.
- Brumpt E., Précis de Parasitologie. Masson, et Cie, Paris, 1936.
- Feider Z., Ann. Sci. Univ. Jassy, 1948, t. 31, p. 202.
- An. Acad. R.P.R., 1950, t. 3, nr. 5, p. 215.
- Kirşenblat G. D., Anal. Rom.-Sov., Seria Biologie, 1951, nr. 7, p. 65-84.
- Oudemans A. C., Zool. Jahrbücher, 1913, Supplement 14, p. 5-45.
- Pavlovski E. N., Zoologicheski jurnal, 1952, t. 31, p. 785-792.
- Thor S. și Willmann G., Fam. *Trömbidiidae* (*Tierreich*). Walter de Gruyter, Berlin, 1947.
- Vitzthum H., Acari (*Tierwelt Mitteleuropas*, b. 3, 1. 3). Quelle u. Meyer, Leipzig 1929.
- Wharton G. W., Jenkins D. W., Brennan J. M., Fuller H. S., Kohls G. M. și Philip C. B., Journal of Parasitology, 1951, t. 37, nr. 1, p. 13-31.

BULETIN ȘTIINȚIFIC  
SECȚIUNEA DE ȘTIINȚE BIOLOGICE, AGRONOMICE,  
GEOLOGICE ȘI GEOGRAFICE  
Tomul V, nr. 4, 1953

CONTRIBUȚII LA CUNOAŞTEREA FAUNEI  
DE MONOGENEE DIN R.P.R.

DE

ELENA ROMAN

Comunicare prezentată de GR. ELIESCU, membru corespondent al Academiei R.P.R., în ședința din 27 octombrie 1953

În cursul anilor 1951 și 1952, studiind din punct de vedere parazitologic, principalele specii de pești din Dunăre, am avut ocazia să constatăm o infestare aproape generală a peștilor cu diferite monogenee (aproximativ 94,73%). Prelucrarea mai departe a acestui material a scos la iveală o serie întreagă de specii, care, după toate probabilitățile, au scăpat pînă acum atenției cercetătorilor noștri.

Din introducerea făcută de I. Rădulescu la lucrarea sa de doctorat (*Contribuții la cunoașterea paraziților peștilor din România*), reiese că, pentru prima dată în România, N. Leon a descris o specie de monogenee. Aceasta, între anii 1908-1911, studiind paraziții peștilor din colecția laboratorului de Istorie Naturală al Facultății de Medicină din Iași, a găsit de mai multe ori la biban (*Perca fluviatilis*) pe *Dactylogyrus auriculatus*. Cîțiva ani mai tîrziu, O. Marcu publică o listă de paraziți ai peștilor din eleștele Moldovei de nord și ale Dorohoiului. În această listă este citat *Gyrodactylus elegans*, pe care autorul l-a găsit foarte des și în cantitate foarte mare pe suprafața corpului la caras (*Carassius carassius*). În anul 1936, Gr. Iamandi, studiind știucile pescuite în rîurile Jijia și Prut, alcătuiește o listă a paraziților găsiți, între care citează și pe *Ancyrocephalus tetraonchus* (= *Tetraonchus monenteron*). Cam în același timp, V. Zemianovski găsește la crapii cultivate în eleștele din Moldova de Nord, pe *Gyrodactylus* sp. În sfîrșit I. Rădulescu, în lucrarea sa de doctorat, citează următoarele specii de monogenee: *Dactylogyrus vastator* var. minor (nov. var.) și *D. anchoratus*, la *Cyprinus carpio*; *Gyrodactylus medius*, la *Gasterosteus aculeatus* (Tăbăcărie), la *Pomatoschistus microps* (Marea Neagră) și la *Phoxinus phoxinus* (Comana); *Diplozoon paradoxus*, la *Rhodeus sericeus* (Nucet) și la *Rutilus rutilus* (Comana).

Tinînd seama de lipsa de date asupra găsirii de monogenee la peștii apelor din România, am socotit că este necesar să publicăm lista și descrierea speciilor găsite de noi la peștii din Dunăre știind că acești paraziți, în anumite condiții, pot să aducă mari pierderi în economia piscicolă.

Materialul a fost recoltat în localitățile: Bistrețu, Corabia, Suhaiia, Greaca, Oltenița, Călărași, Deltă (Mila 23), în intervalul dela 31 iulie - 6 septembrie

1951 și dela 13 mai – 20 august 1952. Prelucrarea ulterioară a materialului recoltat a fost făcută la Leningrad, în laboratorul de Zoologia nevertebratelor dela Universitatea de Stat «A. A. Jdanov», sub conducerea prof. V. A. Doghel și în laboratorul de Parazitologie dela Institutul Zoologic al Academiei de Științe a U.R.S.S., sub conducerea lui B. E. Bikovski.

După cum reiese din tabloul Nr. 1, monogeneele găsite de noi în Dunăre aparțin următoarelor patru familii: *Dactylogyridae*, *Tetraonchidae*, *Gyrodactylidae* și *Discocotylidae*. (Întreaga nomenclatură adoptată de noi în articolul de față este aceea stabilită de către B. E. Bikovski, întru cît ea apare în momentul de față ca fiind cea mai rațională).

## Clasa MONOGENOIDEA

### A. Subclasa POLYONCHOINEA

#### Ordinul DACTYLOGYRIDEA

##### Familia DACTYLOGYRIDAE

###### 1. *Dactylogyrus amphibothrium* Wagener, 1857

Prezintă două proeminențe pe laturile corpului. Lungimea generală a corpului este de 0,51 mm iar lățimea de 0,081 mm. Discul de fixare este puțin mai îngust decât lățimea maximă a corpului. Cîrligile mediane sunt prevăzute cu două ramuri: una dorsală și una ventrală, scurte (lungimea lor totală

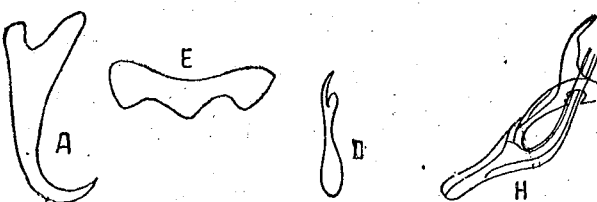


Fig. 1. – *Dactylogyrus amphibothrium* Wagener, 1857.  
A = cîrlig median; D = cîrlig marginal; E = placă de legătură; H = aparat copulator.

0,037 mm; partea bazală 0,31 mm; vîrful 0,015 mm). Cîrligile marginale 0,021 mm. Are o singură placă de legătură (lungimea ei 0,034 mm).

Aparatul copulator constă dintr-un tub ușor lătit la bază, și din placa de sustinere în formă de furcă (lungimea generală de 0,053 mm).

Gazdă: ghiorțul (*Acerina cernua*).

Localizare: branhiile.

Locul recoltării: Dunărea (Greaca, Deltă – Mila 23)

###### 2. *Dactylogyrus anchoratus* (Dujardin, 1845)

sin.: *Gyrodactylus auricularis* Wedl, 1857

Dimensiunile corpului: 0,53 mm × 0,071 mm. Discul de fixare este neclar delimitat de restul corpului. Lungimea totală a cîrligelor mediane întrece cu

mult lungimea discului de fixare (lungimea totală 0,115 mm; ramura dorsală 0,062 mm; ramura ventrală redusă cu totul). Prezintă o singură placă de legătură (lungimea ei este de 0,021 mm). Cîrligile marginale 0,015 mm.

Aparatul copulator constă dintr-o bază slab dezvoltată, dintr-un tub drept sau ușor îndoit, și dintr-o placă de susținere prevăzută cu un cîrlig lateral. Lungimea generală a aparatului copulator 0,030 mm.

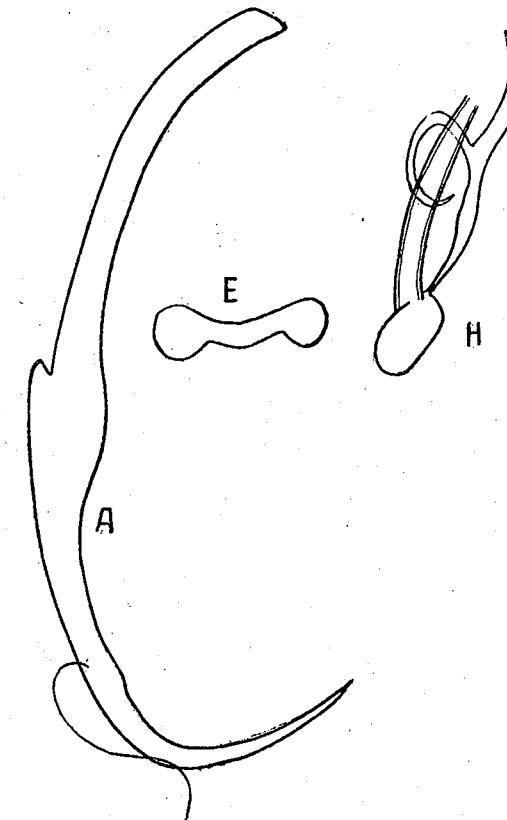


Fig. 2. – *Dactylogyrus anchoratus* (Dujardin, 1845).  
A = cîrlig median; E = placă de legătură; H = aparat copulator.

Gazdă: crapul (*Cyprinus carpio*), caras (*Carassius carassius*).

Localizare: branhiile.

Locul recoltării: Dunărea (Corabia, Călărași, Deltă – Mila 23).

###### 3. *Dactylogyrus auriculatus* (Nordmann, 1832) Nybelin, 1936

sin.: *Gyrodactylus auriculatus* Nordmann, 1832

*Dactylogyrus* sp. Wegener, 1909

*Dactylogyrus wunderi* Bychowski, 1931 (partim)

Lungimea corpului este de 0,46 mm. Lungimea generală a cîrligelor mediane de 0,062 mm. Ramura ventrală este bine dezvoltată, spre deosebire de cea dorsală, care este redusă. Are o singură placă de legătură cu capetele ascuțite și îndreptate în jos, (lungimea ei 0,028 mm). Cîrligile marginale 0,028 mm.

Aparatul copulator se caracterizează prin prezența unui tub lung ca un fir, care formează o buclă înainte de a se termina.

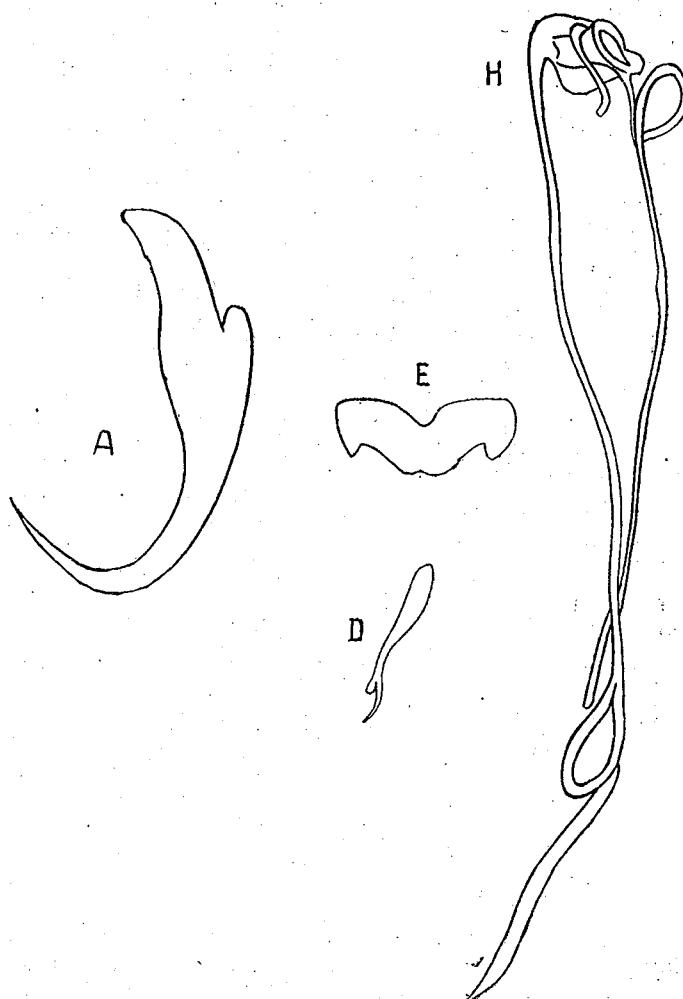


Fig. 3. — *Dactylogyrus auriculatus* (Nordmann, 1832).  
A = cîrlig median; D = cîrlig marginal; E = placă de legătură; H = aparat copulator.

Gazdă: plătica (*Abramis brama*).

Localizare: branhiile.

Locul recoltării: Dunărea (Bistrețu, Corabia, Suhai, Greaca, Călărași, Delta — Mila 23).

#### 4. *Dactylogyrus carpathicus* Zachvatkin, 1951

Dimensiunile corpului sunt de  $0,40 \text{ mm} \times 0,10 \text{ mm}$ . Discul de fixare este mai îngust decât lățimea maximă a corpului. Cîrligele mediane destul de puter-

nice, cu partea bazală lată și cu vîrful bine ascuțit (lungimea lor generală 0,056 mm; lungimea ramurei dorsale 0,015 mm; lungimea ramurei ventrale 0,012 mm). Placa dorsală de legătură este în formă de arc (lungimea ei 0,037 mm); placa ventrală de legătură este prevăzută cu cinci ramuri (0,031 mm).

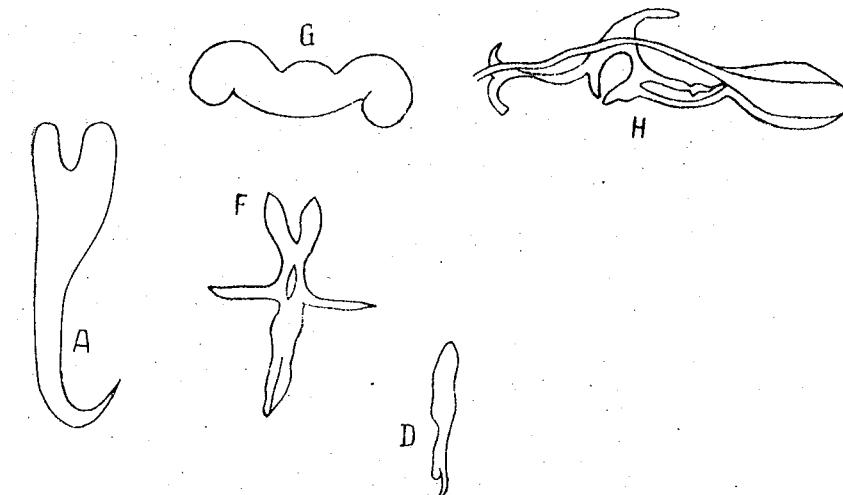


Fig. 4. — *Dactylogyrus carpathicus* Zachvatkin, 1951.  
A = cîrlig median; D = cîrlig marginal; F = placă ventrală de legătură;  
G = placă dorsală de legătură; H = aparat copulator.

Aparatul copulator este reprezentat de un tub lung, cu un capăt în formă de pîlnie, așezat ca într-un jghiab pe fundul plăcii de susținere.

Gazdă: inreana (*Barbus barbus*).

Localizare: branhiile.

Locul recoltării: Dunărea (Oltenița, Călărași).

#### 5. *Dactylogyrus chondrostomi* Malewitzkaja, 1941

Lungimea totală a corpului este de 0,51 mm iar lățimea de 0,12 mm. Cîrligele mediane 0,065 mm (ramura ventrală slab dezvoltată; ramura dorsală 0,025 mm; partea bazală 0,046 mm; vîrful 0,018 mm). Are o singură placă de legătură, lată și cu prelungiri îndreptate în jos, la ambele capete (lungimea ei 0,020 mm). Cîrligele marginale 0,020 mm.

Aparatul copulator este alcătuit dintr-o bază în formă de jghiab, un tub copulator care pornește dela bază avînd aspectul unei pîlnii și mai departe se subțiază pînă ce devine un fir (lungimea generală 0,053 mm).

Gazdă: scobarul (*Chondrostoma nasus*).

Localizare: branhiile.

Locul recoltării: Dunărea (Greaca, Călărași).

#### 6. *Dactylogyrus crucifer* Wagener, 1857

sin.: *Dactylogyrus dujardiniensis* Linstow, 1875

Lungimea corpului este de 0,52 mm iar lungimea cîrligelor mediane de 0,040 mm (ramura dorsală 0,015 mm; ramura ventrală 0,003 mm; partea

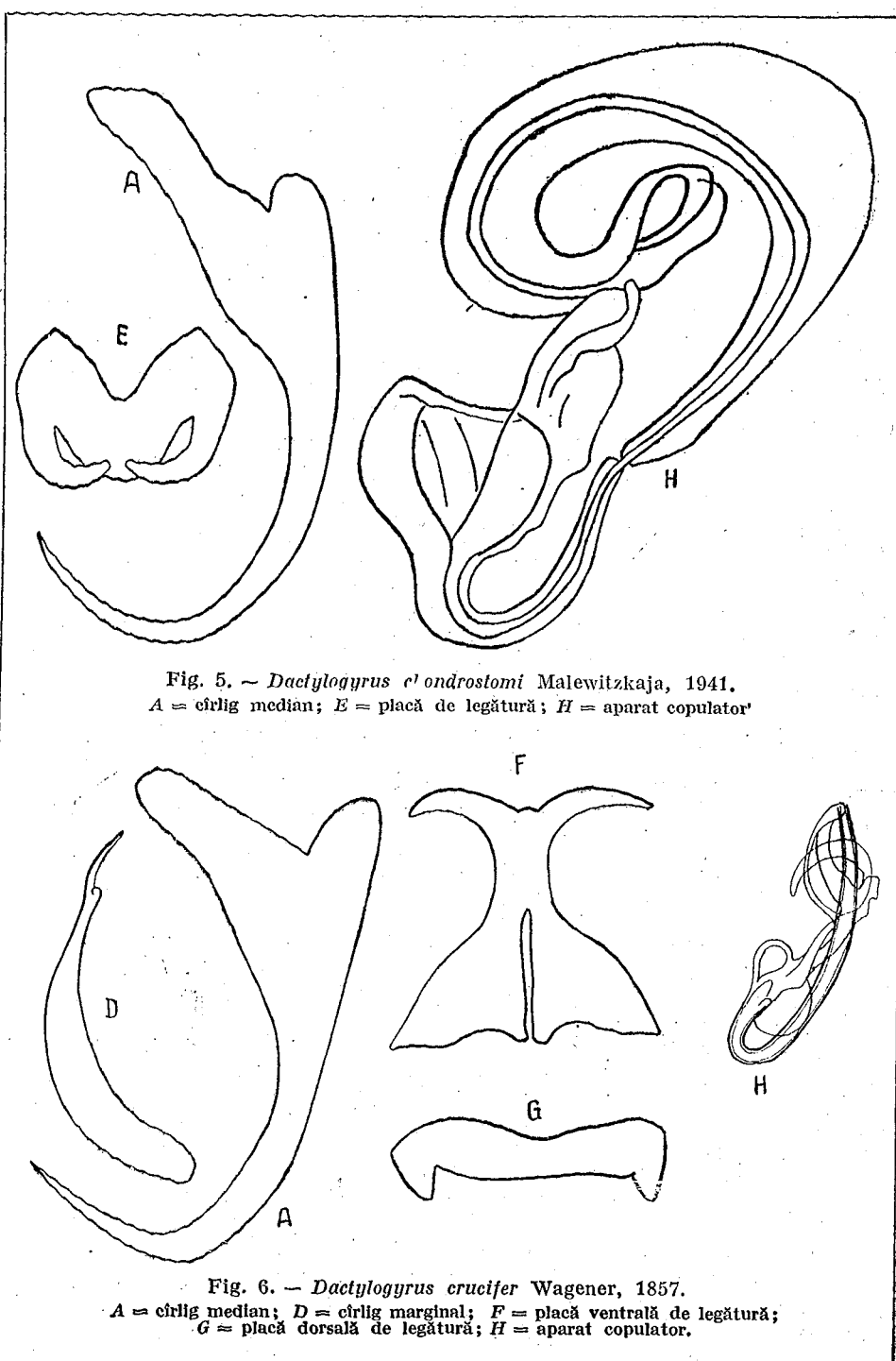


Fig. 5. — *Dactylogyrus c' ondostomi* Malewitzkaja, 1941.  
A = cîrlig median; E = placă de legătură; H = aparat copulator.

Fig. 6. — *Dactylogyrus crucifer* Wagener, 1857.  
A = cîrlig median; D = cîrlig marginal; F = placă ventrală de legătură;  
G = placă dorsală de legătură; H = aparat copulator.

bazală 0,030 mm; vîrful 0,011 mm). Placa dorsală de legătură este în formă de arc; placa ventrală de legătură prezintă patru ramuri bine dezvoltate, late și simetrice (nu se observă întotdeauna). Cîrligele marginale sunt de 0,025 mm.

Aparatul copulator este mare și complicat. Baza se caracterizează prin prezența unor părți în formă de aripi, așezate la originea tubului. Acesta din urmă are forma unui arc. Placa de susținere este bifurcată la capătul său liber, formând un cîrlig masiv și o plăcuță îndoită (lungimea generală 0,050 mm).

Gazda: babușca (*Rutilus rutilus*).

Localizarea: branhiile.

Locul recoltării: Dunărea (Călărași, Deltă—Mila 23).

#### 7. *Dactylogyrus difformis* Wagener, 1857

Dimensiunile corpului sunt de 0,31 mm × 0,09 mm. Discul de fixare este bine dezvoltat. Părțile chitinoase ale aparatului copulator și ale aparatului de fixare variază în limite foarte largi. Cîrligele mediane 0,040 mm (ramura dor-

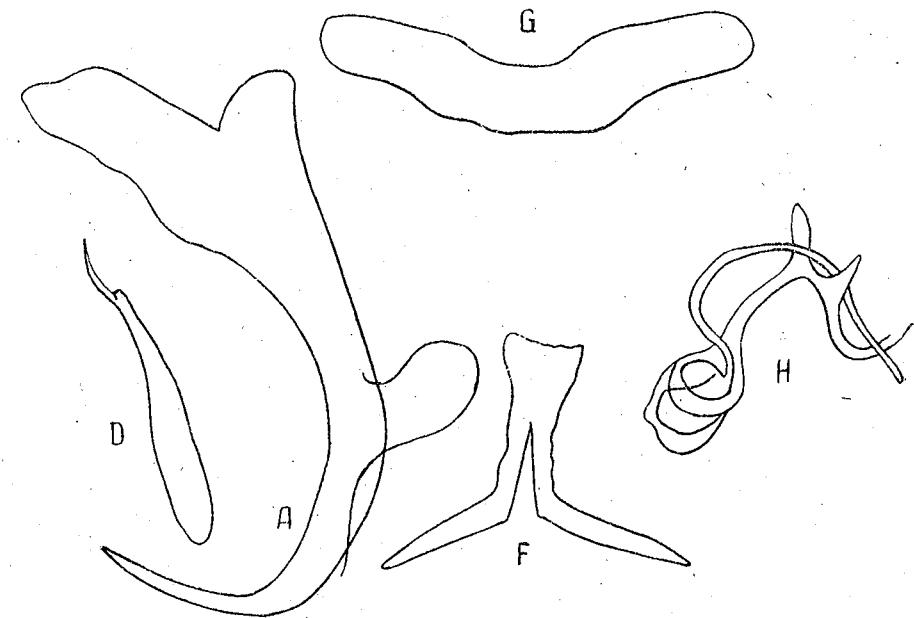


Fig. 7. — *Dactylogyrus difformis* Wagener, 1857.  
A = cîrlig median; D = cîrlig marginal; F = placă ventrală de legătură;  
G = placă dorsală de legătură; H = aparat copulator.

sală 0,018 mm; ramura ventrală 0,006 mm; partea bazală 0,013 mm; vîrful 0,012 mm). Placa dorsală de legătură are forma de  $\perp$ , cu ramura verticală adinc despicată. Cîrligele marginale 0,025 mm.

Aparatul copulator este format dintr-o bază slab dezvoltată, care de fapt reprezintă o dilatație în formă de pîlnie a tubului copulator. Acesta din urmă este îndoit în formă de arc și se întinde aproape paralel cu placa de susținere. Placa de susținere începe ca un țăruș subțire și se lărgește puțin spre

capătul distal, unde este prevăzută cu prelungiri (lungimea aparatului copulator este de 0,031 mm).

Gazdă: răsioara (*Scardinius erythrophthalmus*).

Localizare: branhiile

Locul recoltării: Dunărea (Greaca, Delta - Mila 23).

#### 8. *Dactylogyrus intermedius* Wegener, 1909

Lungimea corpului de 0,62 mm iar lățimea 0,12 mm. Cîrligele mediane au ramuri bine dezvoltate (lungimea totală 0,025 mm; ramura dorsală 0,015 mm; ramura ventrală 0,009 mm; partea bazală 0,021 mm; vîrf 0,012 mm). Prezintă o singură placă de legătură (lungimea ei este de 0,025 mm). Cîrligele marginale de 0,034 mm.

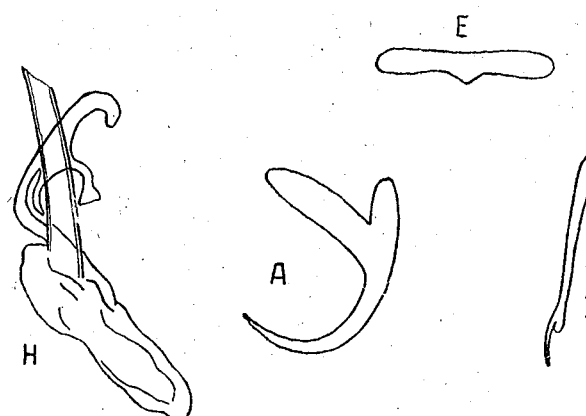


Fig. 8. - *Dactylogyrus intermedius* Wegener, 1909.  
A = cîrlig median; D = cîrlig marginal; F = placă ventrală de legătură; H = aparat copulator.

Aparatul copulator este alcătuit dintr-o bază de formă unei plăci neregulat ovale, din tubul copulator scurt și destul de lat, și din placă de susținere, care se termină susținându-se la vîrf și ramificându-se (lungimea generală 0,062 mm).

Gazdă: carasul (*Carassius carassius*).

Localizare: branhiile.

Locul recoltării: Dunărea (Delta - Mila 23).

#### 9. *Dactylogyrus malleus* Linstow, 1877

Dimensiunile corpului sunt de 0,61 mm × 0,24 mm. Cîrligele mediane sunt lungi, cu vîrful relativ mic și ramurile bine dezvoltate (lungimea generală 0,062 mm; ramura dorsală 0,021 mm; ramura ventrală 0,006 mm; partea bazală 0,050 mm). Placa dorsală de legătură este în formă de arc (0,040 mm). Placa ventrală de legătură are forma  $\perp$ , cu ramura verticală lată și străbătută de un orificiu.

Aparatul copulator este format din tubul copulator lătit la bază în formă de con, și din placă de susținere care are formă unei lame lungi ce formează o buclă la început și care se lățește mult la capătul anterior. Această parte lătită a plăcii de susținere e prevăzută cu două ramificații în formă de spini. Tubul copulator e lung și formează două bucle.

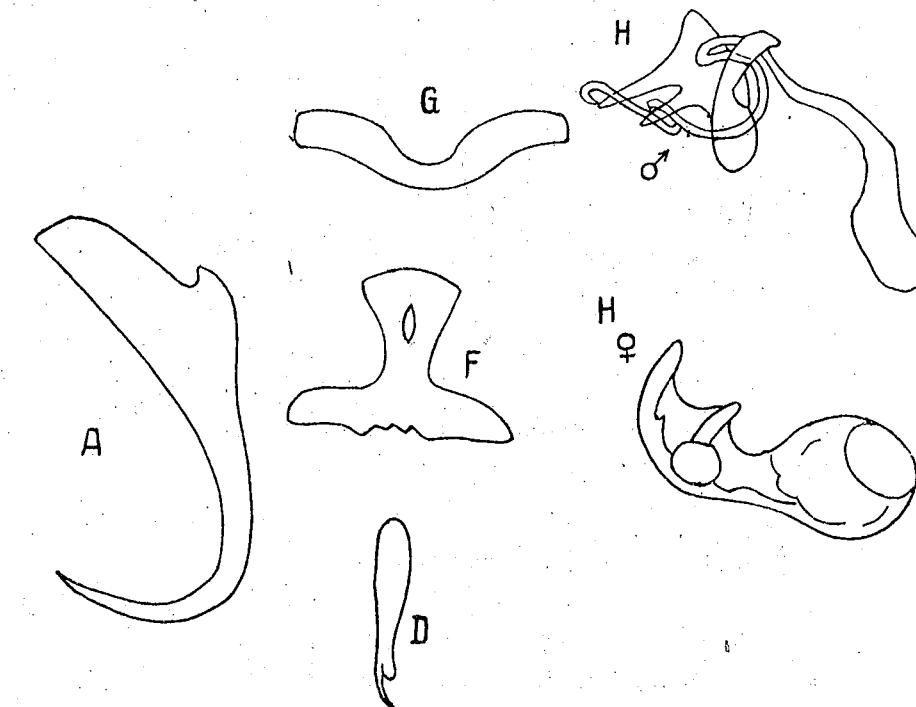


Fig. 9. - *Dactylogyrus malleus* Linstow, 1877.  
A = cîrlig median; D = cîrlig marginal; F = placă ventrală de legătură;  
G = placă dorsală de legătură; H ♂ și ♀ = aparat copulator.

Gazdă: mreana (*Barbus barbus*).

Localizare: branhiile.

Locul recoltării: Dunărea (Oltenia, Călărași).

#### 10. *Dactylogyrus maeracanthus* Wegener, 1909

Lungimea corpului este de 0,69 mm, iar lățimea 0,15 mm. Cîrligele mediane sunt masive, cu ramurile dorsale bine dezvoltate și vîrfurile lungi (lungimea generală 0,059 mm; ramura dorsală 0,021 mm; ramura ventrală 0,021 mm; partea bazală 0,043 mm; vîrf 0,028). Placa dorsală de legătură are aspectul unei lame late cu capetele îndoite în jos (lungimea ei 0,046 mm). Placa ventrală de legătură este mult mai mică și mai subțire decât placa dorsală (lungimea ei 0,021 mm). Cîrligele marginale neegale în lungime (0,031 mm - 0,034 mm).

Aparatul copulator este simplu construit: baza are formă de lopată; tubul copulator este scurt și lat; placă de susținere are aspectul unei lame

triunghiulare cu trei ramificații, dintre care una este în formă de ghiară. (lungimea aparatului copulator este de 0,050 mm.)

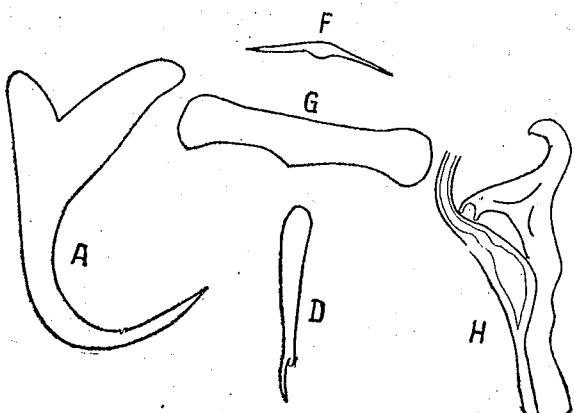


Fig. 10. — *Dactylogyrus macracanthus* Wegener, 1909.  
A = cîrlig median; D = cîrlig marginal; F = placă ventrală de legătură;  
G = placă dorsală de legătură; H = aparat copulator.

Gazdă: linul (*Tinca tinca*).

Localizare: branhiile.

Locul recoltării: Dunăre (Deltă—Mila 23).

#### 11. *Dactylogyrus nanus* Dogiel et Bychowsky, 1934

sin.: *Dactylogyrus gemellus* Nybelin, 1937

Dimensiunile corpului sunt  $0,30 \text{ mm} \times 0,05 \text{ mm}$ . Cîrligele mediane prezintă o parte proximală lățită și una distală foarte ascuțită (lungimea generală  $0,032 \text{ mm}$ ; ramura dorsală  $0,010 \text{ mm}$ ; ramura ventrală  $0,005 \text{ mm}$ ; partea bazală  $0,025 \text{ mm}$ ; vîrful  $0,0010 \text{ mm}$ ). Placa dorsală de legătură are forma unei lame cu capetele ascuțite și îndoite (lungimea ei  $0,025 \text{ mm}$ ). Placa ventrală de legătură are forma de  $\perp$ , cu un sănț adânc vertical. Cîrligele marginale  $0,021 \text{ mm}$ .

Aparatul copulator este alcătuit dintr-o bază ovală, din tubul copulator îndoit în semicerc, și din placă de susținere, care are la capătul distal două ramificații: una în formă de spin și alta ca o plăcuță în formă de potcoavă (lungimea generală a aparatului copulator  $0,027 \text{ mm}$ ).

Gazdă: babușca (*Rutilus rutilus*).

Localizare: branhiile.

Locul recoltării: Dunărea (Deltă—Mila 23).

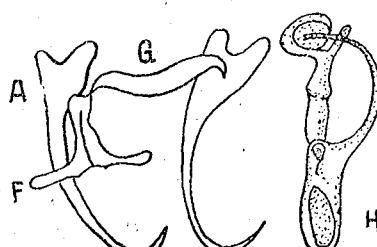


Fig. 11. — *Dactylogyrus nanus* (după Dogiel și Bychowsky).  
A = cîrlig median; F = placă ventrală de legătură; G = placă dorsală de legătură; H = aparat copulator.

#### 12. *Dactylogyrus simplicimalleata* Bychowsky, 1931

Dimensiunile corpului sunt  $0,62 \text{ mm} \times 0,17 \text{ mm}$ . Cîrligele mediane lungi (lungimea lor generală  $0,062 \text{ mm}$ ; ramura dorsală  $0,015 \text{ mm}$ ; ramura ventrală  $0,009 \text{ mm}$ ; partea bazală  $0,053 \text{ mm}$ ; vîrful  $0,021 \text{ mm}$ ). Placa dorsală de legătură în formă de T, cu brațe scurte și groase. Placa ventrală de legătură

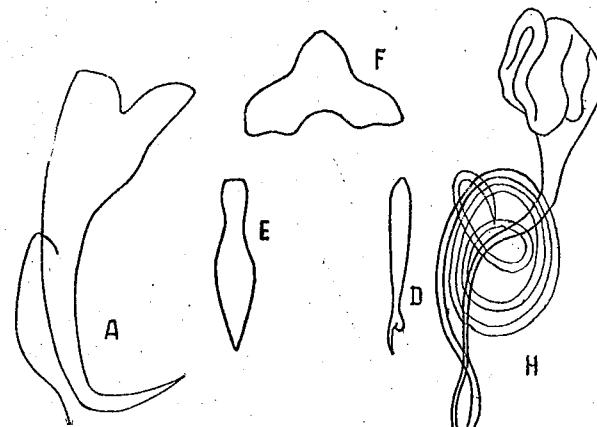


Fig. 12. — *Dactylogyrus simplicimalleata* Bychowsky, 1931.  
A = cîrlig median; D = cîrlig marginal; E = placă de legătură;  
F = placă ventrală de legătură; H = aparat copulator.

în formă de cui, cu o ușoară îngroșare în partea de mijloc. Cîrligele marginale  $0,031 \text{ mm}$ .

Aparatul copulator se compune dintr-o bază ovală dela care pleacă, pe de o parte, un arc subțire ce se continuă cu o formătune mult lățită, iar pe de altă parte, pleacă tubul copulator foarte lung. Acesta din urmă este învîrtit într-o spirală cu 3-4 ture.

Gazdă: sabița (*Pelecus cultratus*).

Localizare: branhiile.

Locul recoltării: Dunărea (Călărași, Deltă—Mila 23).

#### 13. *Dactylogyrus similis* Wegener, 1909

Lungimea corpului este de  $0,54 \text{ mm}$  iar lățimea de  $0,12 \text{ mm}$ . Cîrligele mediane se caracterizează prin prezența unei ramuri dorsale foarte lungi (lungimea totală  $0,065 \text{ mm}$ ; ramura dorsală  $0,046 \text{ mm}$ ; partea bazală  $0,025 \text{ mm}$ ; vîrful  $0,012 \text{ mm}$ ). Cîrligele marginale  $0,037 \text{ mm}—0,018 \text{ mm}$ ). Prezintă o singură placă de legătură (lungimea ei este de  $0,025 \text{ mm}$ ).

Tubul aparatului copulator este foarte lung și îndoit la originea sa (lungimea generală a aparatului copulator  $0,065 \text{ mm}$ ).

Gazdă: scobarul (*Chondrostoma nasus*).

Localizare: branhiile.

Locul recoltării: Dunărea (Greaca, Călărași).

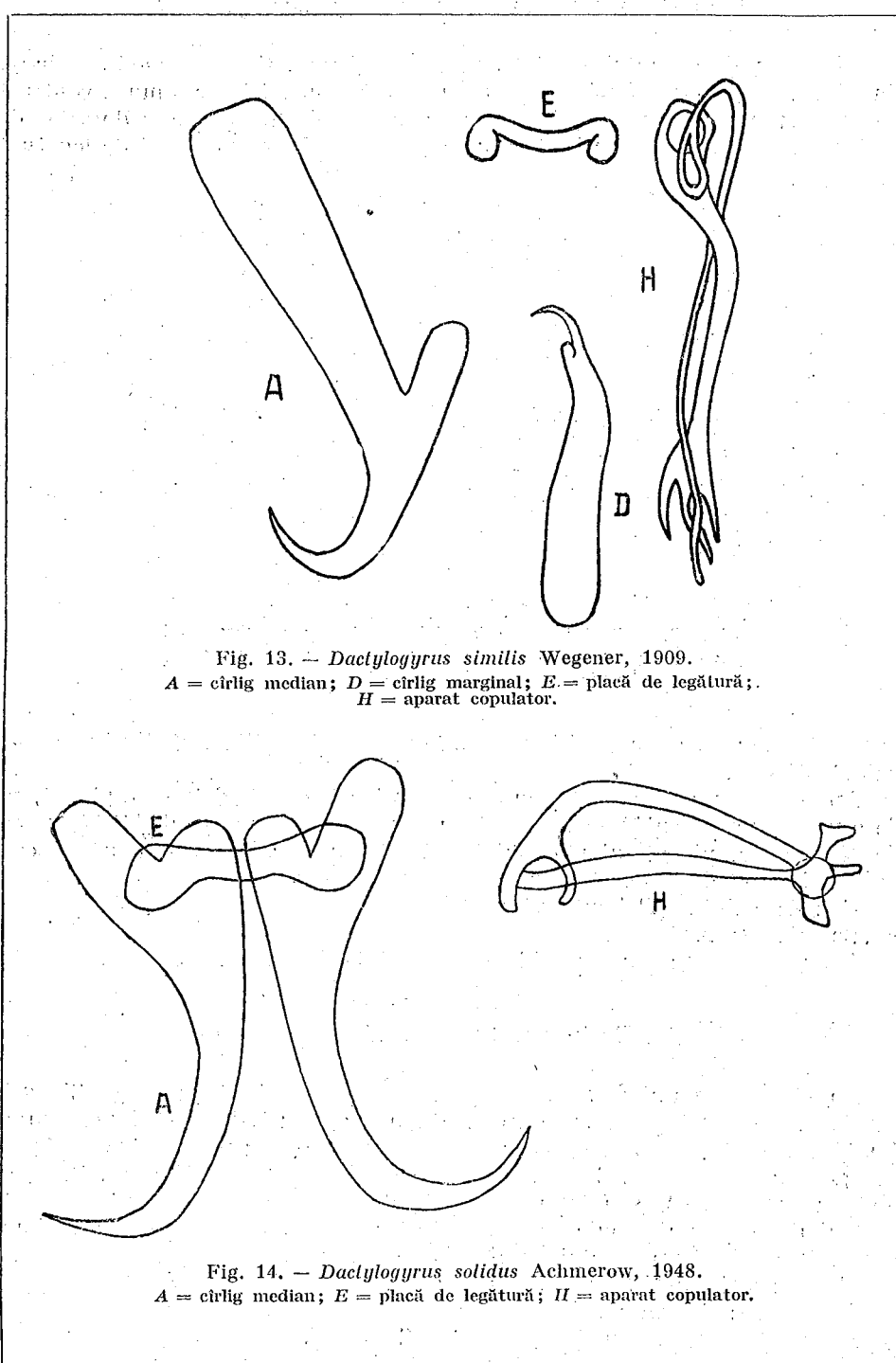


Fig. 13. — *Dactylogyrus sinilis* Wegener, 1909.  
A = cîrlig median; D = cîrlig marginal; E = placă de legătură;  
H = aparat copulator.

Fig. 14. — *Dactylogyrus solidus* Achmerow, 1948.  
A = cîrlig median; E = placă de legătură; H = aparat copulator.

#### 14. *Dactylogyrus solidus* Achmerow, 1948

Dimensiunile corpului sunt  $1,73 \text{ mm} \times 0,20 \text{ mm}$ . Discul de fixare depășește lățimea maximală a corpului. Cîrligele mediane, puternice, au aspectul unor seceri (lungimea lor generală  $0,078 \text{ mm}$ ; ramura dorsală  $0,021 \text{ mm}$ ; ramura ventrală  $0,015 \text{ mm}$ ; partea bazală  $0,068 \text{ mm}$ ; vîrful  $0,018 \text{ mm}$ ). Placa de legătură unică este puțin lățită la capete (lățimea ei  $0,050 \text{ mm}$ ). Cîrligele marginale  $0,034 \text{ mm}$ .

Aparatul copulator este construit simplu. El constă dintr-un tub ușor curbat în formă de arc, și din placă de susținere, în formă de țăruș cu capătul distal îndoit în unghi drept (lungimea generală a aparatului copulator de  $0,068 \text{ mm}$ ).

Gazdă: crapul (*Cyprinus carpio*).

Localizare: branhiile.

Locul recoltării: Dunărea (Călărași, Delta — Mila '23).

#### 15. *Dactylogyrus tuba* Linstow, 1878

Lungimea corpului este de  $0,57 \text{ mm}$  iar lățimea  $0,093 \text{ mm}$ . Discul de fixare este mic și mult mai îngust decât lățimea corpului. Cîrligele mediane sunt bine dezvoltate (lungimea lor generală  $0,038 \text{ mm}$ ). Placa dorsală de legătură are forma unei fișii chitinoase, înguste, cu capete rotunjite și îndoite în jos, (lungimea ei  $0,032 \text{ mm}$ ). Placa ventrală de legătură are forma unui triunghi echilateral. Cîrligele marginale  $0,017 \text{ mm}$ .

Aparatul copulator este format dintr-o bază cu aspectul unei lame îngroșate la un capăt, dela care pornește placa de susținere îndoită și legată cu ambele capete de bază, la fel ca și tubul copulator, care este subțire ca un fir și doar la originea lui este lățit ca o pîlnie.

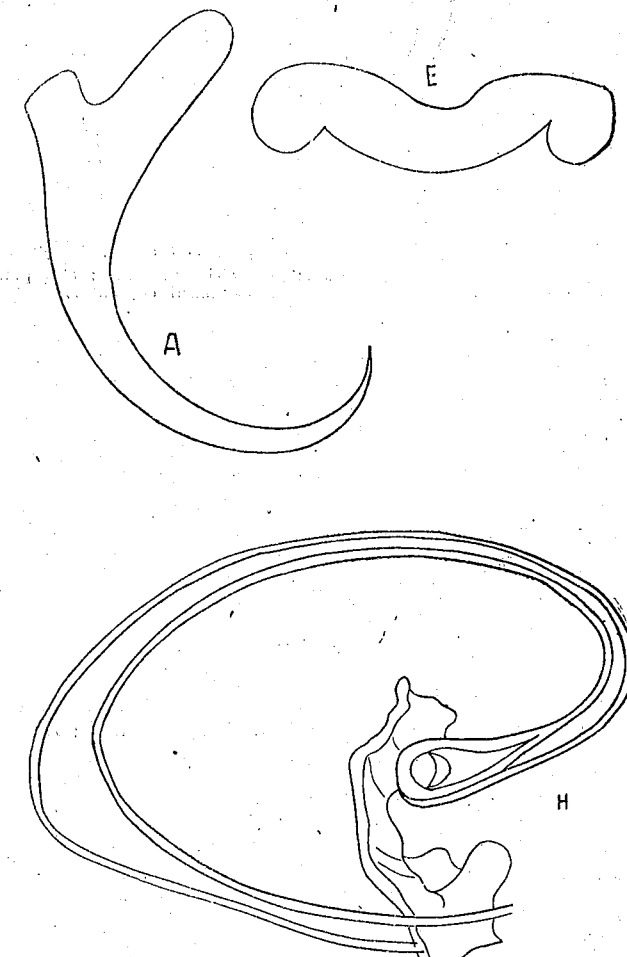


Fig. 15. — *Dactylogyrus tuba* Linstow, 1878.  
A = cîrlig median; E = placă de legătură; H = aparat copulator.

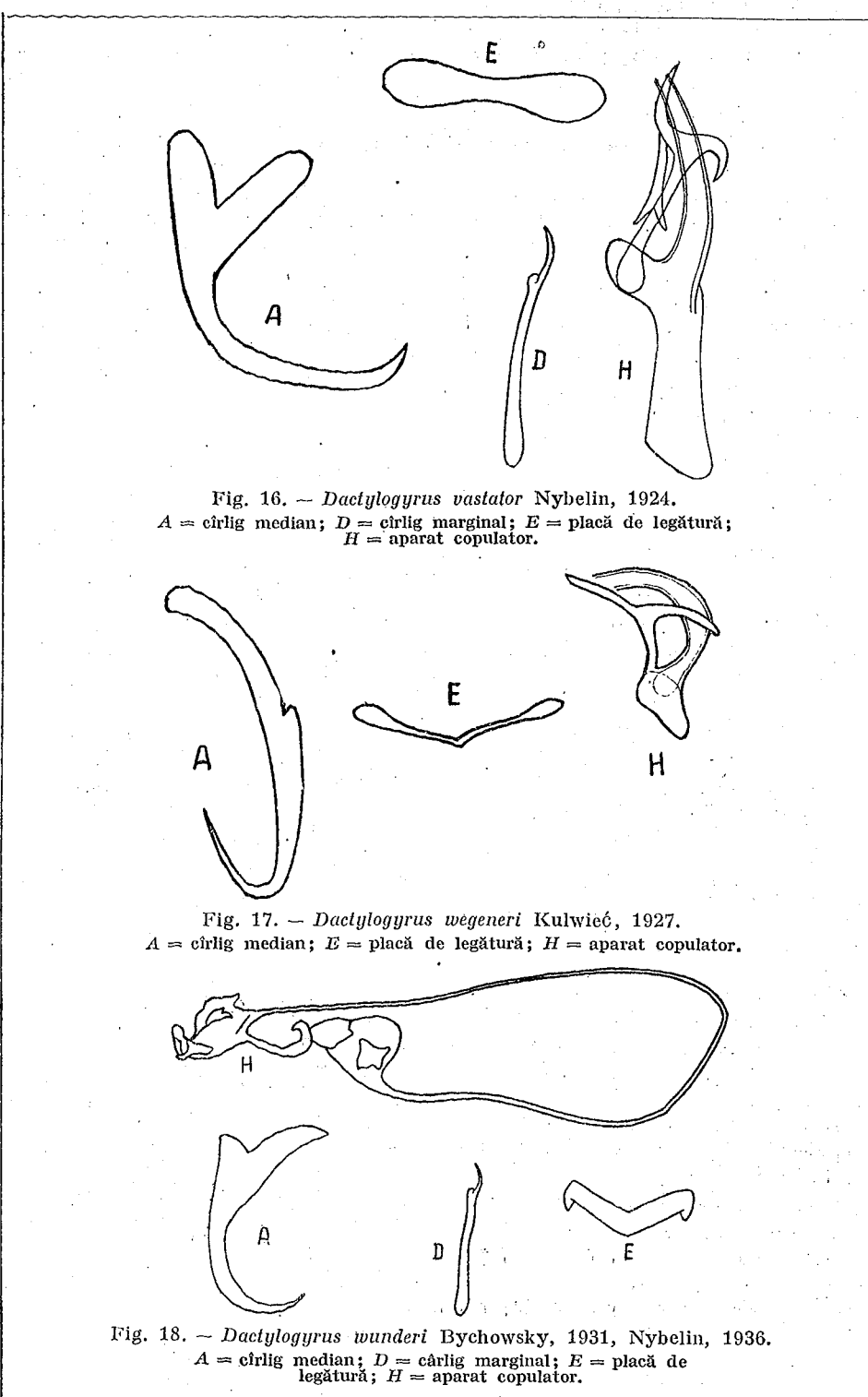


Fig. 16. — *Dactylogyrus vastator* Nybelin, 1924.  
A = cîrlig median; D = cîrlig marginal; E = placă de legătură;  
H = aparat copulator.

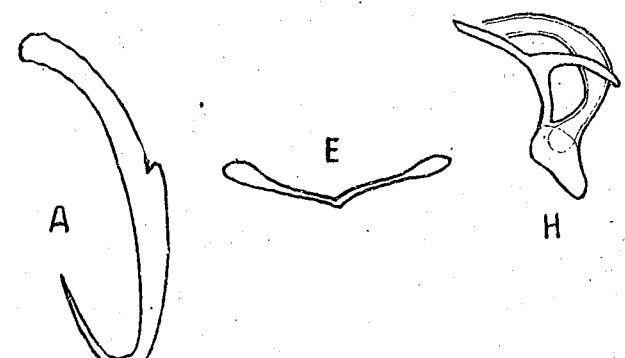


Fig. 17. — *Dactylogyrus wegeneri* Kulwieć, 1927.  
A = cîrlig median; E = placă de legătură; H = aparat copulator.

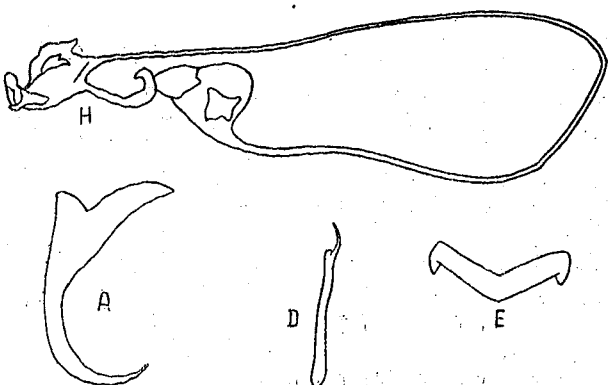


Fig. 18. — *Dactylogyrus wunderi* Bychowsky, 1931; Nybelin, 1936.  
A = cîrlig median; D = cîrlig marginal; E = placă de legătură; H = aparat copulator.

Gazdă: văduviță (*Leuciscus idus*).

Localizare: branhiile.

Locul recoltării: Dunărea (Bistrețu, Corabia, Suhaia, Oltenița, Delta — Mila 23).

#### 16. *Dactylogyrus vastator* Nybelin, 1924

Dimensiunile corpului sunt  $0,84 \text{ mm} \times 0,25 \text{ mm}$ . Cîrligele mediane sunt bine dezvoltate (lungimea lor generală  $0,040 \text{ mm}$ ), cu ramuri aproape egale. Are o singură placă de legătură ca un bețișor cu capetele puțin lățite (lungimea ei  $0,038 \text{ mm}$ ). Cîrligele marginale  $0,035 \text{ mm}$ .

Aparatul copulator se compune dintr-o bază ovală, dintr-un tub lățit și ușor curbat, și din placa de susținere, care se termină cu o placă rotundă și care are o prelungire în formă de ghiară ( $0,067 \text{ mm}$ ).

Gazdă: crapul (*Cyprinus carpio*), caras (*Carassius carassius*).

Localizarea: branhiile.

Locul recoltării: Dunărea (Deltă — Mila 23).

#### 17. *Dactylogyrus wegeneri* Kulwieć, 1927

Lungimea corpului este de  $0,31 \text{ mm}$ ; lățimea  $0,06 \text{ mm}$ . Cîrligele mediane sunt asemănătoare cu cele dela *Dactylogyrus anchoratus*, se deosebesc totuși, prin dimensiunile mai reduse (lungimea lor generală  $0,056 \text{ mm}$ ; ramura dorsală  $0,015 \text{ mm}$ ; ramura ventrală redusă; partea bazală  $0,031 \text{ mm}$ ; vîrful  $0,018 \text{ mm}$ ). Are o singură placă de legătură, care are forma unei fisi chitinoase cu marginile intru cîtva sinuoase; în mijlocul său este puțin frântă. Cîrligele marginale sunt neegale în lungime ( $0,015 \text{ mm}$ ).

Aparatul copulator este simplu alcătuit. Baza are forma unei pîlnii dela care pornește tubul copulator îndoit ca un arc. Placa de susținere poartă la mijlocul ei un pinten îndreptat îndărât și spre tubul copulator (lungimea generală este  $0,028 \text{ mm}$ ).

Gazdă: carasul (*Carassius carassius*)

Localizare: branhiile.

Locul recoltării: Dunărea (Deltă — Mila 23).

#### 18. *Dactylogyrus wunderi* Bychowsky, 1931; Nybelin, 1936

Dimensiunile corpului sunt  $0,50 \text{ mm} \times 0,09 \text{ mm}$ . Cîrligele mediane sunt prevăzute cu o ramură dorsală mult mai lungă decît cea ventrală, (lungimea lor totală  $0,046 \text{ mm}$ ; ramura dorsală  $0,019 \text{ mm}$ ; ramura ventrală  $0,005 \text{ mm}$ ; partea bazală  $0,035 \text{ mm}$ ; vîrful  $0,020 \text{ mm}$ ). Placa dorsală de legătură are capetele ascuțite și îndreptate în jos (lungimea ei  $0,031 \text{ mm}$ ). Placa ventrală de legătură este în formă de  $\perp$ , cu ramura verticală străbătută de un orificiu.

Aparatul copulator este relativ complicat. Baza și placa de susținere sunt unite între ele printr-un arc. Tubul copulator este foarte lung și este legat cu placa de susținere numai prin capătul său distal (lungimea aparatului copulator, fără tub,  $0,050 \text{ mm}$ ).

Gazdă: plătica (*Abramis brama*).

Localizare: branhiile.

Locul recoltării: Dunărea (Călărași).

**19. *Dactylogyrus zandti* Bychowsky, 1933**

Lungimea corpului este de 0,50 mm; lățimea 0,09 mm. Lungimea generală a cîrligelor mediane 0,037 mm (ramura dorsală 0,015 mm; ramura ventrală 0,009 mm; partea bazală 0,025 mm; vîrf 0,012 mm). Placa dorsală de legătură are aspectul unei lame cu marginile neregulate și cu capetele ascuțite, îndoite în jos. Placa ventrală de legătură este în formă de  $\perp$ , cu ramura verticală mult lățită. Cîrligele marginale 0,028 mm.

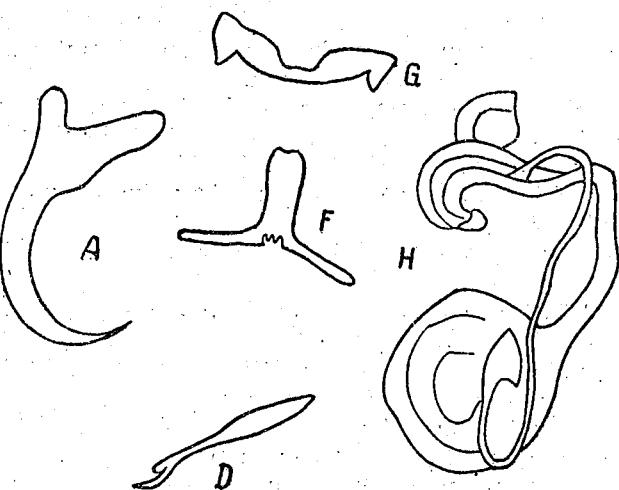


Fig. 19. — *Dactylogyrus zandti* Bychowsky, 1933.  
A = cîrlig median; D = cîrlig marginal; F = placă ventrală de legătură;  
G = placă dorsală de legătură; H = aparat copulator.

Aparatul copulator este complicat construit. Baza are aspectul unei formații rotunjite, masive. Placa de susținere sinuoasă, are capătul distal mult lățit. Tubul copulator este subțire și îndoit la originea lui în formă de semicerc (lungimea generală a aparatului copulator 0,037 mm).

Gazdă: plătica (*Abramis brama*).

Localizare: branhiile.

Locul recoltării: Dunărea (Bistrețu, Corabia, Suhaiia, Greaca, Oltenița, Delta - Mila 23).

**20. *Urocleidus dispar* (Mueller, 1936)**

Dimensiunile corpului  $0,57 \text{ mm} \times 0,071$ . Discul de fixare este slab delimitat, se deosebește prin lățime de restul corpului. Cîrligele mediane dorsale, fără ramură ventrală (lungimea lor generală 0,071 mm; ramura dorsală 0,034 mm; partea bazală 0,050 mm; vîrf 0,031 mm). Cîrligele mediane ventrale au ramura ventrală scurtă și rotunjită (lungimea lor generală 0,040 mm; ramura dorsală 0,015 mm; partea bazală 0,031 mm; vîrf 0,018 mm). Placa dorsală de legătură are forma unui bețișor cu capetele lățite (lungimea ei 0,031 mm). Placa ventrală de legătură are forma unui arc (lungimea ei 0,021 mm). Cîrligele marginale sunt lungi și foarte subțiri (lungimea lor 0,01 mm).

Aparatul copulator este simplu alcătuit: placa de susținere are aspectul unei baghete, care formează un inel la unul din capete; cirrusul are forma unui tub ascuțit spre capătul care trece prin inelul plăcii de susținere (lungimea aparatului copular 0,031 mm).

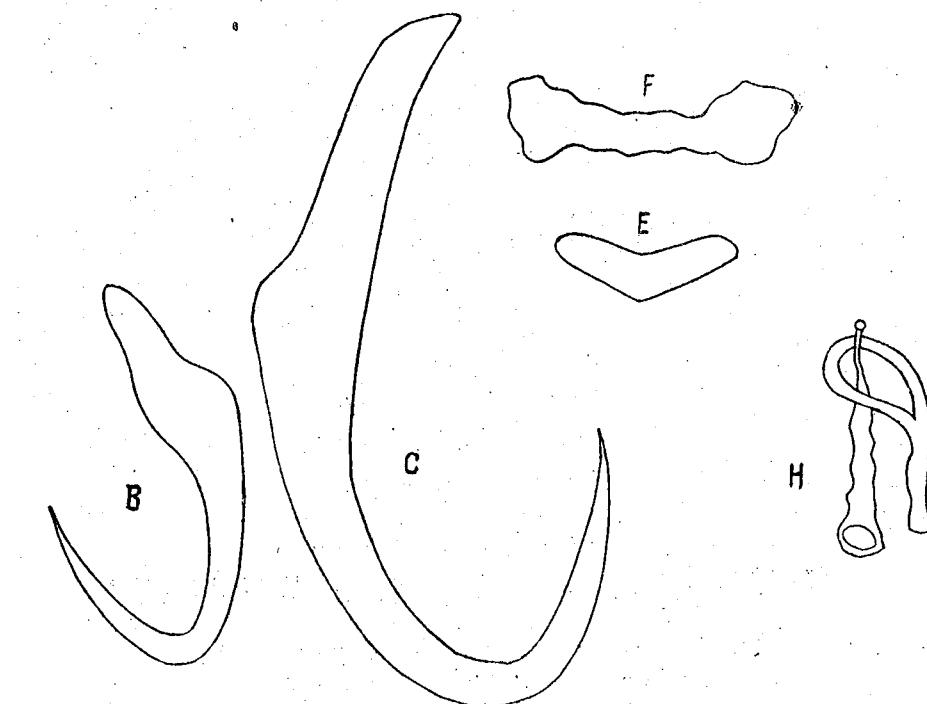


Fig. 20. — *Urocleidus dispar* (Mueller, 1936).  
B = cîrlig median ventral; C = cîrlig median dorsal; E = placă de legătură;  
F = placă ventrală de legătură; H = aparat copulator.

Gazdă: bibanul-soare (*Lepomis gibbosus*).

Localizare: branhiile.

Locul recoltării: Dunărea (Corabia, Delta - Mila 23).

**21. *Urocleidus similis* (Mueller, 1936)**

Dimensiunile corpului sunt de  $0,46 \text{ mm} \times 0,07 \text{ mm}$ . Cîrligele mediane sunt de aceeași mărime (lungimea lor generală 0,046 mm; ramura dorsală 0,012 mm; ramura ventrală abia vizibilă 0,003 mm; partea bazală 0,040 mm; vîrf 0,015 mm). Plăcile de legătură au formă obișnuită de arc (lungimea plăcii dorsale de legătură 0,025 mm; lungimea plăcii ventrale de legătură 0,021 mm). Cîrligele marginale sunt neegale în lungime și masivitate.

Aparatul copulator este alcătuit din placa de susținere cu aspectul unei lame lățite, și din tubul copulator ascuțit spre capătul său; peretele exterior al tubului formează o membrană răsucită în spirală în lungul tubului (lungimea generală a aparatului copulator 0,034 mm).

Gazdă: bibanul-soare (*Lepomis gibbosus*).

Localizare: brahiile.

Locul recoltării: Dunărea (Corabia, Delta-Mila 23).

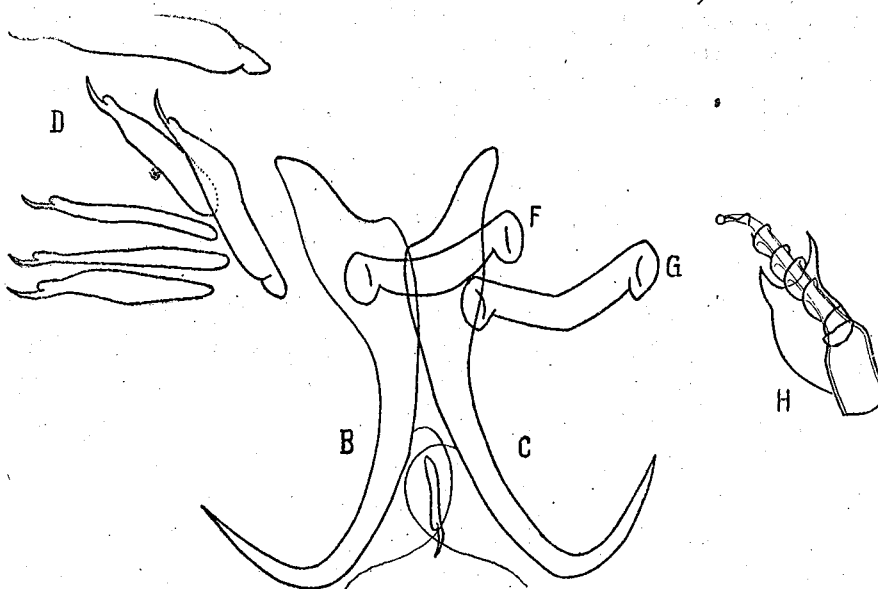


Fig. 21. — *Urócleidus similis* (Mueller, 1936).  
B = círlig median ventral; C = círlig median dorsal; D = círlig marginal; F = placă ventrală de legătură; G = placă dorsală de legătură; H = aparat copulator.

## 22. *Ancyrocephalus paradoxus* Creplin, 1839

sin.: *Dactylogyrus unguiculatus* Wagener, 1857

*Gyrodactylus crassiusculus* Wedl, 1857

*Tetraonchus unguiculatus* (Wagener) Diesing, 1858.

Are corpul alungit, mult subțiat spre capătul posterior. Dimensiunile corpului sunt de  $1,02 \text{ mm} \times 0,20 \text{ mm}$ . Discul de fixare este mic și mult mai

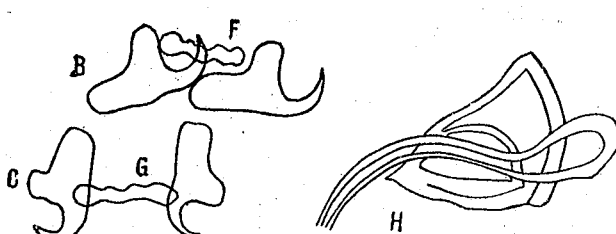


Fig. 22. — *Ancyrocephalus paradoxus* Creplin, 1839.  
B = círlig median ventral; C = círlig median dorsal; F = placă ventrală de legătură;  
G = placă dorsală de legătură;  
H = aparat copulator.

îngust decât lățimea maximală a corpului. Círligele mediane au o parte bazală foarte lată, puternică, cu două ramuri neegale. Virful scurt, în formă de seceră ( $0,016 \text{ mm}$ ). Fiecare pereche de círlige este unită printre-o placă de

legătură (una din ele este dreaptă —  $0,040 \text{ mm}$ ; cealaltă are formă de arc —  $0,048 \text{ mm}$ ). Círligele marginale  $0,019 \text{ mm}$ .

Lungimea generală a aparatului copulator  $0,073 \text{ mm}$ .

Gazdă: șalăul (*Lucioperca lucioperca*).

Localizare: brahiile.

Locul recoltării: Dunărea (Bistrețu, Corabia, Suhai, Greaca, Călărași, Delta-Mila 23).

## 23. *Aneylodiscoides siluri* (Zandt, 1924)

sin.: *Ancyrocephalus vistulensis* Siwak, 1932

*Haplocleidus siluri* (Zandt, 1924) Price, 1937

Lungimea corpului este de  $1,02 \text{ mm}$  iar lățimea  $0,18 \text{ mm}$ . Discul de fixare este neclar delimitat de restul corpului. Lungimea círligelor mediane ventrale de  $0,31 \text{ mm}$ ; la capătul lor proximal prezintă două ramuri dezvoltate neegal. Placa ce unește perechea ventrală de círlige mediane este formată din două părți dispuse în unghi drept una față de cealaltă. Círligele mediane dorsale sunt prevăzute cu cîte o placă suplimentară (lungimea lor  $0,90 \text{ mm}$ ). Círligele marginale  $0,016 \text{ mm}$ .

Gazdă: somnul (*Silurus glanis*).

Localizare: brahiile.

Locul recoltării: Dunărea (Bistrețu, Corabia, Greaca, Călărași).

## Familia TETRAONCHIDAE

### 24. *Tetraonchus monenteron* (Wagener, 1857) Diesing, 1858

sin.: *Dactylogyrus monenteron* Wagener, 1857

*Gyrodactylus cochlea* Wedl, 1857

*Monocoelium monenteron* (Wagener, 1857) Wagener, 1909

*Ancyrocephalus monenteron* (Wagener, 1857), Lühe, 1909

Lungimea corpului este de  $1,02 \text{ mm}$  iar lățimea de  $0,16 \text{ mm}$ . Discul de fixare este bine dezvoltat. Círligele mediane au partea bazală mult lățită. Placa de legătură este îngustă la mijloc și are capetele mult lățite. Círligele marginale sunt de  $0,015 \text{ mm}$ .

Gazdă: știuca (*Esox lucius*).

Localizare: brahiile.

Locul recoltării: Dunărea (Bistrețu, Corabia, Delta-Mila 23).

## Ordinul GYRODACTYLOIDEA

### Familia GYRODACTYLIDAE

#### 25. *Gyrodactylus parvicopula* Bychowski, 1933

Dimensiunile corpului sunt de  $0,32-0,45 \text{ mm} \times 0,07-0,14 \text{ mm}$ . Círligele mediane lungi ( $0,057 \text{ mm}$ ), au capătul exterior îngroșat și cu o tuberozitate pe marginea postero-laterală. Pe această tuberozitate se prinde placă ventrală de legătură, care are formă unei baghete scurte, cu capetele

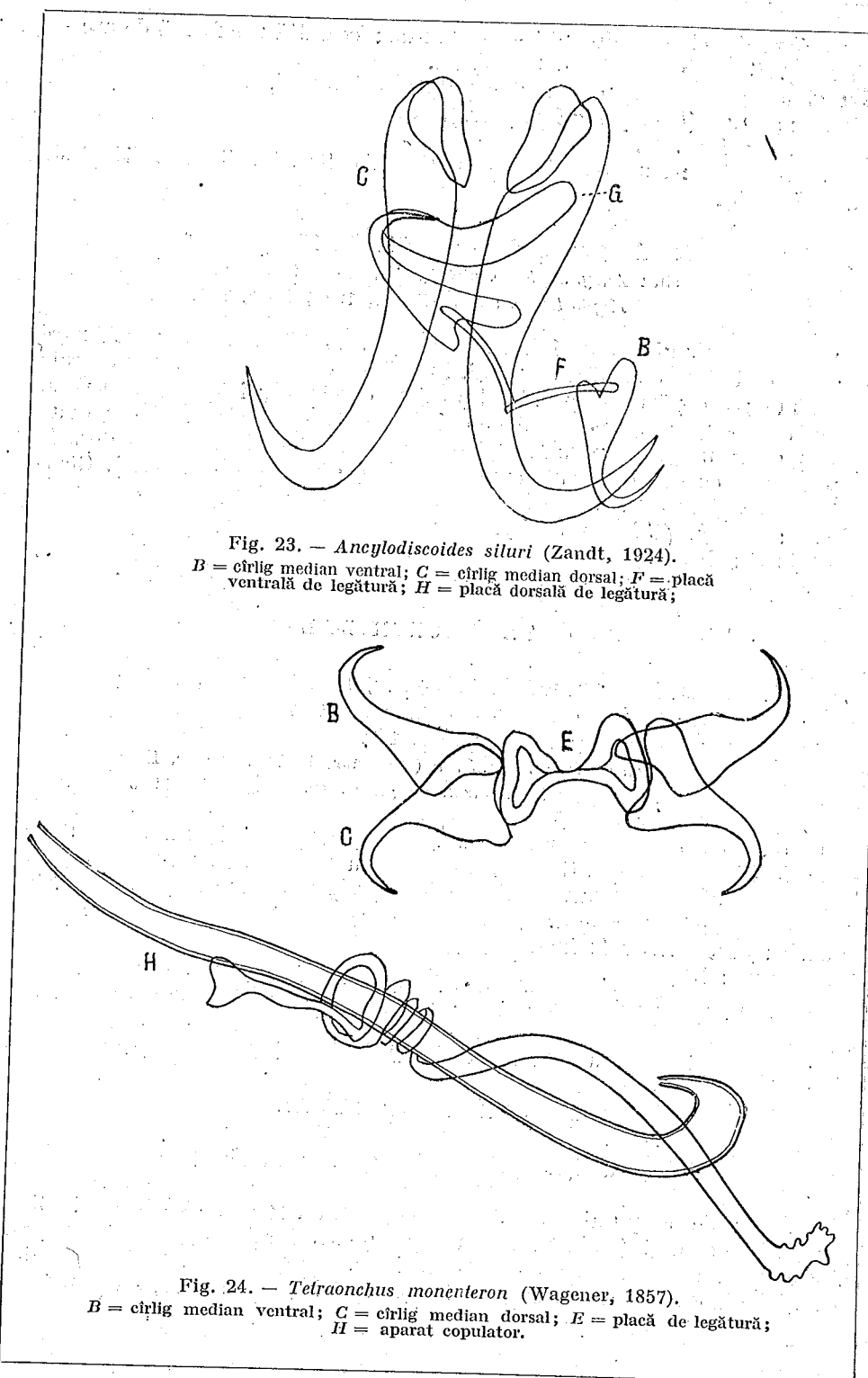


Fig. 23. — *Ancylogliscoides siluri* (Zandt, 1924).  
B = cîrlig median ventral; C = cîrlig median dorsal; F = placă ventrală de legătură;  
H = placă dorsală de legătură;

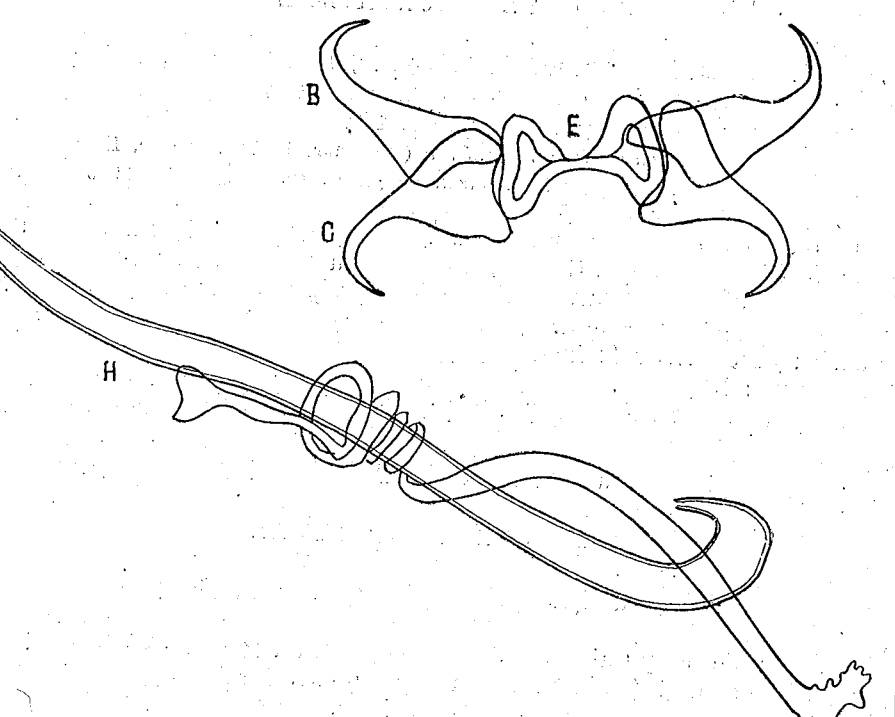


Fig. 24. — *Tetraonchus monenteron* (Wagener, 1857).  
B = cîrlig median ventral; C = cîrlig median dorsal; E = placă de legătură;  
H = aparat copulator.

lățite. Placa dorsală de legătură se termină la ambele capete cu cîte o umflătură îndreptată înainte (0,016 mm). Lungimea cîrligelor marginale 0,022 mm.

Gazdă: plătica (*Abramis brama*).

Localizare: branhiile.

Locul recoltării: Dunărea (Oltenia, Greaca).

### B. Subclasa OLIGONCHOINEA

#### Ordinul OCTOCOTYLIDEA

##### Familia DISCOCOTYLIDAE

###### 26. *Diplozoon paradoxum* Nordmann, 1832

sin.: *Diporpa dujardini* Diesing, 1850

În stare larvară, Diplozoon trăiește izolat (*Diporpa*); în stare adultă însă, indivizii se alipesc cîte doi în cruce, amintind litera X. La capătul anterior al corpului se găsesc două ventuze mici, iar pe discul de fixare se găsesc alte patru perechi de ventuze chitinoase (la larve există o singură pereche, dar numărul lor crește treptat pînă la opt perechi de ventuze). În afară de acestea, Diplozoon mai are o infundătură în formă de ventuză, situată pe partea ventrală a corpului și, de asemenea, o mică proeminență pe partea dorsală a corpului. Cînd doi indivizi se alipesc, atunci infundătura ventrală a unuia cuprinde proeminența dorsală a celuilalt, și invers. În divizii e unesc astfel încît conductele sexuale femele ale unuia cresc cu cele masculine ale partenerului său, și invers, asigurîndu-se în acest fel fecundația.

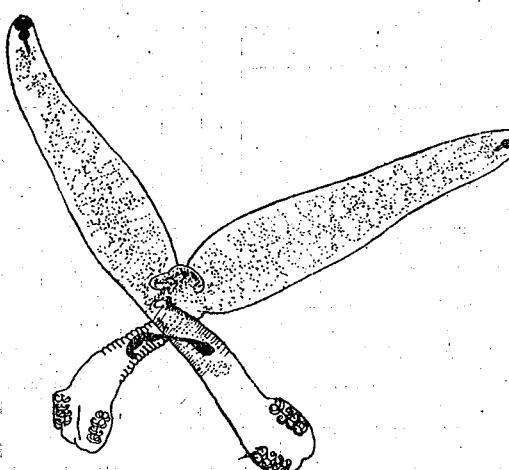


Fig. 26. — *Diplozoon paradoxum* Nordmann, 1832  
(după Markewitsch).

Locul recoltării: Dunărea (Călărași, Delta — Mila 23).

Din numărul total de monogenee descris în lucrarea de țață, pînă în prezent au fost găsite și citate de către autori români, numai 5 specii: *Dactylogyrus anchoratus* (I. Rădulescu), *D. auriculatus* (?) (N. Leon), *D. vastator* (I. Rădulescu), *Tetraonchus monenteron* (= *Ancyrocephalus monenteron*) (Iamandi), *Diplozoon paradoxum* (I. Rădulescu).

Dintre aceste 5 specii, *Dactylogyrus auriculatus*, la biban (*Perca fluviatilis*) nu a fost precis determinat de către N. Leon, pe de o parte, pentru că

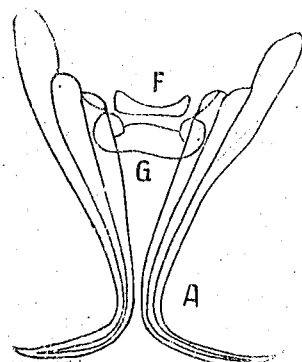


Fig. 25. — *Gyrodactylus parvicopula*  
Bychowsky, 1933.  
A = cîrlig median; F = placă ventrală de legătură;  
G = placă dorsală de legătură.

Tabloul nr. 1  
Monogeneidae

Numele gazdei	Numele parazitului																									
	Rutilus rutilus	Lerucus idus	Scardinius erythrophthalmus	Aspius aspius	Tinca tinca	Chondrostoma nasus	Abramis brama	Pelecus cultratus	Carassius carassius	Cyprinus carpio	Barbus barbus	Silurus glanis	Esox lucius	Lucioperca lucioperca	Perca fluviatilis	Acerina cernua	Lepomis gibbosus									
1. <i>Dactylogyurus amphibothrium</i>																										
2. <i>D. anchoratus</i> .....																										
3. <i>D. auriculatus</i> .....																										
4. <i>D. carpathicus</i> .....																										
5. <i>D. chondrostomi</i> .....																										
6. <i>D. crucifer</i> .....																										
7. <i>D. diffomis</i> .....																										
8. <i>D. intermedius</i> .....																										
9. <i>D. macracanthus</i> .....																										
10. <i>D. malleus</i> .....																										
11. <i>D. nanus</i> .....																										
12. <i>D. similis</i> .....																										
13. <i>D. simplicimalleata</i> ...																										
14. <i>D. solidus</i> .....																										
15. <i>D. tuba</i> .....																										
16. <i>D. vastator</i> .....																										
17. <i>D. wegeneri</i> .....																										
18. <i>D. wunderi</i> .....																										
19. <i>D. zandti</i> .....																										
20. <i>Urocleidus dispar</i> ....																										
21. <i>U. similis</i> .....																										
22. <i>Ancyrocephalus paradoxus</i> .....																										
23. <i>Ancylodiscoides siluri</i>																										
24. <i>Tetraonchus monenteron</i>																										
25. <i>Gyrodactylus parvicopula</i>																										
26. <i>Diplozoon paradoxum</i>	+	+																								

*D. auriculatus* pînă acum a fost găsit numai la plătică (*Abramis brama*) și batcă (*Blicca bjoerkna*) — amîndouă sunt din familia *Cyprinidae* — iar pe de altă parte, pentrucă la biban întotdeauna a fost găsit numai *Ancyrocephalus paradoxus* (cu excepția lui *Dactylogyrus tenuis* Wedl, 1857, care este cunoscut numai pentru împrejurimile Vienei—Austria).

Din numărul total de specii găsite de noi, 13 au fost semnalate de către expediția complexă sovietică din anul 1946—1947 (această expediție a cercetat Dunărea sovietică și Delta, dela Reni pînă la Marea Neagră): *Dactylogyrus anchoratus*, *D. amphibothrium*, *D. crucifer*, *D. difformis*, *D. intermedius*, *D. macracanthus*, *D. solidus*, *D. tuba*, *D. wegeneri*, *D. wunderi*, *D. zandti*, *Ancyrocephalus paradoxus*, *Ancylodiscoides siluri*, *Urocleidus dispar*, *U. similis*, *Gyrodactylus parvicopula*.

În lucrarea de față, noi semnalăm pentru prima dată în România, următoarele specii de monogenee: *Dactylogyrus amphibothrium*, *D. carpathicus*, *D. chondrostomi*, *D. crucifer*, *D. difformis*, *D. intermedius*, *D. macracanthus*, *D. malleus*, *D. nanus*, *D. similis*, *D. simplicimalleata*, *D. solidus*, *D. tuba*, *D. wegeneri*, *D. zandti*, *Urocleidus dispar*, *U. similis*, *Ancylodiscoides siluri*, *Gyrodactylus parvicopula*.

În același timp noi completăm lista dată de expediția sovietică pentru paraziții peștilor din Dunăre, cu următoarele specii: *Dactylogyrus auriculatus*, *D. carpathicus*, *D. chondrostomi*, *D. malleus*, *D. nanus*, *D. similis*, *D. simplicimalleata*, *D. wegeneri*, *D. zandti*, *Urocleidus dispar*, *U. similis*, *Ancylodiscoides siluri*, *Gyrodactylus parvicopula*.

În sfîrșit, în articolul de față noi semnalăm pentru prima dată în Europa, pe *Urocleidus dispar* și *U. similis*, care, fără îndoială au ajuns aici odată cu aclimatizarea gazdei lor (*Lepomis gibbosus*) din America de Nord.

## МАТЕРИАЛЫ К ФАУНЕ МОНОГЕНЕТИЧЕСКИХ СОСАЛЬЩИКОВ РЫБ РУМЫНСКОЙ НАРОДНОЙ РЕСПУБЛИКИ

### (КРАТКОЕ СОДЕРЖАНИЕ)

В начале статьи излагается краткая история исследования моногенетических сосальщиков, паразитирующих на рыбах, обитающих в водоемах Румынской Народной Республики. Далее следует список и описание видов, найденных автором на рыбах Дуная. Описывается первый раз в стране 21 вид моногенетических сосальщиков. В то же время пополняется русский список уже известных видов паразитов рыб Дуная тринацатью видами моногенетических сосальщиков. Наконец, автор указывает впервые для Европы *Urocleidus dispar* и *U. similis*, которые попали в Европу при акклиматизации их хозяина из Северной Америки.

### ОБЪЯСНЕНИЕ РИСУНКОВ

- Рис. 1. — *Dactylogyrus amphibothrium* Wagener, 1857.
- Рис. 2. — *Dactylogyrus anchoratus* Dujardin, 1845.
- Рис. 3. — *Dactylogyrus auriculatus* Nordmann, 1832.
- Рис. 4. — *Dactylogyrus carpathicus* Zachvatkin, 1951.
- Рис. 5. — *Dactylogyrus chondrostomi* Malewitzkaja, 1941.
- Рис. 6. — *Dactylogyrus crucifer* Wagener, 1857.

- Рис. 7. — *Dactylogyrus difformis* Wagener, 1857.  
 Рис. 8. — *Dactylogyrus intermedius* Wegener, 1909.  
 Рис. 9. — *Dactylogyrus malleus* Linstow, 1877.  
 Рис. 10. — *Dactylogyrus macracanthus* Wegener, 1909.  
 Рис. 11. — *Dactylogyrus nanus* (no Dogiel et Bychowsky).  
 Рис. 12. — *Dactylogyrus simplicimalleata* Bychowsky, 1931.  
 Рис. 13. — *Dactylogyrus similis* Wegener, 1909.  
 Рис. 14. — *Dactylogyrus solidus* Achmerow, 1948.  
 Рис. 15. — *Dactylogyrus tuba* Linstow, 1878.  
 Рис. 16. — *Dactylogyrus vastator* Nybelin, 1924.  
 Рис. 17. — *Dactylogyrus wegeneri* Kulwieć, 1927.  
 Рис. 18. — *Dactylogyrus wunderi* Bychowsky, 1951, Nybelin, 1936.  
 Рис. 19. — *Dactylogyrus zandti* Bychowsky, 1933.  
 Рис. 20. — *Urocleidus dispar* (Mueller, 1936).  
 Рис. 21. — *Urocleidus similis* (Mueller, 1936).  
 Рис. 22. — *Ancyrocephalus paradoxus* Creplin, 1839.  
 Рис. 23. — *Ancylodiscoidea siluri* (Zandt, 1924).  
 Рис. 24. — *Tetraonchus monenteron* (Wagener, 1857).  
 Рис. 25. — *Gyrodactylus parvicopula* Bychowsky, 1933.  
 Рис. 26. — *Diplozoon paradoxum* Nordmann, 1832 (no Markewitsch).

*Подпись к рисункам:* А — срединный крючек; В — вентральный срединный крючек; С — дорсальный срединный крючек; D — краевой крючек; Е — соединительная пластина; F — вентральная соединительная пластина; G — дорсальная соединительная пластина; H — копулятивный аппарат.

## CONTRIBUTIONS À LA CONNAISSANCE DE LA FAUNE DES MONOGÈNES DE LA RÉPUBLIQUE POPULAIRE ROUMAINE

(RÉSUMÉ)

Au commencement de ce travail, l'Auteur présente un aperçu historique des recherches entreprises sur les monogènes, parasites des poissons des eaux roumaines. Suit la liste et la description des espèces monogènes trouvées chez les poissons du Danube. On y mentionne 21 espèces, inconnues jusqu'à présent dans la République Populaire Roumaine. La liste des espèces, établie par les chercheurs soviétiques pour le Danube, est, de ce fait, complétée par 13 espèces, nouvelles pour ce dernier. À la fin de l'article, l'Auteur cite, pour la première fois en Europe, les espèces *Urocleidus dispar* Müller, 1936, et *U. similis* Müller, 1936, qui ont, fort probablement, pénétré dans le Danube en même temps que leur hôte (*Lepomis gibbosus*), originaire de l'Amérique du Nord, qui s'y est acclimaté.

### EXPLICATION DES FIGURES

- Fig. 1. — *Dactylogyrus amphibotrium* Wagener, 1857.  
 Fig. 2. — *Dactylogyrus anchoratus* (Dujardin, 1845).  
 Fig. 3. — *Dactylogyrus auriculatus* (Nordmann, 1832).  
 Fig. 4. — *Dactylogyrus carpathicus* Zachvatkine, 1951.  
 Fig. 5. — *Dactylogyrus chondrostomi* Malewitzkaja, 1941.  
 Fig. 6. — *Dactylogyrus crucifer* Wagener, 1857.  
 Fig. 7. — *Dactylogyrus difformis* Wagener, 1857.  
 Fig. 8. — *Dactylogyrus intermedius* Wegener, 1909.  
 Fig. 9. — *Dactylogyrus malleus* Linstow, 1877.

- Fig. 10. — *Dactylogyrus macrachantus* Wegener, 1909.  
 Fig. 11. — *Dactylogyrus nanus* (d'après Dogiel et Bychowsky).  
 Fig. 12. — *Dactylogyrus simplicimalleata* Bychowsky, 1931.  
 Fig. 13. — *Dactylogyrus similis* Wegener, 1909.  
 Fig. 14. — *Dactylogyrus solidus* Achmerow, 1948.  
 Fig. 15. — *Dactylogyrus tuba* Linstow, 1878.  
 Fig. 16. — *Dactylogyrus vastator* Nybelin, 1924.  
 Fig. 17. — *Dactylogyrus wegeneri* Kulwieć, 1927.  
 Fig. 18. — *Dactylogyrus wunderi* Bychowsky, 1931, Nybelin, 1936.  
 Fig. 19. — *Dactylogyrus zandti* Bychowsky, 1933.  
 Fig. 20. — *Urocleidus dispar* (Mueller, 1936).  
 Fig. 21. — *Urocleidus similis* (Mueller, 1936).  
 Fig. 22. — *Ancyrocephalus paradoxus* Creplin, 1839.  
 Fig. 23. — *Ancylodiscoidea siluri* (Zandt, 1924).  
 Fig. 24. — *Tetraonchus monenteron* (Wagener, 1857).  
 Fig. 25. — *Gyrodactylus parvicopula* Bychowsky, 1933.  
 Fig. 26. — *Diplozoon paradoxum* Nordmann, 1832 (d'après Markewitsch).  
 Légende: A = crochet médian; B = crochet médian ventral; C = crochet dorsal; D = crochet marginal; E = plaque de liaison; F = plaque ventrale de liaison; G = plaque dorsale de liaison; H = appareil copulateur.

### BIBLIOGRAPHIE

1. Akmerov A. H., Izv. V.N.I.O.R.H., Leningrad, 1948, t. XXVII.
2. Băcescu M., Anal. Acad. Rom., Mem. Secț. Științ., 1942, seria a III-a, t. XVII, nr. 15.
3. Borovička M. P., Trudi Leningradskovo obšestva estestvoispitatelyei, 1952, t. LXXI, fasc. 4.
4. Markevici A. P., Parazito fauna presnovodnih rib Ukrainskoj SSR. Kiev, 1951.
5. Mueller F. Justus, Reprinted from Transactions of the American Microscopical Society, January 1936, t. LV, nr. 1.

BIOLOGIA STAVRIDULUI DIN MAREA NEAGRĂ.  
NOTA V: ASUPRA MORFOLOGIEI LEUCOCITELOR  
ȘI A FORMULEI LEUCOCITARE

DE

E. A. PORA

MEMBRU CORESPONDENT AL ACADEMIEI R.P.R.

FL. STOICOVICI și I. D. ROȘCA

Comunicare prezentată în ședință din 28 aprilie 1953

Pentru stabilirea formulei leucocitare a stavridului din Marea Neagră a fost necesar ca în prealabil să descriem elementele leucocitare ale săngelui și să le clasificăm pe baza unor date morfologice și experimentale.

Ca material de studiu am folosit stavridul, *Trachurus trachurus mediterraneus* (2), pescuit proaspăt la talian și uneori păstrat un timp scurt în acvariile stațiunii biologice dela Agigea, în care era o circulație continuă de apă de mare și un barbotaj de aer. Cercetările noastre au fost făcute în vara anului 1952. Peștii de care ne-am servit nu au fost supuși altor încercări. Ei erau de talie asemănătoare, cuprinsă între 16–20 cm lungime și cu o greutate de 20–30 g.

Am studiat 36 de frotiuri făcute cu sînge dela 20 de indivizi și am citit 136 de formule leucocitare de pe acestea. Sîngher care a servit la frotiuri s-a recoltat din artera dorsală a animalului, în urma secționării bazei cozii. Frotiurile s-au colorat după metoda clasică May Grünwald-Giemsa. Desenele s-au făcut cu ajutorul unei camere clare Zeiss.

Asupra morfoloiei elementelor figurate din sîngher peștilor sunt puține date bibliografice, în comparație cu cele asupra săngelui Vertebratelor superioare. Diferenții autori care s-au ocupat cu descrierea elementelor leucocitare dela Vertebratele inferioare, sunt de acord că nu există o separare netă între diferențele forme de leucocite (12), (6), (17), (11), (9). Aceștia au descris forme de trecere continuă între unele și altele. Acest fapt arată o nespecializare și este un caracter primitiv al funcțiunii leucocitelor. Din acest motiv, omologarea leucocitelor dela pesti, cu acelea ale celorlalte Vertebrate superioare, este destul de grea și nu poate fi admisă decit cu multe rezerve (8). Numai formele analoage limfocitelor dela Vertebratele superioare sunt constante

și nete. Ele reprezintă majoritatea formelor leucocitare la pești. Celelalte forme, cum sunt monocitele și granulocitele (bazofile, neutrofile și acidofile), variază foarte mult, atât ca număr și formă, cât și ca prezență, la diferenții pești și chiar la speciile foarte înrudite (12), (6).

O clasificare mai veche a leucocitelor la pești a fost făcută de R a w i t z în anul 1900 (15). El distinge cinci forme de leucocite. Dar această clasificare, după cum arată M a x i m o v (11), este prea complicată și greoaie, astfel că astăzi nu poate avea decât o importanță istorică.

G r ü n b e r g (7), bazându-se pe clasificarea lui R a w i t z , găsește pe lîngă limfocite și trombocite și o serie de granulocite, cu toate formele de trecere.

D r e w i n a (6), studiind leucocitele la un număr mare de pești, arată că sunt unele specii, cu totul lipsite de granulocite, având numai limfocite și uneori mononucleare, pe cînd alte specii au multe granulocite neutrofile sau eosinofile. Singele Teleosteenilor, în general, este sărac în granulocite; la unele specii, cum sunt *Trachurus* și *Scomber*, acestea pot lipsi complet.

M e i n e r t z (12) este de asemenea de părere că în singele Teleosteenilor sunt foarte puține granulocite și că predomină elementele limfocitare agranulare.

N i e g o l e v s k i 17 descrie însă la *Carassius auratus* trei forme de granulocite: eosinofile, bazofile și neutrofile.

M a x i m o v (11) și după el K r a f t (9) folosesc noțiunea de «leucocite speciale», înțelegînd prin acestea leucocite cu citoplasmă slab colorată și cu granulații foarte fine, slab acidofile, care nu se pot omologa întru totul cu granulocitele Mamiferelor. Pe lîngă aceste elemente, M a x i m o v descrie la Selacienei, iar K r a f t la *Carassius*, granulocite eosinofile și limfocite, cu o serie întreagă de forme de trecere între ele; M a x i m o v semnalază, apoi la Selacienei existența unor trombocite, care au și fost găsite la mai mulți pești, chiar la Teleosteeni.

Asupra leucocitelor din singele de *Trachurus trachurus mediterraneus* nu am găsit în literatură decât indicațiile date de D r e w i n a (6) și anume că în singele de *Trachurus* nu se găsesc leucocite granulare și că în general leucocitele sunt rare.

Asupra eritrocitelor dela această specie, P o r a și colaboratori (14) au arătat formă și mărimea lor pe viu, ca și numărul lor foarte ridicat, datorită felului activ de viață pelagică.

Trebue să remarcăm dela început că susținerea lui D r e w i n a (6) cu privire la sărăcia elementelor leucocitare la Teleosteeni în general și la *Trachurus* în special, și anume că, uneori pot să parcurgi întreaga lămă și abia poti întîlni cîteva leucocite, nu corespunde cu observațiile noastre. Noi am găsit aceste elemente destul de dese, în special limfocitele. La aproape jumătate din indivizii studiați era suficient să parcurgem lama în lățimea ei, odată sau maximum de două ori, pentru a avea formula leucocitară, adică a întîlni 100 de leucocite diferite. În cîteva cazuri era suficient să parcurgem numai jumătate, sau chiar în sfert din lățimea lamei, pentru a putea citi o formulă leucocitară completă. Am întîlnit și cazuri contrare, cînd elementele leucocitare erau mult mai rare, dar întotdeauna am avut posibilitatea de a stabili o formulă leucocitară de pe o singură lamă.

Aceste variații individuale nu le putem explica încă, dar este foarte probabil că ele se datorează unor modificări ale factorilor de mediu și interni.

#### A. MORFOLOGIA LEUCOCITELOR

##### 1. Limfocite (fig. A, 1–6)

Dintre toate categoriile de leucocite găsite în singele de stavrid, acestea sunt cele mai constante și mai numeroase. Ele corespund morfologic cu limfocitele Vertebratelor superioare.

Sunt variate ca mărime și ca formă. Majoritatea lor sunt celule foarte mici, avînd  $4,6,5 \mu \text{ø}$ . Au o formă rotundă, ovală sau ușor reniformă (fig. A, 1–3) și apar singuratice sau în grupuri de 2–3, rar 10–12 la un loc.

In raport cu nucleul, protoplasma lor este puțin dezvoltată. În majoritatea cazurilor, ea nici nu se poate distinge. Când este vizibilă, apare ca o zonă foarte îngustă în jurul nucleului (fig. A, 3–4), care se colorează în albastru.

Nucleul unic, rotund sau oval, este relativ mare  $4-6 \mu$  și colorat intens în albastru-violaceu închis, ceea ce arată existența unei rețele bogate de cromatină. Alături de aceste forme, care sunt cele mai dese, se întâlnesc unele al căror nucleu este mult mai palid colorat (fig. A, 2), deci mai sărac în cromatină și avînd o protoplasmă cu total invizibilă.

Aceste forme constituie ceea ce noi numim limfocite mici. Ele reprezintă 81% din totalitatea leucocitelor dela stavrid.

Forme de trecere spre *limfocitele mari* sunt puține și noi le-am trecut tot în categoria limfocitelor mici. Mărimea lor medie este în jurul a  $7,5 \mu \text{ø}$ .

*Limfocitele mari* nu sunt numeroase (fig. A, 5–6). Ele reprezintă 1,7% din totalitatea leucocitelor. Se întâlnesc rar, iar în unele preparate lipsesc complet. Prezintă un nucleu mare, dar rețea de cromatină nu este nici atât de densă, nici atât de intens colorată ca la limfocitele mici. Protoplasma este destul de slab dezvoltată (fig. A, 5) uneori putîndu-se prezenta ca o zonă mai largă, mai intens colorată și dispusă în jurul nucleului (fig. A, 6). Aceste forme din urmă ar putea fi considerate ca forme de trecere în spre monocite. Mărimea medie a limfocitelor mari este de circa  $9 \mu \text{ø}$ .

##### 2. Trombocite (fig. A, 7–8)

In această categorie am situat cele mai mici elemente limfocitare ale singelui ( $3,4-6,6 \mu \text{ø}$ ). Forma lor este în general fusiformă, în formă de coadă sau ușor rotundă. Nucleul este rotund sau oval și se colorează foarte intens în violet închis, mai închis la culoare decât nucleul limfocitelor. Protoplasma este puțină, e bazofilă și se găsește mai adesea la capetele subțiate ale celulei.

Prezența acestor elemente nu este uniformă; în unele preparate lipsesc cu totul, în altele sunt rare, iar în altele sunt foarte numeroase. În medie se găsesc în proporție de 7,2% din totalul leucocitelor.

##### 3. Leucocite neutrofile (fig. B, 1–9)

In această categorie sunt cuprinse acele elemente care s-ar putea omologa, după unele din caracterele lor, cu granulocitele neutrofile dela Vertebratele superioare. Mărimea lor este cuprinsă între  $7$  și  $13,5 \mu \text{ø}$ , existînd toate formele de trecere între aceste limite extreme. Forma lor este

în general rotundă, slab conturată. Citoplasma nu prezintă granulații evidente. Ea se colorează slab și uniform cu May Grünwald-Giemsa, în roz-violaceu deschis, prezentând o amfofilie variabilă, astfel că găsim forme ce trec spre o ușoară bazofilie (fig. B, 8-9). Totuși putem afirma că predomină elementele cu ușoară bazofilie. Citoplasma apare ca o rețea fină cu aspect omogen și e lipsită de granulații, sau cel puțin cu tehnica noastră de colorare acestea nu au putut fi puse în evidență. Volumul total al citoplasmelor este cu puțin mai mare decât al nucleului.

Nucleul, întotdeauna bine conturat, se colorează intens, având granule de cromatină neuniform colorate în roșu-violet. El este polimorf, având forme variabile dela ovală sau globuloasă, la forma reniformă, boabă de fasole, potcoavă, inel, lobat sau chiar segmentat (fig. B, 1-9). Cea mai frecventă formă întâlnită este cea globuloasă, celelalte fiind mult mai rare. Poziția nucleului este întotdeauna excentrică, găsindu-se în spatele marginii celulei.

Leucocitele neutrofile sunt întotdeauna prezente în singele de stavrid, dar în număr variabil. Proporția lor reprezintă 8,2% din totalul leucocitelor.

#### 4. Monocile (fig. C, 1-6)

Aceste elemente se recunosc dela prima vedere pe toate froturiile noastre, după dimensiunile lor mari și mai ale după bazofilia lor puternică. Reprezintă elementele cele mai voluminoase ale singelui de stavrid, putând ajunge la  $\varnothing$  de  $14-15 \mu$ . În schimb sunt destul de rare. Mărimea lor nu constituie însă caracterul lor esențial, căci între ele găsim unele monocite mult mai mici, care nu depășesc mărimea normală a unei eritrocite (fig. C, 1). Ele ies în evidență prin colorația intensă a citoplasmelor în albastru-violet, prezentând condensări periferice și vacuoale. De asemenea conturul celulei nu este prea regulat.

Nucleul este în general slab colorat, destul de voluminos și neregulat ca formă (fig. C, 4-5), prezentând adesea scobituri (fig. C, 6). El nu are niciodată polimorfismul pe care îl prezintă nucleul neutrofilelor. Cromatina nucleară este alcătuită dintr-o rețea laxă (fig. C, 2-6), cu ochiuri mari, care se colorează palid în roșu-violaceu, de aceeași tonalitate cu citoplasma. Monocitele mici au rețeaua de cromatină mai densă și mai intens colorată. De asemenea, nucleul acestora e mai voluminos decât citoplasma.

Monocitele se găsesc în proporție de 1,9% din totalitatea leucocitelor singelui de stavrid.

Între leucocitele neutrofile și monocite, am putut găsi o serie de forme intermediare, nu prea numeroase dar existente, pe care le-am pus fie în categoria unor, fie în aceea a celorlalte, după aspectul lor morfologic, după felul de colorație și după raportul dintre nucleu și citoplasmă.

#### B. RAPORTUL NUCLEO-PLASMATIC N/P

Pe baza tipurilor morfologice arătate mai sus, am căutat să vedem dacă acestora le corespund valori determinante privitor la raportul dintre nucleu și citoplasmă. Acest raport are pentru diferitele celule ale corpului o valoare destul de constantă și specifică pentru fiecare tip de celulă. El poate constitui

o indicație asupra momentului când celula adultă este ajunsă la maturitate și e aptă pentru reproducere. Se știe însă că valoarea acestui raport se modifică în timpul creșterii celulei, fiind mult mai mare la celulele tinere decât la cele bătrâne.

Noi am determinat acest raport în mod relativ, folosindu-ne de tehnica preconizată de Th. Buzină. Pe o hirtie de calitate bună și de grosime uniformă se desenează la camera clară un număr mare de leucocite din tipurile arătate mai sus. Se conturează în aceste desene marginea externă a celulei și conturul nucleului. Apoi se taie toate aceste contururi cu foarfeca, izolându-se separat nucleul și separat citoplasma. Se cintăresc toate hîrtiile corespunzătoare nucleului dela o aceeași formă de leucocit și toate hîrtiile corespunzătoare citoplasmelor dela aceeași formă de leucocit. Din raportul dintre greutatea hîrtiei nucleare, față de greutatea hîrtiei citoplasmatic, se obține valoarea reală a raportului nucleo-plasmatic N/P.

Rezultatele noastre sunt date în tabloul Nr. 1. Cifrele nu corespund greutății reale a leucocitelor, dar raportul între N și P corespunde valorii reale a acestui raport în organism.

Tabloul Nr. 1

Calcularea raportului N/P la diferitele forme de leucocite

Forma leucocitei	Nr. elem. indicate	Greutatea a 50 de elemente	Greutatea în g a hîrtiilor coresp.		Raportul N/P	$\varnothing$ lor în $\mu$
			N	P		
Limfocite mici.....	50	0,5173	0,5173	—	—	4/6,5
Limfocite mari .....	45	0,9162	0,6662	0,1584	4,2	9
Trombocite.....	50	0,3783	0,3420	0,0363	9,4	3,4/6,6
Neutrofile .....	50	1,5938	0,7026	0,8912	0,78	7,5/13,5
Monocile .....	36	2,3916	1,0567	0,6659	1,6	15
Forme de trecere între monocite și neutrofile .....	20	1,9970	0,4775	0,3215	1,48	—
Eritrocite .....	50	1,4888	0,2466	1,2422	0,2	8,5/10,5

După cum se observă, valoarea raportului N/P este destul de caracteristică, pentru diferitele tipuri de leucocite. Ea ne confirmă astfel clasificarea morfologică descriptivă arătată în tabloul Nr. 1. La limfocitele mici, la care nu se vede protoplasma, nu putem stabili acest raport în mod precis. În tot cazul, raportul N/P trebuie să fie foarte mare. La limfocitele mari, el are o valoare de 4,2. Această valoare delimită net limfocitele de toate celelalte categorii. Monocitele au o valoare de 1,6, pe cind neutrofilele una de 0,78. Delimitarea lor este deci destul de ușoară. Dar între limfocite și monocite pe de o parte și între monocite și neutrofile pe de altă parte, noi am putut vedea forme intermediare, al căror raport N/P este cuprins între valorile specifice ale monocitelor și neutrofilelor, fiind de 1,48.

Totuși existența unei valori, destul de diferențiale, a raportului N/P la diferitele categorii de leucocite descrise de noi, este o dovadă experimentală a descrierii lor morfologice. În cazurile de dubiu, determinarea acestui raport ne poate lămuri asupra categoriei și formei leucocitei respective. Cu ajutorul acestei verificări noi am categorisit unele forme, care numai după aspectul morfologic erau greu de pus la limfocite sau monocite, la monocite sau neutrofile.

Bazați pe aceste constatări, credem că determinarea valorii raportului N/P poate servi ca o verificare a descrierii morfologice a diferitelor forme de leucocite, mai ales la pești, unde există forme de trecere continue între diferențele categorii de leucocite.

#### C. FORMULA LEUCOCITARĂ

Pe baza datelor de mai sus, noi am stabilit următoarele tipuri de leucocite care pot interveni în stabilirea formulei leucocitare:

1. Limfocite mici și mari
2. Trombocite
3. Monocite
4. Leucocite neutrofile

Cu toată existența formelor de trecere între aceste categorii, care sunt de altfel puțin numeroase, formula leucocitară se poate stabili cu destulă ușurință. În tabloul Nr. 2 dăm rezultatele citirilor.

#### D. DISCUȚIA REZULTATELOR

Lucrarea noastră este o primă încercare descriptivă și de proporționalitate asupra leucocitelor dela stavridul din Marea Neagră. Rezultatele ei nu au ținut seama de intervenția factorilor de mediu, care lucrând prin intermediul sistemului nervos pot modifica formula sanguină, așa cum a arătat Cernigovski (4). Ea formează numai o bază de orientare a cercetărilor pe care le vom întreprinde ulterior asupra relației care există la pești între alcătuirea figurată și solvată a singelui și variația naturală și experimentală a factorilor de mediu. Este foarte probabil că variațiile proportionale ale diferitelor forme de leucocite găsite de noi la indivizii cercetați, să fie datorite unor astfel de cauze.

În singele de stavrid, noi am putut distinge următoarele forme de leucocite: limfocite, trombocite, monocite și leucocite neutrofile. Între acestea se găsesc, însă în mod natural forme de trecere. Numărul acestora este destul de redus, astfel că nu îngreuează citirea formulei leucocitare.

Dintre toate categoriile predomină net limfocitele mici, care reprezintă 81% din totalitatea elementelor leucocitare. Limfocitele mari sunt rare. Ele fac trecerea spre monocite. Astfel de forme de trecere au mai fost descrise și de alți autori (12), (6), (9). Aceștia dau seria întreagă a formelor de trecere, care este atât de numeroasă, încât o delimitare netă între diferențele tipuri nu s-a prea putut face. În cazul nostru, formele de trecere sunt rare și delimitarea diferitelor tipuri se poate face în mod destul de ușor și repede.

Monocitele, deși nu sunt prea multe, reprezentând numai 1,9% din totalitatea leucocitelor, sunt însă constante în singele de stavrid. La unii pești, după datele lui Drezina (6), formează, alături de limfocite, singurele elemente leucocitare.

Bazofilia puternică, forma lor, mărimea și aspectul nucleului, prezența vacuolelor în protoplasmă (1), sunt o serie de caractere care deosebesc monocitele de celelalte categorii de leucocite. Raportul nucleo-plasmatic ne ajută și în caracterizarea și recunoașterea lor.

Leucocitele neutrofile sunt, după limfocite, cele mai numeroase elemente leucocitare din singele de stavrid. Ele se pot apropia de neutrofilele Verte-

Tabloul Nr. 2

Citiri de formule leucocitare

Nr. ind. și sexul	Frotiu	Nr. citirilor	Leucocite				Observații	
			Limfocite mici	Limfocite mari	Trombocite	Monocite		
1 ♂	a	1	95	1	—	1	3	Lama se parcurge odată transv. pt. una citire
		2	89	1	—	3	7	
		3	86	1	—	4	9	
		4	88	1	—	—	11	
		5	94	1	—	2	4	
		6	88	1	—	2	9	
Media frotiu:		90	1	—	2	7		
b	7	82	3	—	4	11	3 × transv.	
	8	83	3	—	1	13	"	
	9	86	—	—	2	12	2 × transv.	
	10	84	—	—	4	12	"	
	11	96	—	—	—	4	2½ × transv.	
Media frotiu:		86,2	1,2	—	2,2	10,4		
c	12	87	2	—	2	9	1 × lung.	
	13	82	2	—	—	16		
	14	88	1	—	2	9		
Media frotiu:		85,7	1,7	—	1,3	11,3		
d	15	88	3	—	—	9	2 × transv.	
	16	91	2	—	—	7	"	
	17	89	3	—	1	7	1½ × transv.	
	18	92	—	—	1	7	"	
	19	93	3	—	1	3	"	
Media frotiu:		90,6	2,2	—	0,6	6,6		
Media individ:		88,2	1,5	—	1,5	8,8		
2 ♀	a	20	83	2	—	1	14	
	b	21	80	3	—	—	17	
		22	85	1	—	—	14	
	Media frotiu:		82,5	2	—	—	15,5	
	c	23	84	1	—	1	14	
		24	89	3	—	—	8	
Media frotiu:		86,5	2	—	0,5	11		
d	25	81	2	—	2	15		
e	26	94	1	—	—	5		
Media individ:		85,4	1,8	—	0,7	12,1		

(urmare)

Nr. ind. și sexul	Frotiu	Nr. citirilor	Leucocite				Observații	
			Limfocite mici	Limfocite mari	Trombocite	Monocte		
3 ♀	a	27	80	—	—	3	17	1,3/4 × transv.
		28	79	5	—	—	16	
		29	87	2	—	3	8	
		30	84	3	—	—	13	
		31	83	1	—	2	14	
	Media frotiu:		82,6	2,2	—	1,6	13,6	
	b	32	86	—	—	3	11	
		33	84	1	—	2	13	
		34	83	2	—	3	14	
		35	83	1	—	2	14	
	Media frotiu:		84	1	—	2,5	12,7	
	Media individ:		83,3	1,6	—	2,0	13,1	
4 ♂	a	36	78	2	16	—	4	
		37	77	4	11	—	8	
		38	82	1	8	1	8	
		39	79	4	9	1	7	
		40	74	—	18	—	8	
		41	65	2	26	—	7	
		42	70	4	20	1	5	
	Media frotiu:		75	2,4	15,4	0,4	6,7	
	b	43	67	2	25	2	4	
		44	69	4	20	1	6	
		Media frotiu:		68	3	22,5	1,5	5
	c	45	69	2	23	1	5	
		46	70	1	21	1	7	
		Media frotiu:		69,5	1,5	22	1	6
	Media individ:		70,8	2,3	20	1	5,9	
5 ♀		47	58	2	31	2	7	
		48	66	2	23	2	7	
Media individ:			62	2	27	2	7	
6 ♀	a	49	88	—	—	2	10	1 × transv.
		50	94	—	—	2	4	1/2 × transv.
		51	94	2	—	1	3	1 × transv.
		52	93	—	—	3	4	1/2 × transv.
		53	93	1	—	2	6	1/2 × transv.
		54	92	1	—	—	7	1/2 × transv.
		55	91	1	—	—	8	"
		56	92	—	—	1	7	3/4 × transv.
Media frotiu:		91,9	0,6	—	1,3	6,1		

(urmare)

Nr. ind. și sexul	Frotiu	Nr. citirilor	Leucocite				Observații	
			Limfocite mici	Limfocite mari	Trombocite	Monocte		
7	a	57	88	1	—	3	8	1/2 × transv.
		58	81	3	—	—	16	"
		59	92	1	—	1	6	"
		60	89	1	—	2	8	"
		61	87	1	—	2	10	1/2 × transv.
		62	91	—	—	—	9	"
		63	89	1	—	3	7	"
	b	64	86	2	—	—	12	"
		Media frotiu:		88	1,2	—	1,3	9,5
		Media individ:		91,7	0,3	—	1,7	6,3
8 ♀	c	65	92	—	—	3	5	1/2 × transv.
		66	91	—	—	2	7	"
		67	91	—	—	2	7	"
		68	93	1	—	—	6	"
	d	Media frotiu:		93,6	—	—	1,7	4,7
		Media individ:		91	0,8	—	1,7	6,5
		Media frotiu:		76	92	—	—	8
	e	77	90	1	—	4	5	
		78	91	—	—	3	6	
		79	90	—	—	2	8	
8 ♀	f	Media frotiu:		90,7	0,3	—	2,2	6,8
		Media individ:		91,1	0,5	—	1,7	6,7
		80	55	1	5	2	37	1/2 × transv.
		81	69	—	1	1	29	"
		82	57	3	6	1	33	1/2 × transv.
		83	70	1	2	1	26	1/4 × transv.
		84	73	2	4	1	20	"
	g	85	63	3	5	1	28	"
		Media frotiu:		64,5	1,7	3,8	1,2	28,8
		Media individ:		86	95	—	—	5
8 ♀	h	87	92	1	—	2	5	"
		88	89	1	—	2	8	"
		89	92	2	—	—	6	"
		Media individ:		92	1	—	1	6

(urmare)

Nr. ind. și sexul	Frotiul	Nr. citirilor	Leucocite					Observații
			Limfocite mici	Limfocite mari	Trombocite	Monocte	Neutrofile	
9 ♀	a	90	81	3	9	2	5	
10 ♂	a	91	72	4	4	7	13	rare
		92	80	—	3	3	14	»
		93	90	1	—	1	8	»
		94	91	1	—	1	7	»
		95	67	2	3	5	21	»
		96	78	4	2	2	14	»
Media individ:			80	2	2	3,2	12,8	
11 ♂	a	97	86	2	—	1	11	rare
		98	89	3	—	3	5	»
		99	90	4	—	2	4	»
		100	86	2	—	3	9	»
Media individ:			88	2,7	—	2,1	7,2	
12 ♂	a	101	90	3	—	2	5	rare
		102	91	4	—	1	4	»
		103	93	5	—	—	2	»
		104	90	2	—	1	7	»
Media individ:			91	3,5	—	1	4,5	
13 ♂	a	105	79	3	—	4	14	rare
		106	96	—	—	—	4	»
		107	94	—	—	2	4	»
		108	87	4	—	5	4	»
		109	84	2	—	3	11	»
		110	88	2	—	4	6	»
		111	87	—	—	2	11	»
Media individ:			87,9	1,6	—	2,8	7,7	
14 ♂	a	112	78	—	—	6	16	
15 ♂	a	113	87	2	—	5	6	f. rare
16 ♂	a	114	89	1	5	—	5	f. rare
		115	91	3	2	—	4	»
Media individ:			90	2	3,5	—	4,5	
17 ♀	a	116	60	1	38	—	1	1 × transv.
		117	69	1	30	—	—	»
		118	73	1	24	1	1	»
Media individ:			67,3	1	30,7	0,3	0,7	
18 ♂	a	119	51	2	40	—	7	1 × lung.
		120	71	—	25	—	4	»
		121	51	1	45	—	3	»
		122	44	—	49	—	7	»
		123	46	—	40	1	13	»

(urmare)

Nr. ind. și sexul	Frotiul	Nr. citirilor	Leucocite					Observații	
			Limfocite mici	Limfocite mari	Trombocite	Monocte	Neutrofile		
Media individ:			52,6	0,6	39,8	0,2	6,8		
19 ♂	a	126	94	2	—	1	3	f. rare	
		127	93	3	—	—	4	»	
	b	128	91	3	3	2	1	f. rare	
		129	90	2	3	3	2	»	
		130	95	—	5	—	—	»	
Media frotiu:			93,5	2,5	—	0,5	3,5		
Media individ:	c	131	79	6	2	6	7		
			88,2	3,4	1,9	2,7	3,8		
			132	94	1	3	—	2	
20 ♀	a	133	91	—	8	1	—	2 × transv.	
		134	89	1	9	1	—	1,1/2 × transv.	
		135	93	—	6	—	1		
		136	90	—	9	1	—		
Media individ:			91,4	0,4	7	0,6	0,6		
Media generală a celor 20 de indivizi:			81	1,7	7,2	1,9	8,2		

bratelor superioare după unele caractere: amfofilia citoplasmei, polimorfismul nucleului, forma și mărimea lor. Trebuie să remarcăm însă că la ele predomină o ușoară bazofilie, care după indicațiile date de Lupu (10) ar putea fi un caracter de tinerețe. Protoplasma lor nu prezintă granulații, cel puțin prin metoda folosită de noi. Caracterul polimorf al nucleului nu este general, deoarece multe din ele au un nucleu globulos și excentric. Raportul N/P ne ajută foarte mult la caracterizarea lor. Cantitatea de citoplasmă este însă mai mare decit masa nucleară, astfel că raportul N/P are o valoare sub unitate, ceea ce nu s-a găsit la niciun alt tip de leucocite din singele stavridului.

Termenul de leucocite neutrofile nu este folosit peste tot de toți autorii pentru singele pestilor. Chlopian (9) le descrie la știucă, ca elemente amfofile și fără granulații. Dar Maximova Selacieni și Kraft la *Carassius* le denumesc leucocite speciale, ele putind sau nu să aibă granulații slab acideofile. Drzewina le numește neutrofile mici și le descrie ca elemente puțin colorabile, având însă protoplasmă granulară și nucleu lobat sau conturнат. Svetkov (16) la *Accipenser ruthenus* le numește leucocite segmentate, din cauza nucleului segmentat în diferiți lobi.

Noi nu am găsit în singele de stavrid niciun element granular. Drzewina (6) afirmă că la Teleosteeni elementele granulare nu sunt indispensabile în economia animalului, astfel că nu e nicio regulă care să impună prezența sau lipsa lor. Acest lucru nu pare în concordanță cu raporturile precise dintre

animal și mediu. Noi știm astăzi în mod destul de precis (3) că bogăția în elemente leucocitare depinde de o serie de factori ca: inanția, vîrstă, salinitatea mediului, temperatura apei, acțiuni bacteriene etc. Nicolaef (13) arată chiar dependența lor de felul hranei. Din aceste motive, noi avem certitudinea că variațiile pe care le-am întîlnit în prezență și în proporția diferitelor forme de leucocite depind de factori precisi, asupra cărora se vor îndrepta lucrările noastre ulterioare.

In general, citirile noastre, cu toate variațiile pe care le prezintă în cadrul unui aceluiasi tip, au rămas totuși în limite destul de restrinse. Numai la individul Nr. 7 (tabloul Nr. 2), numărul neutrofilelor este depășit cu mult față de ceilalți indivizi cercetați.

In ceea ce privește trombocitele, lucrurile se prezintă altfel. Ele nu par a fi elemente constante la toți indivizii. Noi le-am găsit numai la jumătate din indivizii cercetați. Apoi ele se găsesc cînd în număr mare (pînă la 39% din totalitatea leucocitelor), cînd în număr redus (2–3%). Noi nu putem da nici o explicare momentan acestor variații. Diferiții autori care s-au ocupat cu studiul săngelui de pești nu le descriu la toate speciile. Svetkov (16) le găsește la *Accipenser ruthenus*; Maximov (11) la *Selacieni*; Grünberg (7) la *Scyllium*. In general, trombocitele sunt destul de cunoscute la Poikiloterme (17).

#### E. CONCLUZII

In sănglele de stavrid am putut deosebi următoarele categorii de leucocite:

1. Limfocite mici și mari. Limfocitele mici fiind elementele cele mai numeroase și reprezentînd 81 % din totalitatea leucocitelor. Au o mărime de 4/6,5  $\mu$   $\varnothing$ . Au formă rotundă, ovală sau ușor reniformă. Apar singuratice sau în grupuri mici. Protoplasma este puțină și se colorează în albastru cu May Grünwald-Giemsa. La majoritatea lor, protoplasma nu se poate distinge la microscop. Nucleul unic este rotund sau oval și se colorează intens în albastru-violaceu.

Limfocitele mari sunt elementele cele mai rare ale săngelui de stavrid. Ele reprezintă 1,7% din totalitatea leucocitelor. In medie au un  $\varnothing$  de 9  $\mu$ . Protoplasma, puțină, este întotdeauna vizibilă în jurul nucleului, uneori avînd o zonă destul de largă. Nucleul se colorează mai pal decît la limfocitele mici. Raportul N/P este de 4,2.

2. Trombocitele sunt cele mai mici elemente leucocitare din sănglele stavridului, avînd un  $\varnothing$  de 3,4–6,6  $\mu$ . Sunt fuziforme, ovale sau în formă de coadă. Nucleul foarte intens colorat în violet, mai închis decît cel al limfocitelor. Protoplasma bazofilă, foarte puțin dezvoltată la capetele celulei. Se găsesc în proporție de 7,2%. Raportul N/P este de 9,4.

3. Monocitele au mărimi variate, între 9–15  $\mu$ . Se prezintă ca elementele cele mai mari din sănglele de stavrid. Au formă și contur neregulat. Protoplasma, puternic bazofilă, prezintă condensări periferice și vacuole. Nucleul are formă neregulată, adesea cu un contur scobit și mai voluminos decît protoplasma. El se colorează palid în roșu-violaceu. Sunt destul de rare, găsindu-se în proporție de 1,9 %. Raportul N/P este de 1,6.

4. Leucocite neutrofile. Ele variază ca număr și mărime, avînd un  $\varnothing$  între 7,5–13,5  $\mu$ . Au o formă în general rotundă, slab conturată. Protoplasma e

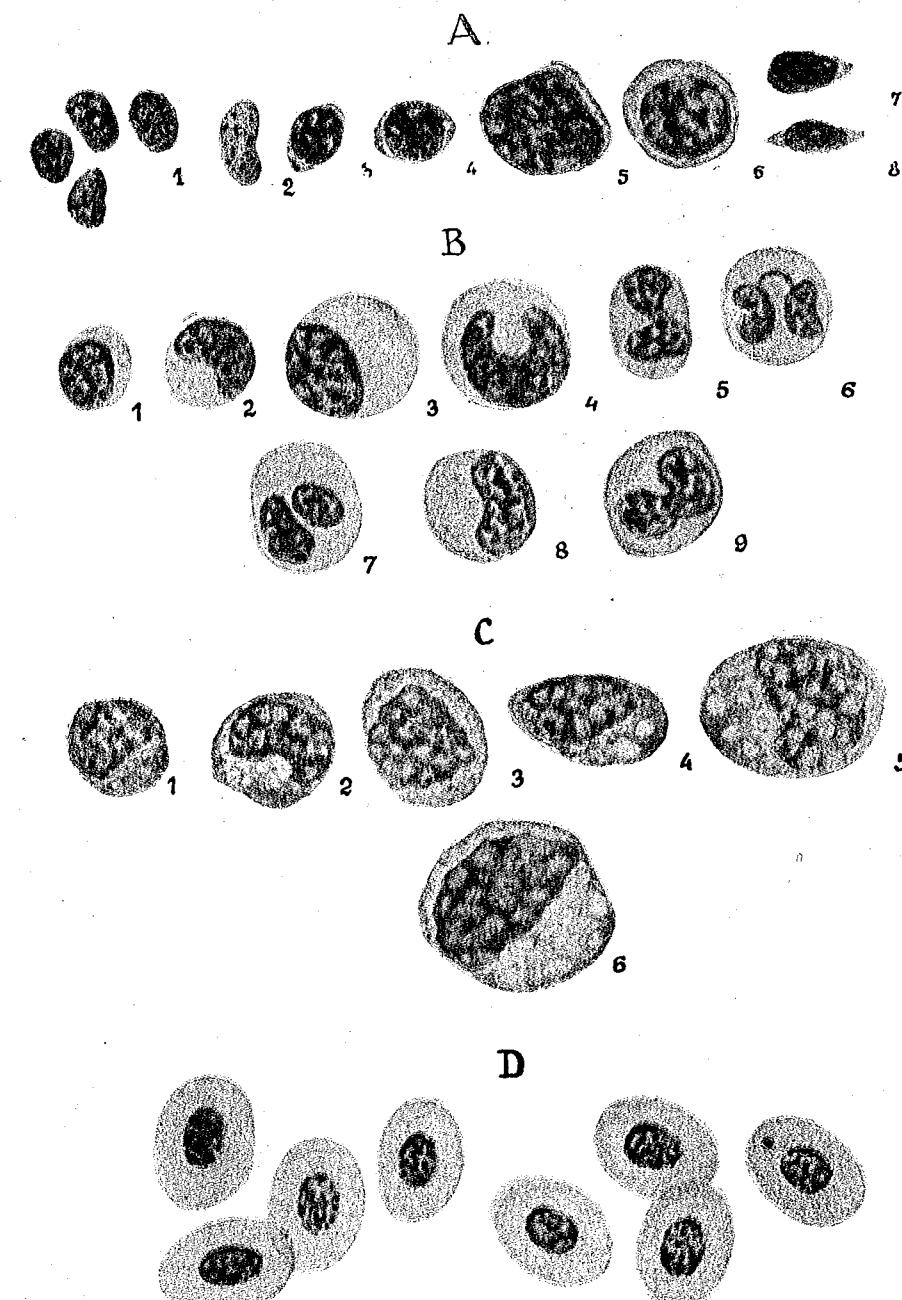


Fig. A — 1—6 limfocite (1—4 limfocite mici; 5 și 6 limfocite mari).

Fig. B — 1—9 leucocite neutrofile.

Fig. C — 1—6 monocite.

Fig. D — eritrocite.

slab colorată, amfofilă, cu treceri gradate spre ușoară bazofilie. Ea se prezintă ca o rețea fină cu aspect omogen și este lipsită de granulații. Nucleul bine conturat, se colorează intens în roșu-violet. El apare rar polimorf (lobat, segmentat, în formă de inel). Mai frecvent este globulos și excentric. Proporția lor este de 8,2 %. Raportul N/P este de 0,78.

5. Între diferitele categorii de leucocite sunt forme rare de trecere. Astfel, între limfocitele mici și mari, între limfocite și monocite, între monocite și neutrofile.

6. Raportul nucleo-plasmatic confirmă existența reală a categoriilor descrise de noi, fiind astfel un sprijin morfologic în plus față de celelalte caractere descriptive.

7. Formula leucocitară s'a putut stabili cu destulă ușurință, pe baza formelor bine delimitate. Ea este următoarea:

Limfocite mici	$\varnothing$	4/6,5 $\mu$	.....	81 %	Rap. N/P =	—
Limfocite mari	$\varnothing$	9 $\mu$	.....	1,7 %	»	4,2
Trombocite	$\varnothing$	3,4–6,6 $\mu$	.....	7,2 %	»	9,4
Monocite	$\varnothing$	9–15,0 $\mu$	.....	1,9 %	»	1,6
Neutrofile	$\varnothing$	7,5–13,5 $\mu$	.....	8,2 %	»	0,78
				100,0 %		

### БИОЛОГИЯ СТАВРИДЫ ЧЕРНОГО МОРЯ О морфологии лейкоцитов и лейкоцитарной формуле (КРАТКОЕ СОДЕРЖАНИЕ)

Исходя из морфологического исследования лейкоцитов ставриды, авторы пытались установить на основании морфологических признаков лейкоцитарную формулу.

В крови ставриды были найдены следующие категории лейкоцитов: лимфоциты, тромбоциты, моноциты и нейтрофильные лейкоциты. Зернистые лейкоциты не были найдены. Среди всех категорий лейкоцитов были обнаружены переходные формы. Следовательно среди различных категорий не существует четкого разделения в том смысле, в котором таковое отмечено у высших позвоночных.

Во всех исследуемых категориях отмечается определенное преобладание лимфоцитов, а именно небольших лимфоцитов ( $4/6,5 \mu \varnothing$ ). Переходные формы к большим лимфоцитам немногочисленны. Большие лимфоциты ( $9 \mu \varnothing$ ) являются наиболее редкими элементами. Отношение N/P больших лимфоцитов равняется 4,2.

Наименьшими лейкоцитарными элементами в крови ставриды ( $3,4–6,6 \mu \varnothing$ ) являются тромбоциты. Повидимому, они не постоянные элементы у всех особей. Отношение N/P равняется 9,4.

Моноциты разнообразны по форме и величине ( $9–15 \mu \varnothing$ ) и являются одним из самых значительных элементов в крови ставриды. Отношение N/P равняется 1,6.

Нейтрофили разнообразны по количеству и величине ( $7,5–13,5 \mu \varnothing$ ). По некоторым признакам они приближаются к нейтрофилям высших позвоночных. Отношение N/P равняется 0,78.

Нуклео-плазматическое соотношение подтверждает действительное существование вышеописанных категорий.

Несмотря на существование переходных форм среди различных категорий лейкоцитов, лейкоцитарная формула может быть установлена, поскольку эти переходные формы немногочисленны и включение их в одну из этих категорий существенно не изменяет формулы:

Небольшие лимфоциты .....	81 %
Большие лимфоциты .....	1,7%
Тромбоциты .....	7,2%
Моноциты .....	1,9%
Нейтрофилы .....	8,2%

#### ОБЪЯСНЕНИЕ РИСУНКОВ

Таблица I. — А. 1—6 — лимфоциты (1—4 — небольшие лимфоциты; 5 и 6 — большие лимфоциты). В. 1—9 — нейтрофильные лейкоциты. С. 1—6 — моноциты. D. — еритроциты.

#### LA BIOLOGIE DU TRACHURUS TRACHURUS TRACHURUS DE LA MER NOIRE

SUR LA MORPHOLOGIE DES LEUCOCYTES ET LA FORMULE LEUCOCYTAIRE  
(RÉSUMÉ)

En partant de l'étude morphologique des leucocytes de *Trachurus trachurus trachurus* et basés sur les caractères morphologiques, les Auteurs ont tâché d'en établir la formule leucocytaire.

Ils ont pu déterminer dans le sang de *Trachurus*, les suivantes catégories de leucocytes: lymphocytes, thrombocytes, monocytes et leucocytes neutrophiles. On n'y trouve point de leucocytes granulaires. Parmi toutes ces catégories de leucocytes, se trouvent des formes de transition d'une forme à l'autre. Il n'y a donc pas de séparation nette, comme chez les vertébrés supérieurs, entre les différentes catégories.

De toutes ces catégories, ce sont les lymphocytes qui prédominent, à savoir, les petits lymphocytes ( $4/6,5 \mu\text{m}$ ). Les formes de transition vers les grands lymphocytes sont peu nombreuses. Les grands lymphocytes ( $9 \mu\text{m}$ ) sont les éléments les plus rares. Le rapport N/P des grands lymphocytes est de 4,2.

Les thrombocytes sont les plus petits éléments leucocytaires du sang du *Trachurus* ( $3,4—6,6 \mu\text{m}$ ). Ils ne semblent pas être des éléments constants chez tous les sujets. Le rapport N/P est de 9,4.

Les monocytes sont de formes et de grandeurs variées ( $9—15 \mu\text{m}$ ). Ce sont les plus grands éléments du sang de *Trachurus*. Le rapport N/P est de 1,6.

Les neutrophiles, dont le nombre et la grandeur varient, ont un diamètre de  $7,5$  à  $13,5 \mu\text{m}$ . D'après certains caractères, on peut les rapprocher des neutrophiles des vertébrés supérieurs. La rapport N/P est de 0,78.

Le rapport noyau-plasma confirme l'existence réelle des catégories décrites par les Auteurs.

Malgré l'existence des formes de transition entre les différentes catégories de leucocytes, on peut établir une formule leucocytaire, du fait que ces formes de transition ne sont pas trop nombreuses et la formule n'est pas modifiée dans son essence, si ces formes sont classées dans une catégorie ou dans l'autre.

La formule en est la suivante:

Petits lymphocytes .....	81 %
Grands lymphocytes .....	1,7 %
Thrombocytes .....	7,2 %
Monocytes .....	1,9 %
Neutrophiles .....	8,2 %

#### EXPLICATION DES FIGURES

Planche I. — Fig. A. 1—6, lymphocytes (1—4, petits lymphocytes; 5 et 6, grands lymphocytes). Fig. B. 1—9, leucocytes neutrophiles. Fig. C. 1—6, monocytes. Fig. D. erythrocytes.

#### BIBLIOGRAFIE

1. Andreev, Bîkov, *Manual de Fiziologie*. Ed. de Stat, București, 1950.
2. Bănărescu P., Studii și cercetări științifice, Cluj, 1952, t. III, fasc. 3—4.
3. Cărăușu S., *Tratat de Ichtiologie*. Ed. Acad. R.P.R., București, 1952, p. 171.
4. Cernigovski N. V., Raport la Sesiunea lărgită a Acad. R.P.R., 1952, t. XII.
5. Drăgoi-Crișan, *Elemente de Istologie*. Ed. Wether, Sibiu, 1946, ed. a II-a.
6. Drzewina A., Arch. d'Anat. microsc., 1911, t. XIII, p. 319.
7. Grünberg G., Virchow's Arch. f. Path. Anat. u. Physiol., 1901, t. CLXIII, p. 303.
8. Jolly J., *Traité technique d'Hématologie*. Paris, 1923, t. I, p. 227.
9. Kraft J., Ztschr. f. mikr. Anat. Forsch., București, 1928, t. XIII, p. 461.
10. Lupu N. Gh. și M. Petrescu, *Hematologie clinică*. București, 1935.
11. Maximov A., Arch. f. mikr. Anat., 1922, t. XCVI, p. 494; 1923, t. XCVII, p. 283.
12. Meinertz J., Arch. f. Path. Anat. u. Physiol., 1902, t. CLXVIII, p. 353.
13. Nicolaeff N., Ber. ü. d. ges. Physiol., 1936, t. XCIV, p. 426.
14. Pora A. E. și colab., Bul. Științ. Acad. R.P.R., Secțiunea de Științe biol., agron., geol., geogr., ianuarie—martie 1952, nr. 1, t. IV, p. 129.
15. Rawitz B., Arch. f. mikr. Anat., 1900, t. LVI, p. 149.
16. Svetkov J. J., Ztschr. f. mikr. Anat. Forsch., 1925, t. III, p. 375.
17. Weidenreich Fr., Ergebn. Anat. Entw. Gesch., 1911, t. 19, 2 pl., p. 527—892.

BULETIN ȘTIINȚIFIC  
SECȚIUNEA DE ȘTIINȚE BIOLOGICE, AGRONOMICE,  
GEOLOGICE ȘI GEOGRAFICE  
Tomul V, nr. 4, 1953

CREȘTEREA ȘI DEZVOLTAREA  
METISULUI TRĂPAŞ X NONIUS  
COMPARATIV CU NONIUS-UL PÎNĂ LA 2 ANI

DE  
ION AL. NICOLESCU

*Comunicare prezentată de N. TEODOREANU, membru corespondent al Academiei  
R.P.R., în ședința din 23 iunie 1953*

Îmbunătățirea raselor de cai din Republica Populară Română constituie una din problemele prevăzute în planul de Stat. Pentru rezolvarea acestei probleme se fac cercetări cu scopul de a se stabili atât metodele cele mai practice și economice de aplicat, cît și rasele amelioratoare, care corespund cu scopurile de îmbunătățire sau de perfecționare în condițiile de mediu și de creștere ale diferitelor regiuni.

În cadrul problemei *Perfecționarea calului varietatea Nonius*, se cercetează rezultatele încrucișării experimentale între trăpaș și Nonius, în condițiile de mediu și de creștere ale regiunilor de ses din Banat.

Scopul urmărit este de a se crea în interiorul varietății Nonius un tip nou, întrunind masivitatea Nonius-ului, cu calitățile energetice superioare ale trăpașului, sporind astfel capacitatea de muncă și ridicînd valoarea economică a calului varietatea Nonius.

În scopul mai sus enunțat se studiază caracterele morfologice și fiziologice ale metișilor din diferite generații de încrucișare, atât în perioadele de creștere cît și la vîrstă adultă.

În lucrarea de față se prezintă rezultatele cercetărilor asupra creșterii și dezvoltării pînă la 2 ani a 22 de metiș din prima generație de încrucișare între armăsari trăpași și iepe Nonius, comparativ cu creșterea și dezvoltarea a 43 produși Nonius apartinând același generații (generațiile din 1949 și 1950), condițiile de mediu fiind aceleșii, atât pentru tineretul metis cît și pentru Nonius (aceeași hrană, întreținere, îngrijire, adăpost etc., aceleași condiții de mediu natural), tineretul Nonius formind deci un lot martor.

*Literatură.* În literatura noastră de specialitate nu s-au publicat pînă în prezent lucrări cu privire la rezultatele îmbunătățirii calului Nonius sau a altor rase, prin trăpaș.

În U.R.S.S. această încrucișare s-a practicat și s-au obținut rezultate pozitive de îmbunătățire a calului de agricultură prin trăpașul Orlov, în

scopul ameliorării calităților de muncă ale cailor din colhozuri și sovhozuri. Prof. I. I. Lakoza, ca rezultat al cercetărilor asupra încrucișărilor între trăpaș și calul local din regiunea Moscovei și Kazahstanului, ajunge la concluzia că, dacă se cresc metisii primei generații și următoarele în condiții satisfăcătoare și se folosesc armăsari trăpași de tip robust (masiv), se obține dela trăpaș un cal destul de mare, cu corpul relativ larg, potrivit tipului de cal pentru agricultură (5).

#### CONDIȚIILE DE HRĂNIRE ȘI ÎNTREȚINERE

Condițiile de hrănire și de întreținere a reproducătorilor și tineretului au fost în general cele obișnuite de herghelia (regim de întreținere la grajd (stabulație) în perioada din luna decembrie-aprilie și de păsunat în restul timpului). În anul 1950, păsunatul a fost întrerupt începând dela 15 august din cauza măsurilor sanităro-veterinare impuse contra anemiei infecțioase. Perioada de stabulație a fost astfel prelungită, în mod excepțional, în acel an la 8 luni, animalele neputind profita decât parțial de regimul de păsunat (4 luni). Iepele au fost utilizate numai la reproducție și au primit pe timpul stabulației rații de hrână cu următorul conținut mediu în substanțe nutritive: pe timpul stabulației 8,33 unități nutritive și 611,5 g albumină digestibilă; iar

Tabloul nr. 1

Rațile cu care a fost hrănit tineretul

Categorie	Componerarea ratiei							Conținutul		Observații	
	Ovăz kg	Orz kg	Po-rumb kg	Ma-zăre kg	Turte kg	Tăr-rițe kg.	Fin kg	Paie kg	Alb. dig. g	Unit. nutr. kg	
Minji sugari	1-3,5	-	-	0,2-0	-	-	1-2,5	-	de la 128-594	de la 1,870-5,220	în plus păsună
Înărcăți pînă la 1 an (stabulație) ..	1,5-3,5	0,250-1,5	1	0,5	-	0,330	3-4	4-6	de la 620-857	de la 5,370-5,822	hrănire la grajd
De la 1 an la $1\frac{1}{2}$ an (la păsună) ..	1,33-2,5	0,5-1	0,3-0,6	0,16-0,51	0,25-0,80	0,4-0,5	1-2,5	1,5-7	215-562	2,272-4,370	în plus păsună
De la $1\frac{1}{2}$ an la 2 ani (stabulație) ..	0,67-2	2	0,67-2	0,25-0,68	0,16-0,16	4-6	5	5	696-1099	5,770-7,852	hrănire la grajd

pe timpul păsunatului, 4,73 unități nutritive și 254,8 g albumină digestibilă, plus păsună. Față de perioadele de producție a iepelor (gestație, lactație) cantitatea de albumină cuprinsă în rații raportată la unitățile nutritive a fost mică pe timpul stabulației. Calitativ, rația a conținut o cantitate prea mică de ovăz (1-2 kg), iar în unele perioade acesta a lipsit complet, fiind înlocuit cu orz și porumb. Condițiile de hrănire au fost însă identice, atât la iepele din lotul experimental, cât și la iepele din herghelia Nonius.

Față de normele obișnuite de alimentație (6) se observă că hrănirea tineretului pe timpul stabulației a fost în parte insuficientă cantitativ și nu atât de bine echilibrată. Din rație au lipsit suculentele, în special morcovul, și nu s-a respectat destul de strict cantitatea minimă de ovăz ca nutreț concentrat de bază. Ca regim de întreținere, mișcarea, la unele secții de tineret,

nu a putut fi urmărită în mod regulat din lipsă de padocuri, dar în perioada păsunatului, minjii au petrecut tot timpul în libertate la păsună. Condițiile de hrănire și întreținere au fost identice atât pentru tineretul metis cît și pentru tineretul Nonius, încât aceiași factori au influențat deopotrivă dezvoltarea ambelor grupe.

*Creserea și dezvoltarea.* Cercetările asupra dezvoltării și creșterii corporale s-au făcut la 13 dimensiuni plus greutatea, la următoarele intervale: la naștere, 3, 6, 9, 12, 18, 24 luni. Tabloul nr. 2 cuprinde mediile și limitele variabilității pentru fiecare dimensiune cercetată în valori absolute.

Din examenul valorilor absolute a mediilor și caracterul variabilității, rezultă următoarele: cu puține excepții, dimensiunile corporale ale metisului sunt mai mici decât ale Nonius-ului, totuși curba de creștere urmează în de aproape tipul de dezvoltare al Nonius-ului. Diferențe în minus la metis față de Nonius se constată chiar la dimensiunile dela naștere și anume: 3,45 cm la înălțimea la grebă; 3,38 cm la înălțimea spinării; 3,09 cm la înălțimea la crupă; 1,75 cm la lungimea (înălțimea) piciorului; 1,08 cm la lărgimea pieptului; 1,01 cm la lărgimea crucei; 1,67 cm la lungimea trunchiului; 0,36 cm la lungimea crucei; 1,51 cm la adâncimea toracelui; 3,60 cm la perimetru toracelui; 0,70 cm la perimetru fluerului; 0,65 cm la lungimea capului; 1,82 cm la lungimea gâtului; de asemenea, 5,770 kg la greutatea vie. La naștere, diferențele în minus la dimensiunile corporale ale metisului sunt deci mai pronunțate la următoarele: la înălțimi, la perimetru toracelui și la greutatea corporală. Caracterul variabilității dimensiunilor, apreciat după valorile celor două variante extreme, ne arată de asemenea tendința generală în sensul diminuării valorilor la ambele plus și minus variante, acestea chiar cind reproducătorii trăpași utilizați în experiență au corespuns ca dimensiuni corporale tipului Nonius. Primul armăsar trăpaș utilizat în experiență (Crai II) avea, de exemplu, înălțimea la grebă de 154 cm (sub media tipului Nonius din herghelia, care este de 159,69 cm) pe cind cel de al doilea armăsar trăpaș (Roland D.) avea înălțimea la grebă de 160 cm (depășind cu puțin media tipului Nonius din herghelia). Media înălțimii la grebă la naștere metisilor provenind din primul armăsar, a fost de 97,91 cm., iar la generația provenită din cel de al doilea armăsar de 97,33 cm. Diferența de talie a reproducătorului trăpaș nu a influențat creșterea acestei dimensiuni în perioada dezvoltării intrauterine. Această influență se manifestă totuși, după cum vom vedea mai departe, în stadiul de creștere, dela naștere pînă la 2 ani. Diferențele în minus la dimensiunile corporale ale metisului astfel după cum au fost stabilite la naștere, comparativ cu cele ale Nonius-ului, se micșorează cu înaintarea în vîrstă pe tot timpul dezvoltării pînă la 2 ani. La 2 ani, dezvoltarea metisilor prezintă următoarele particularități: diferențe în minus la dimensiunile corporale ale metisului, comparativ cu Nonius-ul, avînd ca valori 2,17 cm la înălțimea la grebă; 2,21 cm la înălțimea spinării; 0,54 cm la înălțimea la crupă; 0,78 la înălțimea (lungimea) piciorului; 1,48 cm la lărgimea pieptului; 0,38 cm la lărgimea crucei; 0,33 cm la lungimea crucei; 1,22 cm la lungimea trunchiului; 1,14 cm la adâncimea toracelului; 4,52 cm la perimetru toracelui; 0,53 cm la perimetru fluerului; 0,58 cm la lungimea capului; 2,80 cm la lungimea gâtului; iar la greutatea corporală, 10,01 kg. Deosebiri mai pronunțate între metis și Nonius mai persistă încă la 2 ani la înălțimea la grebă și la spinare, la lărgimea pieptului, la lungimea trunchiului, la adâncimea toracelui, la perimetru toracelui, la lungimea gâtului și la greutatea corporală.

*Tabloul  
Mediile și limitele variabilității dimensiunilor corporale*

Nr. crt.	Denumirea dimensiunii	Loturi experi- mentale	La naștere			La 3 luni			La 6 Media	
			Media	Variante		Media	Variante			
				+	-		+	-		
1	Înălțimea la gre- băn .....	metis Nonius	97,16 100,61	102 106	87 95	121,08 124,17	127 129	112 116	131,91 135,07	
2	Înălțimea la spi- nare .....	metis Nonius	94,64 98,02	99 105	85 91	117,99 121,08	124 127	111 112	128,01 131,62	
3	Înălțimea la crupă .....	metis Nonius	98,41 101,50	103 108	87 92	123,27 126,39	130 134	113 119	134,29 137,27	
4	Adâncimea tora- celui.....	metis Nonius	31,05 32,56	34 35	28 28	45,21 47,13	49 50	39 41	53,44 54,78	
5	Înălțimea picio- rului (vidul substernal) ...	metis Nonius	66,27 68,02	70 74	58 64	75,77 77,05	80 81	73 72	78,57 79,98	
6	Lărgimea piept- ului .....	metis Nonius	20,39 21,47	22 23	18 18	28,39 29,80	31 33	25 25	32,71 34,14	
7	Lărgimea crucei la șolduri ....	metis Nonius	21,24 22,25	23 24	19 20	30,25 31,12	33 34	25 26	37,08 37,09	
8	Lungimea crucei	metis Nonius	26,73 27,09	30 28	23 25	36,23 37,57	39 41	30 32	42,25 42,88	
9	Lungimea trun- chiului .....	metis Nonius	73,40 75,07	83 87	63 67	106,47 109,78	115 119	92 98	124,18 125,78	
10	Perimetru tora- celui.....	metis Nonius	82,95 86,55	93 92	71 74	120,71 125,07	128 137	100 103	139,85 144,73	
11	Perimetru flue- rului .....	metis Nonius	12,37 13,07	13,7 14,5	10,7 11,5	15,27 15,85	16,5 17,5	13,2 14	16,83 17,35	
12	Lungimea capu- lui .....	metis Nonius	34,39 35,04	37 38	32 30,5	43,49 44,28	46 48	39 41	48,36 49,39	
13	Lungimea gât- ului .....	metis Nonius	29,95 31,77	34 39,5	24 27	42,99 44,65	47 50	38 40	49,74 51,98	
14	Greutatea cor- porală .....	metis Nonius	48,63 54,400	57 75	41 36	— —	— —	— —	255,5 274,2	

luni	La 12 luni		La 18 luni		La 24 luni	
	Variante	Media	Variante	Media	Variante	Media
		+		-		+
137	122	144,22	149	139	150,02	154
140	130	147,44	155	141	153,83	162
135	119	138,49	145	132	144,20	149
139	121	141,98	150	135	147,64	156
142	121	146,36	152	139	152,22	156
143	126	148,93	156	143	154,58	163
56	51	61,10	65	59	65,63	69
59	49	62,84	68	59	67,47	73
84	70	83,28	89	78	84,46	91
87	73	84,59	91	80	86,36	94
35	30	36,01	37	33	38,18	41
38	31	37,94	43	32	39,72	45
41	35	44,25	46	42	48,53	52
43	33	44,98	49	39	48,97	54
46	39	47,21	49	44	50,28	53
46	41	48,07	51	43	51,47	58
135	118	139,63	144	133	149,63	156
133	119	143,07	152	130	151,20	160
148	121	156,68	164	151	170,13	177
154	132	161,57	172	149	173,40	180
17,75	15	18,62	20	17,5	19,39	20,25
19,25	16,75	19,41	21,75	17,75	20,20	22,75
53	42	54,99	57	50	57,51	60
54	46	55,63	59	50	58,02	63
54	45	59,24	66	53	60,80	65
57	49	60,02	66	53	64,12	70
278	217	342	377	320	—	—
300	227	366	392	319	—	—
433,86	471	—	—	—	443,87	492
475	419	—	—	—	—	—

Variabilitatea prezintă următoarele particularități: din examenul comparativ al amplitudinii variației, în diferite perioade de creștere, se constată o tendință spre micșorarea limitelor între care variază diferențele dimensiuni corporale ale metisului, comparativ cu acelea ale Nonius-ului și prin aceasta se observă o tendință spre uniformizare mai mare în transmiterea tipului. Aprecierea asupra exteriorului nu este suficientă numai din punctul de vedere al mărimiilor dimensiunilor corporale, ci și al armoniei de ansamblu și proporțiilor în dezvoltarea diferitelor regiuni. O apreciere mai exactă în ce privește armonia generală de ansamblu și particularitățile în dezvoltarea metisului comparativ cu Noniusul, poate rezulta numai din comparația între valorile relative față de înălțimea la grebă.

Din examenul valorilor relative ale mediilor, se poate aprecia și dezvoltarea proporțională între regiuni. Această dezvoltare se poate vedea din tabloul nr. 3.

Tabloul nr. 3

Valorile relative ale mediilor

Nr. crt.	Denumirea dimensiunii	Metisul trăpaș × Nonius la 2 ani. Procentul față de înălțimea la grebă cm	Nonius-ul la 2 ani. Procentul față de înălțimea la grebă cm
1	Înălțimea la grebă .....	154,25	156,42
2	Înălțimea la spinare .....	95,36	95,45
3	Înălțimea la crupă .....	101,00	99,94
4	Adâncimea toracelui .....	44,63	44,77
5	Lungimea piciorului .....	55,36	55,09
6	Lărgimea pieptului .....	25,73	26,32
7	Lărgimea crucei la șolduri .....	33,64	33,42
8	Lungimea crucei .....	34,87	34,60
9	Lungimea trunchiului .....	100,32	99,71
10	Perimetru toracelui .....	113,74	115,09
11	Perimetru fluerului .....	12,98	13,14
12	Lungimea capului .....	38,21	38,05
13	Lungimea gâtului .....	41,10	42,32

Comparativ cu Nonius-ul, metisul arată la valorile relative diferențe în minus ceva mai însemnate la 2 ani, la: perimetru toracelui, lungimea gâtului; în timp ce la înălțimea la crupă, la dimensiunile de lungime și lărgime ale crucei și la lungimea trunchiului, arată un procent de creștere mai favorabil. Considerat în ansamblu, la cele mai multe dimensiuni, metisul se apropie ca dezvoltare proporțională a regiunilor, de Nonius. Dacă comparăm, pe de o parte, mediile dimensiunilor corporale la produși metisi generația 1949, descendenți ai trăpașului Crai II, cu acelea ale produșilor Nonius din aceeași generație crescuți în condiții de mediu identice și pe de altă parte, mediile dimensiunilor corporale ale produșilor metisi descendenți din trăpașul Roland D, generația 1950 cu acele ale produșilor Nonius din aceeași generație, crescute de asemenea în condiții de mediu identice, constatăm următoarele diferențe în dezvoltarea metisiilor comparativ cu Nonius-ul (tabloul nr. 4).

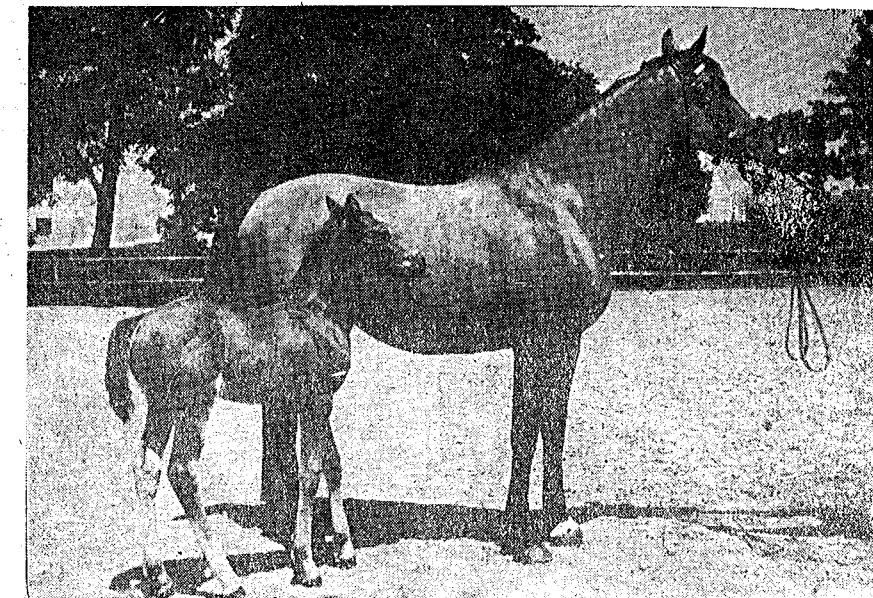


Fig. 1. — Mâz metis trăpaș × Nonius (generația 1950) din armăsarul trăpaș Roland și iapa 92 Nonius Li-8.

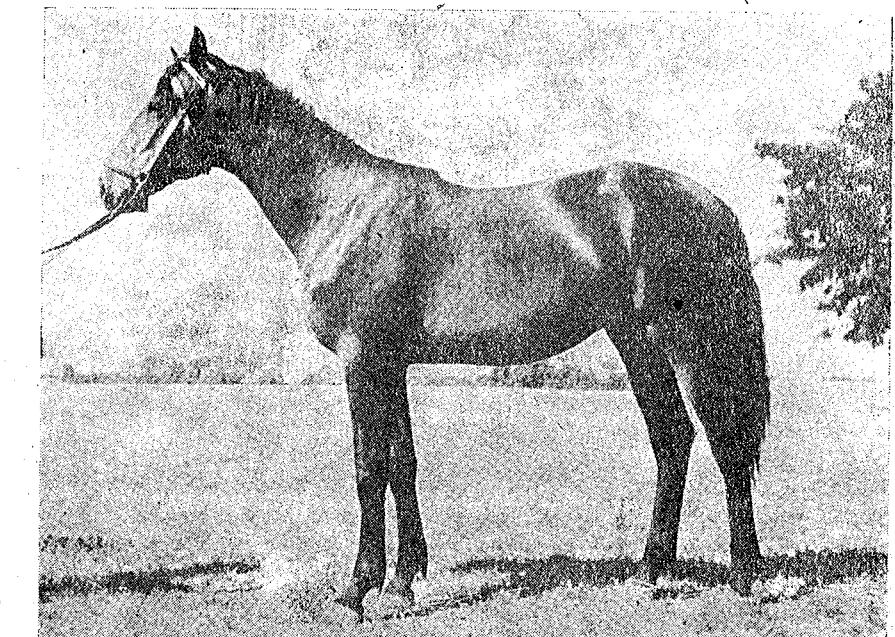


Fig. 2. — Mâz metis trăpaș × Nonius, în vîrstă de 1 an (generația 1949), din armăsarul trăpaș Crai II și iapa 61 Nonius XXXVII-12.

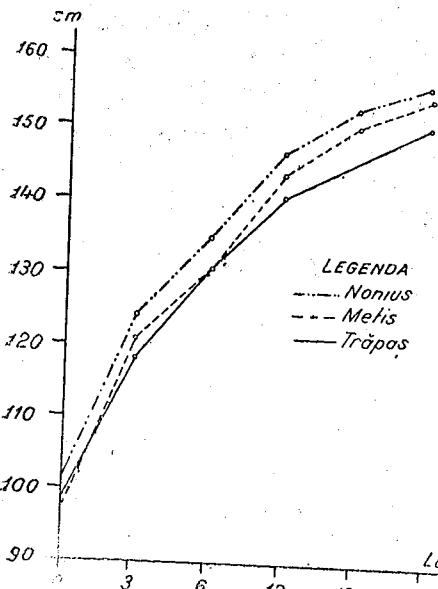


Fig. 3. — Curba de creștere a înălțimii la grebăn.

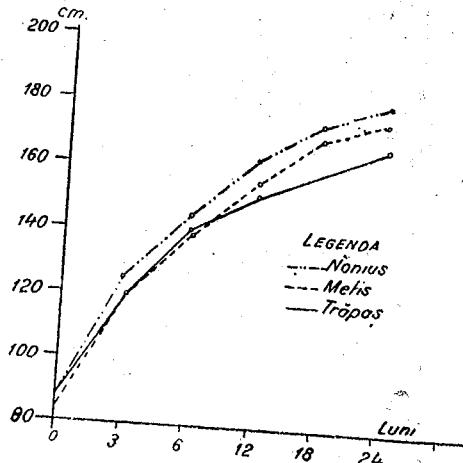


Fig. 4. — Curba de creștere a perimetrlui toracelui.

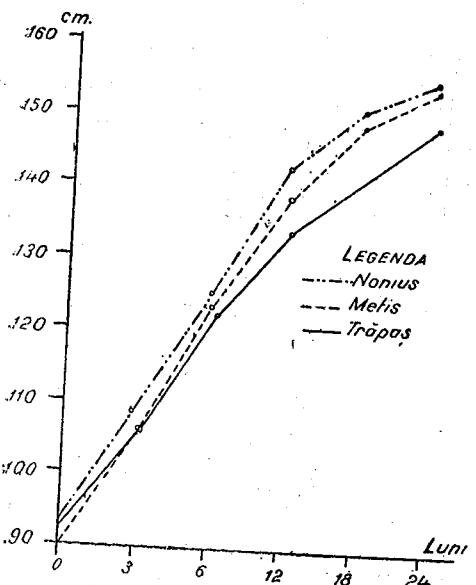


Fig. 5. — Curba de creștere a lungimii trunchiului.

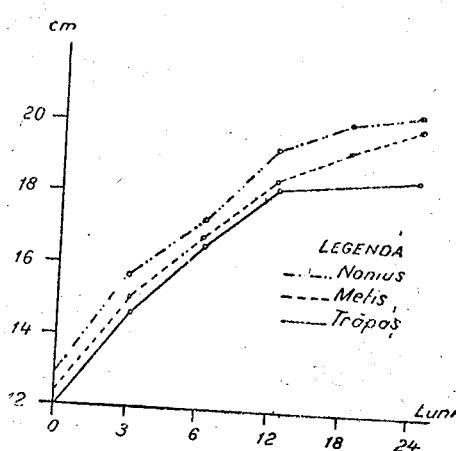


Fig. 6. — Curba de creștere a perimetrlui fluerului.

În condiții de mediu identice se constată la fiecare generație, că dezvoltarea metisului prezintă unele diferențe în creșterea dimensiunilor comparativ cu generația Nonius martoră, diferențe care nu pot fi atribuite decit influenței individuale a reproducătorului trăpaș. În primul caz, cînd armăsarul trăpaș utilizat în experiență (Crai II) a avut înălțimea la grebăn mult inferioară tipului Nonius, produși metișii la 2 ani au media acestei dimensiuni cu peste 4 cm mai mică decît produși Nonius crescute în condiții de mediu identice. În cazul al doilea, cînd armăsarul trăpaș (Roland D) a avut înălțimea la grebăn

Tabloul nr. 4

Diferența în dezvoltarea metișilor comparativ cu Nonius-ul

Denumirea dimensiunii	Dimensiuni corporale la armăsarul trăpaș Crai II cm	10 metișii de 2 ani, descendenti din Crai II		23 produși Nonius de 2 ani	
		(generația 1949)			
		Media	Variabilitatea + -	Media	Variabilitatea + -
Înălțimea la grebăn .....	154	152,90	155	150	157,04
Lungimea trunchiului .....	160	156,00	159	153	156,14
Perimetru toracelui .....	185	175,80	180	173	182,00
Perimetru fluerului .....	20	19,97	20,5	19	20,57
Armăsarul Roland D cm	12 metișii de 2 ani descendenti din Roland D	30 produși Nonius de 2 ani		(generația 1950)	
		Media	Variabilitatea + -	Media	Variabilitatea + -
Înălțimea la grebăn .....	160	155,60	163	151	155,80
Lungimea trunchiului .....	157	153,50	157	146	155,80
Perimetru toracelui .....	185	175,10	180	167	177,90
Perimetru fluerului .....	20,25	20,10	22	18,7	20,55

aproape egală cu aceea a Nonius-ului chiar depășind-o puțin, produși metișii la 2 ani au media acestei dimensiuni aproape egală cu a produșilor Nonius crescute în același condiții de mediu. Variabilitatea a fost influențată de asemenea în primul caz în direcția scăderii valorii ambelor variante extreme, iar în cazul al doilea în direcția sporirii plus variantei extreme, pe cînd minus varianta extremă a rămas neschimbată la metis ca și la Nonius.

Influența individuală a reproducătorului trăpaș, în ce privește transmiterea formelor corporale, se constată vizibil însărcină de talie și la alte dimensiuni ca: lungimea trunchiului, perimetru fluerului. În concluzie, selecția armăsarului trăpaș are o importanță de prim ordin pentru a se obține metișii apropiati de masivitatea Nonius-ului. Aceeași constatare au făcut-o și cercetătorii sovietici în lucrările de încrucisare cu trăpașul Orlov pentru ameliorarea cailor de agricultură. Astfel, Prof. I. I. Lakoza arată că «... la încrucisarea repetată cu trăpaș se admite folosirea numai a reproducătorilor de tip robust de ham... întrucât ... dela armăsarii mărunți și de tip ușor s'au obținut metișii necorespunzători tipului dorit de căr robust pentru ham» (5). În cazul încrucisării trăpaș X Nonius, este necesar ca armăsarul trăpaș să poată tipul de conformație apropiată de cel al Nonius-ului și anume să aibă următoarele dimensiuni minime: înălțimea la grebăn 160 cm; lungimea trunchiului 101%; perimetru toracelui 115%; perimetru fluerului 12,5% din înălțimea la

*Tablou*

Nr. crt.	Denumirea dimensiunii	Dimen-	Dimen-	Creste-	Procen-	Dimen-	Creste-	Pro-
		siuniile la naș- tere cm	siuniile la 3 luni cm	re de la naștere la 3 luni cm	tul față de di- menziu- nile la naștere	siuniile la 6 luni cm	re de la 3 luni la 6 luni cm	lul de men- niile naș-
1	Înălțimea la grebăn .....	97,16	121,08	23,92	24,61	131,91	10,83	11,
2	Înălțimea la spinare .....	94,64	117,99	23,35	24,67	128,01	10,02	10,
3	Înălțimea la crupă .....	98,41	123,27	24,86	25,26	134,29	11,02	11,
4	Adâncimea toracelui .....	31,05	45,21	14,16	45,60	53,44	8,23	26,5
5	Înălțimea (lungimea) pieptului .....	66,27	75,77	9,50	14,33	78,57	2,80	4,22
6	Lărgimea pieptului .....	20,39	28,39	8,00	39,23	32,71	4,32	21,18
7	Perimetru toracelui .....	82,95	120,71	37,76	45,52	139,85	19,14	23,07
8	Lungimea trunchiului .....	73,40	106,47	33,07	45,05	124,18	17,71	24,12
9	Lungimea crucei .....	26,73	36,23	9,50	35,54	42,25	6,02	22,52
10	Lărgimea crucei la șold .....	21,24	30,25	9,01	42,41	37,08	6,83	32,15
11	Lărgimea crucei la coxo-femurale .....	21,76	30,90	9,14	42,00	36,68	5,78	26,56
12	Lungimea capului .....	34,39	43,49	9,10	26,46	48,36	4,87	14,16
13	Lungimea gâtului .....	29,95	42,99	13,04	43,53	49,74	6,75	22,53
14	Perimetru fluerului .....	12,37	15,27	2,90	23,44	16,83	1,56	12,61
15	Greutatea corporală kg ..	48,63	—	—	—	—	—	—

*metis trapa* × *Nonius pină la 2 ani*

15

## *Tablou*

Nr. crt.	Denumirea dimensiunii	Dimen- siunile la naș- tere cm	Dimen- siunile la 3 luni cm	Creste- rea de la naștere la 3 luni cm	Procen- tul față de di- mensiuni- le la naștere	Dimen- siunile la 6 luni cm	Creste- rea de la 3 luni la 6 luni cm	Proces- tul față de di- mensi- uni la nașter	Intensitatea de creștere a tineret
									Tab
1	Înălțimea la grebă ..	100,61	124,17	23,56	23,51	135,07	10,90	10,83	
2	Înălțimea la spinare ..	98,02	121,08	23,06	23,52	131,63	10,55	10,76	
3	Înălțimea la crupă ....	101,50	126,39	24,89	24,52	137,27	10,88	10,71	
4	Adâncimea toracelui ..	32,56	47,13	14,57	44,74	54,78	7,65	23,49	
5	Înălțimea (lungimea) pi- cioului .....	68,03	77,05	9,03	13,12	79,98	2,93	4,30	
6	Lărgimea pieptului ....	21,47	29,80	8,33	38,79	34,14	4,34	20,21	
7	Perimetru toracelui ..	86,55	135,07	38,52	44,50	144,73	19,66	22,71	
8	Lungimea trunchiului ..	75,07	109,78	34,71	46,23	125,78	16,00	21,31	
9	Lungimea crucei .....	27,09	37,57	10,48	38,68	42,88	5,31	19,60	
10	Lărgimea crucei la șold	22,25	31,12	8,87	39,86	37,09	5,97	26,83	
11	Lărgimea crucei la coxo- femurale .....	22,48	31,94	9,46	42,08	37,36	5,42	24,11	
12	Lungimea capului .....	35,04	44,28	9,24	26,36	49,39	5,11	14,58	
13	Lungimea gâtului .....	31,77	44,65	13,28	41,80	51,98	7,33	23,07	
14	Perimetru fluerului ...	13,07	15,85	2,78	21,27	17,36	1,50	11,47	
5	Greutatea corporală kg..	54,400	—	—	—	—	—	—	

•

nr.

Nonius pînă la 2 ani

grebă; greutatea corporală 500 kg; aceasta pentru a se obține metisi cu o conformație masivă cerută pentru calul de agricultură. Se înțelege că în afară de tipul de conformație, criteriile selecției reproducătorului trăpaș sunt mult mai complexe, el trebuind să aibă exteriorul corect, constituția robustă și mai ales calități energetice verificate etc.

*Intensitatea de creștere.* Tablourile nr. 5 și 6 cuprind mediile dimensiunilor cercetate în valori absolute și procente exprimând intensitatea de creștere

Tabloul nr. 7  
Intensitatea de creștere exprimată procentual

Denumirea dimensiunii	Categorie	Procentul de creștere				Total	
		Năstere - 3 luni	3 luni - 6 luni	6 luni - 9 luni	9 luni - 1 an	Năstere - 1 an	1 an - 2 ani
Înălțimea la grebă .....	metis Nonius	24,61 23,51	11,14 10,83	7,29 7,74	5,37 4,55	48,41 46,63	10,32 8,92
Înălțimea la spinare .....	metis Nonius	24,67 23,52	10,58 10,76	6,02 6,43	5,06 4,12	46,33 44,83	9,09 7,42
Înălțimea la crupă .....	metis Nonius	25,26 24,52	11,19 10,71	6,88 7,46	5,38 4,01	48,71 46,70	9,58 7,30
Adâncimea (înălțimea) toracelui .....	metis Nonius	45,60 44,74	26,50 23,49	14,17 14,52	10,49 10,22	96,76 92,97	24,95 21,95
Lungimea (înălțimea) piciorului .....	metis Nonius	14,33 13,27	4,22 4,30	3,86 4,95	3,24 1,82	25,65 24,34	3,19 2,33
Lărgimea pieptului .....	metis Nonius	39,23 38,79	21,18 20,21	11,47 9,68	4,70 8,01	76,58 76,69	18,09 15,09
Lărgimea crucei la solduri .....	metis Nonius	42,41 39,86	32,15 26,83	20,71 21,39	13,04 14,06	108,31 102,14	36,01 32,80
Lungimea crucei .....	metis Nonius	35,54 38,68	22,52 19,60	10,88 11,22	7,66 7,93	76,60 77,43	24,65 22,36
Lungimea trunchiului .....	metis Nonius	45,05 46,23	24,12 21,31	12,92 14,54	8,11 8,48	90,20 90,56	20,59 17,18
Perimetru toracelui .....	metis Nonius	45,52 44,50	23,07 22,71	12,06 9,79	8,10 9,65	88,75 86,65	22,74 21,25
Perimetru fluerului .....	metis Nonius	23,44 21,27	12,61 11,47	7,51 9,71	6,59 6,04	50,15 48,49	11,39 8,79

la metis, comparativ cu Nonius-ul de aceeași vîrstă, la 2 ani. Din aceste tablouri reies următoarele date comparative procentuale asupra intensității de creștere a fiecarei dimensiuni, raportată la dimensiunea respectivă la naștere:

Intensitatea de creștere, care este o componentă a energiei de creștere, este mai mare la metis decât la Nonius la toate dimensiunile corporale, în dezvoltarea perioadei pînă la 2 ani. Această faptă se vădă atât din creșterea pe diferite

dela naștere pînă la 1 an și dela 1 an pînă la 2 ani. Privită în general, intensitatea cea mai mare a creșterii este în perioada dela naștere pînă la 3 luni. După 3 luni, ea descrește treptat pînă la 1 an. Dintre primii 2 ani ai dezvoltării, intensitatea de creștere cea mai mare este în primul an la toate dimensiunile. Între dimensiunile corporale se stabilește următoarea ordine ca intensitate de creștere în primul și în cel de al doilea an: regiunea cu cea mai redusă intensitate de creștere este lungimea piciorului iar cea cu intensitatea cea mai mare este lărgimea crucei la solduri. Între aceste două dimensiuni se grupează celelalte în ordinea intensității de creștere în primul și cel de al doilea an, astfel:

#### 15 CREȘTEREA SI DEZVOLTAREA METISULUI TRĂPAS X NONIUS

1. Lărgimea crucei la solduri  
2. Adâncimea toracelui  
3. Lungimea trunchiului  
4. Perimetru toracelui  
5. Lungimea crucei  
6. Lărgimea pieptului  
7. Perimetru fluerului  
8. Înălțimea la crupă  
9. Înălțimea la grebă  
10. Înălțimea la spinare  
11. Lungimea piciorului

#### Intensitatea de creștere în primul an

1. Lărgimea crucei la solduri
2. Adâncimea toracelui
3. Lungimea trunchiului
4. Perimetru toracelui
5. Lungimea crucei
6. Lărgimea pieptului
7. Perimetru fluerului
8. Înălțimea la crupă
9. Înălțimea la grebă
10. Înălțimea la spinare
11. Lungimea piciorului

#### Intensitatea de creștere în al doilea an

1. Lărgimea crucei la solduri
2. Lungimea crucei
3. Adâncimea toracelui
4. Perimetru toracelui
5. Lungimea trunchiului
6. Lărgimea pieptului
7. Perimetru fluerului
8. Înălțimea la grebă
9. Înălțimea la crupă
10. Înălțimea la spinare
11. Lungimea piciorului

Se observă că intensitatea de creștere este mai mare la dimensiunile de lărgime, lungime și adâncime, atât în primul, cât și în al doilea an de creștere. Dimensiunile de înălțime au intensitatea cea mai mare de creștere în perioada intrauterină, după cum rezultă din procentele de creștere ale mînzului la naștere, pe cînd în primul și mai ales în al doilea an, intensitatea lor de creștere scade. Perimetru fluerului se dezvoltă aproape la fel ca înălțimile.

Ritmul de creștere a diferitelor regiuni corporale, ca și coeficienții de creștere, sunt puși în evidență prin prezentarea procentuală a creșterii pînă la 2 ani, în tabloul nr. 8. Creșterea procentuală este stabilită aici după valoarea mediilor la naștere, reprezentând perioada dezvoltării intrauterine, apoi dezvoltarea la 1 an și la 2 ani, reprezentând creșterea în perioada pînă la 2 ani. Procentele vor fi raportate la dimensiunile medii ale tipului Nonius adult din herghelia Pădureni, unde se efectuează experiența. Din creșterea totală pînă la 2 ani, procentele însemnate revin asupra dezvoltării intrauterine, apreciată după valoriile medii stabilite prin măsurători pe mînz la naștere. În această perioadă, dimensiunile de înălțime, inclusiv lungimea piciorului și perimetru fluerului se remarcă prin coeficienții de creștere cei mai mari (procentele variază dela 61%–78%), pe cînd dimensiunile de lărgime, adâncime, lungime și perimetru toracelui, ating în aceeași perioadă coeficienții variind între 45% și 52%. Un raport invers se constată pentru perioada de creștere dela naștere pînă la 2 ani, caracterizată prin coeficienții de creștere mai mari la dimensiunile de lărgime, adâncime, lungime și perimetru toracelui (procentele variind dela 47%–59%), pe cînd înălțimile, inclusiv perimetru fluerului, se remarcă prin coeficienții de creștere mai mici (procentele variază dela 21%–38%, în aceeași perioadă). Dintre primii 2 ani ai dezvoltării, coeficienții de creștere cei mai mari se constată în primul an în general la toate dimensiunile corporale (procentele variază dela 19,2%–44,3%), pe cînd în cel de al doilea an, procentele de

Tabloul

Ritmul de creștere al

Nr. crt.	Denumirea dimensiunii		Dezvoltarea intrauterină		Dezvoltarea de la naștere la 1 an	
			Dimensiunile la naștere cm	Procentul din creștere pînă la 2 ani	Dimensiunile la 1 an cm	Procentul din creștere pînă la 2 ani
1	Înălțimea la grebăn .....	metis Nonius	97,16 100,61	62,98 64,32	144,22 147,44	30,50 29,93
2	Înălțimea la spinare .....	metis Nonius	94,64 98,02	64,33 65,64	138,49 141,38	29,80 29,04
3	Înălțimea la crupă .....	metis Nonius	98,41 101,50	63,16 64,92	146,37 148,93	30,78 30,33
4	Adâncimea toracelui .....	metis Nonius	31,05 32,56	45,09 46,52	61,10 62,84	43,64 43,26
5	Lungimea (înălțimea) piciorului .....	metis Nonius	66,27 68,02	77,59 78,92	83,28 84,59	19,91 19,22
6	Lărgimea pieptului .....	metis Nonius	20,39 21,47	51,36 52,13	36,01 37,94	39,34 39,99
7	Lărgimea crucei la șolduri ..	metis Nonius	21,24 22,25	40,90 42,55	44,25 44,98	44,33 43,47
8	Lungimea crucei .....	metis Nonius	26,73 27,09	49,68 50,04	47,21 48,07	38,06 38,75
9	Lungimea trunchiului .....	metis Nonius	73,40 75,07	47,43 48,13	139,63 143,07	42,79 43,59
10	Perimetru toracelui .....	metis Nonius	82,95 86,51	47,27 48,09	156,58 161,54	41,96 41,79
11	Perimetru fluerului .....	metis Nonius	12,37 13,07	61,75 63,57	18,62 19,41	31,20 30,83

nr. 8  
diferitelor dimensiuni corporale

Dezvoltarea de la 1 an la 2 ani		Dezvoltarea totală de la naștere la 2 ani		Procentul de creștere față de tipul Nonius adult	
Dimensiunile la 2 ani cm	Procentul din creșterea pînă la 2 ani	Totalul creșterii de la naștere la 2 ani cm	Procentul din creștere pînă la 2 ani	Tipul adult Nonius cm	Procentul din creștere pînă la 2 ani
154,25 156,42	6,51 5,74	57,09 55,81	37,01 35,67	159,69	96,59 97,95
147,10 149,31	5,86 5,31	52,46 51,29	35,66 34,35	150,21	97,92 99,40
155,80 156,34	6,05 4,74	57,39 54,84	36,83 35,07	157,49	98,92 99,26
68,85 69,99	11,26 10,21	37,80 37,43	54,90 53,47	74,96	91,84 93,36
85,40 86,18	2,49 1,75	19,13 18,16	22,40 21,07	84,73	100,79 101,71
39,70 41,18	9,29 7,87	19,31 19,71	48,63 47,86	42,25	93,96 97,46
51,90 52,28	14,74 13,99	30,66 30,03	59,07 57,44	56,21	92,33 93,00
53,80 54,13	12,25 10,75	27,07 27,04	50,31 49,50	56,03	96,01 96,60
154,75 155,97	9,77 8,27	81,35 80,90	52,56 51,86	162,00	95,52 96,27
175,45 179,97	10,76 10,11	92,50 93,42	52,72 51,90	190,24	92,22 94,60
20,03 20,56	7,04 5,59	7,66 7,49	38,24 36,42	20,55	97,46 100,04

creștere variază dela 1,7%–14,7%. Coeficienții de creștere se grupează astfel pe cele 3 perioade cu creșterea cea mai intensă:

- a) Perioada de creștere intrauterină, după dimensiunile mînzului la naștere, coeficienții variază de la ..... 45,9 %–78,92 %
- b) Perioada de creștere a primului an, coeficienții variază de la ..... 19,22 %–44,33 %
- c) Perioada de creștere a celui de al doilea an, coeficienții variază de la ..... 1,75%–14,74%

Intensitatea creșterii scade treptat, pe măsură ce mînzul înaintează în vîrstă. În toate perioadele de creștere și la toate dimensiunile corporale, particularități: la naștere, metisul prezintă o diferență în minus la coeficienții de creștere care variază dela 0,3% pînă la 1,8% față de Nonius. Raportul este invers în perioada de creștere dela naștere pînă la 2 ani, în care coeficienții de creștere ai metisului depășesc pe aceia ai Nonius-ului (cu procente ce variază dela 0,7% pînă la 1,8%), după cum s-a arătat și la capitolul intensității de creștere. Din examenul coeficienților de creștere, stabiliști pe diferite perioade la cele 11 dimensiuni corporale, se poate aprecia și ritmul de creștere în funcție de timpul în care fiecare dimensiune își termină creșterea. Intrucît dezvoltarea este dată numai pînă la 2 ani, se va face numai o apreciere generală, conducîndu-ne și după procentele de creștere stabilite în raport cu valorile medii ale tipului Nonius adult. Ordinea în care se dezvoltă dimensiunile corporale pînă la 2 ani, luînd în considerare coeficienții de creștere stabiliți la naștere, 1 an și 2 ani, este următoarea:

Perioada intrauterină (după dimensiunile mînzului la naștere)	Perioada primului an de creștere	Perioada celui de al doilea an de creștere
1. Lungimea piciorului	1. Lărgimea crucei la solduri	1. Lărgimea crucei la solduri
2. Înălțimea spinării	2. Adâncimea toracelui	2. Lungimea crucei
3. Înălțimea la crupă	3. Lungimea trunchiului	3. Adâncimea toracelui
4. Înălțimea la grebăn	4. Perimetru toracelui	4. Perimetru toracelui
5. Perimetru fluerului	5. Lărgimea pieptului	5. Lungimea trunchiului
6. Lărgimea pieptului	6. Lungimea crucei	6. Lărgimea pieptului
7. Lungimea crucei	7. Perimetru fluerului	7. Perimetru fluerului
8. Lungimea trunchiului	8. Înălțimea la crupă	8. Înălțimea la crupă
9. Perimetru toracelui	9. Înălțimea la grebăn	9. Înălțimea la crupă
10. Adâncimea toracelui	10. Înălțimea la spinare	10. Înălțimea la spinare
11. Lărgimea crucei la solduri	11. Lungimea piciorului	11. Lungimea piciorului

În general, se constată că dezvoltarea dimensiunilor de înălțime, atât la metis, cît și la Nonius, este mai mare în perioada de creștere intrauterină, după cum rezultă din coeficienții de creștere ai mînzului la naștere, încrezînd apoi mult creșterea dela naștere pînă la 2 ani. De asemenea și perimetru fluerului urmează în deaproape ritmul de dezvoltare al înălțimilor. Procentele de creștere realizate de aceste dimensiuni pînă la 2 ani, în raport cu aceleasi dimensiuni la tipul adult (dela 96,59% pînă la 100%), ne arată că după 2 ani

Tabloul nr. 9  
Dezvoltarea metisului trăpaș Nonius, comparativ cu trăpașul Orlov și russo-american

Denumirea dimensiunii	Rasa	La naștere	3 luni	6 luni	12 luni	18 luni	24 luni
Înălțimea la grebăn .....	metis trăpaș × Nonius	97,16	121,08	131,91	144,22	150,02	154,25
.....	trăpaș russo-american	96,1	—	129,40	140,05	147,09	152,60
.....	trăpaș Orlov	—	119,99	130,92	143,58	149,84	155,20
Lungimea trunchiului .....	metis trăpaș × Nonius	73,40	106,47	124,18	139,63	149,63	154,75
.....	metis trăpaș russo-american	—	119,9	134,50	145,30	151,3	—
.....	trăpaș Orlov	—	—	—	—	—	—
Perimetru toracelui .....	metis trăpaș × Nonius	82,95	120,71	139,85	156,58	170,13	175,45
.....	trăpaș russo-american	98,120	—	129,00	147,10	158,20	166,50
.....	trăpaș Orlov	—	113,58	128,58	149,14	160,24	168,76
Perimetru fluerului .....	metis trăpaș × Nonius	12,37	15,27	16,83	18,62	19,39	20,03
.....	trăpaș russo-american	11,70	—	15,90	17,20	18,40	18,60
.....	trăpaș Orlov	—	14,76	16,05	17,56	18,70	19,27
Greutatea vie kg .....	metis trăpaș × Nonius	48,63	—	225,50	342,00	433,86	—
.....	trăpaș russo-american	53,20	—	208,00	299,60	366,50	412,20
.....	trăpaș Orlov	151,50	217,80	324,00	395,00	488,70	—

aceste dimensiuni mai cresc cu coeficienți foarte reduși, deci dezvoltarea lor are un caracter precoce. Acest grad de precocitate se constată atât la Nonius, cât și la metis, cu mici diferențe. Celelalte regiuni corporale au o dezvoltare mai încreătă, în sensul că au o creștere mai puțin intensă în perioada intrauterină, cresc apoi intens în primul an și al doilea an, prelungindu-și încă creșterea și peste 2 ani, deci arată un caracter mai tardiv în dezvoltare. Gradul de precocitate al unora din dimensiunile corporale exprimând dezvoltarea regiunilor respective, se pune în evidență în primul rînd la Nonius. Metisul urmează în de aproape tipul de dezvoltare al Nonius-ului. Pentru a pune în evidență mai bine rezultatele obținute în dezvoltarea metisului, vom compara dimensiunile medii la diferite intervale, stabilite pentru metis, cu acelea ale trăpașului Orlov și russo-american după datele lui A. F. Dobrohotov (3). Este cunoscut că trăpașul Orlov este utilizat ca rasă amelioratoare în U.R.S.S., de asemenea și trăpașul russo-american îmbunătățit prin trăpașul Orlov.

Din datele prezентate în tabloul nr. 9 se poate constata că, în ceea ce privește dezvoltarea corporală pînă la 2 ani, metisul trăpaș × Nonius depășește la dimensiunile corporale de masă trăpașul russo-american și se apropie de aceleia ale trăpașului Orlov, depășindu-le chiar și pe acestea la unele dimensiuni, ca: perimetru toracelui, perimetru fluerului. Ca ritm de creștere, este stabilit că tineretul mascul trăpaș Orlov atinge către vîrstă de 2 ani 98% din talia armăsarilor, 94,4% din perimetru toracelui și 95,4% din perimetru fluerului, ceea ce arată că trăpașul Orlov aparține raselor precoce (3). Din datele prezентate se constată că, la aceleasi dimensiuni la vîrstă de 2 ani, Nonius-ul a atins 97,95% din talia medie a tipului adult, 94,60% din perimetru toracelui și 100% din perimetru fluerului, ceea ce arată o precocitate tot atât de mare ca a trăpașului Orlov; metisul trăpaș × Nonius la vîrstă de 2 ani a atins 96,5% din talia medie a tipului Nonius, 92,2% din perimetru toracelui, 97,4% din perimetru fluerului, ceea ce indică o precocitate apropiată de cele două rase menționate.

*Energia de creștere.* S-a examinat sporul greutății corporale pe stadiile principale de creștere și pe perioade mai mici în interiorul acestora. La naștere, greutatea medie a metisului este de 48,63 kg, fiind mai mică decît media greutății Nonius-ului, care este de 54,400 kg. Diferența în minus de 5,770 kg, ce se constată la metis la creșterea sporului de greutate pe durata creșterii intrauterine este datorită influenței ereditare din partea trăpașului, întrucît condițiile de hrănire, întreținere și îngrijire au fost aceleasi la iepoile gestante. Chiar atunci cînd tipul de conformație al reproducătorului trăpaș s'a apropiat de tipul Nonius-ului, sporul de greutate realizat de metis în perioada intrauterină nu a depășit cu mult pe acela al trăpașului pur: 49,66 kg la metis față de 49,42 la trăpaș.

În perioada de creștere pînă la 2 ani, se constată următorul spor de greutate: în perioada dela naștere la 6 luni, sporul mediu de greutate zilnic este la metis 1,130 kg, iar la Nonius 1,201 kg, deci cu o diferență în minus la metis de 0,071 kg. Același spor dela 6 luni la 1 an este la metis de 0,472 kg comparativ cu Nonius-ul, la care acest spor este de 0,502 kg, adică cu o diferență în minus la metis de 0,030 kg. De la 1 an la 2 ani, sporul de greutate zilnic se micșorează și mai mult: 0,251 kg la metis, față de 0,213 kg la Nonius, deci cu o diferență de 0,038 kg mai mult la metis decît la Nonius. De la naștere la 2 ani, energia de creștere a metisului a fost din ce în ce mai mare, tinzind a compensa diferența de spor de greutate produsă în creșterea intrauterină.

Dacă se ia greutatea corporală la naștere ca 100%, sporul de greutate pe diferite perioade de creștere este reprezentat de următorii coeficienți:

	De la naștere la 6 luni	De la 6 luni la 1 an	De la 1 an la 2 ani
Metis trăpaș × Nonius	423 %	177 %	188 %
Nonius	404 %	168 %	143 %

Se constată că, coeficienții sporului de greutate sunt mai mari la metis decît la Nonius în stadiul dezvoltării dela naștere pînă la 2 ani. Or, intensitatea de creștere este o componentă a energiei de creștere, deci putem ajunge la concluzia că energia de creștere a metisului depășește pe aceea a Nonius-ului în perioadele cele mai intense de creștere, după naștere.

Capacitatea de dezvoltare mai intensă la caii rezultați din încrucișarea diferitelor rase a fost observată de multă vreme de crescători și ea este mai puternică la generația I-a de metiș, dispărind în parte la generațile următoare (4). Sporul în greutate vie la metișii G<sub>1</sub> a fost observat și de I. N. Barmin în la încrucișarea iepoilor cazahă cu armăsari trăpași și p.s. de călărie (1).

*Exteriorul* metisului a fost examinat comparativ cu Nonius-ul în aceleasi condiții de mediu. Dezvoltarea generală corporală este armonică, cu aplomburi corecte și copita de bună calitate. Dintre particularitățile de conformație se remarcă lungimea gâtului, care este mai mică la metis (diferență în minus 1,22%), conformație caracteristică tipurilor de cai de tracătura. În schimb, valorile relative ale dimensiunilor de lărgime și lungime ale crucei depășesc cu puțin pe aceleia ale Nonius-ului la aceeași vîrstă (33,64%, respectiv 34,87% la metis, comparativ cu 33,42%, respectiv 34,60% la Nonius la vîrstă de 2 ani), ceea ce constituie un raport mai favorabil din punct de vedere mecanic. Dintre defectele de exterior, cel mai des semnalat la reproducătorii Nonius este anume defectul spinarea de crap. Se constată că acest defect nu a fost semnalat decît la un singur metis din cei 41 născuți în intervalul anilor 1949–1951.

*Constituția* metisului a fost examinată din punctul de vedere al rezistenței la boli. După fișele sanitare ale hergheliei Pădureni-Timișoara, s-au stabilit următoarele procente de mortalitate pe perioada ultimilor 3 ani, (1949–1950 și 1951) pe un număr de 41 metiș și 135 tineret Nonius de aceeași vîrstă. Dintre produși Nonius au murit 16, adică 11,85%, iar dintre metișii au murit 3, adică 7,31%. Mortalitatea la metiș este cu 4,54% mai mică decît la Nonius în aceleasi condiții de mediu. Se menționează, după aceleasi fișe sanitare, că metișii trăpași × Nonius au trecut prin epizootia de bronchopneumonie, fără să se înregistreze vreun caz mortal, pe cînd între produși Nonius s-au înregistrat 2 cazuri mortale. În epizootia de anemie infecțioasă declarată la herghelia Pădureni în anul 1950, în care Nonius-ul a dat un procent de mortalitate pe herghelie de 4,4% (morti și uciși), dintre metișii s-au izolat numai 2 cazuri bănuite de această boală. După felul cum au rezistat la acțiunea agenților exteriori patogeni se poate aprecia metisul ca avînd o vigoare constituițională sporită, fiind mai rezistent decît martorul (tineretul Nonius) împreună cu care a crescut, în aceleasi condiții de hrănire și întreținere. Aceleasi concluzii se pot trage asupra constituției și în general asupra vitalității metisului și din faptul că, în condiții

de mediu identice, metisul a arătat o intensitate mai mare de creștere decât Nonius-ul, în stadiul dezvoltării dela naștere pînă la 2 ani.

Darwin, cercetînd efectele încrucișării între rase și varietăți sau indivizi cu forme distinete, ajunge la următoarele concluzii: «... Încrucișările între formele distinete mai mult sau mai puțin vecine, asigură produșilor ce rezultă din ele o talie mai mare, mai multă vigoare constituțională și mărește de asemenea fecunditatea...» (2).

Indicii corporali ne arată de asemenea o dezvoltare armonică și osatura suficient de dezvoltată (indicele metacarpului atinge la 2 ani la metis 12,98% din înălțimea la greban, față de 13,14% la tineretul Nonius de aceeași vîrstă și crescut în aceleași condiții de mediu).

Acste observații urmează să fie completeate și pe latura productivității, a capacitatii de muncă, a fecundității și a celorlalte însușiri în legătură cu constituția și sănătatea.

## ВЫРАЩИВАНИЕ И РАЗВИТИЕ ДО ДВУХЛЕТНЕГО ВОЗРАСТА МЕТИСА РЫСАК X НОНИУС ПО СРАВНЕНИЮ С НОНИУСОМ

### (КРАТКОЕ СОДЕРЖАНИЕ)

Из исследования развития 22 метисов первого поколения после скрещивания жеребцов рысаков с кобылами нониус, по сравнению с 43 потомками нониуса того же возраста (поколение 1949 и 1950 гг.), выращенных в тождественных условиях среди до двухлетнего возраста вытекает следующее.

1. Метис рысак X нониус первого поколения, выращенный в тождественных с нониусом условиях среди, почти во всех периодах роста и во всех размерах телосложения несет все черты типа нониуса со следующими особенностями.

a) Вообще производитель рысак влияет на развитие метиса в смысле легкого снижения диаметров объема тела и обуславливает меньшие колебания. В период развития, через 2 года после рождения, часть различий в минус возмещена метисом, благодаря большей интенсивности роста, так что за 2 года различия средних величин еще сохраняются в высоте холки и спины (2,17—2,21 см), в ширине грудной клетки (1,48 см), в длине туловища (1,22 см), в глубине грудной клетки (1,14 см), в объеме грудной клетки (4,52 см), в длине шеи (2,80 см), в весе (10 кг).

b) Минимальные различия между метисом и нониусом были установлены при телосложении производителя рысака, схожем с типом нониуса.

2. В отношении развития размеров, метис как и нониус следует за темпом роста, характерного вообще для молодняка расы скороспелых лошадей. Таким образом в двухлетнем возрасте метисы поколения 1949—1950 гг. достигли 96,59% средних размеров взрослого типа нониуса, 92,22% объема грудной клетки и 97,46% периметра голени по сравнению с молодняком нониуса того же поколения, выращенного в тех же условиях среди, достигшего в таком же возрасте 97,95% средних

размеров типа взрослого нониуса, 94,6% объема грудной клетки и 100% периметра голени.

3. Метис развивается гармонично, с правильным экстерьером, жизнеспособностью, повышенной по сравнению с нониусом, выражющейся большим сопротивлением в отношении патогенных внешних агентов (у метиса на 4,54% ниже по сравнению с нониусом), и повышенной интенсивностью роста, выраженной более высокими коэффициентами роста в двухлетний период развития после рождения.

4. Для того, чтобы получить положительные результаты в отношении строения тела метиса, необходимо селекционировать жеребцов рысаков, использованных при скрещивании, учитывая рост и массивность, выбирая производителями экземпляры, приближающиеся с точки зрения телосложения к типу нониуса. Минимальные размеры производителей рысаков должны соответствовать по меньшей мере средним размерам, установленным для типа нониуса: высота холки — 160 см., длина туловища — 101%, объем грудной клетки — 115%, периметр голени — 12,5% от высоты холки, вес тела — 500 кг.

### ОБЪЯСНЕНИЕ РИСУНОК

Рис. 1. — Жеребенок метис рысак X нониус (поколение 1950) от жеребца рысака Роланда и кобылы 92 нониус X Ли-8.

Рис. 2. — Жеребенок метис рысак X нониус, одиннадцатилетний (поколение 1949) от жеребца рысака Край II и кобылы 61 нониус XXXVII 12.

Рис. 3. — Кривая роста высоты холки у нониуса (—), метиса (—), рысака (—).

Рис. 4. — Кривая роста объема грудной клетки у нониуса (—), метиса (—), рысака (—).

Рис. 5. — Кривая роста длины туловища у нониуса (—), метиса (—), рысака (—).

Рис. 6. — Кривая роста периметра голени у нониуса (—), метиса (—), рысака (—).

## LA CROISSANCE ET LE DÉVELOPPEMENT JUSQU'À 2 ANS DU MÉTIS TROTTEUR X NONIUS PAR COMPARAISON AU NONIUS

### (RÉSUMÉ)

Les recherches effectuées sur le développement de la première génération de 22 métis provenus du croisement des étalons trotteurs, et des juments Nonius, par comparaison à 43 produits Nonius du même âge (générations 1949 et 1950), élevés dans des conditions du milieu identiques, jusqu'à l'âge de 2 ans, ont donné les résultats suivants:

1. Le métis trotteur X Nonius de la première génération, élevé dans les mêmes conditions de milieu que le Nonius, suit de près — au cours de toutes les périodes de croissance et pour toutes les dimensions corporelles — le type de développement du Nonius, hormis les particularités suivantes:

a) En général, le producteur trotteur influe sur le développement du métis, en lui imprimant une légère diminution des diamètres de la masse corporelle et de l'amplitude de la variabilité. Dans la période qui va de la naissance jusqu'à 2 ans, une partie des différences en moins sont récupérées par le métis grâce à une intensité accrue de la croissance; de sorte qu'à 2 ans les différences des moyennes se maintiennent pour la hauteur au garrot et

au dos à 2,17–2,21 cm; pour la largeur du poitrail, à 1,48 cm; pour la longueur du tronc, à 1,22 cm, pour la profondeur du thorax, à 1,14 cm; pour le périmètre du thorax, à 4,52 cm; pour la longueur de l'encolure, à 2,80 cm; pour le poids du corps, à 10 kg.

b) Lorsque le reproducteur trotteur a eu une conformation proche de celle du type *Nonius*, on a constaté des différences minimales entre le métis et le produit *Nonius*.

2. Le métis aussi bien que le *Nonius* suivent, dans le développement des dimensions corporelles, un rythme de croissance généralement caractéristique des jeunes des races précoces. Ainsi, les métis des générations 1949 et 1950 atteignent, à l'âge de deux ans, un taux de 96,59% de la taille moyenne du type *Nonius* adulte, 92,22% du périmètre du thorax et 97,46% du périmètre du canon, par comparaison aux jeunes sujets *Nonius* des mêmes générations, élevés dans les mêmes conditions de milieu, lesquels, au même âge, atteignent 97,95% de la taille moyenne du type *Nonius* adulte, 94,6% du périmètre du thorax et 100% du périmètre du canon.

3. Le métis jouit d'un développement harmonieux, d'un extérieur correct et d'une vigueur constitutionnelle accrue, vitalité manifestée par une plus grande résistance aux agents pathogènes extérieurs (pourcentage de la mortalité de 4,54% plus réduit que chez le *Nonius*) et par une intensité accrue de la croissance, exprimée par des coefficients de croissance plus importants pour l'époque du développement qui va de la naissance à 2 ans.

4. Pour obtenir des résultats positifs en ce qui concerne la forte taille du métis, il est nécessaire de sélectionner les étalons trotteurs destinés à la reproduction selon la taille et la massivité; il ne faut choisir, en tant que reproducteurs que ceux dont la corpulence approche de celle du type *Nonius*. Les dimensions corporelles minimales des reproducteurs trotteurs devront correspondre tout au moins aux dimensions moyennes, établies pour le type *Nonius*: hauteur au garrot, 160 cm; longueur du tronc, 101%; périmètre du thorax, 115%, périmètre du canon, 12,5% de la hauteur au garrot; poids du corps, 500 kg.

#### EXPLICATION DES FIGURES

Fig. 1. — Poulain métis trotteur  $\times$  *Nonius* (génération 1950) par l'étalon trotteur Roland et la jument 92 *Nonius* Li-8.

Fig. 2. — Poulain métis trotteur  $\times$  *Nonius* âgé d'un an (génération 1949) par l'étalon Crai II et la jument 61 *Nonius* XXXVII 12.

Fig. 3. — Courbe de la croissance de la hauteur au garrot.  
Légende:  $\cdots\cdots$  *Nonius*  $\cdots\cdots$  Métis — Trotteur

Fig. 4. — Courbe de la croissance du périmètre du thorax.  
Légende:  $\cdots\cdots$  *Nonius*  $\cdots\cdots$  Métis — Trotteur

Fig. 5. — Courbe de la croissance de la longueur du tronc.  
Légende:  $\cdots\cdots$  *Nonius*  $\cdots\cdots$  Métis — Trotteur

Fig. 6. — Courbe de la croissance du périmètre du canon.  
Légende:  $\cdots\cdots$  *Nonius*  $\cdots\cdots$  Métis — Trotteur

#### BIBLIOGRAFIE

1. Barminov I. N., Konevostvo, Moscova, 1950, nr. 2, p. 14.
2. Darwin Ch., *De la variation des animaux et des plantes à l'état domestique*. Paris, 1888, v. II, p. 130.
3. Dobrohotov A. F., *Zootehnika specială*. Ed. de Stat, 1952, p. 357–365.
4. Kastanov L. V., *Plemennoe delo v konevodstve*. Moscova, 1950, p. 232.
5. Lakoza I. I., Konevostvo, Moscova, 1949, nr. 2, p. 20.
6. Popov I. S., *Alimentația animalelor domestice*. Ed. de Stat, 1950, p. 514.

## DETERMINAREA VÎRSTEI EXPLOATABILITĂȚII LA PĂDURILE DE MOLID PRINTR-O METODĂ NOUĂ

DE

I. POPESCU-ZELETIN și R. DISSESCU

Comunicare prezentată de G. C. GEORGESCU, membru corespondent al Academiei R.P.R., în ședința din 14 aprilie 1953

Determinarea momentului cînd trebuie exploataat arboretele dintr-o unitate de producție constituie una din problemele dificile ale amenajamentului. Dificultatea este că această determinare trebuie să țină seama de o serie de factori, care contribuie la precizarea acestui moment, cum ar fi: țelul de gospodărire, compoziția arboretelor, raportul claselor de producție etc.

În regimul proprietății forestiere private, determinarea acestui moment era condiționată în special de obținerea unui venit maxim, neînîndu-se seamă de necesitatea echilibrării producției forestiere pe plan statal și nici de funcțiunile indirecte ale pădurilor. De aici și diferențele formă ale exploatabilității.

În regimul proprietății forestiere socialiste, momentul exploatării arboretelor trebuie fixat în raport cu funcțiunea principală pe care arborele trebuie să o îndeplinească și cu necesitatea de a se obține o producție lemnoasă maximă, din punct de vedere cantitativ și calitativ, în vederea acoperirii nevoilor mărești crescînd ale economiei naționale.

Această diferență de concepții face ca metodele de determinare a vîrstei exploatabilității valabile în proprietatea forestieră privată, să nu fie aplicabile în economia forestieră de tip socialist.

Încă din anul 1948, odată cu începerea marilor campanii de amenajare a pădurilor, s-a simțit lipsa unor metode corespunzătoare pentru determinarea vîrstei exploatabilității.

Din literatura sovietică se cunosc următoarele metode pentru stabilirea vîrstei exploatabilității tehnice:

1. Se iau în considerație dimensiunile caracteristice ale sortimentului principal, prin valoarea lor medie și, cu ajutorul tablourilor de descreștere a diametrului, se determină arborele din al căruia fus se poate obține un maximum din acest sortiment. El va fi socotit «ca arbore mediu al arboretului la vîrstă exploatabilității tehnice căutate, ținînd seama că arborii de această dimensiune și de dimensiuni apropiate, trebuie să fie reprezentati în arboret în numărul cel mai mare» (8).

Pe baza arborelui mediu, se stabilește cu ajutorul tabloului de producție, vîrsta exploataabilității.

2. Cunoscîndu-se creșterea anuală a arboretului, se utilizează formula lui Mărtin. Metoda impune însă date locale sigure cu privire la creșterea în diametru și înălțime.

3. Se determină vîrsta exploataabilității tehnice prin stabilirea vîrstei la care creșterea medie anuală a fiecărui sortiment este maximă. Compararea creșterilor anuale ale sortimentelor se face cu ajutorul tablourilor de producție și sortare.

În anul 1949 am inceput cercetări în această direcție, ajungînd la precizarea premselor unei noi metode, dar insuficiența materialului cifric, care să o fundamenteze și să o verifice, ne-a determinat să amînăm prezentarea ei. Materialul de cercetare, cules în intervalul din 1950–1952 de către Colectivul Forestier al Academiei R.P.R. și de către Institutul de Cercetări Silvice, ne-a îngăduit să definitivăm această metodă pentru molidul din țara noastră.

Pentru fundamentarea teoretică și verificarea practică a metodei s-a folosit ca material de cercetare:

a) Rezultatele măsurătorilor făcute la 4130 de arbori de molid, din întreg arealul de vegetație al acestei specii, după care s-au întocmit tablourile de cubaj și de descreștere a fusului arborilor.

b) Cercetările făcute în 540 de suprafețe de probă pentru întocmirea tablourilor de producție și de sortare, de asemenea din întreaga arie de răspîndire a acestei specii.

★

La baza elaborării acestei metode stau următoarele premize:

1. Pentru fiecare unitate de producție trebuie să se stabilească un ciclu de producție. El trebuie să asigure pentru majoritatea arboretelor o producție de lemn de lucru optimă, atât în ceea ce privește cantitatea, cât și calitatea.

2. În cadrul exploataabilității tehnice, producția optimă trebuie considerată în raport cu sortimentul industrial principal, sortiment definit dimensional prin standardele de stat și caracterizat în special prin grosimea trunchiului la capătul subțire (grosimea minimă admisă).

Variatia raportului dintre volumul lemnului de lucru (sortimentul principal) și volumul total al fusului, în raport cu vîrsta arboretului, poate fi un indiciu pentru determinarea vîrstei optime de exploatare.

3. Arborele mediu al arboretului poate fi considerat că este reprezentativ pentru întreg arborelul și din punctul de vedere al sortării lui.

Formarea unităților de producție este condiționată de relief, de întinderă minimă necesară pentru echilibrarea claselor de vîrste (deci continuitatea de producție) și de asigurarea exploatarii rentabile a produselor lemnioase. Condițiile staționale diferite determină atât existența de tipuri de păduri deosebite, cât și productivități diferite în cadrul același tip. Astfel în fiecare unitate de producție apar în mod necesar arborete cu compoziții și cu clase de producție diferite. Totuși, numai una sau cel mult două specii pot să formeze telul de producție pentru fiecare unitate în parte. Acest fapt nu înălță posibilitatea stabilirii unui ciclu de producție unic mai ales că succesiunea arealelor de vegetație ale speciilor de valoare limitează numărul acestora în hotarele unei unități de producție la una sau două specii de valoare, iar varietatea condițiilor staționale nu împiedică majoritatea arboretelor să aparțină la una sau cel mult două clase de producție alăturate. Rezultă deci, că

ciclul de producție este o cifră medie corespunzătoare vîrstei medii, la care majoritatea arboretelor realizează producția sortimentului principal în proporția cea mai mare.

Pe de altă parte, în raport cu telul de producție adoptat, culturile forestiere sunt dirijate pentru producerea unui anumit sortiment sau grup de sortimente. În general, în pădurile de codru, telul de gospodărire este producerea de sortimente de dimensiuni mari, care să asigure material pentru industria cherestelei și a furnirilor, deoarece maximum de randament industrial se obține din bușteni cu grosimi mai mari de 18–20 cm la capătul subțire. Este deci necesar să se cunoască variația proporției acestor sortimente, în raport cu vîrsta arborilor, pentru a se putea determina momentul în care raportul dintre volumul lemnului de acest fel și volumul total al arborelui este optim.

Pentru a se putea urmări această variație, s-au făcut cercetări a 4130 de molizi cu diametre de bază de 10–62 cm și înălțimi de 8–40 m. Aceștia au fost grupați pe categorii de diametre (4 cm), iar la fiecare categorie s-a determinat proporția lemnului de lucru în procente din volumul total al arborelui, după înălțimi și grosimi minime admise (8, 10, 12, 14, 16, 18, 20, 22 și 24 de cm).

In tabloul nr. 1 s-au înscris valorile limită și diferențele procentuale în raport cu înălțimile extreme pe categorii de diametre și cu grosimile minime admise ( $M$  = procentul maxim,  $m$  = procentul minim).

Din analiza cifrelor înscrise în acest tablou rezultă că, pentru grosimea minimă de 8 cm, diferența cea mai mare (de 3%) apare la categoria de diametre de bază 12 cm (1% pentru  $D = 16–36$  cm; 0% pentru  $D = 40–60$  cm). Pentru grosimea minimă de 24 cm, se înregistrează diferențe de 7–9% la categoriile 14–36 cm și 1–3% la categoriile mai mari. La grosimile minime intermediare (10–22 cm), diferențele variază între 0–4%, fiind mai pronunțate la categoriile de diametre mici și la grosimile minime cele mai mari.

Valorile diferențelor procentuale se datorează în parte rotunjirilor, prin faptul că procentele s-au dat fără zecimale. Diferențele mai mari apar, cu oarecare regularitate, la grosimile minime superioare dela fiecare categorie de diametră, acolo unde în general procentul înregistrează o scădere mai bruscă.

Aceste mici variații ale procentului de lemn de lucru în funcție de înălțime la aceeași categorie de diametre, duc la concluzia că raportul dintre volumul lemnului de lucru și volumul total al arborelui, practic, nu variază cu înălțimea și, deci, se poate afirma că acest raport variază numai cu diametrul de bază și cu grosimea minimă admisă pentru lemnul destinat unui anumit grup de sortimente.

Dacă se iau în considerare doi arbori având același diametru de bază, dar înălțimi diferite, și se secționează la aceeași grosime dela vîrf (între 8 și 24 cm), însemnând volumul arborelui întreg și al vîrfului respectiv cu  $M$  și  $M_1 m_1$ , după cele constatate se poate scrie relația:

$$\frac{m}{M} = \frac{m_1}{M_1} \text{ sau } \frac{m}{m_1} = \frac{M}{M_1}$$

și exprimată altfel,

$$\frac{g h f}{g h_1 f_1} = \frac{G H F}{G H_1 F_1} \text{ sau } \frac{h f}{h_1 f_1} = \frac{H F}{H_1 F_1}$$

*Tabloul Nr. 1*  
Proportia lemnului de lucru (maximă și minimă) cu coajă, în raport cu variația înălțimilor,  
pe categorii de diametre la molid

D cm <i>H<sub>1</sub>-H<sub>n</sub></i>		Grosimea minimă admisă (la capătul subțire în cm)									
		8	10	12	14	16	18	20	22	24	
Proportia lemnului de lucru în procente											
12	M	92	76	45	—	—	—	—	—	—	
8-16	m	89	70	34	—	—	—	—	—	—	
	M-m	3	6	11	—	—	—	—	—	—	
16	M	97	92	83	65	29	—	—	—	—	
11-24	m	96	91	80	57	25	—	—	—	—	
	M-m	1	1	3	8	4	—	—	—	—	
20	M	99	98	92	85	72	51	28	—	—	
13-29	m	97	96	91	83	71	49	18	—	—	
	M-m	2	2	1	2	1	2	10	—	—	
24	M	99	98	96	93	87	78	64	50	24	
14-32	m	99	97	94	90	83	74	61	39	16	
	M-m	0	1	2	3	4	4	3	11	8	
28	M	100	99	98	95	92	87	80	71	60	
16-33	m	99	98	96	94	91	84	78	67	51	
	M-m	1	1	2	1	1	3	2	4	9	
32	M	100	99	98	97	95	92	88	82	74	
18-38	m	99	99	98	96	93	91	86	81	72	
	M-m	1	0	0	1	2	1	2	1	2	
36	M	100	100	99	98	97	95	92	90	84	
19-39	m	99	99	98	97	95	92	88	83	77	
	M-m	1	1	1	1	2	3	4	7	7	
40	M	100	100	99	99	97	96	94	92	89	
22-39	m	100	99	99	98	97	95	93	89	86	
	M-m	0	1	0	1	0	1	1	3	3	
44	M	100	100	99	99	98	97	96	94	92	
22-41	m	100	100	99	98	98	96	94	92	86	
	M-m	0	0	0	1	0	1	2	2	3	
48	M	100	100	100	99	99	98	97	95	94	
24-42	m	100	100	99	99	98	97	96	95	93	
	M-m	0	0	1	0	1	1	1	0	1	
52	M	100	100	100	100	99	98	98	97	96	
26-43	m	100	100	100	99	99	98	97	96	95	
	M-m	0	0	0	1	0	0	1	1	1	
56	M	100	100	100	100	99	99	98	97	96	
26-43	m	100	100	100	99	98	98	97	96	95	
	M-m	0	0	0	1	1	1	0	0	0	
60	M	100	100	100	100	99	99	99	98	97	
28-43	m	100	100	100	99	99	98	97	96	95	
	M-m	0	0	0	1	0	1	1	2	2	

3 DETERMINAREA VÎRSTEI EXPLOATABILITĂȚII LA PÂDURILE DE MOLID

877

dar  $HF$  sau  $hf$  sunt tocmai înălțimile reduse ( $I$ ,  $i$ ) deci vom avea

$$\frac{i}{i_1} = \frac{I}{I_1} \text{ sau } \frac{i}{I} = \frac{i_1}{I_1}$$

ceea ce înseamnă că, la aceeași categorie de diametre pentru orice înălțime, raportul  $\frac{i}{I}$  este același.

Pe baza acestor constatări, în tabloul nr. 2 s-au inseris valorile medii ale procentelor, făcindu-se abstracție de înălțime.

*Tabloul nr. 2*

Proportia lemnului de lucru în procente, în raport cu diametrul de bază, la molid

d <i>D</i>	Grosimea admisă (la capătul subțire) cu coajă, în cm	Coajă %								
		8	10	12	14	16	18	20	22	24
Proportia lemnului de lucru cu coajă, în procente										
12	90	73	36	—	—	—	—	—	—	12
16	97	91	81	62	27	—	—	—	—	11
20	98	96	92	84	71	50	72	—	—	11
24	99	98	95	92	85	76	63	42	19	10
28	99	98	97	95	92	86	79	68	54	10
32	100	99	98	97	94	92	87	82	73	9
36	100	99	99	98	96	94	91	87	82	9
40	100	100	99	98	97	96	94	91	88	9
44	100	100	99	99	98	97	95	93	91	8
48	100	100	99	99	98	97	96	95	93	8
52	100	100	100	99	99	98	97	96	95	8
56	100	100	100	99	99	98	98	97	96	8
60	100	100	100	99	99	99	99	98	97	7

*Tabloul nr. 3*

Vîrstă la care se realizează 80% lemn de lucru, în funcție de clasa de producție și grosimea minimă admisă

Clasa de producție	Grosimea minimă admisă (la capătul subțire)								
	8	10	12	14	16	18	20	22	24
Vîrstă în ani									
I .....	26	33	38	44	51	60	70	85	100
II .....	29	36	46	53	67	75	95	>140	>140
III .....	34	43	52	63	80	105	>140	—	—
IV .....	40	53	63	80	110	>140	—	—	—
V .....	53	68	88	120	>130	—	—	—	—

Reprezentând grafic variația procentuală a lemnului de lucru pentru fiecare grosime minimă admisă (8, 10, 12... 24 cm) — luând în abscisă diametrele și în ordonată procentele — se obține un fascicul de nouă curbe (fig. 1).

Atât tabloul nr. 2, cât și graficul din figura 1 permit determinarea procentului de lemn de lucru pentru orice arbore mediu, având diametrul cuprins între 12—60 cm și pentru orice grosime minimă admisă din intervalul de 8—

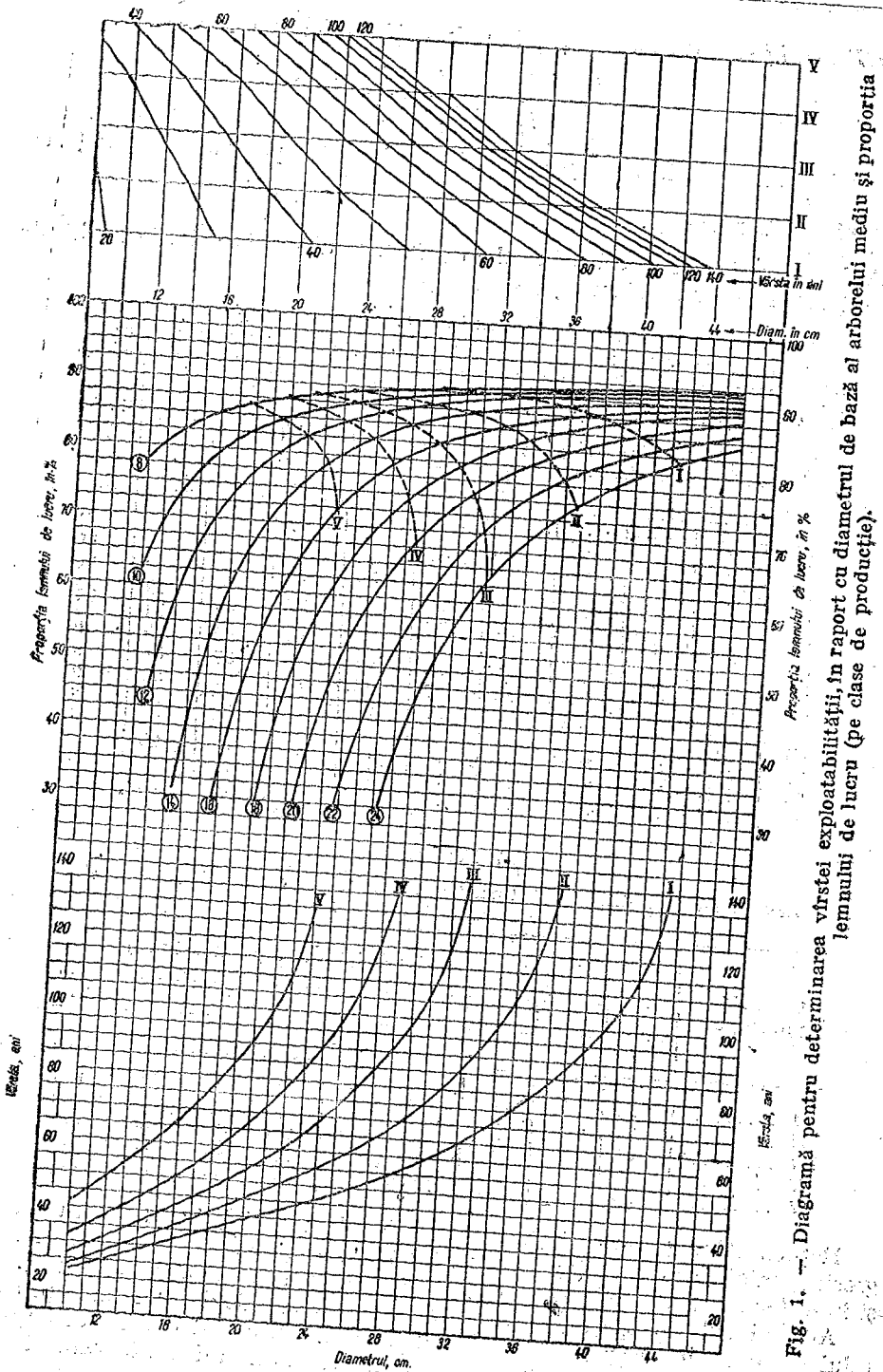


Fig. 1. — Diagramă pentru determinarea vîrstei exploataabilității, în raport cu diametrul de bază al arborelui mediu și proporția lemnului de lucru (pe clase de producție).

24 cm. Trecerea dela volumul lemnului de lucru al arborelui mediu la același volum al arboretului, se poate face printr'o simplă înmulțire.

Același diametru mediu al arboretului se poate realiza la vîrste diferite, după cum condițiile staționale sunt mai bune sau mai slabe, deci în raport cu clasa de producție a arboretului. Astfel pentru molidul din țara noastră diametrul de bază mediu de 24 cm și se realizează la:

- 44 ani în arboretele din clasa I de producție;
- 53 ani în arboretele din clasa II de producție;
- 69 ani în arboretele din clasa III de producție;
- 90 ani în arboretele din clasa IV de producție;
- peste 140 ani în arboretele din clasa V de producție;

Legătura dintre diametrul de bază mediu și proporția lemnului de lucru, pe de o parte, și vîrsta, pe de altă parte, se poate obține dacă pe același grafic se ia pe ordonată o scară convenabilă pentru vîrste și se trasează curbele de variație a vîrstei, în raport cu diametrul, pentru fiecare clasă de producție, folosind datele din tablourile de producție.

Un alt mod de reprezentare a acestei legături de poate face, luând pe ordonată clasele de producție și trasând curbe pentru fiecare categorie de vîrste (în grafic din 10 în 10 ani). Graficul astfel completat devine o nomogramă, care permite determinarea vîrstei în funcție de diametru de bază, pentru oricare grosime minimă admisă. Deci, în raport cu diametrul de bază al arborelui mediu și cu grosimea minimă admisă, se poate determina după grafic, în același timp, proporția lemnului de lucru și vîrsta arboretului respectiv.

In tablourile nr. 5—9 (anexate) s-a calculat variația procentului lemnului de lucru, în raport cu: vîrsta, diametrul de bază și grosimea minimă admisă pentru cele cinci clase de producție dela molid.

Analizând modul cum proporția lemnului de lucru variază cu vîrsta, se constată:

a) In cadrul fiecărei clase de producție, același procent de lemn de lucru se realizează, cu atit mai tîrziu (la vîrste mai mari), cu cit diametrul minim admis este mai mare. Procentul de 80% se obține la vîrsta arătată în tabloul nr. 3.

b) Același procent de lemn de lucru, la aceeași grosime minimă, se realizează cu atit mai tîrziu, cu cit clasa de producție este mai slabă.

c) La același diametru de bază, proporția lemnului de lucru pentru fiecare grosime minimă admisă se menține aceeași, indiferent de clasa de producție. Numai vîrsta la care se realizează același diametru de bază variază cu clasa de producție.

Fixînd pe cele nouă curbe de variație ale lemnului de lucru (fig. 1) punctele corespunzătoare vîrstelor dela care creșterea proporției de lemn de lucru, într-un interval de 5 ani, devine puțin sensibilă (1%) sau nulă, se obțin prin unirea lor, cinci curbe de limită, cîte una pentru fiecare clasă de producție. Aceste curbe permit să se analizeze situația fiecărui arboret, în raport cu momentul în care producția de lemn de lucru (pentru o grosime minimă dată) atinge optimul. Prin faptul că dincolo de momentele precizate prin curbele de limită, producția de lemn de lucru nu mai crește în mod sensibil, ele devin indicațoare pentru determinarea vîrstei corespunzătoare exploataabilității tehnice. Deci graficul completat cu aceste curbe de limită poate rezolva următoarele probleme:

Tabloul nr. 4

Variatia proprietati de lemn de lucru la arborele mediu si la intregul arboret in raport cu grosimea minima admisă, în diferite regiuni ale ţării

nr. crt.	Parcela pădurea Ocolul	D m cm	Grosimea minimă (la capătul subțire) în cm					Struc- tura			
			8		12		16				
			%	±	%	±	%	±			
1	169 b Ocolul Stulpicani	29	88 90	-2 88	84 83	-4 -3	80 72	-3 + 2	74 51	60 + 9	V
2	169 c Ocolul Stulpicani	38	89 92	-3 -3	86 90	-4 -5	83 88	-5 -4	80 71	-4 -5	V
3	4 a "	40	88 92	-4 -4	86 90	-4 -4	84 88	-3 -3	82 74	-5 -5	V
4	10 b "	33	87 91	-4 -4	85 89	-4 -5	81 86	-5 -1	78 79	-1 -1	V
5	26 b "	41	88 92	-4 -4	88 91	-3 -3	86 89	-3 -3	83 76	-4 -4	q V
6	Hărghita Ocolul Zetea	27	88 90	-2 -2	85 87	-2 -2	79 81	-2 -2	70 66	+ 4 + 17	q V
7	Nyers Ocolul M. Ciuc	19	86 87	-1 -1	77 79	-2 -2	67 54	+ 13 -	59 -	37 -	E
8	Melegag Ocolul Zetea	32	90 91	-1 -1	87 89	-2 -3	82 85	-3 -3	75 78	-3 -3	E
9	Vârful Muntelui Ocolul Zetea	35	91 91	0 0	89 90	-1 -3	84 87	-3 -4	77 81	-4 -6	E
10	Bolboci Ocolul Pucioasa	25	89 89	0 0	84 86	-2 -2	75 77	-2 -2	67 58	+ 9 -	E
11	Dichiu Ocolul Pucioasa	31	90 91	-1 -1	87 89	-2 -2	82 84	-2 -4	72 76	-4 -4	E
12	Dichiu Ocolul Pucioasa	22	87 89	-2 -2	81 84	-3 -3	71 69	+ 2 + 25	62 37	+ 25 -	E

Tabloul nr. 5  
Molid, clasa I de producție

V ani	D cm	Grosimea minimă admisă (la capătul subțire) cu coajă, în cm							
		8	10	12	14	16	18	20	22
		Proportia lemnului de lucru fără coajă, în procente							
25	12,2	79	64	32	-	-	-	-	-
30	15,0	84	77	66	40	-	-	-	-
35	17,8	87	83	76	64	44	-	-	-
40	20,6	88	86	82	75	64	46	-	-
45	23,4	89	87	85	81	73	63	50	-
50	26,1	90	88	87	84	79	72	63	49
55	28,6	90	89	88	86	83	77	71	61
60	30,6	91	90	89	87	84	80	75	68
65	32,3	91	90	89	88	85	82	78	73
70	33,8	91	90	88	86	84	80	75	69
75	35,2	91	91	90	89	87	85	81	77
80	36,4	91	91	90	89	87	86	83	79
85	37,5	91	91	90	89	88	86	83	80
90	38,5	92	91	90	89	88	87	84	77
95	39,5	92	91	90	89	88	87	85	82
100	40,4	92	91	91	90	89	88	86	83
105	41,1	92	91	91	90	89	88	86	83
110	41,6	92	91	91	90	89	88	86	84
115	42,0	92	91	91	90	89	88	86	81
120	42,4	92	91	91	90	89	88	86	82
125	42,8	92	91	91	90	89	88	86	84
130	43,1	92	91	90	89	88	87	84	82
135	43,3	92	91	90	89	88	87	85	83
140	43,5	92	91	90	89	88	87	85	83

Tabloul nr. 6  
Molid, clasa II de producție

V ani	D cm	Grosimea minimă admisă (la capătul subțire) cu coajă, în cm							
		8	10	12	14	16	18	20	22
		Proportia lemnului de lucru fără coajă, în procente							
25	11,0	-	-	-	-	-	-	-	-
30	13,3	81	71	53	-	-	-	-	-
35	15,6	85	79	69	48	-	-	-	-
40	17,8	87	83	76	64	44	-	-	-
45	20,0	88	85	81	73	60	40	-	-
50	22,1	89	87	84	78	70	57	38	-
55	24,2	89	88	86	82	75	66	54	34
60	25,9	90	89	87	84	79	72	63	48
65	27,4	90	89	88	85	81	75	67	56
70	28,8	90	89	88	86	83	78	71	62
75	30,0	90	90	89	87	84	80	74	66
80	31,0	91	90	89	87	84	81	76	69
85	32,0	91	90	89	88	85	82	78	72
90	32,8	91	90	89	88	87	83	79	73
95	33,5	91	90	89	88	87	84	80	75
100	34,3	91	91	90	89	87	84	80	70
105	34,9	91	91	90	89	87	84	81	71
110	35,4	91	91	90	89	87	85	82	78
115	35,9	91	91	90	89	87	85	82	78
120	36,3	91	91	90	89	87	85	82	78
125	36,6	91	91	90	89	87	86	83	74
130	36,8	91	91	90	89	88	86	83	75
135	37,0	91	91	90	89	88	86	83	79
140	37,2	91	91	90	89	88	86	83	75

*Tabloul nr. 7  
Molid, clasa III de producție*

V ani	D cm	Grosimea minimă admisă (la capătul subțire) cu coajă, în cm								
		8	10	12	14	16	18	20	22	24
		Proportia lemnului de lucru fără coajă, în procente								
25	9,4	—	—	—	—	—	—	—	—	—
30	11,4	—	—	—	—	—	—	—	—	—
35	13,4	81	71	53	—	—	—	—	—	—
40	15,4	84	78	68	45	—	—	—	—	—
45	17,2	86	82	74	61	37	—	—	—	—
50	19,0	87	84	79	70	54	27	—	—	—
55	20,7	88	86	82	75	64	46	—	—	—
60	22,2	89	87	84	79	70	57	40	—	—
65	23,5	89	87	85	81	73	63	50	—	—
70	24,5	89	88	86	83	76	68	56	38	—
75	25,4	89	88	86	83	78	70	60	44	—
80	26,3	90	89	87	84	80	73	64	51	31
85	27,1	90	89	87	85	81	75	67	55	39
90	27,9	90	89	88	86	82	77	69	59	45
95	28,7	90	89	88	86	83	78	71	62	49
100	29,4	90	90	89	87	83	79	73	64	53
105	30,0	90	90	89	87	84	80	74	66	56
110	30,4	91	90	89	87	84	80	75	68	58
115	30,7	91	90	89	87	84	81	76	68	59
120	31,0	91	90	89	87	84	81	76	69	60
125	31,3	91	90	89	87	85	81	77	70	62
130	31,5	91	90	89	87	85	82	77	71	63
135	31,7	91	90	89	88	85	82	77	71	63
140	31,9	91	90	89	88	85	82	78	72	64

*Tabloul nr. 8  
Molid, clasa IV de producție*

V ani	D cm	Grosimea minimă admisă (la capătul subțire) cu coajă, în cm								
		8	10	12	14	16	18	20	22	24
		Proportia lemnului de lucru fără coajă, în procente								
25	8,0	—	—	—	—	—	—	—	—	—
30	9,6	—	—	—	—	—	—	—	—	—
35	11,2	—	—	—	—	—	—	—	—	—
40	12,8	80	68	46	—	—	—	—	—	—
45	14,4	83	75	61	30	—	—	—	—	—
50	16,1	85	79	70	52	—	—	—	—	—
55	17,5	86	82	75	62	39	—	—	—	—
60	18,7	87	84	79	68	52	—	—	—	—
65	19,7	88	85	81	72	59	36	—	—	—
70	20,7	88	86	82	75	64	46	—	—	—
75	21,7	89	87	83	78	68	54	34	—	—
80	22,6	89	87	84	80	71	59	43	—	—
85	23,4	89	87	85	81	73	63	50	—	—
90	24,1	89	88	86	82	75	66	54	33	—
95	24,8	89	88	86	83	77	68	57	40	—
100	25,4	89	88	86	83	78	70	60	44	—
105	25,9	90	89	87	84	79	72	63	48	—
110	26,3	90	89	87	84	80	73	64	51	31
115	26,7	90	89	87	85	80	74	65	53	34
120	27,0	90	89	87	85	81	74	66	55	37
125	27,3	90	89	88	85	81	75	67	56	39
130	27,6	90	89	88	85	81	75	68	56	40
135	—	90	89	88	85	82	76	69	57	41
140	—	—	—	—	—	—	—	—	—	—

a) Stabilirea proporției de lemn de lucru corespunzătoare unei grosimi minime admise după diametrul de bază mediu.

b) Determinarea vîrstei medii a arboretului, în raport cu diametrul de bază mediu al lui și cu clasa de producție căreia aparține.

c) Precizarea situației arboretului față de momentul optim de exploatare, dacă se cunoaște diametrul de bază mediu și clasa de producție în care se încadrează.

*Tabloul nr. 9**Molid, clasa V de producție*

V ani	D cm	Grosimea minimă admisă (la capătul subțire) cu coajă, în cm								
		8	10	12	14	16	18	20	22	24
Proportia lemnului de lucru fără coajă, în procente										
25	6,0	—	—	—	—	—	—	—	—	—
30	7,2	—	—	—	—	—	—	—	—	—
35	8,5	—	—	—	—	—	—	—	—	—
40	9,7	—	—	—	—	—	—	—	—	—
45	11,0	—	—	—	—	—	—	—	—	—
50	12,3	79	65	36	—	—	—	—	—	—
55	13,5	82	71	54	—	—	—	—	—	—
60	14,7	84	76	64	35	—	—	—	—	—
65	15,9	85	79	70	50	—	—	—	—	—
70	16,8	86	81	73	58	32	—	—	—	—
75	17,6	87	83	76	63	41	—	—	—	—
80	18,4	87	84	78	68	50	—	—	—	—
85	19,2	87	84	79	71	55	30	—	—	—
90	20,0	88	85	81	73	60	40	—	—	—
95	20,7	88	86	82	75	64	46	—	—	—
100	21,2	88	86	83	77	66	51	—	—	—
105	21,6	89	86	83	77	68	54	33	—	—
110	22,0	89	87	84	78	69	56	37	—	—
115	22,4	89	87	84	79	70	50	41	—	—
120	22,7	89	87	84	80	71	60	43	—	—
125	22,9	89	87	85	80	72	61	46	—	—
130	23,1	89	87	85	80	73	62	47	—	—
135	—	—	—	—	—	—	—	—	—	—
140	—	—	—	—	—	—	—	—	—	—

Metoda expusă se bazează pe ideea că proporția de lemn de lucru din arboare mediu este egală cu proporția aceluiași sortiment din întregul arboret. Literatura recentă lasă să se înțeleagă că această egalitate ar exista în arboretele echiene.

Pentru a verifica măsura în care metoda noastră este aplicabilă în arboretele echiene și neregulate (virgine și quasi-virgine) din țara noastră, s-au făcut cercetări în arboretele de molid din diferite regiuni și cu structuri deosebite (virgină, quasi-virgină și echiene). În tabloul Nr. 4 se dau rezultatele.

In coloanele 8, 12, 16, 20, și 24 s-au înscris la numărător proporția lemnului de lucru din arboretul întreg, iar la numitor aceeași proporție la arborele mediu.

Cifrele din tablou

a) În 48 de cazuri din 56, procentul lemnului de lucru la arborele mediu este în general mai mare cu 1–5 %, decit proporția același sortiment din întregul arboret. În 8 din cele 56 de cazuri, situația este inversă.

In 5 din cele 8 situații amintite, procente sunt mai mari de 6 % și anume numai la cea mai mare grosime minimă (la care proporția pentru arborele mediu este sub 60%) și la diametrele de bază medii mai mici de 30 cm.

b) Tipurile de structură nu influențează diferența de proporție a lemnului de lucru dintre arborele mediu și arboretul întreg.

c) Altitudinea și regiunea geografică deasemenea nu influențează această diferență de proporție.

d) Prin faptul că lemnul de lucru industrial (gater) se sortează în general cu 18 cm la capătul subțire, și că arboretele exploataabile de molid au diametrul mediu mai mare de 30 cm, rezultă că ne putem aștepta la o diferență de 2–5% între procentul lemnului de lucru din arborele mediu și cel din întregul arboret.

Această cercetare dovedește că într-adevăr sortarea arborelui mediu se poate aplica și întregului arboret, fără ca structura (virgină, quasi-virgină și echienă) să aibă vreo influență.

#### CONCLUZII

1. Metoda noastră constă în determinarea vîrstei la care raportul dintre volumul lemnului de lucru și volumul total al arborelui mediu este optim.

2. Determinarea acestei vîrste (a exploataabilității) se face cu ajutorul unui grafic (nomogramă), în care se intră cu diametrul mediu și clasa de producție a arboretului.

3. Raportul dintre volumul lemnului de lucru și volumul total al arborelui mediu, la aceeași categorie de diametre, nu variază cu înălțimea.

4. Arborele mediu al arboretului este reprezentativ, în ceea ce privește proporția de lemn de lucru, în toate tipurile de structură (virgină, quasi-virgină și echienă), indicând în general diferențe puțin sensibile în plus (1–5%) pentru grosimi minime obișnuite (8–18 cm) și diametre medii mai mari de 30 cm.

5. Metoda de determinare a vîrstei exploataabilității tehnice a fost fundată și verificată pentru arboretele de molid. Este foarte probabil că ea să fie aplicabilă și la arborete de alte specii, nu se recomandă însă fără o verificare prealabilă.

#### НОВЫЙ МЕТОД В ОПРЕДЕЛЕНИИ ОПТИМАЛЬНОГО ВОЗРАСТА ДЛЯ ЛЕСОРАЗРАБОТКИ ЕЛОВЫХ ЛЕСОВ

##### (КРАТКОЕ СОДЕРЖАНИЕ)

1. Указывается метод определения возраста, при котором соотношение объема леса для обработки и тотального объема дерева средних размеров является оптимальным.

2. Определение возраста для лесоразработки производится при помощи графика (номограмма), в который входит средний диаметр и класс продукции лесонасаждений.

3. Соотношение между объемом леса для обработки и тотальным объемом дерева средних размеров той же категории диаметров не варьирует с высотой.

4. Дерево средних размеров в насаждении является показательным в отношении пропорции леса для обработки всех типов структуры (девственной, квазидевственной и одновозрастной), указывая вообще на весьма незначительную разницу в плюс (1–5%) для обычных минимальных толщин (8–18 см) и средних диаметров свыше 30 см.

5. Метод определения возраста технической лесоразработки был обоснован и проверен на еловых насаждениях. Возможно, что его можно применять и к насаждениям других видов, что однако не рекомендуется без предварительной проверки.

#### ОБЪЯСНЕНИЕ РИСУНКОВ

Рис. 1. — Диаграмма определения возраста для лесоразработки в соотношении с основным диаметром дерева средних размеров и пропорцией леса для обработки (по классам продукции).

#### DÉTERMINATION DE L'ÂGE DE L'EXPLOITABILITÉ DES FORÊTS D'ÉPICÉA PAR UNE NOUVELLE MÉTHODE

##### (RÉSUMÉ)

1. Les Auteurs présentent leur méthode qui consiste à déterminer l'âge où le rapport entre le volume du bois d'œuvre et le volume total de l'arbre moyen est optimé.

2. On détermine cet âge de l'exploitabilité à l'aide d'un graphique (nomogramme) où l'on fait entrer le diamètre moyen et la classe de production du peuplement.

3. Pour la même catégorie de diamètres, le rapport entre le volume du bois d'œuvre et le volume total de l'arbre moyen ne varie pas avec la hauteur.

4. L'arbre moyen du peuplement est représentatif en ce qui concerne la proportion du bois d'œuvre pour tous les types de structure (vierge, quasi-vierge ou équienne); en général, il indique des différences en plus, peu sensibles (1–5%), pour les épaisseurs minimes ordinaires (8–18 cm) et les diamètres moyens dépassant 30 cm.

5. La méthode de détermination de l'âge de l'exploitabilité technique a été instituée et vérifiée pour les peuplements d'épicéa. Il est fort probable que cette méthode soit appliquée aux peuplements d'autres espèces; mais il est recommandable de la vérifier au préalable.

#### EXPLICATION DES FIGURES

Fig. 1. — Diagramme pour la détermination de l'âge de l'exploitabilité en rapport du diamètre de base de l'arbre moyen et de la proportion du bois d'œuvre (par classes de production).

## BIBLIOGRAFIE

1. S. Armășescu, I. Decei, T. Dorin, R. Disescu, *Tabele de producție pentru molid*. Ed. Agro-Silvică, București, 1953, seria III.
2. R. Disescu, *Tabele de descreșterea diametrului fusului la molid*. Ed. de Stat, București, 1953, seria III.
3. \*\* *Instrucțiuni tehnice de amenajare*. Ed. Ministerului Silviculturii, București, 1951.
4. I. Popescu-Zeletin, *Le redressement de l'économie forestière roumaine par un nouveau système d'aménagement*. Congresul I.L.A., Praga, 1948.
5. — Revista Pădurilor, 1952, Nr. 10, p. 17.
6. N. Rucărăcanu, Revista Pădurilor, 1941, Nr. 2, p. 70.
7. A. Baitin, N. Baranov, O. Gherniță, P. Kreslin și P. Motovilov, *Osnovi lesoustroistvo*, G.L.B.I., Moscova, 1950.
8. A. Demin, *Lesnoie hoziaistvo*, 1951, Nr. 9, p. 70.
9. P. Motovilov, *Lesoustroistvo*, G.L.B.I., Moscova, 1951.
10. Biolley, *L'aménagement des forêts*. Paris, 1920.
11. G. Baader, *Forsteinrichtung als nachhaltige Betriebsführung und Betriebsplanung*. Frankfurt pe Main, 1942.
12. Ch. Wagner, *Lehrbuch der theoretischen Forsteinrichtung*. Berlin, 1928.